



OFICINA ESPAÑOLA DE PATENTES Y MARCAS

ESPAÑA



11 Número de publicación: 2 732 081

51 Int. Cl.:

C07K 16/28 (2006.01) G01N 33/53 (2006.01)

(12)

TRADUCCIÓN DE PATENTE EUROPEA

Т3

(86) Fecha de presentación y número de la solicitud internacional: 13.05.2013 PCT/EP2013/059802

(87) Fecha y número de publicación internacional: 06.02.2014 WO14019727

(96) Fecha de presentación y número de la solicitud europea: 13.05.2013 E 13725298 (7)

(97) Fecha y número de publicación de la concesión europea: 01.05.2019 EP 2850101

(54) Título: Anticuerpos anti-FcRn

(30) Prioridad:

14.05.2012 GB 201208370

Fecha de publicación y mención en BOPI de la traducción de la patente: **20.11.2019**

(73) Titular/es:

UCB BIOPHARMA SPRL (100.0%) Allée de la Recherche 60 1070 Brussels, BE

(72) Inventor/es:

FINNEY, HELENE MARGARET; LAWSON, ALASTAIR DAVID GRIFFITHS; SHAW, STEVAN GRAHAM; SMITH, BRYAN JOHN; TYSON, KERRY LOUISE; KEVORKIAN, LARA; MEIER, CHRISTOPH; ATHERFOLD, PAUL, ALAN y SARKAR, KAUSHIK

(74) Agente/Representante:

PONS ARIÑO, Ángel

Observaciones:

Véase nota informativa (Remarks, Remarques o Bemerkungen) en el folleto original publicado por la Oficina Europea de Patentes

DESCRIPCIÓN

Anticuerpos anti-FcRn

25

30

45

50

- La divulgación se refiere a anticuerpos específicos para FcRn, formulaciones que comprenden los mismos, uso de cada uno en terapia, procesos para expresar y, opcionalmente, formular dicho anticuerpo, ADN que codifica los anticuerpos y hospedadores que comprenden dicho ADN.
- FcRn es un complejo no covalente de la cadena α de FcRn de la proteína de membrana y β2 microglobulina (β2M).

 En mamíferos adultos, FcRn desempeña un papel clave en el mantenimiento de los niveles de anticuerpos séricos mediante la actuación como un receptor que se une y recupera los anticuerpos del isotipo IgG. Las moléculas de IgG son endocitadas por las células endoteliales, y si se unen a FcRn, se reciclan y transcitositan, por ejemplo, a la circulación. Por el contrario, las moléculas de IgG que no se unen a FcRn entran en las células y se dirigen a la vía lisosomal donde se degradan. Una variante IgG1 en la que His435 se muta a alanina da como resultado la pérdida selectiva de la unión de FcRn y una semivida en suero significativamente reducida (Firan et al. 2001, International Immunology 13:993).
- Se plantea la hipótesis de que FcRn es una posible diana terapéutica para ciertos trastornos autoinmunitarios causados, al menos en parte, por autoanticuerpos. El tratamiento actual para algunos de dichos trastornos incluye la plasmaféresis. A veces, la plasmaféresis se emplea junto con la terapia inmunosupresora para el tratamiento a largo plazo de la enfermedad. El intercambio de plasma ofrece la respuesta a corto plazo más rápida para eliminar los autoanticuerpos dañinos. Sin embargo, también puede ser deseable suprimir la producción de autoanticuerpos mediante el sistema inmunitario, por ejemplo, mediante el uso de medicamentos como prednisona, ciclofosfamida, ciclosporina, micofenolato de mofetilo, rituximab o una mezcla de estos.
 - Los ejemplos de enfermedades que se pueden tratar con plasmaféresis incluyen: síndrome de Guillain-Barre; polineuropatía desmielinizante inflamatoria crónica; síndrome de Goodpasture; síndromes de hiperviscosidad; crioglobulinemia; paraproteinemia; macroglobulinemia de Waldenström; miastenia grave; púrpura trombocitopénica trombótica (TTP)/síndrome urémico hemolítico; granulomatosis de Wegener; síndrome de Lambert-Eaton; síndrome de anticuerpos antifosfolípidos (APS o APLS); poliangiitis microscópica; glomerulosclerosis focal y segmentaria recurrente en el riñón trasplantado; síndrome de HELLP; síndrome de PANDAS; enfermedad de Refsum; síndrome de Behcet; neuropatía relacionada con el VIH; enfermedad de Graves en lactantes y neonatos; pénfigo vulgar; esclerosis múltiple, rabdomiolisis y enfermedades aloimunitarias.
- La plasmaféresis se usa a veces como terapia de rescate para la eliminación de terapias que contienen Fc, por ejemplo, en emergencias para reducir los efectos secundarios graves. Aunque la plasmaféresis es útil en ciertas afecciones médicas, existen posibles riesgos y complicaciones asociados con la terapia. La inserción de un catéter intravenoso bastante grande puede provocar sangrado, punción pulmonar (según el lugar de inserción del catéter) y, si se deja el catéter demasiado tiempo, puede provocar una infección y/o daño en las venas, lo que brinda una oportunidad limitada para repetir el procedimiento.
 - El procedimiento tiene otras complicaciones asociadas con él, por ejemplo, cuando la sangre de un paciente se encuentra fuera del cuerpo y pasa a través del instrumento de plasmaféresis, la sangre tiene una tendencia a coagularse. Para reducir esta tendencia, en un protocolo común, se infunde citrato mientras la sangre corre por el circuito. El citrato se une al calcio en la sangre, siendo el calcio esencial para que la sangre se coagule. El citrato es muy eficaz para prevenir la coagulación de la sangre; sin embargo, su uso puede llevar a niveles de calcio potencialmente mortales. Esto se puede detectar utilizando el signo de Chvostek o el signo de Trousseau. Para evitar esta complicación, el calcio se infunde por vía intravenosa mientras el paciente se está sometiendo a la plasmaféresis; además, también se puede administrar suplementos de calcio por vía oral.
 - Otras complicaciones del procedimiento incluyen: hipotensión; posible exposición a hemoderivados, con riesgo de reacciones a la transfusión o enfermedades transmitidas por la transfusión, supresión del sistema inmunitario del paciente y hemorragia o hematoma por la colocación de la aguja.
- 55 Además, las instalaciones que proporcionan plasmaféresis son limitadas y el procedimiento es muy costoso.
 - Una alternativa a la plasmaféresis es la inmunoglobulina intravenosa (IVIG), que es un producto sanguíneo que contiene IgG policional combinada extraída del plasma de más de mil donantes de sangre. La terapia se administra por vía intravenosa y dura entre 2 semanas y 3 meses.
 - Las complicaciones del tratamiento con IVIG incluyen dolores de cabeza, dermatitis, infección vírica por contaminación del producto terapéutico, por ejemplo, VIH o hepatitis, edema pulmonar, reacciones alérgicas, insuficiencia renal aguda, trombosis venosa y meningitis aséptica.
- Por lo tanto, existe una importante necesidad no satisfecha de terapias para los trastornos autoinmunitarios que son menos invasivos y que exponen a los pacientes a menos complicaciones médicas.

Por lo tanto, existe una importante necesidad no satisfecha de terapias para las enfermedades inmunitarias y/o trastornos autoinmunitarios que son menos invasivos y que exponen a los pacientes a menos complicaciones médicas.

- Por consiguiente, los agentes que inhiben o reducen la unión de IgG a FcRn pueden ser útiles en el tratamiento o prevención de dichas enfermedades autoinmunitarias e inflamatorias. Los anticuerpos anti-FcRn se han descrito previamente en los documentos WO2009/131702, WO2007/087289, WO2006/118772 y Christianson et al., ("Monoclonal antibodies directed against human FcRn and their applications", MABS, (2012), vol. 4, n.º 2).
- 10 Sin embargo, sigue existiendo la necesidad de mejorar los anticuerpos anti-FcRn.

Sumario de la divulgación

20

25

40

- Por lo tanto, en un aspecto de la invención se proporciona un anticuerpo anti-FcRn o fragmento de unión a FcRn del mismo que tiene una cadena pesada que comprende la secuencia dada en la SEQ ID NO: 29 y una cadena ligera que comprende la secuencia dada en la SEQ ID NO: 15. Los anticuerpos de la invención inhiben la unión de IgG a FcRn y se piensa que son útiles para reducir una o más funciones biológicas de FcRn, incluida la reducción de la semivida de los anticuerpos circulantes. Esto puede ser beneficioso porque le permite al paciente eliminar más rápidamente los anticuerpos, tales como los autoanticuerpos.
 - Es importante destacar que los anticuerpos de la presente invención son capaces de unirse a FcRn humano a pH 6 y pH 7,4 con afinidad de unión comparable y alta. De manera ventajosa, por lo tanto, los anticuerpos son capaces de continuar uniéndose a FcRn incluso dentro del endosoma, maximizando así la inhibición de la unión de FcRn a IgG, véase la Figura 10 para ver una ilustración del mecanismo.
 - Los anticuerpos o fragmentos de unión de acuerdo con la presente invención comprenden secuencias de CDR de las SEQ ID NO: 1 a 6, en donde la CDR H1 es la SEQ ID NO: 1, CDR H2 es la SEQ ID NO: 2, CDR H3 es la SEQ ID NO: 3, CDR L1 es la SEQ ID NO: 4, CDR L2 es la SEQ ID NO: 5 y CDR L3 es la SEQ ID NO: 6.
- 30 La invención también se extiende a un polinucleótido, tal como ADN, que codifica un anticuerpo o fragmento como se describe en el presente documento.

También se proporciona una célula hospedadora que comprende dicho polinucleótido.

- Los métodos para expresar un anticuerpo o fragmento se proporcionan en el presente documento, ya que son métodos para conjugar un anticuerpo o fragmento con un polímero, tal como PEG.
 - La presente invención también se refiere a composiciones farmacéuticas que comprenden dichos anticuerpos y fragmentos.
 - La presente invención también se extiende a un anticuerpo, fragmento o composición de acuerdo con la presente invención para su uso en tratamiento, particularmente en el tratamiento de un trastorno inmunitario y/o autoinmunitario.
- Por lo tanto, la presente divulgación proporciona anticuerpos, fragmentos de los mismos y métodos para la eliminación de IgG patógena, que se logra mediante la aceleración del mecanismo natural del cuerpo para catabolizar IgG.
- En esencia, los anticuerpos y fragmentos de acuerdo con la divulgación inhiben el sistema que recicla la IgG en el 50 cuerpo.

Es probable que la terapia actual proporcione un reemplazo o un suplemento para ciertas enfermedades donde la plasmaféresis es una terapia o terapia de IVIg, que es ventajosa para los pacientes.

55 Breve descripción de las Figuras

	La Figura 1 La Figura 2	muestra ciertas secuencias de aminoácidos y polinucleótidos. muestra alineaciones de ciertas secuencias.
	La Figura 3	muestra una comparación de la unión en MDCK II humana para un fragmento Fab' de acuerdo con
60	•	la presente divulgación γ una versión PEGilada del mismo
	La Figura 4	muestra un fragmento Fab' de acuerdo con la presente divulgación y una versión PEGilada del
		mismo que inhibe el reciclado de IgG en células MDCK II
	La Figura 5	muestra un fragmento Fab' PEGilado de acuerdo con la presente divulgación que inhibe la
	_	transcitosis de IgG de origen apical a basolateral en células MDCK II
65	La Figura 6	muestra una comparación de la unión de MDCK II de macaco para un fragmento Fab' de acuerdo
		con la presente divulgación y una versión PEGilada del mismo

	La Figura 7	muestra un fragmento Fab' PEGilado de acuerdo con la presente divulgación que inhibe el
	La Figura 8	reciclado de IgG en células MDCK II para versiones de seres humanos y macacos de las mismas muestra el efecto de una dosis única de una molécula Fab' PEGilada de acuerdo con la divulgación cobre los pivoles de IgC en plasma en macacas.
5	La Figura 9	divulgación sobre los niveles de IgG en plasma en macacos muestra el efecto de cuatro dosis semanales de una molécula Fab' PEGilada de acuerdo con la divulgación sobre los niveles de IgG en plasma
	La Figura 10	muestra una representación esquemática de la función de reciclado de anticuerpos de FcRn inhibida mediante una proteína de inhibición
10	La Figura 11	muestra el análisis de inhibición de IgG humana basada en citometría de flujo utilizando anticuerpos IgG gamma 1 purificados
	La Figura 12	muestra las dosis IV de Fab'PEG únicas/intermitentes en la farmacodinámica de IgG normal en macacos de 20 mg/kg los días 1 y 67
	La Figura 13	muestra las dosis IV de Fab'PEG: repetidas en la farmacodinámica de IgG normal en macacos de 4 x 20 o 100 mg/kg por semana
15	La Figura 14	muestra las dosis IV de Fab'PEG únicas/intermitentes en la farmacodinámica de IgG normal en macacos a -20 mg/kg y 100 mg/kg los días 1 y 67
	La Figura 15	muestra los niveles de IgG en plasma en 4 macacos después de 2 dosis IV de 20 mg/kg de Fab'PEG de 1519.g57
20	La Figura 16	muestra los niveles de IgG en plasma en 4 macacos que reciben 10 dosis IV de 20 mg/kg de Fab'PEG de 1519.g57, una cada 3 días
	La Figura 17	muestra el efecto de dos dosis IV de 30 mg/kg de IgG4P de 1519.g57 sobre la IgG en plasma endógena en macacos
	La Figura 18	muestra el efecto de 30 mg/kg si van seguidas de 41 dosis diarias de 5 mg/kg de IgG4P de 1519.g57 en IgG en plasma en macacos
25	La Figura 19 La Figura 20	muestra el resultado de la dosificación diaria con vehículo en la IgG plasmática en macacos muestra el aclaramiento aumentado de hIgG IV en plasma de ratones transgénicos hFcRn tratados con Fab'PEG de CA170 01519.g57 o PBS IV
	La Figura 21	muestra el aclaramiento aumentado de hIgG IV en plasma de ratones transgénicos hFcRn tratados con IgG1 o IgG4 de CA170_01519.g57 o PBS IV
30	La Figura 22	muestra el aclaramiento aumentado de hIgG IV en plasma de ratones transgénicos hFcRn tratados con Fab'- albúmina de suero humano de CA170_01519.g57 o PBS IV
	La Figura 23	muestra el aclaramiento aumentado de hIgG IV en plasma de ratones transgénicos hFcRn tratados con FabFv de CA170_01519.g57 o PBS IV
35	La Figura 24	muestra el aclaramiento aumentado de hIgG IV en plasma de ratones transgénicos hFcRn tratados con Fab o Fab'PEG de CA170 01519.g57 o PBS IV
	La Figura 25	muestra una proteína de fusión de anticuerpos biespecíficos de la presente invención, denominada Fab-dsFv.

Detalles de la divulgación

40

FcRn, como se emplea en el presente documento, se refiere al complejo no covalente entre la cadena alfa del receptor de IgG humano, también conocido como el receptor Fc neonatal, cuya secuencia de aminoácidos se encuentra en UniProt con el número P55899 junto con β2 microglobulina (β2M), cuya secuencia de aminoácidos se encuentra en UniProt con el número P61769.

45

La molécula de anticuerpo como se emplea en el presente documento se refiere a un anticuerpo o fragmento de unión del mismo.

El término "anticuerpo" como se usa en el presente documento generalmente se refiere a anticuerpos inalterados (completos), es decir, que comprenden los elementos de dos cadenas pesadas y dos cadenas ligeras. El anticuerpo puede comprender además dominios de unión adicionales, por ejemplo, según la molécula DVD-Ig como se describe en el documento WO 2007/024715, o el denominado (FabFv)₂Fc descrito en el documento WO2011/030107. Por lo tanto, el anticuerpo tal como se emplea en el presente documento incluye anticuerpos de longitud completa bi, tri o tetravalentes.

55

60

Los fragmentos de unión de los anticuerpos incluyen anticuerpos de cadena única (es decir, una cadena pesada y una cadena ligera de longitud completa); Fab, Fab modificado, Fab', Fab' modificado, F(ab')2, Fv, Fab-Fv, Fab-dsFv, anticuerpos de dominio único (por ejemplo, VH o VL o VHH), scFv, anticuerpos bi, tri o tetravalentes, Bis-scFv, diacuerpos, tricuerpos, triacuerpos, tetracuerpos y fragmentos de unión a epítopo de cualquiera de los anteriores (véase, por ejemplo, Holliger y Hudson, 2005, Nature Biotech. 23 (9):1126-1136; Adair y Lawson, 2005, Drug Design Reviews - Online 2(3), 209-217). Los métodos para crear y fabricar estos fragmentos de anticuerpo son bien conocidos en la técnica (véase, por ejemplo, Verma et al., 1998, Journal of Immunological Methods, 216, 165-181). El formato Fab-Fv se desveló por primera vez en el documento WO2009/040562 y las versiones estabilizadas con disulfuro del mismo, el Fab-dsFv se desveló por primera vez en el documento WO2010/035012, véase también la Figura 25 en el presente documento. Otros fragmentos de anticuerpo para su uso en la presente invención incluyen los fragmentos Fab y Fab' descritos en las solicitudes de patente internacional WO2005/003169, WO2005/003170 y

WO2005/003171. Los anticuerpos multivalentes pueden comprender múltiples especificidades, por ejemplo, biespecífico o puede ser monoespecífico (véase, por ejemplo, los documentos WO 92/22583 y WO05/113605). Un ejemplo de este último es un Tri-Fab (o TFM) como se describe en el documento WO92/22583.

- 5 Una molécula Fab' típica comprende un par de cadenas pesadas y ligeras en las que la cadena pesada comprende una región variable V_H, un dominio constante C_H1 y una región bisagra natural o modificada y la cadena ligera comprende una región variable V_L y un dominio constante C_L.
- En una realización, se proporciona un dímero de un Fab' de acuerdo con la presente divulgación para crear un 10 F(ab')₂, por ejemplo, la dimerización puede ser a través de la bisagra.

15

45

55

- En una realización, el anticuerpo o fragmento de unión del mismo comprende un dominio de unión. Un dominio de unión generalmente comprenderá 6 CDR, tres de una cadena pesada y tres de una cadena ligera. En una realización, las CDR están en un marco y juntas forman una región variable. Por lo tanto, en una realización, un anticuerpo o fragmento de unión comprende un dominio de unión específico para antígeno que comprende una región variable de cadena ligera y una región variable de cadena pesada.
- Se apreciará que una o más sustituciones, adiciones y/o eliminaciones de aminoácidos (por ejemplo, 1, 2, 3 o 4) pueden hacerse a las CDR u otras secuencias (por ejemplo, dominios variables) proporcionadas por la presente divulgación sin alterar significativamente la capacidad del anticuerpo para unirse a FcRn. Un experto en la técnica puede probar fácilmente el efecto de cualquier sustitución, adición y/o eliminación de aminoácidos, por ejemplo, mediante la utilización de los métodos descritos en el presente documento, en particular en los Ejemplos, para determinar FcRn.
- Se pueden realizar una o más (por ejemplo 1, 2, 3 o 4) sustituciones, adiciones y/o deleciones de aminoácidos en la región marco empleada en el anticuerpo o fragmento proporcionado por la presente divulgación y en donde se conserva o aumenta la afinidad de unión a FcRn.
- Los restos en los dominios variables de anticuerpos se numeran convencionalmente de acuerdo con un sistema ideado por Kabat *et al.* Este sistema se describe en Kabat et al., 1987, en Sequences of Proteins of Immunological Interest, US Department of Health and Human Services, NIH, EE.UU. (en adelante "Kabat *et al.* (*supra*)". Este sistema de numeración se utiliza en la presente descripción detallada, salvo que se indique lo contrario.
- Las designaciones de restos de Kabat no siempre se corresponden directamente con la numeración lineal de los restos de aminoácidos. La secuencia de aminoácidos lineal real puede contener menos aminoácidos o aminoácidos adicionales que en la numeración de Kabat estricta correspondiente a un acortamiento de, o inserción en, un componente estructural, ya sea un marco o una región determinante de complementariedad (CDR), de la estructura del dominio variable básico. La numeración correcta de Kabat de los restos puede determinarse para un anticuerpo dado mediante alineación de los restos de homología en la secuencia del anticuerpo con una secuencia numerada de Kabat "convencional".
 - Las CDR del dominio variable de cadena pesada están ubicadas en los restos 31-35 (CDR-H1), los restos 50-65 (CDR-H2) y los restos 95-102 (CDR-H3) de acuerdo con el sistema de numeración de Kabat. Sin embargo, de acuerdo con Chothia (Chothia, C. y Lesk, A.M. J. Mol. Biol., 196, 901-917 (1987)), el bucle equivalente a CDR-H1 se extiende desde el resto 26 hasta el resto 32. Por lo tanto, a menos que se indique lo contrario, "CDR-H1", tal como se emplea en el presente documento, pretende referirse a los restos 26 a 35, como se describe en una combinación del sistema de numeración de Kabat y la definición del bucle topológico de Chothia.
- Las CDR del dominio variable de cadena ligera están ubicadas en los restos 24-34 (CDR-L1), los restos 50-56 (CDR-L2) y los restos 89-97 (CDR-L3) de acuerdo con el sistema de numeración de Kabat.
 - Los anticuerpos y fragmentos de la presente divulgación inhiben FcRn y, por lo tanto, pueden evitar que funcione en el reciclado de IgG. La inhibición, tal como se emplea en el presente documento, se refiere a una inhibición física, tal como ocluir el receptor, pero también incluirá dónde se unen el anticuerpo o fragmentos a un epítopo que causa, por ejemplo, un cambio conformacional que significa que ya no se une el ligando natural al receptor. Las moléculas de anticuerpos de la presente invención se unen a FcRn y, por lo tanto, disminuyen o evitan (por ejemplo, inhiben) la unión de FcRn a una región constante de IgG.
 - En una realización, el anticuerpo o fragmento del mismo se une a FcRn competitivamente con respecto a IgG.
 - En un ejemplo, el anticuerpo o fragmento de unión del mismo funciona como un inhibidor competitivo de la unión de FcRn humano a IgG humana. En un ejemplo, el anticuerpo o fragmento de unión del mismo se une al sitio de unión de IgG en FcRn. En un ejemplo, el anticuerpo o fragmento de unión del mismo no se une a β2M.
- 65 Los anticuerpos para su uso en la presente divulgación pueden obtenerse usando cualquier método adecuado conocido en la técnica. Las proteínas de fusión que incluyen el polipéptido/proteína FcRn, células (recombinantes o

naturales) que expresan el polipéptido (tal como los linfocitos T activados) se pueden usar para producir anticuerpos que reconocen específicamente FcRn. El polipéptido puede ser el polipéptido "maduro" o un fragmento o derivado biológicamente activo del mismo. La proteína humana está registrada en Swiss-Prot con el número P55899. El dominio extracelular de la cadena alfa de FcRn humano se proporciona en la SEQ ID NO: 94. La secuencia de β2M se proporciona en la SEQ ID NO: 95.

En una realización, el antígeno es una forma mutante de FcRn que está diseñada para presentar FcRn en la superficie de una célula, de manera que hay poco o ningún procesamiento dinámico donde FcRn se internaliza en la célula, por ejemplo, esto se puede lograr mediante una mutación en la cola citoplásmica de la cadena alfa de FcRn, en donde la dileucina se muta a dialanina como se describe en Ober et al., 2001 Int. Immunol. 13, 1551-1559.

Los polipéptidos, para su uso para inmunizar un hospedador, pueden prepararse mediante procesos bien conocidos en la técnica a partir de células hospedadoras modificadas por ingeniería genética que comprenden sistemas de expresión o pueden recuperarse de fuentes biológicas naturales. En la presente solicitud, el término "polipéptido" incluye péptidos, polipéptidos y proteínas. Estos se usan indistintamente a menos que se especifique lo contrario. El polipéptido FcRn puede ser, en algunos casos, parte de una proteína más grande, como una proteína de fusión, por ejemplo, fusionada con un marcador de afinidad o similar.

Los anticuerpos generados contra el polipéptido FcRn pueden obtenerse, cuando sea necesaria la inmunización de un animal, mediante la administración de los polipéptidos a un animal, preferentemente un animal no humano, usando protocolos bien conocidos y rutinarios, véase, por ejemplo, Handbook of Experimental Immunology, D. M. Weir (ed.), vol. 4, Blackwell Scientific Publishers, Oxford, Inglaterra, 1986). Muchos animales de sangre caliente, tales como conejos, ratones, ratas, ovejas, vacas, camellos o cerdos pueden ser inmunizados. Sin embargo, ratones, conejos, cerdos y ratas son generalmente los más adecuados.

Los anticuerpos monoclonales se pueden preparar mediante cualquier método conocido en la técnica, tal como la técnica de hibridoma (Kohler & Milstein, 1975, Nature, 256:495-497), la técnica de trioma, la técnica de hibridoma de linfocitos B humanos (Kozbor et al., 1983, Immunology Today, 4:72) y la técnica de hibridoma EBV (Cole et al., Monoclonal Antibodies and Cancer Therapy, págs. 77-96, Alan R Liss, Inc., 1985).

Los anticuerpos para su uso en la invención también pueden generarse usando métodos de anticuerpos de linfocitos individuales mediante la clonación y expresión de ADNc de región variable de inmunoglobulinas generados a partir de linfocitos individuales seleccionados para la producción de anticuerpos específicos mediante, por ejemplo, los métodos descritos por Babcook, J. et al., 1996, Proc. Natl. Acad. Sci. USA 93(15):7843-78481; el documento WO92/02551; el documento WO2004/051268 y la solicitud de patente internacional número WO2004/106377.

La selección de anticuerpos se puede realizar utilizando ensayos para medir la unión a FcRn humano y/o ensayos para medir la capacidad de inhibir la unión de IgG al receptor. Un ejemplo de un ensayo de unión es un ELISA, en particular, que utiliza una proteína de fusión de FcRn humano y Fc humano, que se inmoviliza en placas, y que emplea un anticuerpo secundario para detectar el anticuerpo anti-FcRn unido a la proteína de fusión. Los ejemplos de ensayos antagonistas y de inhibición adecuados se describen en los Ejemplos en el presente documento.

Los anticuerpos humanizados (que incluyen anticuerpos injertados con CDR) son moléculas de anticuerpos que tienen una o más regiones determinantes de complementariedad (CDR) de una especie no humana y una región marco de una molécula de inmunoglobulina humana (véase, por ejemplo, los documentos US 5.585.089; WO91/09967). Se apreciará que solo puede ser necesario transferir la especificidad que determina los restos de las CDR en lugar de la CDR completa (véase, por ejemplo, Kashmiri et al., 2005, Methods, 36, 25-34). Los anticuerpos humanizados pueden opcionalmente comprender además uno o más restos marco procedentes de la especie no humana de la que procedían las CDR. Estos últimos se denominan a menudo restos de donantes.

Específico, tal como se emplea en el presente documento, pretende referirse a un anticuerpo que solo reconoce el antígeno para el que es específico o a un anticuerpo que tiene una afinidad de unión significativamente mayor al antígeno para el que es específico en comparación con la unión a antígenos para los que no es específico, por ejemplo, al menos 5, 6, 7, 8, 9, 10 veces mayor afinidad de unión. La afinidad de unión puede medirse mediante técnicas tales como BIAcore como se describe en el presente documento a continuación. En un ejemplo, el anticuerpo de la presente invención no se une a la β2 microglobulina (β2M). En un ejemplo, el anticuerpo de la presente invención se une a FcRn de macaco. En un ejemplo, el anticuerpo de la presente invención no se une a FcRn de rata o ratón.

60 Las secuencias de aminoácidos y las secuencias de polinucleótidos de ciertos anticuerpos de acuerdo con la presente divulgación se proporcionan en las Figuras.

En una realización, el anticuerpo o fragmentos de acuerdo con la divulgación están humanizados.

Tal como se utiliza en el presente documento, la expresión "molécula de anticuerpo humanizado" se refiere a una molécula de anticuerpo en la que la cadena pesada y/o ligera contiene una o más CDR (incluyendo, si se desea, una

6

45

10

15

30

35

40

50

o más CDR modificadas) de un anticuerpo donante (por ejemplo, un anticuerpo no humano tal como un anticuerpo monoclonal murino) injertado en un marco de región variable de cadena pesada y/o ligera de un anticuerpo aceptor (por ejemplo, un anticuerpo humano). Para una revisión, véase Vaughan et al, Nature Biotechnology, 16, 535-539, 1998. En una realización, en lugar de que se transfiera la CDR completa, solo uno o más de los restos que determinan la especificidad de una cualquiera de las CDR descritas anteriormente en el presente documento se transfieren al marco del anticuerpo humano (véase, por ejemplo, Kashmiri et al., 2005, Methods, 36, 25-34). En una realización, solo los restos que determinan la especificidad de una o más de las CDR descritas en el presente documento anteriormente se transfieren al marco del anticuerpo humano. En otra realización, solo los restos que determinan la especificidad de cada una de las CDR descritas en el presente documento anteriormente se transfieren al marco del anticuerpo humano.

Cuando se injertan las CDR o los restos que determinan la especificidad, se puede usar cualquier secuencia marco de la región variable aceptora apropiada con respecto a la clase/tipo del anticuerpo donante del que proceden las CDR, incluidas las regiones marco de ratón, primate y ser humano.

Adecuadamente, el anticuerpo humanizado de acuerdo con la presente invención tiene un dominio variable que comprende regiones marco aceptoras humanas, así como una o más de las CDR proporcionadas específicamente en el presente documento. Por lo tanto, en una realización se proporciona un anticuerpo humanizado de inhibición que se une a FcRn humano en el que el dominio variable comprende regiones marco de humanas y CDR de donante no humano.

Ejemplos de marcos humanos que se pueden usar en la presente divulgación son KOL, NEWM, REI, EU, TUR, TEI, LAY y POM (Kabat et al., supra). Por ejemplo, KOL y NEWM se pueden usar para la cadena pesada, REI se puede usar para la cadena ligera y EU, LAY y POM se pueden usar tanto para la cadena pesada como para la cadena ligera. Como alternativa, pueden usarse secuencias de la línea germinal humana; estas están disponibles en: http://vbase.mrc-cpe.cam.ac.uk/.

En un anticuerpo humanizado de la presente divulgación, las cadenas pesada y ligera aceptoras no necesitan necesariamente proceder del mismo anticuerpo y pueden, si se desea, comprender cadenas compuestas que tienen regiones marco procedentes de diferentes cadenas.

Dicha región marco adecuada para la cadena pesada del anticuerpo humanizado de la presente invención procede de la secuencia 1-3 3-07 del subgrupo VH3 humano junto con JH4 (SEQ ID NO: 56).

- Por consiguiente, en un ejemplo se proporciona un anticuerpo humanizado que comprende la secuencia dada en la SEQ ID NO: 1 para CDR-H1, la secuencia dada en la SEQ ID NO: 2 para CDR-H2 y la secuencia dada en la SEQ ID NO: 3 para CDRH3, en el que la región marco de la cadena pesada procede de la secuencia 1-3 3-07 del subgrupo VH3 humano junto con JH4.
- 40 La secuencia de JH4 humano es como sigue: (YFDY)WGQGTLVTVS (SEQ ID NO: 70). El motivo YFDY es parte de CDR-H3 y no es parte del marco 4 (Ravetch, JV. et al., 1981, Cell, 27, 583-591).
 - El dominio variable de cadena pesada del anticuerpo comprende la secuencia dada en la SEQ ID NO: 29.
- 45 Una región marco adecuada para la cadena ligera del anticuerpo humanizado de la presente invención procede de la secuencia 2-1-(1) A30 del subgrupo VK1 de la línea germinal humana junto con JK2 (SEQ ID NO: 54).

Por consiguiente, en un ejemplo se proporciona un anticuerpo humanizado que comprende la secuencia dada en la SEQ ID NO: 4 para CDR-L1, la secuencia dada en la SEQ ID NO: 5 para CDR-L2 y la secuencia dada en la SEQ ID NO: 6 para CDRL3, en el que la región marco de la cadena ligera procede de la secuencia 2-1-(1) A30 del subgrupo VK1 humano junto con JK2.

La secuencia de JK2 es como sigue: (YT)FGQGTKLEIK (SEQ ID NO: 71). El motivo YT es parte de CDR-L3 y no es parte del marco 4 (Hieter, PA., et al., 1982, J. Biol. Chem., 257, 1516-1522).

El dominio variable de cadena ligera del anticuerpo comprende la secuencia dada en la SEQ ID NO: 15.

En un anticuerpo humanizado de la presente invención, las regiones marco no necesitan tener exactamente la misma secuencia que las del anticuerpo aceptor. Por ejemplo, los restos inusuales se pueden cambiar a restos de origen frecuentes para esa clase o tipo de cadena aceptora. Como alternativa, los restos seleccionados en las regiones marco aceptoras pueden cambiarse de manera que correspondan al resto encontrado en la misma posición en el anticuerpo donante (véase Reichmann et al., 1998, Nature, 332, 323-324). Dichos cambios se deben mantener al mínimo necesario para recuperar la afinidad del anticuerpo donante. En el documento WO91/09967 se expone un protocolo para seleccionar restos en las regiones marco aceptoras que puede ser necesario cambiar.

65

60

55

10

15

20

25

Por lo tanto, en una realización, 1, 2, 3, 4 o 5 restos en el marco se reemplazan con un resto de aminoácido alternativo.

Por consiguiente, en un ejemplo se proporciona un anticuerpo humanizado, en el que al menos los restos en cada una de las posiciones 3, 24, 76, 93 y 94 del dominio variable de la cadena pesada (numeración de Kabat) son restos donantes, véase, por ejemplo, la secuencia dada en la SEQ ID Nº: 29.

En una realización, el resto 3 del dominio variable de cadena pesada se reemplaza con un aminoácido alternativo, por ejemplo, glutamina.

10 En una realización, el resto 24 del dominio variable de ca

En una realización, el resto 24 del dominio variable de cadena pesada se reemplaza con un aminoácido alternativo, por ejemplo, alanina.

En una realización, el resto 76 del dominio variable de cadena pesada se reemplaza con un aminoácido alternativo, por ejemplo, asparagina.

En una realización, el resto 93 de la cadena pesada se reemplaza con un aminoácido alternativo, por ejemplo, alanina.

20 En una realización, el resto 94 de la cadena pesada se reemplaza con un aminoácido alternativo, por ejemplo, arginina.

En una realización, el resto 3 es glutamina, el resto 24 es alanina, el resto 76 es asparagina, el resto 93 es alanina y el resto 94 es arginina en la región variable de la cadena pesada humanizada de acuerdo con la presente divulgación.

Por consiguiente, en un ejemplo se proporciona un anticuerpo humanizado, en el que al menos los restos en cada una de las posiciones 36, 37 y 58 del dominio variable de la cadena ligera (numeración de Kabat) son restos de donante, véase, por ejemplo, la secuencia dada en la SEQ ID Nº: 15.

En una realización, el resto 36 del dominio variable de cadena ligera se reemplaza con un aminoácido alternativo, por ejemplo, tirosina.

En una realización, el resto 37 del dominio variable de cadena ligera se reemplaza con un aminoácido alternativo, por ejemplo, glutamina.

En una realización, el resto 58 del dominio variable de cadena ligera se reemplaza con un aminoácido alternativo, por ejemplo, valina.

40 En una realización, el resto 36 es tirosina, el resto 37 es glutamina y el resto 58 es valina, en la región variable de la cadena pesada humanizada de acuerdo con la presente divulgación.

En una realización, la divulgación proporciona una secuencia de anticuerpo que es similar o idéntica al 80 % de una secuencia desvelada en el presente documento, por ejemplo, el 85 %, el 90 %, el 91 %, el 92 %, el 93 %, el 94 %, el 95 %, el 96 %, el 97 %, el 98 % o el 99 % sobre una parte o la totalidad de la secuencia en cuestión, por ejemplo, una secuencia de dominio variable, una secuencia CDR o una secuencia de dominio variable, excluyendo las CDR. En una realización, la secuencia en cuestión es la SEQ ID NO: 15. En una realización, la secuencia en cuestión es la SEQ ID NO: 29.

- En una realización, la presente divulgación proporciona una molécula de anticuerpo que se une a FcRn humano que comprende una cadena pesada, en donde el dominio variable de la cadena pesada comprende una secuencia que tiene al menos el 80 %, el 85 %, el 90 %, el 91 %, el 92 %, el 93 %, el 94 %, el 95 %, el 96 %, el 97 %, el 98 % o el 99 % de identidad o similitud con la secuencia dada en la SEQ ID NO: 29.
- En una realización, la presente divulgación proporciona una molécula de anticuerpo que se une a FcRn humano que comprende una cadena ligera, en donde el dominio variable de la cadena ligera comprende una secuencia que tiene al menos el 80 %, el 85 %, el 90 %, el 91 %, el 92 %, el 93 %, el 94 %, el 95 %, el 96 %, el 97 %, el 98 % o el 99 % de identidad o similitud con la secuencia dada en la SEQ ID NO: 15.
- En una realización, la presente divulgación proporciona una molécula de anticuerpo que se une a FcRn humano en donde el anticuerpo tiene un dominio variable de cadena pesada que es al menos el 90 %, el 91 %, el 92 %, el 93 %, el 94 %, el 95 %, el 96 %, el 97 %, el 98 % o el 99 % similar o idéntico a la secuencia dada en la SEQ ID NO: 29 pero en donde la molécula de anticuerpo tiene la secuencia dada en la SEQ ID NO: 1 para CDR-H1, la secuencia dada en la SEQ ID NO: 2 para CDR-H2 y la secuencia dada en la SEQ ID NO: 3 para CDR-H3.

65

30

En una realización, la presente divulgación proporciona una molécula de anticuerpo que se une a FcRn humano en donde el anticuerpo tiene un dominio variable de cadena ligera que es al menos el 90 %, el 91 %, el 92 %, el 93 %, el 94 %, el 95 %, el 96 %, el 97 %, el 98 % o el 99 % similar o idéntico a la secuencia dada en la SEQ ID NO: 15 pero en donde la molécula de anticuerpo tiene la secuencia dada en la SEQ ID NO: 4 para CDR-L1, la secuencia dada en la SEQ ID NO: 5 para CDR-L2 y la secuencia dada en la SEQ ID NO: 6 para CDR-L3.

En una realización, la presente divulgación proporciona una molécula de anticuerpo que se une a FcRn humano en donde el anticuerpo tiene un dominio variable de cadena pesada que es al menos el 90 %, el 91 %, el 92 %, el 93 %, el 94 %, el 95 %, el 96 %, el 97 %, el 98 % o el 99 % similar o idéntico a la secuencia dada en la SEQ ID NO: 29 y un dominio variable de cadena ligera que es al menos el 90%, el 91 %, el 92 %, el 93 %, el 94 %, el 95 %, el 96 %, el 97 %, el 98 % o el 99 % similar o idéntico a la secuencia dada en la SEQ ID NO: 15 pero en donde la molécula de anticuerpo tiene la secuencia dada en la SEQ ID NO: 1 para CDR-H1, la secuencia dada en la SEQ ID NO: 2 para CDR-H2, la secuencia dada en la SEQ ID NO: 3 para CDR-H3, la secuencia dada en la SEQ ID NO: 4 para CDR-L1, la secuencia dada en la SEQ ID NO: 5 para CDR-L2 y la secuencia dada en la SEQ ID NO: 6 para CDR-L3.

15

20

25

10

"Identidad", como se utiliza en el presente documento, indica que en cualquier posición particular en las secuencias alineadas, el resto de aminoácido es idéntico entre las secuencias. "Similitud", como se utiliza en el presente documento, indica que, en cualquier posición particular en las secuencias alineadas, el resto de aminoácido es de un tipo similar entre las secuencias. Por ejemplo, la leucina puede sustituirse por isoleucina o valina. Otros aminoácidos que a menudo se pueden sustituir entre sí incluyen, pero sin limitación:

- fenilalanina, tirosina y triptófano (aminoácidos que tienen cadenas laterales aromáticas);
- lisina, arginina e histidina (aminoácidos que tienen cadenas laterales básicas);
- aspartato y glutamato (aminoácidos que tienen cadenas laterales ácidas);
- asparagina y glutamina (aminoácidos que tienen cadenas laterales de amida); y
 - cisteína y metionina (aminoácidos que tienen cadenas laterales que contienen azufre). Los grados de identidad y similitud se pueden calcular fácilmente (Computational Molecular Biology, Lesk, A.M., ed., Oxford University Press, Nueva York, 1988; Biocomputing. Informatics and Genome Projects, Smith, D.W., ed., Academic Press, Nueva York, 1993; Computer Analysis of Sequence Data, Parte 1, Griffin, A.M. y Griffin, H.G., eds., Humana Press, Nueva Jersey, 1994; Sequence Analysis in Molecular Biology, von Heinje, G., Academic Press, 1987, Sequence Analysis Primer, Gribskov, M. y Devereux, J., eds., M Stockton Press, Nueva York, 1991, el software BLAST™ disponible de NCBI (Altschul, S.F. et al., 1990, J. Mol. Biol. 215:403-410; Gish, W. & States, D.J. 1993, Nature Genet. 3:266-272. Madden, T.L. et al., 1996, Meth. Enzymol. 266:131-141; Altschul, S.F. et al., 1997, Nucleic Acids Res. 25:3389-3402; Zhang, J. & Madden, T.L. 1997, Genome Res. 7:649-656,).

35

40

45

30

Las moléculas de anticuerpo de la presente invención pueden comprender una molécula de anticuerpo completa que tiene cadenas pesadas y ligeras de longitud completa o un fragmento de las mismas y puede ser, pero sin limitación, Fab, Fab modificado, Fab', Fab' modificado, F(ab')2, Fv, anticuerpos de dominio único (por ejemplo, VH o VL o VHH), scFv, anticuerpos bi, tri o tetravalentes, Bis-scFv, diacuerpos, triacuerpos, tetracuerpos y fragmentos de unión a epítopo de cualquiera de los anteriores (véase, por ejemplo, Holliger y Hudson, 2005, Nature Biotech. 23 (9):1126-1136; Adair y Lawson, 2005, Drug Design Reviews - Online 2(3), 209-217). Los métodos para crear y fabricar estos fragmentos de anticuerpo son bien conocidos en la técnica (véase, por ejemplo, Verma et al., 1998, Journal of Immunological Methods, 216, 165-181). Otros fragmentos de anticuerpo para su uso en la presente invención incluyen los fragmentos Fab y Fab' descritos en las solicitudes de patente internacional WO2005/003169, WO2005/003170 y WO2005/003171. Los anticuerpos multivalentes pueden comprender múltiples especificidades, por ejemplo, biespecífico o puede ser monoespecífico (véase, por ejemplo, los documentos WO 92/22853, WO05/113605, WO2009/040562 y WO2010/035012).

50

En una realización, la molécula de anticuerpo de la presente invención es un fragmento Fab' de anticuerpo que comprende las regiones variables mostradas en las SEQ ID NO: 15 y 29, por ejemplo, para la cadena ligera y pesada respectivamente. En una realización, la molécula de anticuerpo tiene una cadena ligera que comprende la secuencia dada en la SEQ ID NO: 22 y una cadena pesada que comprende la secuencia dada en la SEQ ID NO: 36.

En una realización, la molécula de anticuerpo de la presente invención es un anticuerpo IgG1 de longitud completa 55 que comprende las regiones variables mostradas en las SEQ ID NO: 15 y 29, por ejemplo, para la cadena ligera y pesada respectivamente. En una realización, la molécula de anticuerpo tiene una cadena ligera que comprende la secuencia dada en la SEQ ID NO: 22 y una cadena pesada que comprende la secuencia dada en la SEQ ID NO: 72.

60

En una realización, la molécula de anticuerpo de la presente invención es un formato de IgG4 de longitud variable que comprende las regiones variables mostradas en las SEQ ID NO: 15 y 29 para la cadena ligera y pesada respectivamente. En una realización, la molécula de anticuerpo tiene una cadena ligera que comprende la secuencia dada en la SEQ ID NO: 22 y una cadena pesada que comprende la secuencia dada en la SEQ ID NO: 87.

En una realización, la molécula de anticuerpo de la presente invención es un formato de IgG4P de longitud variable 65 que comprende las regiones variables mostradas en las SEQ ID NO: 15 y 29 para la cadena ligera y pesada respectivamente. En una realización, la molécula de anticuerpo tiene una cadena ligera que comprende la secuencia

dada en la SEQ ID NO: 22 y una cadena pesada que comprende la secuencia dada en la SEQ ID NO: 43.

10

15

20

25

60

IgG4P, tal como se emplea en el presente documento, es una mutación del isotipo IgG4 de tipo silvestre donde el aminoácido 241 se reemplaza por la prolina, véase, por ejemplo, donde la serina en la posición 241 se cambió a prolina como se describe en Angal et al., Molecular Immunology, 1993, 30 (1), 105-108.

En una realización, el anticuerpo de acuerdo con la presente divulgación se proporciona como una proteína de fusión de anticuerpo de unión a FcRn que comprende una fracción de inmunoglobulina, por ejemplo, un fragmento Fab o Fab', y uno o dos anticuerpos de dominio único (dAc) unidos directa o indirectamente al mismo, por ejemplo, como se describe en los documentos WO2009/040562, WO2010035012, WO2011/030107, WO2011/061492 y WO2011/086091.

En una realización, la proteína de fusión comprende dos dominios de anticuerpo, por ejemplo, como un emparejamiento de variable de cadena pesada (VH) y variable de cadena ligera (VL), opcionalmente unidos por un enlace disulfuro.

En una realización, el elemento Fab o Fab' de la proteína de fusión tiene la misma o similar especificidad al anticuerpo o anticuerpos de dominio único. En una realización, el Fab o Fab' tiene una especificidad diferente al anticuerpo o anticuerpos de dominio único, es decir, la proteína de fusión es multivalente. En una realización, una proteína de fusión multivalente de acuerdo con la presente divulgación tiene un sitio de unión a albúmina, por ejemplo, un par VH/VL en el mismo proporciona un sitio de unión a albúmina. En una de dichas realizaciones, la cadena pesada comprende la secuencia dada en la SEQ ID NO: 50 y la cadena ligera comprende la secuencia dada en la SEQ ID NO: 46 o la SEQ ID NO: 78. Este formato Fab-dsFv se ilustra en la Figura 25 en el presente documento.

En una realización, el Fab o Fab' de acuerdo con la presente invención se conjuga con una molécula PEG o albúmina de suero humano.

CA170_01519 g57 y 1519 y 1519.g57 se emplean de manera intercambiable en el presente documento y se usan para referirse a un par específico de regiones variables de anticuerpos que se pueden usar en varios formatos diferentes. Estas regiones variables son la secuencia de la cadena pesada dada en la SEQ ID NO: 29 y la secuencia de la cadena ligera dada en la SEQ ID NO: 15 (Figura 1).

Los dominios de región constante de la molécula de anticuerpo de la presente invención, si están presentes, pueden seleccionarse teniendo en cuenta la función propuesta de la molécula de anticuerpo, y en particular las funciones 35 efectoras que pueden ser necesarias. Por ejemplo, los dominios de región constante pueden ser dominios de IgA, IgD, IgE, IgG o IgM humanas. En particular, se pueden usar dominios de región constante de IgG humana, especialmente de los isotipos IgG1 e IgG3 cuando la molécula de anticuerpo está destinada a usos terapéuticos y se requieren funciones efectoras de anticuerpos. Como alternativa, los isotipos IgG2 e IgG4 pueden usarse cuando la 40 molécula de anticuerpo está destinada a fines terapéuticos y no se requieren funciones efectoras de anticuerpos. Se apreciará que también se pueden usar variantes de secuencia de estos dominios de región constante. Por ejemplo, las moléculas de IgG4 en las que la serina en la posición 241 se ha cambiado a prolina como se describe en Angal et al., Molecular Immunology, 1993, 30 (1), 105-108 pueden usarse. Un experto en la técnica también entenderá que los anticuerpos pueden sufrir una variedad de modificaciones postraduccionales. El tipo y el alcance de estas modificaciones a menudo dependen de la línea de la célula hospedadora utilizada para expresar el anticuerpo, así 45 como de las condiciones de cultivo. Dichas modificaciones pueden incluir variaciones en la glucosilación, oxidación de metionina, formación de dicetopiperazina, isomerización de aspartato y desamidación de asparagina. Una modificación frecuente es la pérdida de un resto básico carboxi-terminal (tal como lisina o arginina) debido a la acción de las carboxipeptidasas (como se describe en Harris, RJ. Journal of Chromatography 705:129-134, 1995). 50 Por consiguiente, la lisina C-terminal de la cadena pesada del anticuerpo puede estar ausente.

En una realización, la cadena pesada del anticuerpo comprende un dominio CH1 y la cadena ligera del anticuerpo comprende un dominio CL, ya sea kappa o lambda.

En una realización, la cadena ligera tiene la secuencia dada en la SEQ ID NO: 22 y la cadena pesada tiene la secuencia dada en la SEQ ID NO: 43.

En una realización, la cadena ligera tiene la secuencia dada en la SEQ ID NO: 22 y la cadena pesada tiene la secuencia dada en la SEQ ID NO: 72.

En una realización, un aminoácido C-terminal de la molécula de anticuerpo se escinde durante las modificaciones postraduccionales.

En una realización, un aminoácido N-terminal de la molécula de anticuerpo se escinde durante las modificaciones postraduccionales.

La presente divulgación también proporciona una región específica o epítopo de FcRn humano que está unido por un anticuerpo proporcionado por la presente invención, en particular, un anticuerpo que comprende la secuencia de la cadena pesada gH20 (SEQ ID NO: 29) y/o la secuencia de la cadena ligera gL20 (SEQ ID NO: 15).

Esta región o epítopo específico del polipéptido FcRn humano se puede identificar mediante cualquier método de mapeo de epítopos adecuado conocido en la técnica en combinación con uno cualquiera de los anticuerpos proporcionados por la presente invención. Los ejemplos de dichos métodos incluyen la selección de péptidos de longitudes variables procedentes de FcRn para unirse al anticuerpo de la presente invención con el fragmento más pequeño que se puede unir específicamente al anticuerpo que contiene la secuencia del epítopo reconocido por el anticuerpo. Los péptidos FcRn pueden producirse sintéticamente o mediante digestión proteolítica del polipéptido FcRn. Los péptidos que se unen al anticuerpo se pueden identificar mediante, por ejemplo, análisis espectrométrico de masas. En otro ejemplo, se puede usar la espectroscopía de RMN o la cristalografía de rayos X para identificar el epítopo unido por un anticuerpo de la presente invención. Una vez identificado, el fragmento epitópico que se une a un anticuerpo de la presente invención se puede usar, si se requiere, como un inmunógeno para obtener anticuerpos adicionales que se unen al mismo epítopo.

En una realización, el anticuerpo de la presente divulgación se une a la secuencia extracelular de la cadena alfa de FcRn humano como se muestra a continuación:

AESHLSLLYH LTAVSSPAPG TPAFWVSGWL GPQQYLSYNS LRGEAEPCGA WVWENQVSWY WEKETTDLRI KEKLFLEAFK ALGGKGP<u>Y</u>TL QGLLGCELG**P** DNTS**VPTAK**F ALNG**EEFMNF DLKQ**GTW**GGD WPE**ALAISQR WQQQDKAANK

20

ELTFLLFSCP HRLREHLERG RGNLEWKEPP SMRLKARPSS PGFSVLTCSA FSFYPPELQL RFLRNGLAAG TGQGDFGPNS DGSFHASSSL TVKSGDEHHY CCIVQHAGLA QPLRVELESPAKSS (SEQ ID NO: 94).

- Los restos subrayados son aquellos que se sabe que son importantes para la interacción de FcRn humano con la región Fc de la IgG humana y los restos resaltados en negrita son aquellos implicados en la interacción de FcRn con el anticuerpo 1519 de la presente divulgación que comprende la secuencia de la cadena pesada gH20 (SEQ ID NO: 29) y la secuencia de la cadena ligera gL20 (SEQ ID NO: 15).
- En un ejemplo, se proporciona una molécula de anticuerpo anti-FcRn que se une a un epítopo de FcRn humano que comprende al menos un aminoácido seleccionado del grupo que consiste en los restos V105, P106, T107, A108 y K109 de la SEQ ID NO: 94 y al menos un resto, por ejemplo, al menos 2, 3, 4, 5, 6, 7, 8, 9 o 10 restos seleccionados del grupo que consiste en P100, E115, E116, F117, M118, N119, F120, D121, L122, K123, Q124, G128, G129, D130, W131, P132 y E133 de la SEQ ID NO: 94.
- En un ejemplo, el epítopo de la molécula de anticuerpo se determina mediante cristalografía de rayos X utilizando la secuencia extracelular de la cadena alfa de FcRn (SEQ ID NO: 94) en complejo con β2M.
- En un ejemplo, se proporciona una molécula de anticuerpo anti-FcRn que se une a un epítopo de FcRn humano que comprende al menos un aminoácido seleccionado del grupo que consiste en los restos V105, P106, T107, A108 y K109 de la SEQ ID NO: 94 y al menos un resto, por ejemplo, al menos 2, 3, 4, 5, 6, 7, 8, 9 o 10 restos, seleccionados del grupo que consiste en E115, E116, F117, M118, N119, F120, D121, L122, K123 y Q124 de la SEQ ID NO: 94.
- En un ejemplo, se proporciona una molécula de anticuerpo anti-FcRn que se une a un epítopo de FcRn humano que comprende al menos dos, tres, cuatro o cinco aminoácidos seleccionados del grupo que consiste en los restos V105, P106, T107, A108 y K109 de la SEQ ID NO:94 y al menos un resto seleccionado del grupo que consiste en E115, E116, F117, M118, N119, F120, D121, L122, K123 y Q124 de la SEQ ID NO: 94.
- En un ejemplo, se proporciona una molécula de anticuerpo anti-FcRn que se une a un epítopo de FcRn humano que comprende al menos un aminoácido seleccionado del grupo que consiste en los restos V105, P106, T107, A108 y K109 de la SEQ ID NO:94 y al menos un resto seleccionado del grupo que consiste en P100, E115, E116, F117, M118, N119, F120, D121, L122, K123, Q124, G128, G129, D130, W131, P132 y E133 de la SEQ ID NO: 94.
- En un ejemplo, se proporciona una molécula de anticuerpo anti-FcRn que se une a un epítopo de FcRn humano que comprende al menos un aminoácido seleccionado del grupo que consiste en los restos V105, P106, T107, A108 y K109 de la SEQ ID NO:94 y al menos un resto seleccionado del grupo que consiste en P100, M118, N119, F120, D121, L122, K123, Q124 y G128 de la SEQ ID NO: 94.

En un ejemplo, se proporciona una molécula de anticuerpo anti-FcRn que se une a un epítopo de FcRn humano que comprende los restos V105, P106, T107, A108 y K109 de la SEQ ID NO:94 y al menos un resto seleccionado del grupo que consiste en P100, M118, N119, F120, D121, L122, K123, Q124 y G128 de la SEQ ID NO: 94.

- 5 En un ejemplo, se proporciona una molécula de anticuerpo anti-FcRn que se une a un epítopo de FcRn humano que comprende los restos V105, P106, T107, A108 y K109 de la SEQ ID NO:94 y al menos un resto seleccionado del grupo que consiste en P100, E115, E116, F117, M118, N119, F120, D121, L122, K123, Q124, G128, G129, D130, W131, P132 y E133 de la SEQ ID NO: 94.
- En un ejemplo, se proporciona una molécula de anticuerpo anti-FcRn que se une a un epítopo de FcRn humano que comprende los restos P100, V105, P106, T107, A108 y K109 de la SEQ ID NO:94 y al menos un resto seleccionado del grupo que consiste en E115, E116, F117, M118, N119, F120, D121, L122, K123, Q124, G128, G129, D130, W131, P132 y E133 de la SEQ ID NO: 94.
- 15 En un ejemplo "al menos un resto" puede ser 1, 2, 3, 4, 5, 6, 7, 8, 9, 10, 11, 12, 13, 14, 15 o 16 restos.

35

50

- En un ejemplo, se proporciona una molécula de anticuerpo anti-FcRn que se une a un epítopo de FcRn humano que comprende o consiste en los restos 100, 105 a 109, 115 a 124 y 129 a 133 de la SEQ ID NO: 94.
- Anticuerpos que inhiben de manera cruzada la unión de una molécula de anticuerpo de acuerdo con la presente invención, en particular, una molécula de anticuerpo que comprende la secuencia de la cadena pesada dada en la SEQ ID NO: 29 y la secuencia de la cadena ligera dada en la SEQ ID NO: 15 pueden ser igualmente útiles en la inhibición de la actividad de FcRn. Por consiguiente, la presente descripción también proporciona una molécula de anticuerpo anti-FcRn, que inhibe de manera cruzada la unión de una cualquiera de las moléculas de anticuerpo descritas anteriormente en el presente documento a FcRn humano y/o está inhibida de manera cruzada para unirse a FcRn humano mediante uno cualquiera de esos anticuerpos. En una realización, dicho anticuerpo se une al mismo epítopo que un anticuerpo descrito anteriormente en el presente documento. En otra realización, el anticuerpo neutralizante de inhibición cruzada se une a un epítopo que bordea y/o se superpone con el epítopo unido por un anticuerpo descrito anteriormente en el presente documento.
 - Los anticuerpos de inhibición cruzada se pueden identificar utilizando cualquier método adecuado en la técnica, por ejemplo, mediante la utilización de ensayos BIAcore o ELISA de competición donde la unión del anticuerpo de inhibición cruzada a FcRn humano evita la unión de un anticuerpo de la presente invención o viceversa. Dichos ensayos de inhibición cruzada pueden usar FcRn natural o recombinante aislado o una proteína/polipéptido de fusión adecuado. En un ejemplo, la unión y la inhibición cruzada se miden utilizando el dominio extracelular de FcRn humano recombinante (SEQ ID NO: 94). En un ejemplo, el dominio extracelular de la cadena alfa de FcRn humano recombinante se usa en un complejo con β2 microglobulina (β2M) (SEQ ID NO: 95).
- En una realización, se proporciona una molécula de anticuerpo anti-FcRn que inhibe la unión de FcRn a IgG y que inhibe de manera cruzada la unión de un anticuerpo cuya cadena pesada comprende la secuencia dada en la SEQ ID NO: 29 y cuya cadena ligera comprende la secuencia dada en la SEQ ID NO: 15 a FcRn humano. En una realización, los anticuerpos de inhibición cruzada proporcionados por la presente divulgación inhiben la unión de un anticuerpo que comprende la secuencia de la cadena pesada dada en la SEQ ID NO: 29 y la secuencia de la cadena ligera dada en la SEQ ID NO: 15 en más del 80 %, por ejemplo, en más del 85 %, tal como en más del 90 %, en particular, en más del 95 %.
 - Como alternativa o además, los anticuerpos anti-FcRn de acuerdo con este aspecto de la divulgación pueden inhibir de manera cruzada la unión a FcRn humano por un anticuerpo que comprende la secuencia de la cadena pesada dada en la SEQ ID NO: 29 y la secuencia de la cadena ligera dada en la SEQ ID NO: 15. Por lo tanto, también se proporciona una molécula de anticuerpo anti-FcRn que inhibe la unión de FcRn a lgG y que está inhibida de manera cruzada para unirse a FcRn humano por un anticuerpo que comprende la secuencia de la cadena pesada dada en la SEQ ID NO: 29 y la secuencia de la cadena ligera dada en la SEQ ID NO: 15. En una realización, los anticuerpos anti-FcRn proporcionados por este aspecto de la divulgación están inhibidos de unirse a FcRn humano por un anticuerpo que comprende la secuencia de la cadena pesada dada en la SEQ ID NO: 29 y la secuencia de la cadena ligera dada en la SEQ ID NO: 15 en más del 80 %, por ejemplo, en más del 85 %, tal como en más del 90 %, en particular, en más del 95 %.
- En una realización, los anticuerpos de inhibición cruzada proporcionados por la presente divulgación son completamente humanos. En una realización, los anticuerpos de inhibición cruzada proporcionados por la presente divulgación están humanizados. En una realización, los anticuerpos de inhibición cruzada proporcionados por la presente divulgación tienen una afinidad por FcRn humano de 100 pM o menos. En una realización, los anticuerpos de inhibición cruzada proporcionados por la presente divulgación tienen una afinidad por FcRn humano de 50 pM o menos. La afinidad se puede medir utilizando los métodos descritos en el presente documento a continuación.
- Las moléculas biológicas, como los anticuerpos o fragmentos, contienen grupos funcionales ácidos y/o básicos, lo que le da a la molécula una carga neta positiva o negativa. La cantidad de carga "observada" global dependerá de la

secuencia de aminoácidos absoluta de la entidad, el entorno local de los grupos cargados en la estructura 3D y las condiciones ambientales de la molécula. El punto isoeléctrico (pl) es el pH en el que una molécula particular o una superficie accesible al solvente de la misma no tiene carga eléctrica neta. En un ejemplo, el anticuerpo FcRn y fragmentos de la divulgación pueden diseñarse para tener un punto isoeléctrico apropiado. Esto puede conducir a anticuerpos y/o fragmentos con propiedades más consistentes, en particular perfiles adecuados de solubilidad y/o estabilidad y/o características mejoradas de purificación.

Por lo tanto, en un aspecto, la divulgación proporciona un anticuerpo FcRn humanizado diseñado para tener un punto isoeléctrico diferente al del anticuerpo identificado originalmente. El anticuerpo puede, por ejemplo, diseñarse mediante la sustitución de un resto de aminoácido, tal como la sustitución de un resto de aminoácido ácido con uno o más restos de aminoácidos básicos. Como alternativa, pueden introducirse restos de aminoácidos básicos o pueden eliminarse restos de aminoácidos ácidos. Como alternativa, si la molécula tiene un valor de pl inaceptablemente alto, se pueden introducir restos ácidos para disminuir el pl, según sea necesario. Es importante que cuando se manipula el pl se debe tener cuidado para conservar la actividad deseable del anticuerpo o fragmento. Por lo tanto, en una realización, el anticuerpo o fragmento diseñado mediante ingeniería genética tiene la misma o sustancialmente la misma actividad que el anticuerpo o fragmento "no modificado".

10

15

20

25

30

35

50

55

Programas como ** ExPASY <u>http://www.expasy.ch/tools/pi_tool.html</u> y <u>http://www.iut-arles.up.univ-mrs.fr/w3bb/d_abim/compo-p.html</u>, se puede usar para predecir el punto isoeléctrico del anticuerpo o fragmento.

Las moléculas de anticuerpo de la presente invención tienen adecuadamente una alta afinidad de unión, en particular, en el intervalo nanomolar. La afinidad puede medirse utilizando cualquier método adecuado conocido en la técnica, incluido BIAcore, como se describe en los Ejemplos en el presente documento, utilizando FcRn natural o recombinante aislado o una proteína/polipéptido de fusión adecuado. En un ejemplo, la afinidad se mide utilizando el dominio extracelular de FcRn humano recombinante como se describe en los Ejemplos en el presente documento (SEQ ID NO: 94). En un ejemplo, la afinidad se mide utilizando el dominio extracelular de la cadena alfa de FcRn humano (SEQ ID NO: 94) en asociación con la β 2 microglobulina (β 2M) (SEQ ID NO: 95). Adecuadamente, las moléculas de anticuerpo de la presente invención tienen una afinidad de unión por FcRn humano aislado de aproximadamente 1 nM o inferior.

En una realización, la molécula de anticuerpo de la presente invención tiene una afinidad de unión de aproximadamente 500 pM o inferior (es decir, una afinidad más alta). En una realización, la molécula de anticuerpo de la presente invención tiene una afinidad de unión de aproximadamente 250 nM o inferior. En una realización, la molécula de anticuerpo de la presente invención tiene una afinidad de unión de aproximadamente 200 nM o inferior. En una realización, la presente invención proporciona un anticuerpo anti-FcRn con una afinidad de unión de aproximadamente 100 pM o inferior. En una realización, la presente invención proporciona un anticuerpo anti-FcRn humanizado con una afinidad de unión de aproximadamente 100 pM o inferior. En una realización, la presente invención proporciona un anticuerpo anti-FcRn con una afinidad de unión de 50 pM o inferior.

40 Es importante destacar que los anticuerpos de la presente invención son capaces de unirse a FcRn humano a pH 6 y pH 7,4 con afinidad de unión comparable. De manera ventajosa, por lo tanto, los anticuerpos son capaces de continuar uniéndose a FcRn incluso dentro del endosoma, maximizando así la inhibición de la unión de FcRn a IgG, véase la Figura 10 para ver una ilustración del mecanismo.

En una realización, la presente invención proporciona un anticuerpo anti-FcRn con una afinidad de unión de 100 pM o inferior cuando se mide a pH 6 y pH 7,4.

La afinidad de un anticuerpo o fragmento de unión de la presente invención, así como el grado en que un agente de unión (como un anticuerpo) inhibe la unión, se puede determinar por un experto en la técnica usando técnicas convencionales, por ejemplo, aquellas descritas por Scatchard et al. (Ann. KY. Acad. Sci. 51:660-672 (1949)) o por resonancia de plasmones de superficie (SPR, de sus siglas en inglés) utilizando sistemas como BIAcore. Para la resonancia de plasmón de superficie, las moléculas diana se inmovilizan en una fase sólida y se exponen a ligandos en una fase móvil que corre a lo largo de una célula de flujo. Si se produce la unión del ligando a la diana inmovilizada, el índice de refracción local cambia, lo que lleva a un cambio en el ángulo de la SPR, que se puede monitorear en tiempo real mediante la detección de cambios en la intensidad de la luz reflejada. Las velocidades de cambio de la señal de la SPR se pueden analizar para producir constantes de velocidad aparentes para las fases de asociación y disociación de la reacción de unión. La relación de estos valores da la constante de equilibrio aparente (afinidad) (véase, por ejemplo, Wolff et al, Cancer Res. 53:2560-65 (1993)).

60 En la presente invención, la afinidad de la molécula de anticuerpo de prueba se determina normalmente usando SPR de la siguiente manera. La molécula de anticuerpo de prueba se captura en la fase sólida y el dominio extracelular de la cadena alfa de FcRn humano en un complejo no covalente con β2M se ejecuta sobre el anticuerpo capturado en la fase móvil y se determina la afinidad de la molécula de anticuerpo de prueba para FcRn humano. La molécula de anticuerpo de prueba puede capturarse en la superficie del chip en fase sólida utilizando cualquier método apropiado, por ejemplo, utilizando un agente de captura específico anti-Fc o anti-Fab'. En un ejemplo, la afinidad se determina a pH 6. En un ejemplo, la afinidad se determina a pH 7,4.

Se apreciará que la afinidad de anticuerpos proporcionada por la presente divulgación puede alterarse usando cualquier método adecuado conocido en la técnica. La presente divulgación, por lo tanto, también se refiere a variantes de las moléculas de anticuerpo de la presente invención, que tienen una afinidad mejorada por FcRn. Dichas variantes se pueden obtener mediante una serie de protocolos de maduración de afinidad que incluyen la mutación de las CDR (Yang et al., J. Mol. Biol., 254, 392-403, 1995), el intercambio de cadenas (Marks et al., Bio/Technology, 10, 779-783, 1992), el uso de cepas mutadoras de *E. coli* (Low et al., J. Mol. Biol., 250, 359-368, 1996), el barajado de ADN (Patten et al., Curr. Opin. Biotechnol., 8, 724-733, 1997), la presentación de fagos (Thompson et al., J. Mol. Biol., 256, 77-88, 1996) la PCR sexual (Crameri et al., Nature, 391,288-291, 1998). Vaughan et al. (*supra*) discute estos métodos de maduración de afinidad.

10

15

35

50

En una realización, las moléculas de anticuerpo de la presente invención inhiben la actividad de FcRn humano. Los ensayos adecuados para determinar la capacidad de un anticuerpo para inhibir FcRn se describen en los Ejemplos en el presente documento. Los ensayos adecuados para determinar si los anticuerpos inhiben la interacción de FcRn con moléculas de IgG circulantes como se describen en los Ejemplos en el presente documento. A continuación se describe, en el presente documento, un ensayo adecuado para determinar la capacidad de una molécula de anticuerpo para inhibir el reciclado de IgG *in vitro*.

Si se desea, un anticuerpo para su uso en la presente invención puede conjugarse con una o más moléculas efectoras. Se apreciará que la molécula efectora puede comprender una única molécula efectora o dos o más de 20 dichas moléculas unidas de manera que formen una única fracción que se puede unir a los anticuerpos de la presente invención. Cuando se desee obtener un fragmento de anticuerpo unido a una molécula efectora, esto puede prepararse mediante procedimientos químicos estándar o de ADN recombinante en los que el fragmento de anticuerpo se une directamente o mediante un agente de acoplamiento a la molécula efectora. Las técnicas para conjugar dichas moléculas efectoras con anticuerpos son bien conocidas en la técnica (véase, Hellstrom et al., Controlled Drug Delivery, 2ª Ed., Robinson et al., eds., 1987, págs. 623-53; Thorpe et al., 1982, Immunol. Rev., 25 62:119-58 y Dubowchik et al., 1999, Pharmacology and Therapeutics, 83, 67-123). Los procedimientos químicos particulares incluyen, por ejemplo, los descritos en los documentos WO 93/06231, WO 92/22583, WO 89/00195, WO 89/01476 y WO 03/031581. Como alternativa, cuando la molécula efectora es una proteína o polipéptido, el enlace se puede lograr utilizando procedimientos de ADN recombinante, por ejemplo, como se describe en los documentos 30 WO 86/01533 y EP0392745.

La expresión molécula efectora como se usa en el presente documento incluye, por ejemplo, agentes antineoplásicos, fármacos, toxinas, proteínas biológicamente activas, por ejemplo, enzimas, otro anticuerpo o fragmentos de anticuerpo, polímeros sintéticos o de origen natural, ácidos nucleicos y fragmentos de los mismos, por ejemplo, ADN, ARN o fragmentos del mismo, radionúclidos, particularmente radioyoduro, radioisótopos, metales quelados, nanopartículas y grupos indicadores tales como compuestos fluorescentes o compuestos que pueden detectarse mediante espectroscopía de RMN o ESR.

Los ejemplos de moléculas efectoras pueden incluir citotoxinas o agentes citotóxicos que incluyen cualquier agente que sea perjudicial para (por ejemplo, que destruya) las células. Los ejemplos incluyen combrestatinas, dolastatinas, epotilonas, estaurosporina, maitansinoides, espongistatinas, rizoxina, halicondrinas, roridinas, hemiasterlinas, taxol, citocalasina B, gramicidina D, bromuro de etidio, emetina, mitomicina, etopósido, tenopósido, vincristina, vinblastina, colchicina, doxorrubicina, daunorrubicina, dihidroxiantracindiona, mitoxantrona, mitramicina, actinomicina D, 1-deshidrotestosterona, glucocorticoides, procaína, tetracaína, lidocaína, propanolol y puromicina y análogos u homólogos de los mismos.

Las moléculas efectoras también incluyen, pero sin limitación, antimetabolitos (por ejemplo, metotrexato, 6-mercaptopurina, 6-tioguanina, citarabina, 5-fluorouracil decarbazina), agentes alquilantes (por ejemplo, mecloretamina, tioepa clorambucilo, melfalán, carmustina (BSNU) y lomustina (CCNU), ciclofosfamida, busulfán, dibromomanitol, estreptozotocina, mitomicina C y cis-diclorodiamina-platino (II) (DDP) cisplatino), antraciclinas (por ejemplo, daunorrubicina (anteriormente daunomicina) y doxorrubicina), antibióticos (por ejemplo, dactinomicina (anteriormente actinomicina), bleomicina, mitramicina, antramicina (AMC), caliqueamicinas o duocarmicinas) y agentes antimitóticos (por ejemplo, vincristina y vinblastina).

Otras moléculas efectoras pueden incluir radionucleidos quelados, tales como ¹¹¹In y ⁹⁰Y, Lu¹⁷⁷, Bismuto²¹³, Californio²⁵², Iridio¹⁹² y Tungsteno¹⁸⁸/Renio¹⁸⁸; o fármacos tales como, pero sin limitación, alquilfosfocolinas, inhibidores de topoisomerasa I, taxoides y suramina.

Otras moléculas efectoras incluyen proteínas, péptidos y enzimas. Las enzimas de interés incluyen, pero sin limitación, enzimas proteolíticas, hidrolasas, liasas, isomerasas, transferasas. Las proteínas, polipéptidos y péptidos de interés incluyen, pero sin limitación, inmunoglobulinas, toxinas tales como abrina, ricina A, exotoxina de pseudomonas o toxina diftérica, una proteína tal como insulina, factor de necrosis tumoral, α-interferón, factor de crecimiento nervioso, factor de crecimiento procedente de plaquetas o activador de plasminógeno tisular, un agente trombótico o un agente antiangiogénico, por ejemplo, angiostatina o endostatina, o, un modificador de la respuesta biológica tal como una linfocina, interleucina-1 (IL-1), interleucina-2 (IL-2), factor estimulante de colonias de macrófagos de granulocitos (GM-CSF), factor estimulante de colonias de granulocitos (G-CSF), factor de

crecimiento nervioso (NGF) u otro factor de crecimiento e inmunoglobulinas.

10

20

30

40

45

50

55

Otras moléculas efectoras pueden incluir sustancias detectables útiles, por ejemplo, en el diagnóstico. Los ejemplos de sustancias detectables incluyen diversas enzimas, grupos prostéticos, materiales fluorescentes, materiales luminiscentes, materiales bioluminiscentes, núclidos radiactivos, metales emisores de positrones (para su uso en tomografía de emisión de positrones) e iones metálicos paramagnéticos no radiactivos. Véase en general la Patente de Estados Unidos N.º 4.741.900 para iones metálicos que se pueden conjugar con anticuerpos para su uso como diagnóstico. Las enzimas adecuadas incluyen peroxidasa de rábano picante, fosfatasa alcalina, betagalactosidasa o acetilcolinesterasa; los grupos protésicos adecuados incluyen estreptavidina, avidina y biotina; los materiales fluorescentes adecuados incluyen umbeliferona, fluoresceína, isotiocianato de fluoresceína, rodamina, diclorotriazinilamina fluoresceína, cloruro de dansilo y ficoeritrina; los materiales luminiscentes adecuados incluyen luminol; los materiales bioluminiscentes incluyen luciferasa, luciferina y aecuorina; y los núclidos radioactivos adecuados incluyen 1251, 1311, 1111n y 99Tc.

- 15 En otro ejemplo, la molécula efectora puede aumentar la semivida del anticuerpo *in vivo* y/o reducir la inmunogenicidad del anticuerpo y/o mejorar la administración de un anticuerpo a través de una barrera epitelial al sistema inmunitario. Los ejemplos de moléculas efectoras adecuadas de este tipo incluyen polímeros, albúmina, proteínas de unión a albúmina o compuestos de unión a albúmina tales como los descritos en el documento WO05/117984.
 - En una realización, una semivida proporcionada por una molécula efectora que es independiente de FcRn es ventajosa.
- Cuando la molécula efectora es un polímero, puede, en general, ser un polímero sintético o de origen natural, por ejemplo un polialquileno, polialquenileno o polioxialquileno de cadena lineal o ramificada opcionalmente sustituido o un polisacárido ramificado o no ramificado, por ejemplo, un homo- o heteropolisacárido.
 - Los sustituyentes opcionales específicos que pueden estar presentes en los polímeros sintéticos mencionados anteriormente incluyen uno o más grupos hidroxi, metilo o metoxi.
 - Ejemplos específicos de polímeros sintéticos incluyen poli(propilenglicol), poli(alcohol vinílico) o poli(etilenglicol) de cadena lineal o ramificada opcionalmente sustituido, o derivados de los mismos, especialmente poli(etilenglicol) opcionalmente sustituido tal como metoxipoli(etilenglicol) o derivados del mismo.
- 35 Los polímeros de origen natural específicos incluyen lactosa, amilosa, dextrano, glucógeno o derivados de los mismos.
 - En una realización, el polímero es albúmina o un fragmento de la misma, tal como albúmina de suero humano o un fragmento de la misma.
 - Los "derivados", como se usan en el presente documento, pretenden incluir derivados reactivos, por ejemplo, grupos reactivos selectivos para tiol tales como maleimidas y similares. El grupo reactivo puede estar unido directamente o a través de un segmento enlazador al polímero. Se apreciará que el resto de dicho grupo formará en algunos casos parte del producto como el grupo de enlace entre el fragmento de anticuerpo y el polímero.
 - El tamaño del polímero puede variar según se desee, pero generalmente estará en un intervalo de peso molecular promedio de 500 Da a 50000 Da, por ejemplo de 5000 a 40000 Da, tal como de 20000 a 40000 Da. El tamaño del polímero puede seleccionarse, en particular, en función del uso previsto del producto, por ejemplo, la capacidad de localizar ciertos tejidos como tumores o extender la semivida circulante (para una revisión, véase Chapman, 2002, Advanced Drug Delivery Reviews, 54, 531-545). Por lo tanto, por ejemplo, cuando se pretende que el producto salga de la circulación y penetre en el tejido, por ejemplo para su uso en el tratamiento de un tumor, puede ser ventajoso usar un polímero de peso molecular pequeño, por ejemplo, con un peso molecular de alrededor de 5000 Da. Para aplicaciones donde el producto permanece en la circulación, puede ser ventajoso usar un polímero de mayor peso molecular, por ejemplo, que tenga un peso molecular en el intervalo de 20000 Da a 40000 Da.
 - Los polímeros adecuados incluyen un polímero polialquileno, tal como un poli(etilenglicol) o, especialmente, un metoxipolo(etilenglicol) o un derivado del mismo, y especialmente con un peso molecular en el intervalo de aproximadamente 15000 Da a aproximadamente 40000 Da.
- En un ejemplo, los anticuerpos para su uso en la presente invención se unen a fracciones de poli(etilenglicol) (PEG). En un ejemplo particular, el anticuerpo es un fragmento de anticuerpo y las moléculas de PEG pueden unirse a través de cualquier grupo funcional de aminoácidos de cadena lateral o de aminoácido terminal disponible ubicado en el fragmento de anticuerpo, por ejemplo, cualquier grupo amino, imino, tiol, hidroxilo o carboxilo libre. Dichos aminoácidos pueden aparecer naturalmente en el fragmento de anticuerpo o pueden modificarse por ingeniería genética en el fragmento usando métodos de ADN recombinante (véase, por ejemplo, los documentos US 5.219.996; US 5.667.425; WO98/25971, WO2008/038024). En un ejemplo, la molécula de anticuerpo de la presente

invención es un fragmento Fab modificado en el que la modificación es la adición al extremo C-terminal de su cadena pesada, de uno o más aminoácidos para permitir la unión de una molécula efectora. Adecuadamente, los aminoácidos adicionales forman una región bisagra modificada que contiene uno o más restos de cisteína a los que se puede unir la molécula efectora. Se pueden usar múltiples sitios para unir dos o más moléculas de PEG.

5

10

15

Adecuadamente, las moléculas de PEG están unidas covalentemente a través de un grupo tiol de al menos un resto de cisteína ubicado en el fragmento de anticuerpo. Cada molécula de polímero unida al fragmento de anticuerpo modificado puede unirse covalentemente al átomo de azufre de un resto de cisteína ubicado en el fragmento. El enlace covalente generalmente será un enlace disulfuro o, en particular, un enlace azufre-carbono. Cuando se usa un grupo tiol como punto de unión, se pueden usar moléculas efectoras activadas apropiadamente, por ejemplo, derivados selectivos de tiol tales como maleimidas y derivados de cisteína. Se puede usar un polímero activado como material de partida en la preparación de fragmentos de anticuerpos modificados con polímeros como se describe anteriormente. El polímero activado puede ser cualquier polímero que contenga un grupo reactivo con tiol, tal como un ácido o éster alfa-halocarboxílico, por ejemplo, yodoacetamida, una imida, por ejemplo, maleimida, una vinil sulfona o un disulfuro. Dichos materiales de partida pueden obtenerse comercialmente (por ejemplo, de Nektar, anteriormente Shearwater Polymers Inc., Huntsville, AL, EE.UU.) o pueden prepararse a partir de materiales de partida disponibles comercialmente utilizando procedimientos químicos convencionales. Las moléculas de PEG particulares incluyen metoxi-PEG-amina 20K (obtenible de Nektar, anteriormente Shearwater; Rapp Polymere; y SunBio) y M-PEG-SPA (obtenible de Nektar, anteriormente Shearwater).

20

25

30

En una realización, el anticuerpo es un fragmento Fab modificado, fragmento Fab' o diFab que está PEGilado, es decir, tiene PEG (poli(etilenglicol)) unido covalentemente al mismo, por ejemplo, de acuerdo con el método desvelado en los documentos EP 0948544 o EP1090037 [véase también "Poly(ethyleneglycol) Chemistry, Biotechnical and Biomedical Applications", 1992, J. Milton Harris (ed), Plenum Press, Nueva York, "Poly(ethyleneglycol) Chemistry and Biological Applications", 1997, J. Milton Harris y S. Zalipsky (eds), American Chemical Society, Washington DC y "Bioconjugation Protein Coupling Techniques for the Biomedical Sciences", 1998, M. Aslam y A. Dent, Grove Publishers, Nueva York; Chapman, A. 2002, Advanced Drug Delivery Reviews 2002, 54:531-545]. En un ejemplo, el PEG está unido a una cisteína en la región bisagra. En un ejemplo, un fragmento Fab modificado con PEG tiene un grupo maleimida unido covalentemente a un solo grupo tiol en una región bisagra modificada. Un resto de lisina puede unirse covalentemente al grupo maleimida y a cada uno de los grupos amina en el resto de lisina puede unirse un polímero de metoxipoli(etilenglicol) que tiene un peso molecular de aproximadamente 20.000 Da. El peso molecular total del PEG unido al fragmento Fab puede, por lo tanto, ser aproximadamente 40.000 Da.

35 Las moléculas de PEG particulares incluyen 2-[3-(N-maleimido)propionamido]etil amida de N,N'-bis(metoxipoli(etilenglicol) PM 20.000) lisina modificada, también conocida como PEG2MAL40K (que se puede obtener de Nektar, anteriormente Shearwater).

Las fuentes alternativas de enlazadores PEG incluyen los NOF que suministran GL2-400MA3 (en donde m en la estructura inferior es 5) y GL2-400MA (donde m es 2) y n es aproximadamente 450:

m es 2 o 5

Es decir, cada PEG tiene aproximadamente 20.000 Da.

45

Por lo tanto, en una realización, el PEG es 2,3-bis(metilpolioxietileno-oxi)-1-{[3-(6-maleimido-1-oxohexil)amino]propiloxi} hexano (el PEG ramificado de 2 brazos, -CH2) 3NHCO (CH2) 5-MAL, Pm 40.000 conocido como SUNBRIGHT GL2-400MA3.

50 Otras moléculas efectoras de PEG alternativas del siguiente tipo:

están disponibles de Dr. Reddy, NOF y Jenkem.

20

35

40

50

- 5 En una realización, se proporciona un anticuerpo que está PEGilado (por ejemplo, con un PEG descrito en el presente documento), unido a través de un resto de aminoácido de cisteína en o alrededor del aminoácido 226 en la cadena, por ejemplo, el aminoácido 226 de la cadena pesada (mediante secuenciación secuencial), por ejemplo el aminoácido 226 de la SEQ ID NO: 36.
- 10 En una realización, la presente invención proporciona una molécula de Fab'PEG que comprende uno o más polímeros de PEG, por ejemplo, 1 o 2 polímeros, tales como un polímero o polímeros de 40 kDa.
- Las moléculas de Fab'-PEG de acuerdo con la presente invención pueden ser particularmente ventajosas porque tienen una semivida independiente del fragmento Fc. En un ejemplo, la presente divulgación proporciona un anticuerpo anti-FcRn o un fragmento de unión a FcRn del mismo como se define en el presente documento para su uso en un método para tratar una enfermedad mejorada mediante la inhibición de FcRn humano que comprende administrar una cantidad terapéuticamente eficaz de un anticuerpo anti-FcRn o fragmento de unión a FcRn del mismo en el que el anticuerpo o fragmento de unión del mismo tiene una semivida que es independiente de la unión de Fc a FcRn.

En una realización, se proporciona un Fab' conjugado a un polímero, tal como una molécula de PEG, una molécula de almidón o una molécula de albúmina.

En una realización, se proporciona un scFv conjugado con un polímero, tal como una molécula de PEG, una molécula de almidón o una molécula de albúmina.

En una realización, el anticuerpo o fragmento se conjuga con una molécula de almidón, por ejemplo, para aumentar la semivida. Los métodos de conjugación de almidón con una proteína se describen en el documento US 8.017.739.

- 30 En una realización, se proporciona una molécula de unión anti-FcRn que:
 - Causa el 70 % de reducción de la concentración de IgG en plasma.
 - Con no más del 20 % de reducción de la concentración de albúmina en plasma, y/o
 - Con la posibilidad de repetir la dosificación para lograr un mantenimiento a largo plazo de una baja concentración de IgG en plasma.

La presente invención también proporciona una secuencia de ADN aislada que codifica la cadena(s) pesada(s) y/o ligera(s) de una molécula de anticuerpo de la presente invención. Adecuadamente, la secuencia de ADN codifica la cadena pesada o ligera de una molécula de anticuerpo de la presente invención. La secuencia de ADN de la presente invención puede comprender ADN sintético, por ejemplo, producido mediante procesamiento químico, ADNc, ADN genómico o cualquier combinación de los mismos.

Las secuencias de ADN que codifican una molécula de anticuerpo de la presente invención se pueden obtener mediante métodos bien conocidos por los expertos en la técnica. Por ejemplo, las secuencias de ADN que codifican parte o la totalidad de las cadenas pesadas y ligeras del anticuerpo se pueden sintetizar según se desee a partir de las secuencias de ADN determinadas o sobre la base de las secuencias de aminoácidos correspondientes.

El ADN que codifica las secuencias marco aceptoras está ampliamente disponible para los expertos en la técnica y se puede sintetizar fácilmente sobre la base de sus secuencias de aminoácidos conocidas.

Se pueden usar técnicas estándar de biología molecular para preparar secuencias de ADN que codifican la molécula de anticuerpo de la presente invención. Las secuencias de ADN deseadas se pueden sintetizar completamente o en parte usando técnicas de síntesis de oligonucleótidos. Las técnicas de mutagénesis dirigida al sitio y reacción en

cadena de la polimerasa (PCR) se pueden usar según sea apropiado.

En el presente documento se proporcionan ejemplos de secuencias de ADN adecuadas.

5 Ejemplos de secuencias de ADN adecuadas que codifican la región variable de cadena ligera de 1519 se proporcionan en la SEQ ID NO: 16, SEQ ID NO: 17 y SEQ ID NO: 90.

Ejemplos de secuencias de ADN adecuadas que codifican la región variable de cadena pesada de 1519 se proporcionan en la SEQ ID NO: 30, SEQ ID NO: 31 y SEQ ID NO: 92.

Ejemplos de secuencias de ADN adecuadas que codifican la cadena ligera (variable y constante) de 1519 se proporcionan en la SEQ ID NO: 23, SEQ ID NO: 75 y SEQ ID NO: 91.

Ejemplos de secuencias de ADN adecuadas que codifican la cadena pesada (variable y constante, dependiendo del formato) de 1519 se proporcionan en las SEQ ID NO: 37, 38 y 76 (Fab'), SEQ ID NO: 72 u 85 (IgG1), SEQ ID NO: 44 o 93 (IgG4P) y SEQ ID NO: 88 (IgG4).

Por consiguiente, en un ejemplo, la presente invención proporciona una secuencia de ADN aislada que codifica la cadena pesada de un fragmento Fab' de anticuerpo de la presente invención que comprende la secuencia dada en la SEQ ID NO: 37. También se proporciona una secuencia de ADN aislada que codifica la cadena ligera de un fragmento Fab' de anticuerpo de la presente invención que comprende la secuencia dada en la SEQ ID NO: 23.

En un ejemplo, la presente invención proporciona una secuencia de ADN aislada que codifica la cadena pesada y la cadena ligera de un anticuerpo IgG4(P) de la presente invención en la que el ADN que codifica la cadena pesada comprende la secuencia dada en la SEQ ID NO: 44 o la SEQ ID NO: 93 y el ADN que codifica la cadena ligera comprende la secuencia dada en la SEQ ID NO: 75 o la SEQ ID NO: 91.

En un ejemplo, la presente invención proporciona una secuencia de ADN aislada que codifica la cadena pesada y la cadena ligera de un anticuerpo Fab-dsFv de la presente invención en la que el ADN que codifica la cadena pesada comprende la secuencia dada en la SEQ ID NO: 51 o la SEQ ID NO: 80 y el ADN que codifica la cadena ligera comprende la secuencia dada en la SEQ ID NO: 47 o la SEQ ID NO: 79.

La presente invención también se refiere a un vector de clonación o expresión que comprende una o más secuencias de ADN de la presente invención. Por consiguiente, se proporciona un vector de clonación o expresión que comprende una o más secuencias de ADN que codifican un anticuerpo de la presente invención. Adecuadamente, el vector de clonación o expresión comprende dos secuencias de ADN, que codifican la cadena ligera y la cadena pesada de la molécula de anticuerpo de la presente invención, respectivamente, y las secuencias señal adecuadas. En un ejemplo, el vector comprende una secuencia intergénica entre las cadenas pesada y ligera (véase el documento WO03/048208).

Los métodos generales mediante los cuales se pueden construir los vectores, los métodos de transfección y los métodos de cultivo son bien conocidos por los expertos en la técnica. A este respecto, se hace referencia a "Current Protocols in Molecular Biology", 1999, F. M. Ausubel (ed), Wiley Interscience, Nueva York y el Manual Maniatis producido por Cold Spring Harbor Publishing.

También se proporciona una célula hospedadora que comprende uno o más vectores de clonación o expresión que comprenden una o más secuencias de ADN que codifican un anticuerpo de la presente invención.

Se puede usar cualquier sistema de vector/célula hospedadora adecuado para la expresión de las secuencias de ADN que codifican la molécula de anticuerpo de la presente invención. Se pueden usar bacterianos, por ejemplo *E. coli*, y otros sistemas microbianos o también se pueden usar sistemas de expresión de células hospedadoras eucariotas, por ejemplo, mamíferos. Las células hospedadoras de mamífero adecuadas incluyen células CHO, de mieloma o de hibridoma.

Los tipos adecuados de células de ovario de hámster chino (células CHO) para su uso en la presente invención pueden incluir células CHO y CHO-K1 que incluyen células dhfr-CHO, tales como células CHO-DG44 y células CHO-DXB11 y que se pueden usar con un marcador seleccionable DHFR o células CHOK1-SV que se pueden usar con un marcador seleccionable de glutamina sintetasa. Otros tipos de células de uso en la expresión de anticuerpos incluyen líneas celulares linfocíticas, por ejemplo, células de mieloma NSO y células SP2, células COS.

La presente invención también proporciona un proceso para la producción de una molécula de anticuerpo de acuerdo con la presente invención que comprende cultivar una célula hospedadora que contiene un vector de la presente invención en condiciones adecuadas para conducir a la expresión de proteínas a partir del ADN que codifica la molécula de anticuerpo de la presente invención, y aislar la molécula de anticuerpo.

65

10

25

30

35

40

La molécula de anticuerpo puede comprender solo un polipéptido de cadena pesada o ligera, en cuyo caso solo se necesita usar una secuencia que codifica el polipéptido de cadena pesada o cadena ligera para transfectar las células hospedadoras. Para la producción de productos que comprenden tanto cadenas pesadas como ligeras, la línea celular puede transfectarse con dos vectores, un primer vector que codifica un polipéptido de cadena ligera y un segundo vector que codifica un polipéptido de cadena pesada. Como alternativa, se puede usar un solo vector, el vector que incluye secuencias que codifican polipéptidos de cadena ligera y cadena pesada.

Los anticuerpos y fragmentos de acuerdo con la presente divulgación se expresan a buenos niveles de las células hospedadoras. Por lo tanto, las propiedades de los anticuerpos y/o fragmentos son propicias para el procesamiento comercial.

Por lo tanto, se proporciona un proceso para cultivar una célula hospedadora y expresar un anticuerpo o fragmento del mismo, aislar esta última y, opcionalmente, purificarla para proporcionar un anticuerpo o fragmento aislado. En una realización, el proceso comprende además la etapa de conjugar una molécula efectora con el anticuerpo o fragmento aislado, por ejemplo, conjugar con un polímero de PEG en particular como se describe en el presente documento.

En una realización, se proporciona un proceso para purificar un anticuerpo (en particular un anticuerpo o fragmento de acuerdo con la invención) que comprende las etapas: realizar una cromatografía de intercambio aniónico en modo no vinculante, de modo que las impurezas se conserven en la columna y se eluya el anticuerpo.

En una realización, la purificación emplea captura por afinidad en una columna FcRn.

10

15

20

35

40

45

55

60

65

En una realización, la purificación emplea azul de cibacrón o similar para la purificación de moléculas de fusión o conjugado de albúmina.

Las resinas de intercambio iónico adecuadas para su uso en el proceso incluyen la resina Q.FF (suministrada por GE-Healthcare). La etapa puede, por ejemplo, realizarse a un pH de aproximadamente 8.

30 El proceso puede comprender además una etapa de captura inicial que emplea cromatografía de intercambio catiónico, realizada, por ejemplo, a un pH de aproximadamente 4 a 5, tal como 4,5. La cromatografía de intercambio catiónico puede, por ejemplo, emplear una resina tal como la resina CaptoS o SP sefarosa FF (suministrada por GE-Healthcare). El anticuerpo o fragmento se puede entonces eluir de la resina empleando una solución de sal iónica tal como cloruro de sodio, por ejemplo, a una concentración de 200 mM.

Por lo tanto, la etapa o etapas del cromatógrafo pueden incluir una o más etapas de lavado, según sea adecuado.

El proceso de purificación también puede comprender una o más etapas de filtración, tal como una etapa de diafiltración.

Por lo tanto, en una realización, se proporciona un anticuerpo o fragmento anti-FcRn purificado, por ejemplo, un anticuerpo o fragmento humanizado, en particular, un anticuerpo o fragmento de acuerdo con la invención, sustancialmente purificado, en particular, libre o sustancialmente libre de endotoxinas y/o proteína o ADN de la célula hospedadora.

La forma purificada, tal como se utiliza supra, pretende referirse a una pureza de al menos el 90 %, tal como el 91, 92, 93, 94, 95, 96, 97, 98, 99 % p/p o más puro.

Sustancialmente libre de endotoxinas se refiere, en general, a un contenido de endotoxinas de 1 UE por mg de producto de anticuerpo o menos, tal como 0,5 o 0,1 UE por mg de producto.

En general, se considera que la proteína o el ADN de la célula hospedadora está sustancialmente libre se refiere al contenido de ADN y/o proteínas de la célula hospedadora de 400 µg por mg de producto de anticuerpo o menos, tal como 100 µg por mg o menos, en particular, 20 µg por mg, según sea adecuado.

La molécula de anticuerpo de la presente invención también puede usarse en el diagnóstico, por ejemplo, en el diagnóstico *in vivo* y en la obtención de imágenes de estados de enfermedad que implican FcRn.

Como los anticuerpos de la presente invención son útiles en el tratamiento y/o la profilaxis de una afección patológica, la presente invención también proporciona una composición farmacéutica o de diagnóstico que comprende una molécula de anticuerpo de la presente invención en combinación con uno o más de un excipiente, diluyente o vehículo farmacéuticamente aceptable. Por consiguiente, se proporciona el uso de una molécula de anticuerpo de la invención para la fabricación de un medicamento. La composición generalmente se suministrará como parte de una composición farmacéutica estéril que normalmente incluirá un vehículo farmacéuticamente aceptable. Una composición farmacéutica de la presente invención puede comprender adicionalmente un excipiente farmacéuticamente aceptable.

La presente invención también proporciona un proceso para la preparación de una composición farmacéutica o de diagnóstico que comprende añadir y mezclar la molécula de anticuerpo de la presente invención junto con uno o más de un excipiente, diluyente o vehículo farmacéuticamente aceptable.

- 5 La molécula de anticuerpo puede ser el único principio activo en la composición farmacéutica o de diagnóstico o puede ir acompañada de otros principios activos que incluyen otros ingredientes de anticuerpos o ingredientes que no son anticuerpos tales como los esteroides u otras moléculas de fármacos, en particular moléculas de fármacos cuya semivida es independiente de la unión de FcRn.
- Las composiciones farmacéuticas comprenden adecuadamente una cantidad terapéuticamente eficaz del anticuerpo de la invención. La expresión "cantidad terapéuticamente eficaz", como se usa en el presente documento, se refiere a una cantidad de un agente terapéutico necesaria para tratar, mejorar o evitar una enfermedad o afección diana, o para exhibir un efecto terapéutico o preventivo detectable. Para cualquier anticuerpo, la cantidad terapéuticamente eficaz se puede estimar inicialmente ya sea en ensayos de cultivo celular o en modelos animales, generalmente en roedores, conejos, perros, cerdos o primates. El modelo animal también se puede usar para determinar el intervalo de concentración apropiado y la vía de administración. Dicha información se puede usar luego para determinar las dosis útiles y las vías de administración en seres humanos.
- La cantidad terapéuticamente eficaz precisa para un sujeto humano dependerá de la gravedad del estado de la enfermedad, la salud general del sujeto, la edad, el peso y el género del sujeto, la dieta, el tiempo y la frecuencia de administración, la combinación de fármacos, las sensibilidades de reacción y tolerancia/respuesta a la terapia. Esta cantidad se puede determinar mediante la experimentación de rutina y está dentro del criterio del clínico. En general, una cantidad terapéuticamente eficaz será de 0,01 mg/kg a 500 mg/kg, por ejemplo, de 0,1 mg/kg a 200 mg/kg, tal como 100 mg/kg. Las composiciones farmacéuticas pueden presentarse convenientemente en formas de dosis unitarias que contienen una cantidad predeterminada de un agente activo de la invención por dosis.
 - Las dosis terapéuticas de los anticuerpos de acuerdo con la presente divulgación no muestran efectos toxicológicos aparentes *in vivo*.
- 30 En una realización de un anticuerpo o fragmento de acuerdo con la invención, una dosis única puede proporcionar hasta un 70 % de reducción en los niveles circulantes de IgG.
- La reducción terapéutica máxima en IgG circulante se puede observar aproximadamente 1 semana después de la administración de la dosis terapéutica en cuestión. Los niveles de IgG pueden recuperarse durante un período de aproximadamente seis semanas si no se administran dosis terapéuticas adicionales.
 - De forma ventajosa, los niveles de IgG *in vivo* pueden mantenerse a un nivel apropiadamente bajo mediante la administración de dosis secuenciales del anticuerpo o fragmentos de acuerdo con la divulgación.
- 40 Las composiciones pueden administrarse individualmente a un paciente o pueden administrarse en combinación (por ejemplo, de manera simultánea, secuencial o por separado) con otros agentes, fármacos u hormonas.
 - En una realización, los anticuerpos o fragmentos de acuerdo con la presente divulgación se emplean con una terapia inmunosupresora, tal como un esteroide, en particular prednisona.
 - En una realización, los anticuerpos o fragmentos de acuerdo con la presente divulgación se emplean con Rituximab u otras terapias de linfocitos B.
- En una realización, los anticuerpos o fragmentos de acuerdo con la presente divulgación se emplean con cualquier agente modulador de linfocitos B o linfocitos T o inmunomodulador. Los ejemplos incluyen metotrexato, micofenolato y azatioprina.
- La dosis a la que se administra la molécula de anticuerpo de la presente invención depende de la naturaleza de la afección a tratar, el grado de inflamación presente y de si la molécula de anticuerpo se está utilizando de forma profiláctica o para tratar una afección existente.
 - La frecuencia de la dosis dependerá de la semivida de la molécula de anticuerpo y de la duración de su efecto. Si la molécula de anticuerpo tiene una semivida corta (por ejemplo, de 2 a 10 horas) puede ser necesario administrar una o más dosis por día. Como alternativa, si la molécula de anticuerpo tiene un perfil de semivida larga (por ejemplo, de 2 a 15 días) y/o de farmacodinámica (PD, de sus siglas en inglés) de larga duración, solo puede ser necesario administrar una dosis una vez al día, una vez por semana o incluso una vez cada 1 o 2 meses.
 - En una realización, la dosis se administra bisemanalmente, es decir, dos veces al mes.

45

60

65 La semivida, como se emplea en el presente documento, pretende referirse a la duración de la molécula en circulación, por ejemplo, en suero/plasma.

La farmacodinámica, como se emplea en el presente documento, se refiere al perfil y, en particular, a la duración de la acción biológica de la molécula de acuerdo con la presente divulgación.

El vehículo farmacéuticamente aceptable no debe inducir la producción de anticuerpos perjudiciales para el individuo que recibe la composición y no debe ser tóxico. Los vehículos adecuados pueden ser macromoléculas grandes y de metabolismo lento, tales como las proteínas, polipéptidos, liposomas, polisacáridos, ácidos polilácticos, ácidos poliglicólicos, aminoácidos poliméricos, copolímeros de aminoácidos y partículas de virus inactivas.

Se pueden usar sales farmacéuticamente aceptables, por ejemplo, sales de ácidos minerales, tales como clorhidratos, bromhidratos, fosfatos y sulfatos, o sales de ácidos orgánicos, tales como acetatos, propionatos, malonatos y benzoatos.

Los vehículos farmacéuticamente aceptables en composiciones terapéuticas pueden contener adicionalmente líquidos tales como agua, solución salina, glicerol y etanol. Además, en tales composiciones pueden estar presentes sustancias auxiliares, tales como agentes humectantes o emulsionantes o sustancias tamponantes del pH. Dichos vehículos permiten que las composiciones farmacéuticas se formulen como comprimidos, píldoras, grageas, cápsulas, líquidos, geles, jarabes, pastas y suspensiones, para la ingestión por parte del paciente.

15

25

40

45

Las formas adecuadas para la administración incluyen formas adecuadas para la administración parenteral, por ejemplo, mediante inyección o infusión, por ejemplo, mediante inyección en bolo o infusión continua. Cuando el producto es para inyección o infusión, puede tomar la forma de una suspensión, solución o emulsión en un vehículo aceitoso o acuoso y puede contener agentes de formulación, como agentes de suspensión, conservantes, estabilizantes y/o dispersantes. Como alternativa, la molécula de anticuerpo puede estar en forma seca, para reconstituirse antes de usarla con un líquido estéril apropiado.

Una vez formuladas, las composiciones de la invención se pueden administrar directamente al sujeto. Los sujetos a tratar pueden ser animales. Sin embargo, en una o más realizaciones, las composiciones están adaptadas para la administración a sujetos humanos.

30 Adecuadamente, en las formulaciones de acuerdo con la presente divulgación, el pH de la formulación final no es similar al valor del punto isoeléctrico del anticuerpo o fragmento, por ejemplo, si el pl de la proteína está en el intervalo de 8-9 o superior, entonces una formulación de pH de 7 puede ser apropiada. Si bien no deseamos estar limitados por la teoría, se piensa que esto puede proporcionar finalmente una formulación final con estabilidad mejorada, por ejemplo, el anticuerpo o fragmento permanece en solución.

En un ejemplo, la formulación farmacéutica a un pH en el intervalo de 4,0 a 7,0 comprende: de 1 a 200 mg/ml de una molécula de anticuerpo de acuerdo con la presente divulgación, de 1 a 100 mM de un tampón, del 0,001 al 1 % de un tensioactivo, a) de 10 a 500 mM de un estabilizador, b) de 10 a 500 mM de un estabilizador y de 5 a 500 mM de un agente de tonicidad, o c) de 5 a 500 mM de un agente de tonicidad.

Las composiciones farmacéuticas de esta invención pueden administrarse mediante cualquier número de rutas que incluyen, pero sin limitación, oral, intravenosa, intramuscular, intraarterial, intramedular, intratecal, intraventricular, transdérmica, transcutánea (por ejemplo, véase el documento WO98/20734), subcutánea, intraperitoneal, intranasal, entérica, tópica, sublingual, intravaginal o rectal. También se pueden usar hiposprays para administrar las composiciones farmacéuticas de la invención. Normalmente, las composiciones terapéuticas se pueden preparar como inyectables, como soluciones líquidas o suspensiones. También se pueden preparar formas sólidas adecuadas para solución o suspensión en vehículos líquidos antes de la inyección.

El suministro directo de las composiciones generalmente se llevará a cabo mediante inyección, subcutánea, intraperitoneal, intravenosa o intramuscular, o se administrará al espacio intersticial de un tejido. Las composiciones también se pueden administrar en una lesión. El tratamiento de dosificación puede ser un programa de dosis única o un programa de dosis múltiple.

Se apreciará que el principio activo en la composición será una molécula de anticuerpo. Como tal, será susceptible a la degradación en el tracto gastrointestinal. Por lo tanto, si la composición se va a administrar por una vía que utiliza el tracto gastrointestinal, la composición deberá contener agentes que protejan al anticuerpo de la degradación, pero que liberen el anticuerpo una vez que se haya absorbido del tracto gastrointestinal.

Una discusión exhaustiva de los vehículos farmacéuticamente aceptables está disponible en Remington's Pharmaceutical Sciences (Mack Publishing Company, N.J. 1991).

En una realización, la formulación se proporciona como una formulación para administraciones tópicas que incluye inhalación.

Las preparaciones inhalables adecuadas incluyen polvos inhalables, aerosoles dosificadores que contienen gases propulsores o soluciones inhalables libres de gases propulsores. Los polvos inhalables de acuerdo con la divulgación

que contiene la sustancia activa pueden consistir únicamente en las sustancias activas mencionadas anteriormente o en una mezcla de las sustancias activas mencionadas anteriormente con excipiente fisiológicamente aceptable.

- Estos polvos inhalables pueden incluir monosacáridos (por ejemplo, glucosa o arabinosa), disacáridos (por ejemplo, lactosa, sacarosa, maltosa), oligo y polisacáridos (por ejemplo, dextranos), polialcoholes (por ejemplo, sorbitol, manitol, xilitol), sales (por ejemplo, cloruro de sodio, carbonato de calcio) o mezclas de estos entre sí. Se usan adecuadamente mono o disacáridos, el uso de lactosa o glucosa, particularmente, pero no exclusivamente, en forma de sus hidratos.
- Las partículas para la deposición en el pulmón requieren un tamaño de partícula inferior a 10 micrómetros, tal como de 1 a 9 micrómetros, por ejemplo, de 1 a 5 μm. El tamaño de partícula del principio activo (como el anticuerpo o fragmento) es de primordial importancia.
- Los gases propulsores que se pueden usar para preparar los aerosoles inhalables son conocidos en la técnica. Los gases propulsores adecuados se seleccionan entre hidrocarburos tales como n-propano, n-butano o isobutano y halohidrocarburos tales como derivados clorados y/o fluorados de metano, etano, propano, butano, ciclopropano o ciclobutano. Los gases propulsores mencionados anteriormente se pueden usar solos o en mezclas de los mismos.
- Los gases propulsores particularmente adecuados son los derivados de alcano halogenados seleccionados de entre TG11, TG12, TG134a y TG227. De los hidrocarburos halogenados mencionados anteriormente, TG134a (1,1,1,2-tetrafluoroetano) y TG227 (1,1,1,2,3,3,3-heptafluoropropano) y sus mezclas son particularmente adecuados.
- Los aerosoles inhalables que contienen gas propulsor también pueden contener otros ingredientes como cosolventes, estabilizantes, agentes tensioactivos (tensioactivos), antioxidantes, lubricantes y medios para ajustar el pH. Todos estos ingredientes son conocidos en la técnica.
 - Los aerosoles inhalables que contienen gas propulsor de acuerdo con la divulgación pueden contener hasta un 5 % en peso de sustancia activa. Los aerosoles de acuerdo con la divulgación contienen, por ejemplo, del 0,002 al 5 % en peso, del 0,01 al 3 % en peso, del 0,015 al 2 % en peso, del 0,1 al 2 % en peso, del 0,5 al 2 % en peso o del 0,5 al 1 % en peso de principio activo.

30

35

40

55

- Alternativamente, las administraciones tópicas al pulmón también pueden ser mediante la administración de una solución líquida o una formulación en suspensión, por ejemplo, empleando un dispositivo como un nebulizador, por ejemplo, un nebulizador conectado a un compresor (por ejemplo, el nebulizador Pari LC-Jet Plus(R) conectado a un compresor Pari Master(R) fabricado por Pari Respiratory Equipment, Inc., Richmond, Va.).
- El anticuerpo de la invención se puede administrar disperso en un disolvente, por ejemplo, en forma de una solución o una suspensión. Puede suspenderse en una solución fisiológica adecuada, por ejemplo, solución salina u otro disolvente farmacológicamente aceptable o una solución tamponada. Las soluciones tamponadas conocidas en la técnica pueden contener de 0,05 mg a 0,15 mg de edetato disódico, de 8,0 mg a 9,0 mg de NaCl, de 0,15 mg a 0,25 mg de polisorbato, de 0,25 mg a 0,30 mg de ácido cítrico anhidro y de 0,45 mg a 0,55 mg de citrato de sodio por 1 ml de agua para alcanzar un pH de aproximadamente de 4,0 a 5,0. Una suspensión puede emplear, por ejemplo, un anticuerpo liofilizado.
- Las suspensiones terapéuticas o formulaciones en solución también pueden contener uno o más excipientes. Los excipientes son bien conocidos en la técnica e incluyen tampones (por ejemplo, tampón citrato, tampón de fosfato, tampón de acetato y tampón de bicarbonato), aminoácidos, urea, alcoholes, ácido ascórbico, fosfolípidos, proteínas (por ejemplo, albúmina de suero), EDTA, cloruro de sodio, liposomas, manitol, sorbitol y glicerol. Las soluciones o suspensiones se pueden encapsular en liposomas o microesferas biodegradables. La formulación generalmente se proporcionará en una forma sustancialmente estéril empleando procesos de fabricación estériles.
 - Esto puede incluir la producción y la esterilización mediante filtración del disolvente/solución tamponada utilizada para la formulación, la suspensión aséptica del anticuerpo en la solución del disolvente tamponado estéril y la administración de la formulación en recipientes estériles mediante métodos familiares para los expertos en la técnica.
 - La formulación nebulizable de acuerdo con la presente divulgación puede proporcionarse, por ejemplo, como unidades de dosis única (por ejemplo, recipientes o viales de plástico sellados) envasados en sobres de papel de aluminio. Cada vial contiene una dosis unitaria en un volumen, por ejemplo, 2 ml, de disolvente/solución tamponada.
 - Los anticuerpos desvelados en el presente documento pueden ser adecuados para el suministro mediante nebulización.
- También se prevé que el anticuerpo de la presente invención se pueda administrar mediante el uso de terapia génica. Con el fin de lograr esto, las secuencias de ADN que codifican las cadenas pesadas y ligeras de la molécula de anticuerpo bajo el control de componentes de ADN apropiados se introducen en un paciente de tal manera que

las cadenas de anticuerpo se expresan a partir de las secuencias de ADN y se ensamblan in situ.

La presente invención también proporciona una molécula de anticuerpo (o composiciones que la comprenden) para su uso en el control de enfermedades autoinmunitarias, por ejemplo, encefalomielitis aguda diseminada (ADEM), leucoencefalitis hemorrágica necrotizante aguda, enfermedad de Addison, agammaglobulinemia, alopecia areata, amiloidosis, vasculitis asociada a ANCA, espondilitis anquilosante, nefritis anti-GBM/anti-TBM, síndrome antifosfolípido (APS), angioedema autoinmunitaria, anemia aplásica autoinmunitaria, disautonomía autoinmunitaria, hepatitis autoinmunitaria, hiperlipidemia autoinmunitaria, inmunodeficiencia autoinmunitaria, enfermedad del oído interno autoinmunitaria (AIED), miocarditis autoinmunitaria, pancreatitis autoinmunitaria, retinopatía autoinmunitaria, púrpura trombocitopénica autoinmunitaria (ATP), enfermedad tiroidea autoinmunitaria, urticaria autoinmunitaria, 10 neuropatías axonales y nales, enfermedad de balo, enfermedad de Behcet, penfigoide ampolloso, cardiomiopatía, enfermedad de Castleman, enfermedad celíaca, enfermedad de Chagas, polineuropatía desmielinizante inflamatoria crónica (CIDP), ostomielitis multifocal recurrente crónica (CRMO), síndrome de Churg-Strauss, pénfigo cicatricial/pénfigo mucosal benigno, enfermedad de Crohn, síndrome de Cogan, enfermedad de las aglutininas frías. bloqueo cardiaco congénito, miocarditis coxsackie, enfermedad de CREST, crioglobulinemia mixta esencial, 15 neuropatías desmielinazantes, dermatitis herpetiforme, dermatomiositis, enfermedad de Devic (neuromielitis óptica), cardiomiopatía dilatada, lupus discoide, síndrome de Dressler, endometriosis, fibrosis angiocéntrica eosinófila, fascitis eosinófila, eritema nudoso, encefalomielitis alérgica experimental, síndrome de Evans, alveolitis fibrosante, arteritis de células gigantes (arteritis temporal), glomerulonefritis, síndrome de Goodpasture, granulomatosis con 20 poliangitis (GPA) véase Wegener's, enfermedad de Graves, síndrome de Guillain-Barre, Encefalitis de Hashimoto, Hashimoto, anemia hemolítica, púrpura de Henoch-Schonlein, herpes hipogammaglobulinemia, nefritis tubulointestinal hipocomplementémica idiopática, púrpura trombocitopénica idiopática (ITP), nefropatía por IgA, enfermedad relacionada con IgG4, enfermedad esclerosante relacionada con IgG4, lipoproteínas inmunorreguladoras, aneurisma aórtico inflamatorio, pseudotumor inflamatorio, miositis por 25 cuerpos de inclusión, diabetes dependiente de insulina (tipo I), cistitis intersticial, artritis juvenil, diabetes juvenil, síndrome de Kawasaki, tumor de Kuttner, síndrome de Lambert-Eaton, vasculitis leucocitoclástica, liquen plano, liquen escleroso, conjuntivitis leñosa, enfermedad por IgA lineal (LAD), lupus (SLE), enfermedad de Lyme, crónica, fibrosis del mediastino, enfermedad de Meniere, poliangeítis microscópica, síndrome de Mikulicz, enfermedad del tejido conectivo mixto (MCTD), úlcera de Mooren, enfermedad de Mucha-Habermann, fibroesclerosis multifocal, esclerosis múltiple, miastenia grave, miositis, narcolepsia, neuromielitis óptica (Devic), neutropenia, penfigoide 30 cicatricial ocular, neuritis óptica, enfermedad de Ormond (fibrosis retroperitoneal), reumatismo palindrómico, PANDAS (trastornos neuropsiquiátricos pediátricos autoinmunitarios asociados con Streptococcus), degeneración cerebelosa paraneoplásica, polineuropatías paraproteinémicas, hemoglobinuria paroxística nocturna (HPN), síndrome de Parry Romberg, síndrome de Parsonnage-Turner, Pars planitis (uveítis periférica), pénfigo vulgar, periaortitis, periarteritis, neuropatía periférica, encefalomielitis perivenosa, anemia perniciosa, síndrome de POEMS, 35 poliarteritis nodosa, síndromes poliglandulares autoinmunitarios tipo I, II y III, polimialgia reumática, polimiositis, síndrome de infarto post-miocardio, síndrome postpericardiotomía, dermatitis de progesterona, cirrosis biliar primaria, colangitis esclerosante primaria, psoriasis, artritis psoriásica, fibrosis pulmonar idiopática, pioderma gangrenoso, aplasia pura de glóbulos rojos, fenómeno de Raynaud, distrofia simpática refleja, síndrome de Reiter, policondritis 40 recurrente, síndrome de las piernas inquietas, fibrosis retroperitoneal (enfermedad de Ormond), fiebre reumática, artritis reumatoide, tiroiditis de Riedel, sarcoidosis, Síndrome de Schmidt, escleritis, esclerodermia, síndrome de Sjogren, autoinmunidad testicular y de esperma, síndrome del hombre rígido, endocarditis bacteriana subaguda (SBE), síndrome de Susac, oftalmía simpática, arteritis de Takayasu, arteritis temporal/arteritis de gigantocitos, púrpura trombocitopénica trombótica (TTP), síndrome de Tolosa-Hunt, mielitis transversa, colitis ulcerosa, 45 enfermedad indiferenciada del tejido conjuntivo (UCTD), uveítis, vasculitis, dermatosis vesiculobullosa, vitíligo, macroglobulinemia de Waldenström, anemia hemolítica idiopática cálida y granulomatosis de Wegener (ahora denominada granulomatosis con poliangiitis (GPA).

En una realización, los anticuerpos o fragmentos de acuerdo con la divulgación se emplean en el tratamiento o profilaxis de epilepsia o convulsiones.

En una realización, los anticuerpos o fragmentos de acuerdo con la divulgación se emplean en el tratamiento o profilaxis de esclerosis múltiple.

55 En la realización, los anticuerpos y fragmentos de la divulgación se emplean en enfermedades/indicaciones aloinmunitarias que incluyen:

- Desapareamiento del donante de trasplante debido a los anticuerpos anti-HLA
- Trombocitopenia aloinmunitaria fetal y neonatal, FNAIT (o trombocitopenia aloinmunitaria neonatal, NAITP o NAIT o NAT, o trombocitopenia aloinmunitaria feto-materna, FMAITP o FMAIT).

Las indicaciones adicionales incluyen: eliminación rápida de fármacos biofarmacéuticos que contienen Fc de pacientes humanos y combinación de terapia anti-FcRn con otras terapias - IVIg, Rituxan, plasmaféresis. Por ejemplo, la terapia anti-FcRn puede emplearse después de la terapia con Rituxan.

65

En una realización, los anticuerpos y fragmentos de la divulgación se emplean en un trastorno neurológico tal como:

- polineuropatía desmielinizante inflamatoria crónica (CIDP)
- síndrome de Guillain-Barre
- polineuropatías paraproteinémicas
 - neuromielitis óptica (NMO, trastornos del espectro NMO o enfermedades del espectro NMO), y
 - · miastenia grave.

En una realización, los anticuerpos y fragmentos de la divulgación se emplean en un trastorno dermatológico tal como:

- · penfigoide ampolloso
- pénfigo vulgar
- · vasculitis asociada a ANCA
- 15 cardiomiopatía dilatada

En una realización, los anticuerpos y fragmentos de la divulgación se emplean en un trastorno hematológico de inmunología tal como:

- 20 púrpura trombocitopénica idiopática (ITP)
 - púrpura trombocitopénica trombótica (TTP)
 - anemia hemolítica idiopática cálida
 - síndrome de Goodpasture
 - desapareamiento del donante de trasplante debido a los anticuerpos anti-HLA

En una realización, el trastorno se selecciona de miastenia grave, neuromielitis óptica, CIDP, síndrome de Guillain-Barre, Polineuropatía para-proteinémica, epilepsia refractaria, ITP/TTP, anemia hemolítica, síndrome de Goodpasture, desapareamiento ABO, nefritis por lupus, vasculitis renal, esclerodermia, alveolitis fibrosante, miocardiopatía dilatada, enfermedad de Grave, diabetes de tipo 1, diabetes autoinmunitaria, Pénfigo, esclerodermia, Lupus, vasculitis asociadas con anticuerpos ANCA, dermato-miositis, enfermedad de Sjogren y artritis reumatoide.

En una realización, el trastorno se selecciona de síndrome poliendocrino autoinmunitario de tipo 1 (APECED o síndrome de Whitaker) y 2 (síndrome de Schmidt); alopecia universalis; crisis miasténica; crisis tiroidea; enfermedad ocular asociada a la tiroides; oftalmopatía tiroidea; diabetes autoinmunitaria; autoanticuerpos asociados con encefalitis y/o encefalopatía; pénfigo filiar; epidermolisis ampollosa; dermatitis herpetiforme; corea de Sydenham; neuropatía axonal motora aguda (AMAN); síndrome de Miller-Fisher; neuropatía motora multifocal (MMN); opsoclono; miopatía inflamatoria; síndrome de Isaac (neuromiotonía autoinmunitaria), síndromes paraneoplásicos y encefalitis límbica.

40 Los anticuerpos y fragmentos de acuerdo con la presente divulgación pueden emplearse en tratamiento o profilaxis.

La presente divulgación también proporciona un método para reducir la concentración de anticuerpos no deseados en un individuo que comprende las etapas de administrar a un individuo una dosis terapéuticamente eficaz de un anticuerpo anti-FcRn o fragmento de unión a FcRn del mismo descrito en el presente documento.

En una realización, la presente divulgación comprende el uso de anticuerpos o fragmentos de los mismos como reactivo para diagnóstico, por ejemplo, conjugado con una molécula informadora. Por lo tanto, se proporciona un anticuerpo o fragmento de acuerdo con la divulgación que está marcado. En un aspecto, se proporciona una columna que comprende un anticuerpo o fragmento de acuerdo con la divulgación.

Por lo tanto, se proporciona un anticuerpo anti-FcRn o un fragmento de unión a FcRn para su uso como reactivo para usos tales como:

- 1) purificación de la proteína FcRn (o fragmentos de la misma) se conjuga con una matriz y se usa como una columna de afinidad, o (como una forma modificada de anti-FcRn) como agente precipitante (por ejemplo, como una forma modificada con un dominio reconocido por otra molécula, que puede modificarse mediante la adición de un Fc (o producirse como IgG de longitud completa), que se precipita opcionalmente mediante un reactivo anti-Fc)
 - 2) detección y/o cuantificación de FcRn sobre células o en células, vivas o fijas (células in vitro o en tejidos o secciones celulares). Los usos para esto pueden incluir la cuantificación de FcRn como biomarcador, para seguir el efecto del tratamiento anti-FcRn. Para estos fines, el candidato podría usarse en una forma modificada (por ejemplo, mediante la adición de un dominio Fc, como en la IgG de longitud completa, o alguna otra fracción, como una proteína de fusión genética o conjugado químico, tal como la adición de un marcador fluorescente utilizado para fines de detección).
- 3) purificación o clasificación de las células portadoras de FcRn marcadas mediante la unión al candidato modificado de maneras ejemplificadas en (1) y (2).

24

45

25

30

35

50

La presente divulgación también proporciona un ensayo adecuado para evaluar la capacidad de una molécula de prueba, tal como una molécula de anticuerpo, para inhibir la actividad de FcRn y, en particular, la capacidad de las células para reciclar IgG. Dicho ensayo puede ser útil para identificar inhibidores de la actividad de FcRn, tales como moléculas de anticuerpo o moléculas pequeñas y, como tal, también puede ser útil como un ensayo de liberación discontinua en la producción de dicho inhibidor.

En un aspecto, se proporciona un ensayo adecuado para evaluar la capacidad de una molécula de prueba, tal como una molécula de anticuerpo, para inhibir la actividad de FcRn humano y, en particular, la capacidad de FcRn humano para reciclar lgG, en el que el método comprende las etapas de:

10

15

- a) revestir una superficie de células de mamíferos no humanos que expresan de forma recombinante la cadena alfa de FcRn humano y la microglobulina β2 humana (β2M).
- b) poner en contacto las células en condiciones levemente ácidas, tal como aproximadamente pH 5,9, con una molécula de prueba y una IgG para ser reciclada por la célula durante un período de tiempo suficiente para permitir la unión de la molécula de prueba y la IgG a FcRn, agregando opcionalmente la molécula de prueba antes de que la IgG sea reciclada e incubar durante un período de tiempo suficiente para permitir la unión de la molécula de prueba a FcRn.
- c) lavar con un tampón ligeramente ácido, y
- d) detectar la cantidad de IgG internalizada y/o reciclada por las células.

20

En un aspecto, se proporciona un ensayo adecuado para evaluar la capacidad de una molécula de prueba, tal como una molécula de anticuerpo, para inhibir la actividad de FcRn humano y, en particular, la capacidad de FcRn humano para reciclar IgG, en el que el método comprende las etapas de:

25

30

- a) revestir una superficie de células de mamíferos no humanos que expresan de forma recombinante la cadena alfa de FcRn humano y la microglobulina β2 humana (β2M),
- b) poner en contacto las células en condiciones levemente ácidas, tal como aproximadamente pH 5,9, con una molécula de anticuerpo de prueba y una IgG para ser reciclada por la célula durante un período de tiempo suficiente para permitir la unión de la molécula de anticuerpo de prueba y la IgG a FcRn, agregando opcionalmente la molécula de anticuerpo de prueba antes de que la IgG sea reciclada e incubar durante un período de tiempo suficiente para permitir la unión de la molécula de anticuerpo de prueba a FcRn.
- c) lavar con un tampón ligeramente ácido para eliminar la IgG no unida y la molécula de anticuerpo de prueba, y
- d) detectar la cantidad de IgG reciclada por las células.

En un aspecto, se proporciona un ensayo adecuado para evaluar la capacidad de una molécula de prueba, tal como una molécula de anticuerpo, para inhibir la actividad de FcRn humano y, en particular, la capacidad de FcRn humano para reciclar IgG, en el que el método comprende las etapas de:

40

- a) revestir una superficie de células de mamíferos no humanos que expresan de forma recombinante la cadena alfa de FcRn humano y la microglobulina β 2 humana (β 2M),
- b) poner en contacto las células en condiciones levemente ácidas, tal como aproximadamente pH 5,9, con una molécula de anticuerpo de prueba y una IgG para ser reciclada por la célula durante un período de tiempo suficiente para permitir la unión de la molécula de anticuerpo de prueba y la IgG a FcRn, agregando opcionalmente la molécula de anticuerpo de prueba antes de que la IgG sea reciclada e incubar durante un período de tiempo suficiente para permitir la unión de la molécula de anticuerpo de prueba a FcRn.
- c) lavar con un tampón ligeramente ácido para eliminar la IgG no unida y la molécula de anticuerpo de prueba,
- d) incubar las células en un tampón neutro, tal como aproximadamente pH 7,2
- e) detectar la cantidad de IgG reciclada por las células mediante la determinación de la cantidad de IgG liberada en el sobrenadante.

50

45

Las células adecuadas incluyen células de riñón canino Madin-Darby (MDCK) II. La transfección de células MDCKII con cadena alfa de FcRn humano y $\beta 2$ microglobulina humana ($\beta 2M$) ha sido descrita previamente por Claypool et al., 2002, Journal of Biological Chemistry, 277, 31, 28038-28050. Este documento también describe el reciclado de IgG mediante estas células transfectadas.

55

- Los medios para soportar las células durante las pruebas incluyen medios completos que comprenden MEM (Gibco n.º 21090-022), 1 x aminoácidos no esenciales (Gibco 11140-035), 1 x piruvato de sodio (Gibco n.º 11360-039) y L-glutamina (Gibco n.º 25030-024).
- Se puede preparar un lavado ácido tomando HBSS+ (PAA n.º H15-008) y añadiendo MES 1 M hasta que se alcance un pH de 5,9 +/- 0,5. También se puede añadir BSA alrededor del 1 % (Sigma n.º A9647).
 - Se puede preparar un lavado neutro tomando HBSS+ (PAA n.º H15-008) y añadiendo Hepes 10 M hasta alcanzar un pH 7,2 +/- 0,5. También se puede añadir BSA alrededor del 1 % (Sigma n.º A9647).

El lavado de las células con tampón ácido elimina el anticuerpo de prueba no unido y la IgG no unida y permite que se realicen análisis adicionales. Las condiciones ácidas utilizadas en la etapa (b) fomentan la unión de la IgG a FcRn y la internalización y el reciclado de la misma.

La cantidad de anticuerpo de prueba o fragmento e IgG solo en la superficie de las células puede determinarse mediante el lavado de las células con lavado neutro y el análisis del sobrenadante/lavados para detectar la cantidad de anticuerpo de prueba o IgG. Es importante destacar que no se emplea un tampón de lisis. Para determinar la cantidad de IgG internalizada por las células, el anticuerpo se puede eliminar primero de la superficie de la célula con un lavado neutro y las células se lisan con un tampón de lisis y luego se analizan los contenidos internos. Para determinar la cantidad de IgG reciclada por las células, las células se incuban en condiciones neutras durante un período de tiempo adecuado y el tampón circundante se analiza para determinar el contenido de IgG. Si se requiere la superficie y el contenido de anticuerpos internos de la célula, entonces la célula se puede lavar con lavado ácido para mantener la presencia del anticuerpo en la superficie celular, seguido de la lisis celular y el análisis del material combinado.

Cuando se desea medir tanto la internalización como el reciclado de las muestras de IgG, se ejecutan por duplicado y las pruebas de internalización y reciclado se realizan por separado.

Un tampón de lisis adecuado incluye NaCl 150 mM, Tris 20 mM, pH 7,5, EDTA 1 mM, EGTA 1 mM, Triton-X 100 al 1 %, por cada 10 ml de inhibidores de la proteasa/inhibidores de fosfato añadidos como se describe en las pautas del fabricante.

Normalmente, la IgG que se va a reciclar está marcada, en un ejemplo, se puede usar una IgG humana biotinilada. Luego se puede detectar la IgG empleando, por ejemplo, 25 ml de anticuerpo de detección de estreptavidina marcado con azufre (como MSD n.º r32ad-5) a 0,2 µg/ml de tampón de inhibición de MSD. El tampón de inhibición puede comprender Tris 500 mM, pH 7,5. NaCl 1,5 M y Tween-20 al 0,2 % y BSA al 1,5 %.

Alternativamente, la IgG se puede marcar previamente con un fluoróforo o un marcador similar.

30 En una realización, una superficie adecuada es una placa o pocillo de plástico, tal como una placa de 96 pocillos o similar, un portaobjetos de vidrio o una membrana. En un ejemplo, las células se recubren sobre la superficie a una densidad que da como resultado la formación de una monocapa.

En una realización, el ensayo descrito en el presente documento no es una medida de la transcitosis de un anticuerpo de arriba a abajo a través de una membrana con un gradiente de pH en la misma, por ejemplo, condiciones ácidas en un lado de la membrana y condiciones neutras en la parte inferior de la membrana.

En un ejemplo, el anticuerpo de prueba o fragmento y la IgG se pueden incubar con las células en la etapa (b) durante aproximadamente 1 hora, por ejemplo, a temperatura ambiente en condiciones ácidas para permitir la unión.

En un ejemplo, el anticuerpo de prueba o fragmento se pueden incubar con las células en la etapa (b) durante aproximadamente 1 hora, por ejemplo, a temperatura ambiente en condiciones ácidas para permitir la unión antes de la adición de la IgG a reciclar. Posteriormente, la IgG a reciclar por la célula puede incubarse con las células en la etapa (b) durante aproximadamente 1 hora, por ejemplo, a temperatura ambiente en condiciones ácidas para permitir la unión.

Las condiciones neutras facilitan la liberación de IgG en el sobrenadante.

40

45

50

55

Comprender en el contexto de la presente especificación tiene el propósito de incluir el significado.

Donde técnicamente se pueden combinar realizaciones apropiadas de la invención.

Las realizaciones se describen en el presente documento como que comprenden ciertas características/elementos. La divulgación también se extiende a realizaciones separadas que consisten o consisten esencialmente en dichas características/elementos.

La presente invención se describe adicionalmente a modo de ilustración solamente en los siguientes ejemplos, que se refieren a las Figuras adjuntas, en los que:

60	La Figura 1	muestra ciertas secuencias de aminoácidos y polinucleótidos.			
	La Figura 2	muestra alineaciones de ciertas secuencias.			
	La Figura 3	muestra una comparación de la unión en MDCK II humana para un fragmento Fab' de acuerdo con			
		la presente divulgación y una versión PEGilada del mismo			
	La Figura 4	muestra un fragmento Fab' de acuerdo con la presente divulgación y una versión PEGilada del			
65		mismo que inhibe el reciclado de IgG en células MDCK II			
	La Figura 5	muestra un fragmento Fab' PEGilado de acuerdo con la presente divulgación que inhibe la			

		transcitosis de IgG de origen apical a basolateral en células MDCK II
	La Figura 6	muestra una comparación de la unión de MDCK II de macaco para un fragmento Fab' de acuerdo
	_	con la presente divulgación y una versión PEGilada del mismo
	La Figura 7	muestra un fragmento Fab' PEGilado de acuerdo con la presente divulgación que inhibe el
5		reciclado de IgG en células MDCK II para versiones de seres humanos y macacos de las mismas
	La Figura 8	muestra el efecto de una dosis única de una molécula Fab' PEGilada de acuerdo con la
		divulgación sobre los niveles de IgG en plasma en macacos
	La Figura 9	muestra el efecto de cuatro dosis semanales de una molécula Fab' PEGilada de acuerdo con la
		divulgación sobre los niveles de IgG en plasma
10	La Figura 10	muestra una representación esquemática de la función de reciclado de anticuerpos de FcRn
		inhibida mediante una proteína de inhibición
	La Figura 11	muestra el análisis de inhibición de IgG humana basada en citometría de flujo utilizando
		anticuerpos IgG gamma 1 purificados
	La Figura 12	muestra las dosis IV de Fab'PEG únicas/intermitentes en la farmacodinámica de IgG normal en
15		macacos de 20 mg/kg los días 1 y 67
	La Figura 13	muestra las dosis IV de Fab'PEG:repetidas en la farmacodinámica de IgG normal en macacos de 4
		x 20 o 100 mg/kg por semana
	La Figura 14	muestra las dosis IV de Fab'PEG únicas/intermitentes en la farmacodinámica de IgG normal en
20	l a Figure 45	macacos a -20 mg/kg y 100 mg/kg los días 1 y 67
20	La Figura 15	muestra los niveles de IgG en plasma en 4 macacos después de 2 dosis IV de 20 mg/kg de Fab'PEG de 1519.g57
	La Figura 16	muestra los niveles de IgG en plasma en 4 macacos que reciben 10 dosis IV de 20 mg/kg de
	La rigura 10	Fab'PEG de 1519.g57, una cada 3 días
	La Figura 17	muestra el efecto de dos dosis IV de 30 mg/kg de IgG4P de 1519.g57 sobre la IgG en plasma
25	La i iguiu ii	endógena en macacos
	La Figura 18	muestra el efecto de 30 mg/kg si van seguidas de 41 dosis diarias de 5 mg/kg de IgG4P de
	3	1519.g57 en IgG en plasma en macacos
	La Figura 19	muestra el resultado de la dosificación diaria con vehículo en la IgG plasmática en macacos
	La Figura 20	muestra el aclaramiento aumentado de hIgG IV en plasma de ratones transgénicos hFcRn tratados
30		con Fab'PEG de CA170_01519.g57 o PBS IV
	La Figura 21	muestra el aclaramiento aumentado de hIgG IV en plasma de ratones transgénicos hFcRn tratados
		con lgG1 o lgG4 de CA170_01519.g57 o PBS IV
	La Figura 22	muestra el aclaramiento aumentado de hIgG IV en plasma de ratones transgénicos hFcRn tratados
		con Fab'- albúmina de suero humano de CA170_01519.g57 o PBS IV
35	La Figura 23	muestra el aclaramiento aumentado de hIgG IV en plasma de ratones transgénicos hFcRn tratados
	l - F i 04	con FabFv de CA170_01519.g57 o PBS IV
	La Figura 24	muestra el aclaramiento aumentado de hIgG IV en plasma de ratones transgénicos hFcRn tratados
	La Figura 25	con Fab o Fab'PEG de CA170_01519.g57 o PBS IV muestra una proteína de fusión de anticuerpos biespecíficos de la presente invención, denominada
40	∟a Figur a 23	Fab-dsFv.
40		I ap-usi v.

Ejemplos

45

Las siguientes inmunizaciones se realizaron para generar material para el cultivo de linfocitos B y la detección de anticuerpos:

las ratas Sprague Dawley se inmunizaron con tres dosis de fibroblastos de ratón NIH3T3 que expresan conjuntamente FcRn humano mutante (L320A; L321A) (Ober et al., 2001 Int. Immunol. $\underline{13}$, 1551-1559) y β 2M de ratón con un cuarto refuerzo final del dominio extracelular de FcRn humano.

- Los sueros se monitorizaron tanto para la unión a FcRn mutante en células HEK-293 como para su capacidad para evitar la unión de IgG humana marcada con Alexafluor 488. Ambos métodos se realizaron por citometría de flujo. Para la unión, se utilizaron reactivos secundarios específicos anti-Fc de ratón o rata marcados con ficoeritrina (PE) para revelar la unión de IgG en los sueros.
- Los cultivos de linfocitos B se prepararon utilizando un método similar al descrito por Zubler *et al.* (1985). En resumen, se cultivaron linfocitos B a una densidad de aproximadamente 5000 células por pocillo en placas de cultivo de tejidos de 96 pocillos con código de barras con 200 μl/pocillo de medio RPMI 1640 (Gibco BRL) complementado con FCS al 10 % (PAA laboratories ltd), HEPES al 2 % (Sigma Aldrich), L-Glutamina al 1 % (Gibco BRL), solución de penicilina/estreptomicina al 1 % (Gibco BRL), β-mercaptoetanol al 0,1 % (Gibco BRL), sobrenadante de cultivo de esplenocitos de conejo activado al 2-5 % y células de timoma murino EL-4-B5 irradiadas con radiación gamma (5x10⁴/pocillo) durante siete días a 37 °C en una atmósfera de CO₂ al 5 %.

La presencia de anticuerpos específicos de FcRn en sobrenadantes de cultivos de linfocitos B se determinó utilizando un ensayo de unión homogéneo basado en fluorescencia utilizando células HEK-293 transfectadas transitoriamente con FcRn mutante (estabilizado en la superficie) como fuente de antígeno diana. Se transfirieron 10 µl de sobrenadante de placas de cultivo de tejido de 96 pocillos con código de barras a placas de ensayo de pared

negra de 384 pocillos con código de barras que contenían 5000 células HEK-293 transfectadas por pocillo utilizando un manipulador de líquidos Matrix Platemate. La unión se reveló con un conjugado de cabra Cy-5 específico para Fcγ anti-IgG de rata o ratón (Jackson). Las placas se leyeron en un sistema de detección celular Applied Biosystems 8200. De las placas de cultivo de 3800 x 96 pocillos, que representan 38 animales inmunizados diferentes, se identificaron 9800 aglutinantes anti-FcRn humano. Se estimó que esto representaba la detección de aproximadamente 2,5 billones de linfocitos B.

Después de la selección primaria, los sobrenadantes positivos se consolidaron en placas maestras con código de barras de 96 pocillos utilizando un robot de recolección de golpes Aviso Onyx y los linfocitos B en placas de cultivo celular congeladas a -80 °C. Las placas maestras se seleccionaron luego en un ensayo de Biacore para identificar los pocillos que contienen anticuerpos de alta afinidad y aquellos que inhibían la unión de la IgG humana a FcRn (véase más abajo).

10

15

20

30

35

40

45

50

55

60

El análisis de interacción biomolecular utilizando tecnología de resonancia de plasmón superficial (SPR) se realizó en un sistema BIAcore T200 (GE Healthcare). Se inmovilizó gamma Fc de cabra anti-IgG de rata (Chemicon International Inc.) en NaAc 10 mM, tampón de pH 5 en un chip de sensor CM5 mediante química de acoplamiento de amina a un nivel de captura de aprox. 19500 unidades de respuesta (UR) que utilizan HBS-EP+ como tampón en ejecución. Se utilizó fosfato 50 mM, pH 6 + NaCl 150 mM como tampón de ejecución para el ensayo de afinidad e inhibición. Los sobrenadantes del cultivo de linfocitos B se diluyeron 1 en 5 en fosfato 200 mM, pH 6 + NaCl 150 mM. Se usó una inyección de 600 s de sobrenadante de linfocitos B diluidos a 5 µl/min para la captura mediante la anti-IgG inmovilizada de rata, Fc. Se inyectó FcRn humano a 100 nM sobre el sobrenadante del cultivo de linfocitos B capturado durante 180 s a 30 µl/min seguido de una disociación de 360 s. Se inyectó IgG humana (Jackson ImmunoResearch) durante 60 s con 180 s de disociación a 30 µl/min.

25 Los datos se analizaron utilizando el software de evaluación T200 (versión 1.0) para determinar las constantes de afinidad (K_D) de los anticuerpos y determinar aquellos que inhiben la unión de IgG.

Como un ensayo alternativo, los sobrenadantes de la placa maestra también se examinaron en un ensayo de inhibición de IgG humana basado en células. Se añadieron 25 µl de sobrenadante de cultivo de linfocitos B de placas maestras a una placa de polipropileno de 96 pocillos con fondo en U. Luego se añadieron células HEK-293 transfectadas con hFcRn mutantes (50.000 células por pocillo en 25 µl de PBS pH 6/FCS al 1 %) a cada pocillo y se incubaron durante 1 hora a 4 °C. Las células se lavaron dos veces con 150 µl de medio PBS. Las células se resuspendieron luego en 50 µl/pocillo de medio PBS/FCS que contenía IgG humana marcada con Alexafluor 488 o 649 a 7,5 µg/ml y se incubaron 1 hora a 4 °C. Las células luego se lavaron dos veces con 150 µl de medio y luego se resuspendieron en 35 µl/pocillo de medio PBS/FCS que contenía formaldehído al 1 % como fijador. Las placas se leyeron luego en un citómetro de flujo FACS Canto 2. Ejemplo de datos se da en la Figura 11.

Para permitir la recuperación de los genes de la región variable del anticuerpo de una selección de pocillos de interés, se tuvo que realizar un paso de desconvolución para permitir la identificación de los linfocitos B específicos de antígeno en un pocillo dado que contenía una población heterogénea de linfocitos B. Esto se logró utilizando el método de los focos fluorescentes. En resumen, los linfocitos B secretores de inmunoglobulinas de un pocillo positivo se mezclaron con perlas de estreptavidina (New England Biolabs) recubiertas con FcRn humano biotinilado y una dilución final de 1:1200 de un conjugado de cabra FITC específico de fragmento anti-Fcγ de rata o ratón (Jackson). Después de la incubación estática a 37 °C durante 1 hora, se pudieron identificar linfocitos B específicos de antígeno debido a la presencia de un halo fluorescente que rodea ese linfocito B. Estos linfocitos B individuales, identificados mediante un microscopio Olympus, se seleccionaron luego con un micromanipulador Eppendorf y se depositaron en un tubo de PCR. Se generaron focos fluorescentes a partir de 268 pocillos seleccionados.

Los genes de la región variable del anticuerpo se recuperaron de células individuales mediante la reacción en cadena de la polimerasa de transcripción inversa (RT)-PCR utilizando cebadores específicos de región variable de cadena pesada y ligera. Se realizaron dos rondas de PCR en un robot de manejo de líquido Aviso Onyx, con la 2ª PCR anidada que incorpora sitios de restricción en los extremos 3' y 5' permitiendo la clonación de las regiones variables en un vector de expresión de mamíferos Kappa (VL) de ratón o IgG γ1 (VH) de ratón. Las construcciones de cadena pesada y ligera emparejadas se cotransfectaron en células HEK-293 utilizando Fectin 293 (Invitrogen) y se cultivaron en placas de 48 pocillos en un volumen de 1 ml. Después de 5-7 días de expresión, los sobrenadantes se recogieron y el anticuerpo se sometió a un examen adicional.

La PCR recuperó con éxito pares cognados de cadena ligera y pesada de linfocitos B individuales de 156 de los pocillos seleccionados. El análisis de secuencia de ADN de los genes clonados de la región variable identificó varias familias únicas de anticuerpos recombinantes. Después de la expresión, se interrogaron los sobrenadantes transitorios tanto en la inhibición de FACS de IgG humana (descrito anteriormente) como en los ensayos de reciclado de IgG. En algunos casos, se produjo y probó IgG γ1 de ratón purificada (los datos se marcaron en consecuencia).

65 El ensayo de reciclado usó células MDCK II (clon 34 como se describe en los Ejemplos 4 y 5 a continuación) que expresan en exceso FcRn humano y beta 2 microglobulina en placas a 25.000 células por pocillo de una placa de 96

pocillos. Estas se incubaron durante la noche a 37 °C, CO2 al 5 %. Las células se lavaron con HBSS+ Ca/Mg pH 7,2 + BSA al 1 % y luego se incubaron con 50 µl de concentraciones variables de sobrenadante transitorio HEK-293 o anticuerpo purificado durante 1 hora a 37 °C, CO2 al 5 %. Se eliminó el sobrenadante y se añadieron 500 ng/ml de lgG humana biotinilada (Jackson) en 50 µl de HBSS+ Ca/Mg pH 5,9 + BSA al 1 % a las células y se incubaron durante 1 hora a 37 °C, CO2 al 5 %. Luego, las células se lavaron tres veces en HBSS+ Ca/Mg pH 5,9 y se añadieron a las células 100 µl de HBSS+ Ca/Mg pH 7,2 y se incubaron a 37 °C, CO2 al 5 % durante 2 horas. El sobrenadante se eliminó de las células y se analizó para determinar la lgG total utilizando un ensayo MSD con un anticuerpo de captura anti-lgG humana (Jackson) y un anticuerpo revelador de marcador de estreptavidina-sulfo (MSD). La curva de inhibición se analizó mediante regresión no lineal para determinar los valores de CI50.

10

15

20

25

Basándose en el rendimiento en estos ensayos, se seleccionó una familia de anticuerpos que comprende las seis CDR dadas en las SEQ ID NO 1 a 6. El anticuerpo CA170_01519 tuvo la mejor actividad y se seleccionó para la humanización.

Ejemplo 1 Método de humanización

El anticuerpo CA170_01519 se humanizó mediante el injerto de las CDR de las regiones V del anticuerpo de rata en los marcos de la región V del anticuerpo de la línea germinal humana. Con el fin de recuperar la actividad del anticuerpo, también se conservaron en la secuencia humanizada una serie de restos marco de las regiones V de rata. Estos restos se seleccionaron utilizando el protocolo descrito por Adair et al. (1991) (Humanised antibodies WO91/09967). Las alineaciones de las secuencias de la región V del anticuerpo (donante) de rata con las secuencias de la región V de la línea germinal humana (aceptora) se muestran en las Figuras 2A y 2B, junto con las secuencias humanizadas diseñadas. Las CDR injertadas desde la secuencia donante a la aceptora son las definidas por Kabat (Kabat et al., 1987), con la excepción de CDR-H1 donde se usa la definición combinada de Chothia/Kabat (véase Adair et al., 1991, Humanised antibodies. WO91/09967). La región V humana de VK1 2-1-(1) A30 más la región J de JK2 (V BASE, http://vbase.mrc-cpe.cam.ac.uk/) se eligió como aceptor para las CDR de cadena ligera. La región V humana de VH3 1-3 3-07 más la región J de JH4 J (V BASE, http://vbase.mrc-cpe.cam.ac.uk/) se eligió como aceptor para las CDR de cadena pesada.

Los genes que codifican una serie de variantes de las secuencias de la región V de la cadena ligera y pesada se diseñaron y estas se construyeron mediante un enfoque de síntesis automatizada por Entelechon GmbH. Se crearon variantes adicionales de ambas regiones V de cadena pesada y ligera mediante la modificación de los genes VH y VK mediante mutagénesis dirigida por oligonucleótidos. Estos genes se clonaron en varios vectores para permitir la expresión de Fab' de 1519 humanizados en células de mamíferos y *E. coli.* Las cadenas variantes, y combinaciones de las mismas, se evaluaron para determinar su expresión en *E. coli*, su potencia en relación con el anticuerpo parental, sus propiedades biofísicas y su aptitud para el procesamiento posterior, lo que llevó a la selección del injerto de cadena ligera gL20 y el injerto de cadena pesada gH20. Las secuencias de injerto gL20 y gH20 seleccionadas finales se muestran en las Figuras 2A y 2B, respectivamente. Este emparejamiento de la región V se denominó 1519.g57.

40

45

Los restos del marco de cadena ligera en el injerto gL20 son todos del gen de la línea germinal humana, con la excepción de los restos 36, 37 y 58 (numeración de Kabat), donde se conservan los restos donantes de Leucina (L36), Fenilalanina (F37) e Isoleucina (158), respectivamente. La retención de estos tres restos fue esencial para la potencia total de los Fab' humanizados. Los restos del marco de cadena pesada en el injerto gH20 son todos del gen de la línea germinal humana, con la excepción de los restos 3, 24, 76, 93 y 94 (numeración de Kabat), donde se conservan los restos donantes de Prolina (P3), Valina (V24), Serina (S76), Treonina (T93) y Treonina (T94), respectivamente. La retención de estos cinco restos fue importante para la potencia total de los Fab' humanizados.

Para la expresión en *E. coli*, los genes humanizados de la región V de cadena ligera y pesada se clonaron en el vector de expresión UCT pTTOD, que contiene ADN que codifica la región constante C-kappa humana (alotipo K1m3) y la región bisagra CH1 gamma-1 humana (alotipo G1m17). El gen FkpA de *E. coli* también se introdujo en el plásmido de expresión, ya que se descubrió que la coexpresión de esta proteína chaperona mejora el rendimiento de Fab' humanizado en la cepa MXE016 de *E. coli* (desvelada en el documento WO2011/086136) durante la fermentación continua, usando IPTG para inducir la expresión de Fab'. Las cadenas ligeras y pesadas de Fab' de 1519 y el polipéptido FkpA se expresaron a partir de un único multicistrón bajo el control del promotor tac inducible por IPTG.

Para la expresión en células de mamíferos, los genes de la región V de cadena ligera humanizada se clonaron en el vector de expresión de cadena ligera humana UCB-Celltech pMhCK, que contiene ADN que codifica la región constante de cadena Kappa humana (alotipo Km3). Los genes de la región V de cadena pesada humanizada se clonaron en el vector de expresión de cadena pesada gamma 4 humana UCB-Celltech pMhg4P DV, que contiene ADN que codifica la región constante de cadena pesada gamma-4 humana con la mutación estabilizadora de la bisagra S241P (Angal et al., Mol Immunol. 1993, 30(1):105-8). La cotransfección de vectores de cadena ligera y pesada en células HEK293 en suspensión se logró usando 293 Fectina (12347-019 Invitrogen), y dio expresión de los anticuerpos 1519 recombinantes humanizados.

Ejemplo 1A Preparación del conjugado Fab'-PEG de 1519.g57

EL Fab' expresado en el periplasma de *E. coli* se extrajo de las células mediante extracción por calor. Fab' se purificó mediante purificación por afinidad con proteína G con una elución ácida. Fab' se redujo y PEGiló con PEG de 40 kDa (SUNBRIGHT GL2-400MA3). El PEG está unido covalentemente a través de un grupo de maleimida a uno o más grupos tiol en el fragmento de anticuerpo. La eficacia de la PEGilación se confirmó mediante SE-HPLC. El Fab'PEG se separó de los diFab' y Fab' no PEGilados mediante cromatografía de intercambio catiónico. Las fracciones se analizaron mediante SE-HPLC y SDS-PAGE. La agrupación se realizó para minimizar niveles de impurezas. La muestra final se concentró y se diafiltró en el tampón deseado.

Ejemplo 1B Preparación de Fab' de 1519.g57 (Anti-FcRn humano) conjugado con albúmina de suero humano

Fab' de 1519.g57 anti-FcRn humano se conjugó químicamente con albúmina de suero humano (derivado recombinante) que luego se usó para estudios en animales.

 Albúmina de suero humano: Recombumina de Novozyme (número de catálogo: 200-010) presentada como solución al 20 % p/v producida de forma recombinante en Saccharomyces cerevisiae.

- Fab' de 1519.g57: 30 mg/ml presentado en fosfato de sodio 0,1 M, EDTA 2 mM, pH 6,0 (tampón de reducción)
- 1,6-bismaleimidohexano (BMH) de Thermo fisher (número de catálogo 22330)

Reducción de albúmina:

La albúmina se redujo utilizando clorhidrato de cisteamina recién preparado (nº de catálogo Sigma: 30078) que se preparó en tampón de reducción. A la solución de albúmina, se añadió clorhidrato de cisteamina a un exceso molar de 10 veces y luego se incubó a 37 °C al baño de agua durante 30 minutos. Después de la reducción, la solución se desaló utilizando columnas PD10 (GE Healthcare n.º de catálogo 17-0851-01) para eliminar cualquier exceso de agente reductor.

Adición del enlazador BMH:

Se preparó una solución madre de 1,6-bismaleimidohexano en un vial de vidrio usando dimetilformamida. La solución se agitó en vórtex para asegurar la disolución completa de BMH.

Se añadió solución de BMH a la solución de albúmina reducida desalada en un exceso molar de 10 veces con respecto a la concentración de albúmina. La solución se incubó luego a 37 °C durante 30 minutos, seguido de una incubación durante la noche a temperatura ambiente en un rodillo para asegurar una mezcla adecuada. Se observó un precipitado blanco que se centrifugó utilizando una centrífuga de sobremesa.

Una vez completada la reacción, la solución se desalinizó utilizando columnas PD10.

Reducción de Fab' de 1519.g57

Fab' de 1519.g57 se redujo usando clorhidrato de cisteamina recién preparado (nº de catálogo Sigma: 30078) que se preparó en tampón de reducción. A la solución de Fab' de 1519.g57, se añadió clorhidrato de cisteamina a un exceso molar de 10 veces y luego se incubó a 37 °C al baño de agua durante 30 minutos. Después de la reducción, la solución se desaló utilizando columnas PD10 (GE Healthcare n.º de catálogo: 17-0851-01) para eliminar cualquier exceso de agente reductor.

Mezcla de Fab reducido y albúmina-BMH

Se añadieron cantidades iguales (en términos molares) de Fab' reducido y enlazador de albúmina y se incubaron a temperatura ambiente durante la noche en un mezclador de rodillos.

Purificación por afinidad:

La mezcla anterior se purificó luego por afinidad utilizando Blue Sepharose que se unió al conjugado de albúmina-Fab y la albúmina libre. La purificación se llevó a cabo de acuerdo con las instrucciones del fabricante, que se describen brevemente aquí:

la Blue Sepharose se reconstituyó en DPBS pH 7,4 y se lavó tres veces con PBS. Después del lavado, se añadió la mezcla de Fab y albúmina enlazada al enlazador y se incubó a temperatura ambiente durante 1 hora en un mezclador de rodillos. Después de la incubación, la matriz se lavó nuevamente con PBS para eliminar cualquier material no unido y luego se eluyó con PBS 7,4 que contenía KCl 2 M.

30

10

15

20

30

25

40

45

50

55

Purificación por exclusión de tamaño:

10

15

20

35

40

45

50

55

El material purificado por afinidad contenía albúmina conjugada con Fab junto con algo de HSA sin reaccionar. Esto requirió una limpieza adicional y esto se logró mediante cromatografía de exclusión por tamaño (S200 16X60 de GE Healthcare). Las fracciones combinadas finales se presentaron en DPBS pH 7,4. El conjugado final Fab-HSA de 1519.g57se concentró hasta 20 mg/ml en DPBS pH 7,4 y se analizó en cromatografía de exclusión de tamaño analítico (Agilent Zorbax GF250 y GF450 en tándem) y se encontró que era un conjugado predominantemente monomérico. También se llevó a cabo el ensayo de endotoxinas y se encontró que la muestra estaba por debajo del límite inferior especificado de contenido de endotoxinas.

Ejemplo 2 Selección de moléculas candidatas a Fab' y Fab'PEG en el ensayo de reciclado de IgG

Para determinar la capacidad de las moléculas Fab'PEG candidatas para inhibir la actividad de FcRn en un ensayo de células funcionales, se seleccionaron moléculas en el ensayo de reciclado de IgG (descrito con más detalle en el Ejemplo 5). En resumen, las células del clon 34 de MDCK II se incubaron previamente con Fab' o Fab'PEG candidato antes de la adición de IgG humana biotinilada en un tampón ácido. Las células se lavaron para eliminar todo el exceso de IgG y luego se incubaron en un tampón de pH neutro para facilitar la liberación de IgG en el sobrenadante. La cantidad de IgG liberada en el sobrenadante se midió mediante el ensayo MSD y se calcularon los valores de CE50. Los valores de CE50 de las moléculas candidatas de Fab' y Fab'PEG humanizadas que inhiben el reciclado de IgG se muestran en la tabla a continuación. Tras la PEGilación, existe una pérdida de potencia para todos los anticuerpos candidatos, sin embargo, la extensión varía según el candidato.

Tabla 1							
Anticuerpo	CE ₅₀ (nM) de Fab'	(n)	CE ₅₀ (nM) de Fab'PEG	(n)	Factor de cambio en CE ₅₀ después de la pegilación		
CA170_0519.g63	1,91	3	5,25	3	2,7		
CA170_0519.g57	2,06	7	6,64	6	3,2		
CA170 0519.q2	4,22	2	11,01	4	2,6		

25 Valores medios de CE₅₀ para las moléculas Fab' y Fab'PEG en el ensayo de reciclado de IgG.

Las células del clon 34 de MDCK II transfectadas de manera estable con FcRn humano y beta 2 microglobulina estaban a 25.000 células por pocillo en una placa de 96 pocillos y se incubaron durante la noche a 37 °C, CO₂ al 5 %. Las células se incubaron con Fab' o Fab'PEG candidato en HBSS+ (Ca/Mg) pH 5,9 + BSA al 1 % durante 1 hora a 37 °C, CO₂ al 5 % antes de la adición de 500 ng/ml de IgG humana biotinilada (Jackson) e incubación durante 1 hora más. Las células se lavaron con HBSS+ pH 5,9 y luego se incubaron a 37 °C, CO2 al 5 % durante 2 horas en HBSS+ pH 7,2. El sobrenadante se eliminó de las células y se analizó para determinar la IgG total utilizando un ensayo MSD (usando un anticuerpo de captura anti-IgG humana (Jackson) y un anticuerpo revelador de marcador de estreptavidina-sulfo (MSD)). La curva de inhibición se analizó mediante regresión no lineal (Graphpad Prism®) para determinar la CE₅₀. La tabla 1 representa datos combinados de 2 a 7 experimentos.

Ejemplo 3 Afinidad para la unión de hFcRn

El análisis de interacción biomolecular utilizando tecnología de resonancia de plasmón superficial (SPR) se realizó en un sistema Biacore T200 (GE Healthcare) y se determinó la unión al dominio extracelular de FcRn humano. El dominio extracelular de FcRn humano se proporcionó como un complejo no covalente entre el dominio extracelular de la cadena alfa de FcRn humano (SEQ ID NO: 94) y la β2 microglobulina (β2M) (SEQ ID NO: 95). El fragmento F(ab')2 Affinipure de cabra anti-IgG humana, el fragmento específico F(ab')2 (para la captura de Fab'-PEG) o el fragmento específico Fc (para la captura de IgG1 o IgG4) (Jackson ImmunoResearch Lab, Inc.) en NaAc 10 mM, pH 5 se inmovilizó en un chip de sensor CM5 a través de la química de acoplamiento de amina a un nivel de captura entre 4000 - 5000 unidades de respuesta (UR) utilizando HBS-EP+ (GE Healthcare) como tampón de ejecución.

Fosfato 50 mM, pH 6 + NaCl 150 mM + P20 o HBS-P al 0,05 %, pH 7,4 (GE Healthcare) se usó como tampón de ejecución para el ensayo de afinidad. El anticuerpo en cuestión, ya sea anti-Fab'-PEG de hFcRn, IgG1 o IgG4P se diluyó a 5 μ g/ml (Fab'-PEG), 0,3 μ g/ml (IgG1) o 4 μ g/ml (IgG4) en un tampón de ejecución. Se utilizó una inyección de 60 s de Fab'-PEG o IgG1 o IgG4 a 10 μ l/min para la captura mediante la anti-IgG humana inmovilizada, F(ab')2. El dominio extracelular de FcRn humano se valoró de 20 nM a 1,25 nM sobre el anticuerpo anti-FcRn capturado (Fab'-PEG, IgG1 o IgG4) durante 300 s a 30 μ l/min, seguido de una disociación de 1200 s. La superficie se regeneró con 2 x 60 s HCl 50 mM a 10 μ l/min.

Los datos se analizaron utilizando el software de evaluación T200 (versión 1.0).

Tabla 2 Datos de afinidad para anti-hFcRn de Fab'-PEG de1519.g57 a pH 6

Fab'-PEG de 1519.g57	ka (M ⁻¹ s ⁻¹)	kd (s ⁻¹)	KD (M)
1	4.37E,+05	1.59E,-05	3.63E,-11
2	4.20E,+05	2.01E,-05	4.78E,-11
3	4.35E,+05	1.43E,-05	3.29E,-11
4	4.37E,+05	2.75E,-05	6.30E,-11
5	4.33E,+05	1.28E,-05	2.97E,-11
	4.32E,+05	1.81E,-05	4.19E,-11

Tabla 3 Datos de afinidad para anti-hFcRn de Fab'-PEG de 1519.g57 a pH 7,4

Fab'-PEG de 1519.g57	ka (M ⁻¹ s ⁻¹)	kd (s ⁻¹)	K _D (M)
1	3.40E,+05	1.87E,-05	5.49E,-11
2	3.31E,+05	1.85E,-05	5.58E,-11
3	3.25E,+05	1.99E,-05	6.13E,-11
4	3.23E,+05	1.52E,-05	4.70E,-11
5	3.20E,+05	1.99E,-05	6.21E,-11
	3.28E,+05	1.84E,-05	5.62E,-11

5 En estos experimentos, el Fab'PEG tenía una afinidad promedio de alrededor de 42 pM a pH 6 y alrededor de 56 pM a pH 7,4.

Tabla 3A Datos de afinidad para anti-1519.g57 de hFcRn como lgG1 e lgG4P a pH 7,4 (promedio de tres experimentos)

		oxpormionicoo,		
	pH7.4			
1519.g57	ka (M ⁻¹ s ⁻¹)	kd (s ⁻¹)	KD (M)	KD (pM)
lgG1	3.80E,+05	1.25E,-05	3.29E,-11	33
IgG4P	3.68E,+05	1.26E,-05	3.43E,-11	34

Tabla 3b Datos de afinidad para anti-1519.g57 de hFcRn como lgG1 e lgG4P a pH 6 (promedio de tres experimentos)

pH6		охроншонсос,		
1519.g57	ka (M ⁻¹ s ⁻¹)	kd (s ⁻¹)	KD (M)	KD (pM)
IgG1	4.56E,+05	1.01E,-05	2.21E,-11	22
IgG4P	4.43E,+05	1.00E,-05	2.26E,-11	23

Las tablas 3A y 3B muestran que la afinidad de los anticuerpos de longitud completa es consistente con la observada para el Fab'-PEG a pH 6 y pH 7,4.

Ejemplo 4 Potencia basada en células

Los ensayos basados en células se realizaron utilizando células de Riñón Canino Madin-Darby (MDCK) II que se habían transfectado de manera estable con un vector de doble gen FcRn humano y B2M humana con un marcador de selección de Geneticina. Se seleccionó un clon celular estable que era capaz de reciclar y transcitosar IgG humana y se usó para todos los estudios posteriores. Será referido como clon 34 de MDCK II.

Afinidad basada en células de Fab'PEG de CA170_01519.g57 para FcRn humano

Se realizaron experimentos de citometría de flujo cuantitativo utilizando células del clon 34 de MDCK II y Fab' de CA170_01519.g57 o Fab'PEG de CA170_01519.g57 marcado con AlexaFluor 488. La unión específica del anticuerpo a FcRn en un intervalo de concentraciones de anticuerpos se usó para determinar la KD. Los análisis se realizaron en tampones neutros y ácidos para determinar si el pH ambiental comparable al encontrado en el plasma sanguíneo (pH 7,4) o en los endosomas (pH 6) tuvo algún efecto sobre la unión del anticuerpo.

La Figura 3 muestra curvas de unión representativas para Fab' (Figura 3A) y Fab'PEG (Figura 3B) de CA170_01519.g57. Los valores medios de KD (n = 2 o 3) fueron 1,66 nM y 6,5 nM en un tampón neutro, y 1,59 nM y 5,42 nM en un tampón ácido, respectivamente (véase la Tabla 4).

35

30

25

Tabla 4 - Valores medios de KD (nM) para Fab' y Fab'PEG de CA170_01519.g57 en células del clon 34 de MDCK II.

Formato de anticuerpos	FcRn humano pH 7,4	FcRn humano pH 6,0
Fab' de 1519.g57	1,66	1,59
Fab'PEG de 1519.g57	6,5	5,42

La **Figura 3** muestra Fab' de CA170_01519.g57 (A) y Fab'PEG de CA170_01519.g57 (B) que se unen a las células del clon 34 de MDCK II en pH ácido y neutro.

Las células del clon 34 de MDCK II se incubaron en tampón Facs (PBS con BSA al 0,2 % p/v, NaN3 al 0,09 % p/v) durante 30 minutos antes de la adición de Fab' o Fab'PEG de CA170_01519.g57 marcado con Alexa-fluor 488 durante 1 hora en tampón Facs a pH 7,4 o pH 6. Las concentraciones finales de anticuerpos oscilaron entre 931 nM y 0,002 nM. Las células se lavaron en tampón Facs enfriado con hielo y luego se analizaron mediante citometría de flujo utilizando un citómetro de flujo de Guava (Millipore, Reino Unido). También se produjeron conjuntos de datos de valoración para los anticuerpos de control de isotipo para cada formato de anticuerpo para determinar la unión no específica. El número de moles de anticuerpo unido se calculó utilizando valores interpolados de una curva estándar generada a partir de perlas que comprenden cantidades diferentes de tinte fluorescente. Los valores medios geométricos de fluorescencia se determinaron en los análisis citométricos de flujo de células y perlas. La unión no específica se restó de los valores de anticuerpos anti-FcRn y la curva de unión específica generada se analizó mediante regresión no lineal utilizando una ecuación de unión de un sitio (Graphpad Prism®) para determinar la KD. Los datos son representativos de 2 o 3 experimentos.

20 Fab'PEG de CA170_01519.g57 puede unirse a FcRn humano expresado en células a pH tanto ácido como neutro y los valores de KD determinados son aproximadamente de 3,5 a 4 veces por debajo de la molécula de Fab' equivalente.

Ejemplo 5 Ensayos funcionales basados en células

5

15

25

30

35

40

45

50

55

60

Fab'PEG de CA170_01519.g57 inhibe el reciclado de IgG humana

La expresión de FcRn es principalmente intracelular (Borvak J et al. 1998, Int. Immunol., 10 (9) 1289-98 y Cauza K et al. 2005, J. Invest. Dermatol., 124 (1), 132-139), y está asociada a membranas endosomales y lisosomales. La porción Fc de IgG se une a FcRn a pH ácido (< 6,5), pero no a un pH fisiológico neutro (7,4) (Rhagavan M et al. 1995) y esta dependencia del pH facilita el reciclado de IgG.

Una vez que se toma mediante pinocitosis y entra en el endosoma ácido, la IgG unida a FcRn se reciclará junto con el FcRn a la superficie celular, mientras que al pH fisiológicamente neutro se liberará la IgG. (Ober RJ et al. 2004, The Journal of Immunology, 172, 2021-2029). Cualquier IgG no unida a FcRn entrará en la ruta de degradación lisosomal.

Se estableció un ensayo *in vitro* para examinar la capacidad de Fab'PEG o Fab' de CA170_01519.g57 para inhibir las capacidades de reciclado de IgG de FcRn. En resumen, las células del clon 34 de MDCK II se incubaron en presencia o ausencia de Fab' de CA170_01519.g57 o Fab'PEG de CA170_01519.g57 antes de la adición de IgG humana biotinilada en un tampón ácido (pH 5,9) para permitir la unión a FcRn. Se eliminó todo el exceso de anticuerpo y las células se incubaron en un tampón de pH neutro (pH 7,2) que permite la liberación de IgG unida, expuesta a la superficie, en el sobrenadante. La inhibición de FcRn se siguió utilizando en un ensayo MSD para detectar la cantidad de IgG reciclada y, por lo tanto, liberada en el sobrenadante.

La **Figura 4** muestra que CA170_01519.g57 inhibe el reciclado de IgG en las células del clon 34 de MDCK II. Las células del clon 34 de MDCK II se colocaron en placas a 25.000 células por pocillo en una placa de 96 pocillos y se incubaron durante la noche a 37 °C, CO₂ al 5 %. Las células se incubaron con Fab' o Fab'PEG de CA170_01519.g57 en HBSS+ (Ca/Mg) pH 5,9 + BSA al 1 % durante 1 hora a 37 °C, CO₂ al 5 % antes de la adición de 500 ng/ml de IgG humana biotinilada (Jackson) e incubación durante 1 hora más. Las células se lavaron con HBSS+ pH 5,9 y luego se incubaron a 37 °C, CO₂ al 5 % durante 2 horas en HBSS+ pH 7,2. El sobrenadante se eliminó de las células y se analizó para determinar la IgG total utilizando un ensayo MSD (usando un anticuerpo de captura anti-IgG humana (Jackson) y un anticuerpo revelador de marcador de estreptavidina-sulfo (MSD)). La curva de inhibición se analizó mediante regresión no lineal (Graphpad Prism®) para determinar la CE₅₀. El gráfico representa datos combinados de 6 o 7 experimentos.

Como se muestra en la **Figura 4**, Fab' de CA170_01519.g57 y Fab'PEG de CA170_01519.g57 inhiben el reciclado de IgG de una manera dependiente de la concentración con valores medios de CE50 (n = 6 o 7) de 1,937 nM y

6,034 nM respectivamente. Por lo tanto, el Fab'PEG de CA170_01519.g57 es aproximadamente 3 veces menos potente que el Fab' de CA170_01519.g57 en la inhibición del reciclado de IgG.

Fab'PEG de CA170_01519.g57 inhibe la transcitosis de IgG humana

10

30

35

60

FcRn puede transitar la IgG a través de las capas de células epiteliales polarizadas en las direcciones apical a basolateral y basolateral a apical y, por lo tanto, desempeña un papel importante al permitir que la IgG se mueva entre la circulación y el lumen en las barreras mucosas (Claypool et al. 2004 Mol Biol Cell 15(4):1746-59).

Se estableció un ensayo *in vitro* para examinar la capacidad de Fab'PEG de CA170_01519.g57 para inhibir la transcitosis de IgG dependiente de FcRn. En resumen, las células del clon 34 de MDCK II se colocaron en una placa Transwell de 24 pocillos y se dejaron formar monocapas durante 3 días. Las células se incubaron previamente con Fab'PEG de CA170_01519.g57 en la superficie apical antes de la adición de IgG humana biotinilada en un tampón ácido que facilita la unión a FcRn. La IgG humana se transcitosita a través de las células del lado apical al basolateral y se libera en un tampón neutro en la cámara inferior. Los niveles de IgG en el lado basolateral se midieron luego utilizando un ensayo MSD.

15 La **Figura 5** muestra que Fab'PEG de CA170_01519.g57 inhibe la transcitosis de IgG desde la apical hasta la basolateral en las células del clon 34 de MDCK II.

Las células del clon 34 de MDCK II se colocaron en placas a 500.000 células por pocillo de una placa Transwell de 24 pocillos y se incubaron durante 3 días a 37 °C, CO₂ al 5 % hasta que se formaron las monocapas. El pH del compartimiento apical se ajustó a 5,9 y el lado basolateral a 7,2 en un tampón HBSS+ (Ca/Mg) + BSA al 1 %. Las células en el compartimiento apical se preincubaron con Fab'PEG de CA170_01519.g57 durante 1 hora antes de la adición de 2,5 µg/ml de IgG humana biotinilada (Jackson) en las concentraciones indicadas durante 4 horas a 37 °C, CO₂ al 5 %. Luego se recogió el medio basolateral y se midió la IgG total mediante el ensayo de MSD (utilizando un anticuerpo de captura anti-IgG humana (Jackson) y un anticuerpo revelador de marcador de estreptavidina-sulfo (MSD)). La curva de inhibición se analizó mediante regresión no lineal (Graphpad Prism®) para determinar la CE₅₀. El gráfico representa datos combinados de 3 experimentos.

En resumen, la Figura 5 muestra que Fab'PEG de CA170_01519.g57 puede inhibir la transcitosis apical a basolateral de la IgG humana de una manera dependiente de la concentración con un valor de CE50 de 25,5 nM (n = 3).

Resumen de los efectos in vitro de Fab'PEG de CA170_01519.g57

El Fab'PEG de CA170_01519.g57 inhibe el reciclado de IgG y la transcitosis. La CE50 de 6 nM obtenida en el ensayo de reciclado de IgG es comparable a los datos de afinidad de unión celular en los que se obtuvieron valores de KD de 6,5 nM en tampón neutro y 5,42 nM en tampón ácido. El Fab'PEG de CA170_01519.g57 muestra una ligera reducción en la potencia en comparación con el Fab' solo, pero en comparación con muchas de las otras moléculas candidatas evaluadas mostró la menor caída en la potencia entre los dos formatos (véase *supra*). En el ensayo de transcitosis de IgG se obtuvo una CE50 de 25,5 nM.

40 Los datos en esta sección han demostrado claramente que el Fab'PEG de CA170_01519.g57 puede inhibir la función de FcRn humano.

Ejemplo 6 Reactividad cruzada de Fab'PEG de CA170_01519.g57 con FcRn de primate no humano.

Para validar el uso de Fab'PEG de CA170_01519.g57 en un estudio de PK/PD con primates no humanos y toxicología preclínica, se examinó su afinidad relativa y potencia funcional con FcRn de macaco. Se usaron células MDCK II transfectadas de manera estable con FcRn de macaco y B2M (MDCKII (cm)) para los siguientes estudios junto con las células MDCK II previamente descritas transfectadas de manera estable con FcRn humano y B2M (clon 34 de MDCK II).

Afinidad basada en células de Fab'PEG de CA170_01519.g57 para FcRn de macaco

Para determinar la afinidad de unión basada en células de Fab'PEG de CA170_01519.g57 para FcRn de macaco, se realizaron experimentos de citometría de flujo cuantitativo utilizando células MDCK II (cm) y Fab' o Fab'PEG de CA170_01519.g57 marcado con AlexaFluor 488. La unión específica del anticuerpo a FcRn de macaco en un intervalo de concentraciones de anticuerpos se usó para determinar la K_D. La unión del anticuerpo se realizó en pH tanto neutro como ácido para determinar el efecto de la unión de FcRn en plasma sanguíneo neutro o en endosomas ácidos y, por lo tanto, para determinar cualquier efecto que pueda tener el pH en la unión de CA170_01519.g57 a FcRn de macaco.

La **Figura 6** muestra Fab' de CA170_01519.g57 (A) y Fab'PEG de CA170_01519.g57 (B) que se unen a las células MDCK II (cm) en pH ácido y neutro.

Las células MDCK II (cm) se incubaron en tampón Facs (PBS con BSA al 0,2 % p/v, NaN3 al 0,09 % p/v) durante 30 minutos antes de la adición de Fab' o Fab'PEG de CA170_01519.g57 marcado con Alexa-fluor 488 durante 1 hora en tampón Facs a pH 7,4 o pH 6. Las concentraciones finales de anticuerpos oscilaron entre 931 nM y 0,002 nM.

Las células se lavaron en tampón Facs enfriado con hielo y luego se analizaron mediante citometría de flujo utilizando un citómetro de flujo de Guava (Millipore, Reino Unido). También se produjeron conjuntos de datos de valoración para los anticuerpos de control de isotipo para cada formato de anticuerpo para determinar la unión no específica. El número de moles de anticuerpo unido se calculó mediante la utilización de valores interpolados de una curva estándar generada a partir de perlas que llevan varias cantidades de tinte fluorescente. Los valores medios geométricos de fluorescencia se determinaron en los análisis citométricos de flujo de células y perlas. La unión no específica se restó de los valores de anticuerpos anti-FcRn y la curva de unión específica generada se analizó mediante regresión no lineal utilizando una ecuación de unión de un sitio (Graphpad Prism®) para determinar la K_D. Los datos son representativos de entre 2 y 3 experimentos.

10

15

35

50

Tabla 5 Valores medios de K_D (nM) para Fab' y Fab'PEG de CA170_01519.g57 en células MDCK II (cm).

Formato de anticuerpos	Cyno FcRn pH 7,4	Cyno FcRn pH 6,0
Fab' de 1519.g57	1,16	1,09
Fab'PEG de 1519.g57	8,15	5,01

La Figura 6 muestra curvas de unión representativas para la unión de Fab' (Figura 6A) y Fab'PEG (Figura 6B) de CA17001519.g57 a FcRn de macaco. Los valores medios de K_D obtenidos para Fab 'y Fab'PEG de CA17001519.g57 se muestran en la Tabla 5. Estos valores son comparables a los valores de K_D obtenidos para la unión de Fab 'y Fab'PEG de CA170_01519.g57 a FcRn humano (véase la tabla 4)

Fab'PEG de CA170_01519.g57 inhibe el reciclado de IgG de macaco

20 Para determinar si Fab'PEG de CA170_01519.g57 es funcionalmente activo en la inhibición de FcRn de macaco, se usaron células MDCK II (cm) para examinar la capacidad de Fab'PEG de CA170_01519.g57 para inhibir el reciclado de la IgG de macaco como se describe previamente para el ensayo de FcRn humano. El ensayo se realizó junto con ensayos humanos representativos para permitir una comparación entre los dos.

En resumen, las células MDCK II (clon 34 o cm) se incubaron previamente con Fab'PEG de CA170_01519.g57 antes de la adición de IgG humana biotinilada (h) o de macaco (c) en un tampón ácido para permitir la unión a FcRn. Se eliminó todo el exceso de Fab'PEG de CA170_01519.g57 e IgG biotinilada y las células se incubaron en un tampón de pH neutro para permitir la liberación de IgG en el sobrenadante. La inhibición de FcRn se evaluó mediante la detección de la cantidad de IgG presente en el sobrenadante mediante el ensayo de MSD y se calculó el porcentaje de inhibición.

Como se muestra en la **Figura 7**, Fab'PEG de CA170_01519.g57 puede inhibir el reciclado de IgG humana y de macaco de una manera dependiente de la concentración, con valores de CE₅₀ de 8,448 nM y 5,988 nM respectivamente. La inhibición de FcRn mediante Fab'PEG de CA170_01519.g57 en los ensayos humano y de macaco son comparables, aunque parece ser un poco más potente contra el FcRn de macaco.

Tabla 6

	hFcRn:hlgG de Fab'PEG de 1519.g57	cFcRn:clgG de Fab'PEG de 1519.g57
CE50 (nM)	8,448	5,988
Cl al 95 % (nM)	6,560 a 10,88	5,383 a 6,661

La **Figura 7** muestra que CA170_01519.g57 inhibe el reciclado de IgG en las células del clon 34 de MDCK II y células MDCK II (cm).

Las células del clon 34 de MDCK II y MDCK II (cm) se colocaron en placas a 25.000 células por pocillo en una placa de 96 pocillos y se incubaron durante la noche a 37 °C, CO₂ al 5 %. Las células se incubaron previamente con Fab' o Fab'PEG de CA170_01519.g57 en HBSS+ (Ca/Mg) pH 5,9 + BSA al 1 % durante 1 hora a 37 °C, CO₂ al 5 % antes de la adición de 500 ng/ml de IgG de macaco o humana biotinilada y se incubación durante 1 hora más. Las células se lavaron luego con HBSS+ pH 5,9 y se incubaron a 37 °C, CO₂ al 5 % durante 2 horas en HBSS+ pH 7,2. El sobrenadante se eliminó de las células y se analizó para determinar la IgG total utilizando un ensayo MSD (usando un anticuerpo de captura anti-IgG humana (Jackson) y un anticuerpo revelador de marcador de estreptavidina-sulfo (MSD)). La curva de inhibición se analizó mediante regresión no lineal (Graphpad Prism®) para determinar la CE₅₀. El gráfico representa datos combinados de 2 experimentos.

Ejemplo 7 Efecto de Fab PEG de 01519g en macaco

Este fue un estudio del efecto de la administración de Fab PEG de 01519g en macacos, en regímenes de dosis únicas, intermitentes o repetidas. Se administró Fab PEG de 01519g mediante infusión intravenosa, como una dosis única o en dosis repetidas a grupos de cuatro macacos como se indica en la Tabla 7. La IgG en plasma y la farmacocinética de Fab PEG de 01519g se controlaron mediante inmunoensayo (véase la Tabla 7A para los métodos de inmunoensayo) y LC-MS/MS. El ensayo de albúmina en plasma se realizó en Covance.

Tabla 7 Grupos de dosis en estudio NCD2241. La dosificación se realizó mediante infusión intravenosa. La dosis repetida fue la misma que la primera dosis en cada caso. Las dosis repetidas (de 4) fueron semanales.

repeated its is interned que in printered decis on season cases. Zao decis repeateds ,					,	
Fase	Grupo	Anticuerpo	Dosis (mg/kg)	Régimen de dosificación	Comentarios	
I	1	Control	0	Dosis única	Dosis repetida a los 67 días	
	2	Fab PEG	20	Dosis única	Dosis repetida a los 67 días	
	3	Fab PEG	100	Dosis única	Dosis repetida a los 67 días	
II	4	Control	0	Dosis repetida		
	5	Fab PEG	20	Dosis repetida		
	6	Fab PEG	100	Dosis repetida		

Tabla 7A Métodos de inmunoensayo de IgG en plasma, PK y ADA

Tipo de ensayo	Inmunoensayo	Método
PD	IgG en plasma total	 Cubrir la placa de inmunoensayo con F(ab')₂ de cabra anti-Fcγ humano Incubar con la muestra. Revelar con F(ab')₂ conjugada con peroxidasa de rábano picante, F(ab')₂ de cabra anti-IgG humana y la adición de sustrato TMB.
PK	PK de Fab PEG	 Cubrir la placa de inmunoensayo con FcRn. Incubar con la muestra. Revelar con anti-IgG1 PEG murina conjugada de biotina /.conjugado de estreptavidina-proxidasa de rábano picante y la adición de sustrato TMB. Revelar alternativamente con MSD de cabra anti-kappa humana marcada con sulfo y la adición de tampón de lectura MSD

Efecto sobre la concentración de IgG en plasma

Los datos de inmunoensayo y LC-MS/MS de IgG en plasma estuvieron de acuerdo. La IgG en plasma se redujo mediante la administración de Fab PEG (véase la Figura 12 y Figura 14). Para ambos grupos de dosis de Fase I, una dosis única de Fab PEG redujo la IgG en plasma en aproximadamente un 70-80 %, alcanzando un nadir en aproximadamente 7 días y volviendo a los niveles previos a la dosis en el día 63. La dosis repetida en el día 67 logró resultados similares.

Para ambos grupos de dosis de Fase II, 4 dosis semanales de Fab PEG redujeron la IgG en plasma en aproximadamente un 70-80 %, alcanzando nuevamente un nadir aproximadamente 7 días después de la primera dosis. Los resultados se muestran en la Figura 13.

Ejemplo 8 Efecto de Fab'PEG de CA170_01519.g57 e IgG4P de CA170_01519.g57 en macaco

20 Los efectos de Fab'PEG de CA170_01519 g.57 e IgG4P de CA170_01519 g.57 en IgG en plasma endógeno se determinaron en macacos. Se dosificaron los animales como se indica en la Tabla 8, con 4 animales por grupo de tratamiento. La IgG en plasma y la farmacocinética de las entidades anti-FcRn se controlaron mediante inmunoensayo (véase la Tabla 8A para los métodos de inmunoensayo) y LC-MS/MS.

Tabla 8 Regímenes de tratamiento en macacos.

Anti-FcRn	Dosis (mg/kg)	Régimen de dosificación		Figura
Fab'PEG	20	Día 0 & 65	i.v.	15
Fab'PEG	20	Cada 3 días, día 0-27	i.v.	16
IgG4P	30	Día 0 & 63	i.v.	17
IgG4P	30 & 5	30 mg/kg en el día 0, 5 mg/kg diariamente los días 1-41	i.v.	18
Control	0	Diariamente los días 0-41	i.v.	19

5

10

Tabla 8A Métodos de inmunoensayo de IgG en plasma y PK

Tipo ensayo	de	Inmunoensayo	Método
PD		IgG en plasma total	 Cubrir la placa de inmunoensayo con F(ab')₂ de cabra anti-Fcγ humano. Incubar con la muestra. Revelar con F(ab')₂ conjugada con peroxidasa de rábano picante, F(ab')₂ de cabra anti-IgG humana y la adición de sustrato TMB.
PK		PK de Fab'PEG	 Cubrir la placa de estreptavidina MSD con FcRn biotinilado. Incubar con la muestra. Revelar con MSD de cabra anti-kappa humana marcada con azufre y la adición de tampón de lectura MSD.

Efecto sobre la concentración de IgG en plasma.

Los datos de inmunoensayo y LC-MS/MS de IgG en plasma estuvieron de acuerdo. La IgG en plasma se redujo mediante la administración de Fab'PEG anti-FcRn o IgG4P anti-FcRn (véase las Figuras 15 y 16 y las Figuras 17 y 18, respectivamente; véase la Figura 19 para el control). Para ambas entidades anti-FcRn, una dosis única redujo la IgG en plasma en aproximadamente un 70-80 %, alcanzando un nadir en aproximadamente 7 días y volviendo a los niveles previos a la dosis en el día 62. La dosis repetida en el día 63 o el día 65, según lo descrito, logró resultados similares.

La dosificación repetida de Fab'PEG o IgG4P anti-FcRn redujo la IgG en plasma en aproximadamente un 60-80 % y mantuvo el nivel de IgG durante la duración del período de dosis. De nuevo, el nadir se alcanzó aproximadamente 7 días después de la primera dosis. Los resultados se muestran en las Figuras 16 y 18.

Ejemplo 9 Efecto de Fab'PEG de CA170_01519.g57, lgG1 de CA170_01519.g57, lgG4P de CA170_01519.g57, Fab'PEG de CA170_01519.g57, FabFv de CA170_01519.g57 y Fab de CA170_01519.g57 en ratones transgénicos con hFcRn

El efecto de varios formatos diferentes del anticuerpo CA170_01519.g57 sobre el aclaramiento de la IVIG humana se determinó en ratones transgénicos con FcRn humano. Los formatos probados fueron Fab'PEG de CA170_01519.g57, IgG1 de CA170_01519.g57, IgG4P de CA170_01519.g57, Fab'PEG de CA170_01519.g57, FabFv de CA170_01519.g57 y Fab de CA170_01519.g57 y los resultados se muestran en las Figuras 20, 21, 22, 23 y 24 respectivamente. Las dosis únicas de compuesto activo fueron las que se muestran en las Figuras. Con el fin de detectar sus efectos sobre el aclaramiento de la IgG humana (IVIG), a los ratones se les inyectaron 500 mg/kg de IVIG humana que se cuantificó mediante LCMSMS en muestras seriadas de plasma extraídas de las colas de los ratones a intervalos. La inhibición de hFcRn por cada uno de los diferentes formatos de anticuerpos probados dio como resultado un aclaramiento acelerado de hIVIG y se observaron concentraciones más bajas de IgG total en comparación con los ratones de control.

El tratamiento anti-FcRn mejora el aclaramiento de hIgG en ratones transgénicos con hFcRn

Ratones transgénicos humanizados con FcRn (*B6.Cg-Fcgrt^{m1Dcr}* Tg(FCGRT)32Dcr/DcrJ, ratones JAX) se infundieron por vía intravenosa con 500 mg/kg de lgG humana (lgl humana Gamunex-c al 10 %, Talecris Biotherapeutics). 24 horas después, a los animales se les administró un control de vehículo (PBS) o anti-FcRn por vía intravenosa como una dosis única. Se tomaron muestras de sangre de la punta de la cola a las -24, 8, 24, 48, 72, 144 y 192 horas en relación con el tratamiento anti-FcRn. Los niveles séricos de lgG humana en el ratón hFcRn y la farmacocinética de los inhibidores de FcRn se determinaron mediante LC-MS/MS. Los datos presentados en las figuras 20 a 24 son la media ± EEM con 3-6 ratones por grupo de tratamiento.

Cuantificación de IgG humana, inhibidores de FcRn e IgG de macaco endógena mediante LC-MS/MS

IgG humana, IgG de macaco e inhibidores de FcRn (Fab'PEG de 1519.g57, IgG4P de 1519.g57, IgG1 de 1519.g57, FabFv de 1519.g57, Fab de 1519.g57 y Fab'HAS de 1519.g57) se cuantificaron utilizando análisis de cromatografía líquida en tándem con espectrometría de masas (LC-MS/MS) después de digestión tríptica.

La cuantificación se logró mediante la comparación con el material estándar auténtico enriquecido en concentraciones conocidas en la matriz en blanco, con la mioglobina de caballo enriquecida utilizada como estándar interno.

Se seleccionaron péptidos únicos ("proteotípicos") para todos los analitos de interés investigados y tanto las muestras como las muestras de calibración se digirieron de forma tríptica como se describe a continuación.

En resumen, se realizó una digestión tríptica de 5 µl de muestras de suero durante la noche usando tripsina modificada con grado de secuenciación (Promega, Southampton, Reino Unido) después de la desnaturalización con

37

.

30

35

15

40

45

50

55

acetonitrilo / tris (2-carboxietil) fosfina y carbamido-metilación con yodoacetamida (todas de Sigma-Aldrich, Poole, Reino Unido).

Los analitos se separaron utilizando una columna Onyx Monolithic C18 (100x4,6 mm, Phenomenex, Macclesfield, Reino Unido) con un gradiente del 2 al 95 % (v/v) de agua/acetonitrilo (ácido fórmico al 0,1 %) administrado a 1,5 ml/min durante 6 minutos.

El volumen de inyección fue de 10 µl; todo el eluyente se introdujo en la fuente del espectrómetro de masas.

La temperatura de la fuente del espectrómetro de masas se mantuvo a 600 °C y otros parámetros de la fuente (por ejemplo, energía de colisión, potencial de desintegración, presión del gas de cortina, etc.) se optimizaron para lograr la máxima sensibilidad para cada péptido de interés. Se monitorizaron las transiciones selectivas para cada péptido proteotípico de interés.

15 Ejemplo 10: Cristalografía y epítopo de unión.

Se determinó la estructura cristalina de Fab' de 1519 g57 y el dominio extracelular de FcRn humano desglucosilado (dominio extracelular de la cadena alfa (SEQ ID NO: 94) en asociación con la beta2 microglobulina (SEQ ID NO: 95), con la exclusión del oligosacárido de FcRn para facilitar la cristalización. Fab' de 1519.g57 se hizo reaccionar con un exceso molar de 10 veces de N-etil maleimida para evitar la formación de diFab' y cualquier diFab' existente eliminado por SEQ (S200 en Akta FPLC). El dominio extracelular de FcRn humano se trató con PNGaseF para eliminar los azúcares unidos a N. Para ello, la concentración de la muestra de FcRn se ajustó utilizando PBS (pH 7,4) a 5 mg/ml y un volumen total de 1 ml. Se añadieron 200 unidades de PNGaseF (Roche) a esta solución de FcRn humano. Esto se incubó a 37 °C durante ~ 18 horas, después de lo cual se verificó el grado de desglucosilación usando SDS PAGE. Una vez completada la reacción, el FcRn desglucosilado se intercambió con tampón en acetato de sodio 50 mM, NaCl 125 mM, pH 6,0.

El complejo se formó mediante la incubación de una mezcla de reactivos (Fab':FcRn::1,2:1, p/p) a temperatura ambiente durante 60 minutos, y luego se purificó utilizando SEQ (S200 usando Akta FPLC). La selección se realizó utilizando las diversas condiciones que estaban disponibles en Qiagen (aproximadamente 2000 condiciones). La incubación y las imágenes se realizaron con Formulatrix Rock Imager 1000 (para un período de incubación total de 21 días). El resultado de la selección se muestra en las Tablas 9, 10 y 11.

Tabla 9 El resultado del análisis de cristalización, que muestra el cristal utilizado para el análisis de rayos X.

rabia 9 Erresuita	analisis de rayos A.								
Tipo de experim	ento de cristalización	Gota en sedestación, difusió	n de vapor						
Condición de cristalización	Citrato de sodio 0,1 mM, pH 5,5, PEG600	PEG6000 al 11 %							
Concentración de proteína	10 mg/ml	Volumen/relación de gotas	0,4 μl de proteínas + 0.4 μl de reservorio						
Tiempo de crecimiento de cristal	8-21 días								
Crioprotección	Los cristales se recogieron de la gota, se al 70 % + etilenglicol al 30 %) y se conge segundos.								
Comentarios	一個是								
	Imagen de cristal en gota		istal congelado en el bucle do rojo es haz de rayos X)						

35

20

25

30

Tabla 10. Condiciones para la recolección y procesamiento de datos de análisis de rayos X.

Fuente de rayos x		luz de diamante							
Tipo de experimento	Longitud o	le onda única	Longitud de	onda	0,9795 Å				
Software de procesamiento	Mosflm/So	ala							
Límites de resolución	35,00- 2,9	0	Grupo espa	icial	P3 ₂ 2 1				
Parámetros de celda	a =	150,10 Å	b =	150,10 Å	c =	89,15 Å			
unitaria	α =	90,00 °	β =	90,00°	γ =	120,00°			
Completo	99,9 % (10	00,0 %)	Multiplicidad	d	6,7 (6,8)				
//σ(<i>I</i>)	13,4 (4,8)		R _{fusión}		9,2 % (36,3 %)				
Número de reflexiones 172724 (25602)			Número de	reflexiones únicas	25967 (376	60)			
Comentarios									

Nota: Los números entre paréntesis se refieren a la capa exterior de resolución

Tabla 11 Determinación y refinamiento de la estructura

Table 11 Botolillingololi y 10	illiallicito de la estructura					
Método de determinación de estructura	Reemplazo Molecular	Programa(s) utilizado(s)	Phaser			
Plantilla de estructura	Estructura del receptor FcRi	n de PDB 3M17 y Fab-3DVN p	reviamente resuelto			
Programa de refinamiento	Refmac5	Límites de resolución	30,00- 2,9			
Factor R	23,2 %	Factor R libre	28,4 %			
Número de átomos no de h	idrógeno	 6125 átomos de proteína 2 iones acetato (4 átomos ca 27 aguas en UA 2 iones Cl⁻ 2 iones Na⁺ 	ada uno)			
Longitud de enlace RMSD	0,009 Å	ángulo de enlace RMSD	1,338 °			
Ramachandran permitido	98,6 %	Ramachandran atípicos	1,4 %			
Comentarios	Reconstruido utilizando CCF	CP4/Coot.				

- 5 No hubo ningún cambio evidente en la estructura de FcRn tras la unión de Fab' de 1519 g57 (comparando este complejo con las estructuras publicadas de FcRn). A partir de la estructura cristalina, se calculó que el contenido de la estructura secundaria era: 9.4% de α-hélice; 45.2% de hoja β; 2.5% de giro 3-10.
- Los restos que interactúan con Fab' de 1519 g57 estaban todos en la cadena α de FcRn (no β2M) y se indican a continuación en negrita. Los restos en cuestión abarcan todos menos 1 de los restos críticos para la unión de Fc. 1519 g57 se une a una región que se superpone a la región de unión a Fc, lo que sugiere que la inhibición de FcRn mediante Fab' de 1519 g57 se realiza por simple competencia, siendo el anti-FcRn eficaz en virtud de su afinidad superior.

AESHLSLLYH LTAVSSPAPG TPAFWVSGWL GPQQYLSYNS
LRGEAEPCGA WVWENQVSWY WEKETTDLRI KEKLFLEAFK ALGGKGPYTL
QGLLGCELGP DNTSVPTAKF ALNGEEFMNF DLKQGTWGGD WPEALAISQR
WQQQDKAANK ELTFLLFSCP HRLREHLERG RGNLEWKEPP SMRLKARPSS

PGFSVLTCSA FSFYPPELQL RFLRNGLAAG TGQGDFGPNS DGSFHASSSL TVKSGDEHHY CCIVQHAGLA QPLRVELESPAKSS

La secuencia de la cadena α de FcRn, que muestra los restos implicados en la interacción con Fab' de 1519 g57 (negrita) y los restos críticos para la interacción con Fc de IgG (subrayado). Todos menos 1 de estos últimos están incluidos en los primeros.

LISTADO DE SECUENCIAS

25 <110> UCB Pharma S.A.

15

<120> Anticuerpos anti-FcRn

```
<130> G0165
         <150> GB1208370.5
5
         <151> 14/05/2012
         <160> 94
         <170> PatentIn versión 3.5
10
         <210> 1
         <211> 10
         <212> PRT
         <213> Artificial
15
         <220>
         <223> CDRH1 de CA170_1519
         <400> 1
20
                               Gly Phe Thr Phe Ser Asn Tyr Gly Met Val
                                                   5
                                                                            10
         <210> 2
         <211> 17
         <212> PRT
25
         <213> Artificial
         <220>
         <223> CDRH2 de CA170_1519
30
         <400> 2
                Tyr Ile Asp Ser Asp Gly Asp Asn Thr Tyr Tyr Arg Asp Ser Val Lys
                                                            10
                Gly
35
         <210> 3
         <211> 8
         <212> PRT
         <213> Artificial
40
         <220>
         <223> CDRH3 de CA170_1519
         <400> 3
                                    Gly Ile Val Arg Pro Phe Leu Tyr
45
         <210> 4
         <211> 16
         <212> PRT
50
         <213> Artificial
         <220>
         <223> CDRL1 de CA170_1519
55
         <400> 4
```

```
Lys Ser Ser Gln Ser Leu Val Gly Ala Ser Gly Lys Thr Tyr Leu Tyr
         <210> 5
         <211> 7
         <212> PRT
 5
         <213> Artificial
         <220>
         <223> CDRL2 de CA170_1519
10
         <400> 5
                                    Leu Val Ser Thr Leu Asp Ser
                                     1
15
         <210> 6
         <211>9
         <212> PRT
         <213> Artificial
         <220>
20
         <223> CDRL3 de CA170_1519
         <400> 6
                                 Leu Gln Gly Thr His Phe Pro His Thr
                                                     5
25
         <210> 7
         <211> 112
         <212> PRT
30
         <213> Artificial
         <220>
         <223> Región VL del Ac 1519 de rata
35
         <400> 7
```

		Asp 1	Val	Val	Met	Thr 5	Gln	Thr	Pro	Leu	Ser 10	Leu	Ser	Val	Ala	Leu 15	Gly
		Gln	Pro	Ala	Ser 20	Ile	Ser	Cys	Lys	Ser 25	Ser	Gln	Ser	Leu	V al 30	G1 y	Ala
		Ser	Gly	Lys 35	Thr	Tyr	Leu	Tyr	Trp 40	Leu	Phe	Gln	Arg	Ser 45	Gly	Gln	Ser
		Pro	Lys	Arg	Leu	Ile	Tyr	Leu	Val	Ser	Thr	Leu	Asp	Ser	Gly	Ile	Pro
			50					55					60				
		Asp 65	Arg	Phe	Ser	Gly	Ser 70	Gly	Ala	Glu	Thr	Asp 75	Phe	Thr	Leu	Lys	Ile 80
		Arg	Arg	Val	Glu	Ala 85	Asp	Asp	Leu	Gly	Val 90	Tyr	Tyr	Cys	Leu	Gln 95	Gly
		Thr	His	Phe	Pro 100	His	Thr	Phe	Gly	Ala 105	Gly	Thr	Lys	Leu	Glu 110	Leu	Lys
5	<210><211><211><212><213>	336 ADN	ial														
10	<220> <223>	Regió	n VL d	del Ac	1519	de rata	а										
10	<400>	8															
		gatg	ttgtg	ga tg	accca	gac 1	tccac	tgtct	: ttg	teggt	tg co	ccttg	gaca	acca	gcctc	C	60
		atct	cttgo	a ag	tcaag	tca (gagcc	tcgta	ı ggt	gctag	tg ga	aaaga	cata	tttgi	tattg	g	120
							gtctc										180
							cagtg					_					240
		_				_	tttgg 			_	ct to	gcaag	gtac	acati	tttcc	t	300
		caca	cgtti	g ga	gergg	gac (caagc	rggaa	ı ttg	aaa							33 6
15	<210><211><211><212><213>	132 PRT	ial														
20	<220> <223>	Regió	n VL d	del Ac	1519	de rata	a con :	secue	ncia se	eñal							
	<400>	9															

	Met 1	Met	Ser	Pro	Ala 5	Gln	Phe	Leu	Phe	Leu 10	Leu	Met	Leu	Trp	I le 15	Gln
	Gly	Thr	Ser	Gly 20	Asp	Val	Val	Met	Thr 25	Gln	Thr	Pro	Leu	Ser 30	Leu	Ser
	Val	Ala	Leu 35	Gly	Gln	Pro	Ala	Ser 40	Ile	Ser	Суз	Lys	Ser 45	Ser	Gln	Ser
	Leu	Val 50	Gly	Ala	Ser	Gly	Lys 55	Thr	Tyr	Leu	Tyr	Trp 60	Leu	Phe	Gln	Arg
	Ser 65	Gly	Gln	Ser	Pro	Lys 70	Arg	Leu	Ile	Tyr	Leu 75	Val	Ser	Thr	Leu	Asp 80
	Ser	Gly	Ile	Pro	Asp 85	Arg	Phe	Ser	Gly	Ser 90	Gly	Ala	Glu	Thr	Asp 95	Phe
	Thr	Leu	Lys	Ile 100	Arg	Arg	Val	Glu	Ala 105	Asp	Asp	Leu	Gly	Val 110	Tyr	Tyr
	Cys	Leu	Gln 115	Gly	Thr	His	Phe	Pro 120	His	Thr	Phe	Gly	Ala 125	Gly	Thr	Lys
	Leu	Glu 130	Leu	Lys												
<210> 7 <211> 3 <212> 7 <213> 7	396 ADN															
<220> <223> I	Región V	'L del	Ac 15	19 de	rata c	on se	cuenc	cia sef	ial							
<400>	10															
	atgatg	agtc	ctgc	ccagt	t cc	tgttt	ctg	ctgat	gctct	gga	ttcaç	jgg a	accaç	rtggt		60
	gatgtt	gtga	tgac	ccaga	ıc tc	cactg	rtct	ttgto	ggtto	g aca	ttgga	ica a	ccago	ctcc		120
	atctct	tgca	agtc	aagto	a ga	gaato	gta :	ggtgc	tagto	g gaa	agaca	ata t	ttgta	ıttgg		180
	ttattt	caga	ggtc	cggcc	a gt	ctcca	aag	cgact	aatct	atc	tggto	jtc c	acact	ggac		240
	tctgga	attc	ctga	taggt	t ca	gtggc	agt	ggagc	agaga	a cag	atttt	ac t	cttaa	aatc		300
	cgcaga	gtgg	aagc	cgato	ja tt	tggga	gtt	tatta	.ctgct	tgc	aaggt	ac a	cattt	tcct		360
	cacacg	tttg	gagc	tggga	ıc ca	agctg	gaa	ttgaa	.a							396

15

<210> 11 <211> 116

5

10

43

	PRT Artificia	ıl													
<220> <223>	Región	VH d	el Ac 1	1519 d	le rata										
<400>	_														
	Glu 1	Val	Pro	Leu	Val 5	Glu	Ser	Gly	Gly	Gly 10	Ser	Val	Gln	Pro	Gly 15
	Ser	Met	Lys	Leu 20	Ser	Сув	Val	Val	Ser 25	Gly	Phe	Thr	Phe	Ser 30	Asn
	Gly	Met	Val	Trp	Val	Arg	Gln	Ala	Pro	Lys	Lys	G1 y	Leu	Glu	Trp
			35					40					45		
	Ala	Tyr 50	Ile	Asp	Ser	Asp	Gly 55	Asp	Asn	Thr	Tyr	Tyr 60	Arg	Asp	Ser
	Lys 65	Gly	Arg	Phe	Thr	Ile 70	Ser	Arg	Asn	Asn	Ala 75	Lys	Ser	Thr	Leu
	Leu	Gln	Met	Asp	Ser 85	Leu	Arg	Ser	Glu	Asp 90	Thr	Ala	Thr	Tyr	Tyr 95
	Thr	Thr	Gly	Ile 100	Val	Arg	Pro	Phe	Leu 105	Tyr	Trp	Gly	Gln	Gly 110	Thr
	Val	Thr	Val 115	Ser											
<210> <211> <212> <213>	348	ıl													
<220>	Región	VH d	el Ac 1	1519 d	le rata										
<223>															

gaggtgccgc	tgg tggagtc	tgggggcggc	tcag tgcagc	ctgggaggtc	catgaaactc	60
tcctgtgtag	tctcaggatt	cactttcagt	aattatggca	tggtctgggt	ccgccaggct	120
ccaaagaagg	gtctggagtg	ggtcgcatat	attgattctg	atggtgataa	tacttactac	180
cgagattccg	tgaagggccg	attcactatc	tccagaaata	atgcaaaaag	caccctatat	240
ttgcaaatgg	acagtctgag	gtctgaggac	acggccactt	attactgtac	aacagggatt	300
gtccggccct	ttctctattg	gggccaagga	accacggtca	ccgtctcg		348

<210> 13 <211> 135

<212> PRT

<213> Artificial

<220>

<223> Región VH del Ac 1519 de rata con secuencia señal

10

5

<400> 13

Met Asp Ile Ser Leu Ser Leu Ala Phe Leu Val Leu Phe Ile Lys Gly

5 10 15

Val Arg Cys Glu Val Pro Leu Val Glu Ser Gly Gly Gly Ser Val Gln 20 25 30

Pro Gly Arg Ser Met Lys Leu Ser Cys Val Val Ser Gly Phe Thr Phe 35 40 45

Ser Asn Tyr Gly Met Val Trp Val Arg Gln Ala Pro Lys Lys Gly Leu 50 55 60

Glu Trp Val Ala Tyr Ile Asp Ser Asp Gly Asp Asn Thr Tyr Tyr Arg 65 70 75 80

Asp Ser Val Lys Gly Arg Phe Thr Ile Ser Arg Asn Asn Ala Lys Ser 85 90 95

Thr Leu Tyr Leu Gln Met Asp Ser Leu Arg Ser Glu Asp Thr Ala Thr 100 105 110

Tyr Tyr Cys Thr Thr Gly Ile Val Arg Pro Phe Leu Tyr Trp Gly Gln
115 120 125

Gly Thr Thr Val Thr Val Ser 130 135

15 <210> 14

<211> 405

<212> ADN

	<213> /	Artificia															
-	<220> <223> F	Región	VH de	el Ac 1	519 d	e rata	con s	ecuen	cia sei	ñal							
5	<400>	14															
	a	tggaca	atca	gtct	cagct	t gg	ctttc	ctt	gtaat	tttc	a taa	aagg	tgt (ccggt	gtgaç	J	60
	g	tgccg	etgg	tgga	gtctg	iā āā	gegge	etca	gtgca	geet	g gga	aggto	cat (gaaac	tetec	3	120
	t	gtgtag	gtct	cagg	attca	c tt	tcagt	aat	tatgç	gcatg	g tct	gggt	ccg	ccagg	ctcca	1	180
	a	agaag	ggtc	tgga	gtggg	rt cg	catat	att	gatto	tgat	g gto	gataa	tac ·	ttact	accga	ì	240
	g	attcc	gtga	aggg	ccgat	t ca	ctato	etec	agaaa	taat	g caa	aaag	cac (cctat	attto	J	300
	c	aaatg	gaca	gtct	gaggt	c tg	aggad	cacg	gccac	ttat	t act	gtac	aac a	aggga	ttgto	נ	360
	а	ggadat	tttc	tcta	ttggg	g cc	aagga	acc	acggt	cacc	g tct	cg					405
10	<210> 7 <211> 7 <212> F <213> 7	112 PRT	I														
15	<220> <223> F	Región	V de	1519g	L20												
	<400>	15															
		Asp	Ile	Gln	Met	Thr	Gln	Ser	Pro	Ser	Ser	Leu	Ser	Ala	Ser	Val	Gly
		1				5					10					15	
		Asp	Arg	Val	Thr 20	Ile	Thr	Cys	Lys	Ser 25	Ser	Gln	Ser	Leu	Val 30	Gly	Ala
		Ser	Gly	Lys 35	Thr	Tyr	Leu	Tyr	Trp 40	Leu	Phe	Gln	Lys	Pro 45	Gly	Lys	Ala
		Pro	Lys 50	Arg	Leu	Ile	Tyr	Leu 55	Val	Ser	Thr	Leu	Asp 60	Ser	Gly	Ile	Pro
		Ser 65	Arg	Phe	Ser	Gly	Ser 70	Gly	Ser	Gly	Thr	Glu 75	Phe	Thr	Leu	Thr	Ile 80
		Ser	Ser	Leu	Gln	Pro 85	Glu	Asp	Phe	Ala	Thr 90	Tyr	Tyr	Cys	Leu	Gln 95	Gly
		Thr	His	Phe		His	Thr	Phe	Gly		Gly	Thr	Lys	Leu		Ile	Lys
20					100					105					110		

	<211> 336 <212> ADN <213> Artificial						
5	<220> <223> Región V o	le 1519gL20 (ex	presión en E. co	oli)			
	<400> 16						
	gatatccaga	tgacccagag	tccaagcagt	ctctccgcca	gcgtaggcga	tcgtgtgact	60
	attacctgta	aaagctccca	gtccctggtg	ggtgcaagcg	gcaaaaccta	cctgtactgg	120
	ctcttccaga	aaccgggcaa	agctccgaaa	cgcctgatct	atctggtgtc	taccctggat	180
	agcggtatto	cgtctcgttt	ctccggtagc	ggtagcggta	ccgaattcac	gctgaccatt	240
	ageteectee	agccggagga	ctttgctacc	tattactgcc	tccagggcac	tcattttccg	300
10	cacactttcg	gccagggtac	caaactggaa	atcaaa			336
15	<210> 17 <211> 336 <212> ADN <213> Artificial						
	<220> <223> Región V o	le 1519gL20 (ex	presión en man	níferos)			
20	<400> 17						
	gatatccaga	tgacccagag	cccatctage	ttatccgctt	ccgttggtga	tegegtgaea	60
	attacgtgta	agagetecea	atctctcgtg	ggtgcaagtg	gcaagaccta	tctgtactgg	120
	ctctttcaga	agcotggcaa	ggcaccaaaa	cggctgatct	atctggtgtc	tacccttgac	180
	tctgggatac	cgtcacgatt	ttccggatct	gggagcggaa	ctgagttcac	actcacgatt	240
	tcatcgctgc	aacccgagga	ctttgctacc	tactactgcc	tgcaaggcac	tcatttccct	300
	cacactttcg	gccaggggac	aaaactcgaa	atcaaa			336
25	<210> 18 <211> 133 <212> PRT <213> Artificial						
30	<220> <223> Región V o	le 1519gL20 cor	n secuencia señ	al (expresión e	n E. coli)		
	<400> 18						

	Met 1	Lys	Lys	Thr	Ala 5	Ile	Ala	Ile	Ala	Val 10	Ala	Leu	Ala	Gly	Phe 15	Ala	
	Thr	Val	Ala	Gln 20	Ala	Asp	Ile	Gln	Met 25	Thr	Gln	Ser	Pro	Ser 30	Ser	Leu	
	Ser	Ala	Ser 35	Val	Gly	Asp	Arg	Val 40	Thr	Ile	Thr	Cys	Lys 45	Ser	Ser	Gln	
	Ser	Leu 50	Val	Gly	Ala	Ser	Gly 55	Lys	Thr	Туг	Leu	Tyr 60	Trp	Leu	Phe	Gln	
	Lys 65	Pro	Gly	Lys	Ala	Pro 70	Lys	Arg	Leu	Ile	Tyr 75	Leu	Val	Ser	Thr	Leu 80	
	Asp	Ser	Gly	Ile	Pro 85	Ser	Arg	Phe	Ser	Gly 90	Ser	Gly	Ser	Gly	Thr 95	Glu	
	Phe	Thr	Leu	Thr 100	Ile	Ser	Ser	Leu	Gln 105	Pro	Glu	Asp	Phe	Ala 110	Thr	Tyr	
	Tyr	Суз	Leu 115	Gln	Gly	Thr	His	Phe 120	Pro	His	Thr	Phe	Gly 125	Gln	Gly	Thr	
	Lys	Leu 130	Glu	Ile	Lys												
<211 <212)> 19 1> 399 2> ADN 3> Artificia	al															
<220 <223)> 3> Región	ı V de	15190	JL20 c	on sec	cuenci	a seña	al (exp	resión	en E.	coli)						
<400)> 19																
•	atgaaaa	aga (caget	atcg	c aat	ttgca	gtg	gccti	tggct	g gt	ttcg	ctac	cgta	gegea	aa	60	
	gctgata															120	
	actatta tggctct															180 240	
	gatagcg															300	
	attagct															360	

ccgcacactt tcggccaggg taccaaactg gaaatcaaa

<210> 20 <211> 132 5 <212> PRT <213> Artificial <220> <223> Región V de 1519gL20 con secuencia señal (expresión en mamíferos) 10 <400> 20 Met Ser Val Pro Thr Gln Val Leu Gly Leu Leu Leu Trp Leu Thr 10 Asp Ala Arg Cys Asp Ile Gln Met Thr Gln Ser Pro Ser Ser Leu Ser Ala Ser Val Gly Asp Arg Val Thr Ile Thr Cys Lys Ser Ser Gln Ser Leu Val Gly Ala Ser Gly Lys Thr Tyr Leu Tyr Trp Leu Phe Gln Lys Pro Gly Lys Ala Pro Lys Arg Leu Ile Tyr Leu Val Ser Thr Leu Asp Ser Gly Ile Pro Ser Arg Phe Ser Gly Ser Gly Ser Gly Thr Glu Phe Thr Leu Thr Ile Ser Ser Leu Gln Pro Glu Asp Phe Ala Thr Tyr Tyr Cys Leu Gln Gly Thr His Phe Pro His Thr Phe Gly Gln Gly Thr Lys 120 Leu Glu Ile Lys 130 <210> 21 15 <211> 396 <212> ADN <213> Artificial 20 <223> Región V de 1519gL20 con secuencia señal (expresión en mamíferos) <400> 21

atgtctgtcc	ccacccaagt	cctcggactc	ctgctactct	ggcttacaga	tgccagatgc	60
gatatccaga	tgacccagag	cccatctagc	ttatccgctt	ccgttggtga	tegegtgaca	120
attacgtgta	agagetecca	atctctcgtg	ggtgcaagtg	gcaagaccta	tctgtactgg	180
ctctttcaga	agcctggcaa	ggcaccaaaa	cggctgatct	atctggtgtc	tacccttgac	240
tctgggatac	cgtcacgatt	ttccggatct	gggagcggaa	ctgagttcac	actcacgatt	300
tcatcgctgc	aacccgagga	ctttgctacc	tactactgcc	tgcaaggcac	tcatttccct	360
cacactttcg	gccaggggac	aaaactcgaa	atcaaa			396

<210> 22

<211> 219

<212> PRT

<213> Artificial

<220>

<223> Cadena ligera de 1519gL20 (V + constante)

10 <400> 22

5

Asp Ile Gln Met Thr Gln Ser Pro Ser Ser Leu Ser Ala Ser Val Gly

5 10 15

Asp Arg Val Thr Ile Thr Cys Lys Ser Ser Gln Ser Leu Val Gly Ala 20 25 30

Ser Gly Lys Thr Tyr Leu Tyr Trp Leu Phe Gln Lys Pro Gly Lys Ala 35 40 45

Pro Lys Arg Leu Ile Tyr Leu Val Ser Thr Leu Asp Ser Gly Ile Pro 50 55

Ser Arg Phe Ser Gly Ser Gly Ser Gly Thr Glu Phe Thr Leu Thr Ile 65 70 75 80

Ser Ser Leu Gln Pro Glu Asp Phe Ala Thr Tyr Tyr Cys Leu Gln Gly 85 90 95

Thr His Phe Pro His Thr Phe Gly Gln Gly Thr Lys Leu Glu Ile Lys
100 105 110

Arg Thr Val Ala Ala Pro Ser Val Phe Ile Phe Pro Pro Ser Asp Glu
115 120 125

Gln Leu Lys Ser Gly Thr Ala Ser Val Val Cys Leu Leu Asn Asn Phe 130 135 140 Tyr Pro Arg Glu Ala Lys Val Gln Trp Lys Val Asp Asn Ala Leu Gln 145 155 160 Ser Gly Asn Ser Gln Glu Ser Val Thr Glu Gln Asp Ser Lys Asp Ser 165 170 175 Thr Tyr Ser Leu Ser Ser Thr Leu Thr Leu Ser Lys Ala Asp Tyr Glu 180 185 190 Lys His Lys Val Tyr Ala Cys Glu Val Thr His Gln Gly Leu Ser Ser 195 200

Pro Val Thr Lys Ser Phe Asn Arg Gly Glu Cys

<210> 23 <211> 657 <212> ADN

<213> Artificial

<220>

<223> Cadena ligera de 1519gL20 (V + constante, expresión en E. coli)

10 <400> 23

5

60 gatatecaga tgacecagag tecaagcagt etetecgeca gegtaggega tegtgtgact attacctgta aaagctccca gtccctggtg ggtgcaagcg gcaaaaccta cctgtactgg 120 ctcttccaga aaccgggcaa agctccgaaa cgcctgatct atctggtgtc taccctggat 180 ageggtatte egtetegttt eteeggtage ggtageggta eegaatteae getgaceatt 240 agetecetee ageeggagga etttgetaee tattactgee teeagggeae teatttteeg 300 360 cacactttcg gccagggtac caaactggaa atcaaacgta cggtagcggc cccatctgtc 420 ttcatcttcc cgccatctga tgagcagttg aaatctggaa ctgcctctgt tgtgtgcctg ctgaataact tctatcccaq aqaqqccaaa qtacaqtqqa aqqtqqataa cqccctccaa 480 tegggtaact eecaggagag tgtcacagag caggacagca aggacagcac ctacagcete 540 600 agcagcaccc tgacgctgag caaagcagac tacgagaaac acaaagtcta cgcctgcgaa gtcacccatc agggcctgag ctcaccagta acaaaaagtt ttaatagagg ggagtgt 657

15 <210> 24

<211> 657

<212> ADN

<213> Artificial

<220> <223> Cadena ligera de 1519gL20 (V + constante, expresión en mamíferos)

5 <400> 24

60 gatatecaga tgacccagag tecaagcagt etetecgeca gegtaggega tegtgtgact attacctgta aaagctccca gtccctggtg ggtgcaagcg gcaaaaccta cctgtactgg 120 180 ctcttccaga aaccgggcaa agctccgaaa cgcctgatct atctggtgtc taccctggat 240 agoggtatto ogtotogttt otooggtago ggtagoggta oogaattoac gotgaccatt 300 agetecetee ageeggagga etttgetace tattactgee teeagggeae teatttteeg cacactttcg gccagggtac caaactggaa atcaaacgta cggtagcggc cccatctgtc 360 tteatettee egecatetga tgageagttg aaatetggaa etgeetetgt tgtgtgeetg 420 ctgaataact tctatcccag agaggccaaa gtacagtgga aggtggataa cgccctccaa 480 tegggtaaet eecaggagag tgteacagag eaggacagea aggacageac etacageete 540 agcagcacco tgacgotgag caaagcagac tacgagaaac acaaagtota cgcctgcgaa 600 657 gtcacccatc agggcctgag ctcgcccgtc acaaagagct tcaacagggg agagtgt

<210> 25

10

<211> 240

<212> PRT

<213> Artificial

<220

15 <223> Cadena ligera de 1519gL20 con secuencia señal (expresión en E. coli)

<400> 25

Met 1	Lys	Lys	Thr	Ala 5	Ile	Ala	Ile	Ala	V al 10	Ala	Leu	Ala	Gly	Phe 15	Ala
Thr	Val	Ala	Gln 20	Ala	Asp	Ile	Gln	Met 25	Thr	Gln	Ser	Pro	Ser 30	Ser	Leu
Ser	Ala	Ser 35	Val	Gly	Asp	Arg	Val 40	Thr	Ile	Thr	Cys	Lys 45	Ser	Ser	Gln
Ser	Leu 50	Val	Gly	Ala	Ser	Gly 55	Lys	Thr	Tyr	Leu	Tyr 60	Trp	Leu	Phe	Gln
Lys 65	Pro	Gly	Lys	Ala	Pro 70	Lys	Arg	Leu	Ile	Tyr 75	Leu	Val	Ser	Thr	Leu 80
Asp	Ser	Gly	Ile	Pro 85	Ser	Arg	Phe	Ser	Gly 90	Ser	Gly	Ser	Gly	Thr 95	Glu
Phe	Thr	Leu	Thr 100	Ile	Ser	Ser	Leu	Gln 105	Pro	Glu	Asp	Phe	Ala 110	Thr	Tyr
Tyr	Cys	Leu 115	Gln	Gly	Thr	His	Phe 120	Pro	His	Thr	Phe	Gly 125	Gln	Gly	Thr
Lys	Leu 130	Glu	Ile	Lys	Arg	Thr 135	Val	Ala	Ala	Pro	Ser 140	Val	Phe	Ile	Phe
Pro 145	Pro	Ser	Asp	Glu	Gln 150	Leu	Lys	Ser	Gly	Thr 155	Ala	Ser	Val	Val	Cys 160
Leu	Leu	Asn	Asn	Phe 165	Tyr	Pro	Arg	Glu	Ala 170	Lys	Val	Gln	Trp	Lys 175	Val
Asp	Asn	Ala	Leu 180	Gln	Ser	Gly	Asn	Ser 185	Gln	Glu	Ser	Val	Thr 190	Glu	Gln
Asp	Ser	Lys 195	Asp	Ser	Thr	Tyr	Ser 200	Leu	Ser	Ser	Thr	Leu 205	Thr	Leu	Ser
Lys	Ala 210	Asp	Tyr	Glu	Lys	His 215	Lys	Val	Tyr	Ala	Cys 220	Glu	Val	Thr	His
Gln 225	Gl y	Leu	Ser	Ser	Pro 230	Val	Thr	Lys	Ser	Phe 235	Asn	Arg	Gly	Glu	Cys 240

<210> 26 <211> 720

<212> ADN <213> Artificial

<220

5

<223> Cadena ligera de 1519gL20 con secuencia señal (expresión en E. coli)

<400> 26

atgaaaaaga cagctatcgc	aattgcagtg	gccttggctg	gtttcgctac	cgtagcgcaa	60
gctgatatcc agatgaccca	gagtocaago	agtctctccg	ccagcgtagg	cgatcgtgtg	120
actattacct gtaaaagctc	ccagtccctg	gtgggtgcaa	gcggcaaaac	ctacctgtac	180
tggctcttcc agaaaccggg	caaagctccg	aaacgcctga	tctatctggt	gtctaccctg	240
gatageggta tteegteteg	tttctccggt	agcggtagcg	gtaccgaatt	cacgctgacc	300
attagctccc tccagccgga	ggactttgct	acctattact	gcctccaggg	cactcatttt	360
ccgcacactt tcggccaggg	taccaaactg	gaaatcaaac	gtacggtagc	ggccccatct	420
gtcttcatct tcccgccatc	tgatgag cag	ttgaaatctg	gaactgcctc	tgttgtgtgc	480
ctgctgaata acttctatcc	cagagaggcc	aaagtacagt	ggaaggtgga	taacgccctc	540
caatogggta actoccagga	gagtgtcaca	gagcaggaca	gcaaggacag	cacctacage	600
ctcagcagca ecetgacget	gagcaaagca	gactacgaga	aacacaaagt	ctacgcctgc	660
gaagtcaccc atcagggcct	gageteacea	gtaacaaaaa	gttttaatag	aggggagtgt	720

10

<210> 27

<211> 239

<212> PRT

<213> Artificial

15

<220>

<223> Cadena ligera de 1519gL20 con secuencia señal (expresión en mamíferos)

<400> 27

20

Met 1	Ser	Val	Pro	Thr 5	Gln	Val	Leu	Gly	Leu 10	Leu	Leu	Leu	Trp	Leu 15	Thr
Asp	Ala	Arg	Cys 20	Asp	Ile	Gln	Met	Thr 25	Gln	Ser	Pro	Ser	Ser 30	Leu	Ser
Ala	Ser	Val 35	Gly	Asp	Arg	Val	Thr 40	Ile	Thr	Cys	Lys	Ser 45	Ser	Gln	Ser
Leu	Val 50	Gly	Ala	Ser	Gly	Lys 55	Thr	Tyr	Leu	Tyr	Trp 60	Leu	Phe	Gln	Lys
Pro 65	Gly	Lys	Ala	Pro	Lys 70	Arg	Leu	Ile	Tyr	Leu 75	Val	Ser	Thr	Leu	Asp 80
Ser	Gly	Ile	Pro	Ser 85	Arg	Phe	Ser	Gly	Ser 90	Gly	Ser	Gly	Thr	Glu 95	Phe
Thr	Leu	Thr	Ile 100	Ser	Ser	Leu	Gln	Pro 105	Glu	Asp	Phe	Ala	Thr 110	Tyr	Tyr
Cys	Leu		Gly	Thr	His	Phe		Hia	Thr	Phe	Gly	_	Gly	Thr	Lys
		115					120					125			
Leu	Glu 130	_	Lys	Arg	Thr	Val 135		Ala	Pro	Ser	Val 140		Ile	Phe	Pro
	130	Ile	Lys Glu			135	Ala				140	Phe			
Pro 145	130 Ser	Ile Asp	_	Gln	Le u 1 50	135 Lys	Ala Ser	Gly	Thr	Ala 155	140 Ser	Phe Val	Val	Cys	Leu 160
Pro 145 Leu	130 Ser Asn	Ile Asp Asn	Glu	Gln Tyr 165	Leu 150 Pro	135 Lys Arg	Ala Ser Glu	Gly Ala	Thr Lys 170	Ala 155 Val	140 Ser Gln	Phe Val Trp	Val Lys	Cys Val 175	Leu 160 Asp
Pro 145 Leu Asn	130 Ser Asn	Ile Asp Asn	Glu Phe Gln	Gln Tyr 165 Ser	Leu 150 Pro Gly	Lys Arg Asn	Ala Ser Glu Ser	Gly Ala Gln 185	Thr Lys 170 Glu	Ala 155 Val Ser	140 Ser Gln Val	Phe Val Trp	Val Lys Glu 190	Cys Val 175 Gln	Leu 160 Asp
Pro 145 Leu Asn	130 Ser Asn	Ile Asp Asn	Glu Phe Gln 180	Gln Tyr 165 Ser	Leu 150 Pro Gly	Lys Arg Asn	Ala Ser Glu Ser	Gly Ala Gln 185	Thr Lys 170 Glu	Ala 155 Val Ser	140 Ser Gln Val	Phe Val Trp	Val Lys Glu 190	Cys Val 175 Gln	Leu 160 Asp
Pro 145 Leu Asn	Ser Asn Ala Lys	Ile Asp Asn Leu Asp	Glu Phe Gln 180	Gln Tyr 165 Ser	Leu 150 Pro Gly	Lys Arg Asn Ser	Ala Ser Glu Ser Leu 200	Gly Ala Gln 185 Ser	Thr Lys 170 Glu Ser	Ala 155 Val Ser	140 Ser Gln Val Leu	Phe Val Trp Thr 205	Val Lys Glu 190 Leu	Cys Val 175 Gln Ser	Leu 160 Asp Asp

<210> 28

		Ser	Leu	Arg	Leu 20	Ser	Cys	Ala	Val	Ser 25	Gly	Phe	Thr	Phe	Ser 30	Asn	Tyr	
		Glu 1	Val	Pro		Val 5	. Glu	Ser	Gly	Gly	Gly 10	Leu	Val	Gln	Pro	Gly 15	Gly	
	<400>	29																
20	<220> <223>	Regió	n V de	1519	gH20													
5	<210> <211> <212> <213>	116 PRT	al															
	gt	.cacc	catc	aggg	cctga	go	tegee	cgtc	acaa	agag	ct t	caaca	agggg	aga	gtgt			717
	ag	cagc	accc	tgac	gctga	go	aaagc	agac	tacq	jagaa.	ac a	caaaq	gtcta	cgc	ctgcg	gaa		660
	to	gggt	aact	ccca	ggaga	g t	gtcac	agag	cago	racag	ca a	ıggaca	agcac	cta	cagco	etc		600
	ct	gaata	aact	tcta	tccca	ga	ıgaggd	caaa	gtac	agtg	ga a	ıggtg	gataa	cgc	cctc	caa		540
	tt	.catc	ttcc	cgcc	atctg	a t	gagca	gttg	aaat	ctgg	aa c	tgccl	tctgt	tgt	gtgco	etg		4 80
	Са	cacti	ttcg	gcca	gggga	c a	aaact	cgaa	atca	aacg	ta d	ggtag	gegge	CCC	atcto	jtc		420
	to	atcg	ctgc	aacc	cgagg	a c	tttgc	tacc	tact	actg	cc t	gcaaq	ggcac	tca	tttco	ect		3 60
	to	t g gg:	atac	cgtc	acgat	t t	:tccgg	atct	ggga	ıgcgg	aa c	tgagt	tcac	act	cacga	att		300
	ct	cttt	caga	agco	tggca	a g	gcacc	aaaa	cggc	tgat	ct a	ıtctg	gtgtc	tac	cctto	gac		240
	at	tacgl	tgta	agag	ctccc	a a	tctct	cgtg	ggtg	caag	tg g	gcaaga	accta	tct	gtact	gg		180
	ga	tatc	caga	tgac	ccaga	go	ccatc	tagc	ttat	ccgc	tt c	cgtt	ggtga	tcg	cgtga	aca		120
	at	gtete	gtcc	ccac	ccaag	t c	ctcgg	actc	ctgo	tact	ct ç	gctta	acaga	tgc	cagat	gc		60
0	<400>	28																
	<220> <223>		na lige	ra de	1519gl	.20	con sec	cuencia	a seña	ıl (expı	resió	n en m	amífer	os)				
5	<212> <213>	ADN	al															
	<211>	717																

Gly Met Val Trp Val Arg Gln Ala Pro Gly Lys Gly Leu Glu Trp Val 35 40 45

	Ala	Tyr 50	Ile	Asp	Ser	Asp	Gly 55	Asp	Aşn	Thr	Tyr	Tyr 60	Arg	Asp	Ser	Val	
	Lys 65	Gly	Arg	Phe	Thr	Ile 70	Ser	Arg	Asp	Asn	Ala 75	Lys	Ser	Ser	Leu	Tyr 80	
	Leu	Gln	Met	Asn	Ser 85	Leu	Arg	Ala	Glu	Asp 90	Thr	Ala	Val	Tyr	Tyr 95	Cys	
	Thr	Thr	Gly	Ile 100	Val	Arg	Pro	Phe	Leu 105	Tyr	Trp	Gly	Gln	Gl y 110	Thr	Leu	
	Val	Thr	Val 115	Ser													
<210> 30 <211> 30 <212> A <213> A	48 .DN	I															
<220> <223> R	egión	V de	1519g	H20 (e	expres	ión en	ı E. cc	oli)									
<400> 30	0																
gaggl	ttccg	jc to	ggtcg	gagtc	tgg	aggc	ggg	cttgt	ccag	rc ct	ggag	ggag	cct	gcgt	ctc		60
tctt	gtgca	ıg ta	atcto	gct t	cac	gttc	tcc	aacta	acggt	a tg	gtgt	gggt	tcg	tcag	gct		120
ccag	gtaaa	ng gl	tatgo	jaatg	ggt	g gcg	tat	attga	actco	g ac	ggcg	acaa	cac	ctac	tat		180
cgcga	actct	g to	gaaag	gtcg	ctt	cacc	att	tece	gcgat	a ac	gcca	aatc	cag	cctgl	tac		240
ctgca	agato	ga a	cagco	tgcg	tgc	tgaa	gat	actgo	eggtg	t ac	tatt	gcac	cac	tggc	atc		300
gtgc	gteeg	gt ti	tctgt	attg	ggg	tcag	ggt.	accct	.cgtt	a ct	gtct	cg					348
<210> 3 <211> 3 <212> A <213> A	48 .DN	I															
<220> <223> R	egión	V de	1519g	H20 (e	expres	ión en	n mam	íferos))								

gaggtaccac	ttgtggaaag	cggaggaggt	cttgtgcagc	ctggaggaag	tttacgtctc	60
tcttgtgctg	tgtctggctt	caccttctcc	aattacggaa	tggtctgggt	cagacaagca	120
cctggaaagg	gtcttgaatg	ggtggcctat	attgactctg	acggggacaa	cacctactat	180
cgggattccg	tgaaaggacg	cttcacaatc	tcccgagata	acgccaagag	ctcactgtac	240
ctgcagatga	atagcctgag	agccgaggat	actgccgtgt	actattgcac	aacgggaatc	300
gttaggcctt	ttctgtactg	gggacagggc	accttggtta	ctgtctcg		348

<210> 32

<211> 137

<212> PRT

<213> Artificial

<220>

<223> Región V de 1519gH20 (expresión en E. coli)

10

5

<400> 32

Met Lys Lys Thr Ala Ile Ala Ile Ala Val Ala Leu Ala Gly Phe Ala 1 5 10 15

Thr Vai Ala Gln Ala Glu Val Pro Leu Vai Glu Ser Gly Gly Leu 20 25 30

Val Gln Pro Gly Gly Ser Leu Arg Leu Ser Cys Ala Val Ser Gly Phe 35 40 45

Thr Phe Ser Asn Tyr Gly Met Val Trp Val Arg Gln Ala Pro Gly Lys 50 55 60

Gly Leu Glu Trp Val Ala Tyr Ile Asp Ser Asp Gly Asp Asn Thr Tyr 65 70 75 80

Tyr Arg Asp Ser Val Lys Gly Arg Phe Thr Ile Ser Arg Asp Asn Ala 85 90 95

Lys Ser Ser Leu Tyr Leu Gln Met Asn Ser Leu Arg Ala Glu Asp Thr 100 105 110

Ala Val Tyr Tyr Cys Thr Thr Gly Ile Val Arg Pro Phe Leu Tyr Trp 115 120 125

Gly Gln Gly Thr Leu Val Thr Val Ser 130 135

15 <210> 33

	<211> 411 <212> ADN <213> Artificial						
5	<220> <223> Región V de	1519gH20 (exp	oresión en E. co	oli)			
	<400> 33						
	atgaagaaga	ctgctatagc	aattgcagtg	gcgctagctg	gtttcgccac	cgtggcgcaa	60
	getgaggtte	cgctggtcga	gtctggaggc	gggcttgtcc	agcctggagg	gagootgogt	120
	ctctcttgtg	cagtatctgg	cttcacgttc	tccaactacg	gtatggtgtg	ggttcgtcag	180
	gctccaggta	aaggtetgga	atgggtg gcg	tatattgact	ccgacggcga	caacacctac	240
	tatcgcgact	ctgtgaaagg	tcgcttcacc	atttcccgcg	ataacgccaa	atccagcctg	300
	tacctgcaga	tgaacagcct	gegtgetgaa	gatactgcgg	tgtactattg	caccactggc	360
10	atcgtgcgtc	cgtttctgta	ttggggtcag	ggtacceteg	ttactgtctc	à	411
	<210> 34 <211> 135 <212> PRT						
15	<213> Artificial						
	<220> <223> Región V de	1519gH20 (exp	oresión en mam	níferos)			
20	<400> 34						

	Met 1	Glu	Trp	Ser	Trp 5	Val	Phe	Leu	Phe	Phe 10	Leu	Ser	Val	Thr	Thr 15	Gly
	Val	His	Ser	Glu 20	Val	Pro	Leu	Val	Glu 25	Ser	G1 y	Gly	Gly	Leu 30	Val	Gln
	Pro	Gly	Gly 35	Ser	Leu	Arg	Leu	Ser 40	Сув	Ala	Val	Ser	Gly 45	Phe	Thr	Phe
	Ser	Asn 50	Tyr	Gly	Met	Val	Trp 55	Val	Arg	Gln	Ala	Pro 60	Gly	Lys	Gly	Leu
	G1u 65	Trp	Val	Ala	Tyr	Ile 70	Asp	Ser	Asp	Gly	Asp 75	Asn	Thr	Tyr	Tyr	Arg 80
	Asp	Ser	Val	Lys	Gly 85	Arg	Phe	Thr	Ile	Ser 90	Arg	Asp	Asn	Ala	Lys 95	Ser
	Ser	Leu	Tyr	Leu 100	Gln	Met	Asn	Ser	Leu 105	Arg	Ala	Glu	Asp	Thr 110	Ala	Val
	Tyr	Tyr	Cys 115	Thr	Thr	Gly	Ile	Val 120	Arg	Pro	Phe	Leu	Tyr 125	Trp	Gly	Gln
	Gly	Thr 130	Leu	Val	Thr	Val	Ser 135									
<212	> 35 > 405 > ADN > Artificia	ıl														
<220 <223	> > Región	V de	1519g	H20 c	on sed	cuenci	a seña	al (exp	resión	en m	amífer	os)				
<400	> 35															
	atggaa	tgga	gctg	ggtcl	t to	tctt	cttc	ctgte	cagta	a ct	acagg	ragt (ccatt	ctga	g	60
	gtacca	cttg	tgga	aagc	gg ag	gaggl	tctt	gtgca	agcct	g ga	ggaag	rttt a	acgto	tctc	t	120
	tgtgct															180
	ggaaag															240
	gattee															300 360
	cagatg											, water 1	aaaaa	····y	-	405
<210		-:- -		22)	-	,,,,,,,,,,,,,,,,,,,,,,,,,,,,,,,,,,,,,,,	- -				-					

	<212> I <213> /		al														
5	<220> <223> (Cadena	a pesa	ada de	Fab' (de 151	19gH2	0 (V +	CH1	de gar	mma 1	huma	ana +	bisagr	a)		
	<400> 3	36															
		Glu 1	Val	Pro	Leu	Val 5	Glu	Ser	Gly	Gly	Gly 10	Leu	Val	Gln	Pro	Gly 15	Gly
		Ser	Leu	Arg	Leu 20	Ser	Суѕ	Ala	Val	Ser 25	Gly	Phe	Thr	Phe	Ser 30	Asn	Tyr
		Gly	Met	Val 35	Trp	Val	Arg	Gln	Ala 40	Pro	Gly	Lys	Gly	Leu 4 5	Glu	Trp	Val
		Ala	Tyr 50	Ile	Asp	Ser	Asp	Gly 55	Asp	Asn	Thr	Tyr	Tyr 60	Arg	Asp	Ser	Val
		Lys 65	Gly	Arg	Phe	Thr	I1e 70	Ser	Arg	Asp	Asn	Ala 75	Lys	Ser	Ser	Leu	Tyr 80
		Leu	Gln	Met	Asn	Ser 85	Leu	Arg	Ala	Glu	Asp 90	Thr	Ala	Val	Tyr	Tyr 95	Cya
		Thr	Thr	Gly	Ile 100	Val	Arg	Pro	Phe	Leu 105	Tyr	Trp	Gly	Gln	Gly 110	Thr	Leu
		Val	Thr	Val 115	Ser	Ser	Ala	Ser		Lys	_		Ser	Val 125	Phe	Pro	Leu

Ala Pro Ser Ser Lys Ser Thr Ser Gly Gly Thr Ala Ala Leu Gly Cys 130 135

		Leu 145	Val	Lys	Asp	Tyr	Phe 150	Pro	Glu	Pro	Val	Thr 155	Val	Ser	Trp	Asn	Ser 160	
		Gly	Ala	Leu	Thr	Ser 165	Gly	Val	His	Thr	Phe 170	Pro	Ala	Val	Leu	Gln 175	Ser	
		Ser	Gly	Leu	Tyr 180	Ser	Leu	Ser	Ser	V al 185	Val	Thr	Val	Pro	Ser 190	Ser	Ser	
		Leu	Gly	Thr 195	Gln	Thr	Tyr	Ile	Cys 200	Asn	Val	Asn	His	L ys 205	Pro	Ser	Asn	
		Thr	Lys 210	Val	Asp	Lys	Lys	Val 215	Glu	Pro	Lys	Ser	Cys 220	Asp	Lys	Thr	His	
		Thr 225	Cys	Ala	Ala													
<210 <210 <210 <210	1> 6 2> A	84	al															
<220					-	-l- 45	10110	0.04.	0114	d	4	l					-	15
<400			a pesa	ada de	e Fab. (ae 15	19gH2	U (V +	CHT	de gar	nma 1	numa	ana + i	oisagra	a, exp	resion	en E.	COII
100			ccgc	tggt	cgagt	c tg	gagg	cggg	cttg	tcca	gc ct	ggag	ggag	cctg	rcgtc	tc		60
	tct	tgto	gcag	tatc	tggct	t ca	cgtt	ctcc	aact	acggt	ta to	gtgt	gggt	tcgt	cagg	ct	1:	20
	cca	iggta	aaag	gtct	ggaat	g gg	tggc	gtat	attg	actc	cg ac	cggcg	acaa	caco	tact	at	1	80
	cgc	gact	ctg	tgaa	aggto	g ct	tcac	catt	tccc	gcgat	ta ac	gcca	aatc	cago	ctgt	ac	2	40
	cto	gcaga	atga	acag	cctgo	g tg	ctga	agat	actg	cggt	gt ac	tatt	gcac	cact	ggca	tc	3	00
	gto	gagta	ccgt	ttct	gtatt	g gg	gtca	gggt	accc	tcgtt	ta ct	gtct	cgag	cgct	tcta	ca	3	60
	aag	ggco	ccat	cggt	cttcc	cc cc	tggc	accc	tcct	ccaa	ga go	cacct	ctgg	gggc	acag	cg	4:	20
	gco	cctg	ggct	gcct	ggtca	a gg	acta	cttc	cccg	aacc	gg to	gacgg	tgtc	gtgg	gaact	ca	4	80
	ggc	gcco	ctga	ccag	cggcg	gt go	acac	cttc	ccgg	ctgt	cc ta	cagt	cctc	agga	ctct	ac	5	40
	tac	ctca	agca	gcgt	ggtga	ic cg	tgcc	ctcc	agca	gctt	gg gc	accc	agac	ctac	atct	gc	6	00
	aac	gtga	aatc	acaa	gccca	ig ca	acac	caag	gtcg	acaa	ga aa	agttg	agcc	caaa	tctt	gt	6	60
	gac	caaaa	actc	acac	atgco	jc cg	cg										6	84
<210 <210 <210 <210	1> 6 2> A	84	al															

<220>

<223> Cadena pesada de Fab' de 1519gH20 (V + CH1 de gamma 1 humana + bisagra, expresión en

mamíferos) <400> 38 5 60 gaggtaccac ttgtggaaag cggaggaggt cttgtgcagc ctggaggaag tttacgtctc tcttgtgctg tgtctggctt caccttctcc aattacggaa tggtctgggt cagacaagca 120 180 cctggaaagg gtcttgaatg ggtggcctat attgactctg acggggacaa cacctactat cgggattccg tgaaaggacg cttcacaatc tcccgagata acgccaagag ctcactgtac 240 ctgcagatga atagcctgag agccgaggat actgccgtgt actattgcac aacgggaatc 300 gttaggcctt ttctgtactg gggacagggc accttggtta ctgtctcgag cgcttctaca 360 420 aagggcccat cggtcttccc cctggcaccc tcctccaaga gcacctctgg gggcacagcg 480 gccctgggct gcctggtcaa ggactacttc cccgaaccgg tgacggtgtc gtggaactca ggcgccctga ccagcggcgt gcacaccttc ccggctgtcc tacagtcctc aggactctac 540 teceteagea gegtggtgae egtgeeetee ageagettgg geacceagae etacatetge 600 aacgtgaatc acaagcccag caacaccaag gtcgacaaga aagttgagcc caaatcttgt 660 684 gacaaaactc acacatgcgc cgcg <210> 39 <211> 249 10 <212> PRT <213> Artificial <223> Cadena pesada de Fab' de 1519gH20 con secuencia señal (expresión en E. coli) 15 <400> 39 Met Lys Lys Thr Ala Ile Ala Ile Ala Val Ala Leu Ala Gly Phe Ala 5 15 Thr Val Ala Gln Ala Glu Val Pro Leu Val Glu Ser Gly Gly Leu 20 25 30 Val Gln Pro Gly Gly Ser Leu Arg Leu Ser Cys Ala Val Ser Gly Phe Thr Phe Ser Asn Tyr Gly Met Val Trp Val Arg Gln Ala Pro Gly Lys 50 55 Gly Leu Glu Trp Val Ala Tyr Ile Asp Ser Asp Gly Asp Asn Thr Tyr 65 70 75 80

	Tyr	Arg	Asp	Ser	Val 85	Lys	Gly	Arg	Phe	Thr 90	Ile	Ser	Arg	Asp	Asn 95	Ala
	Lys	Ser	Ser	Leu 100	Tyr	Leu	Gln	Met	Asn 105	Ser	Leu	Arg	Ala	Glu 110	Asp	Thr
	Ala	Val	Tyr 115	Tyr	Cys	Thr	Thr	Gly 120	Ile	Val	Arg	Pro	Phe 125	Leu	Tyr	Trp
	Gly	Gln 130	Gly	Thr	Leu	Val	Thr 135	Val	Ser	Ser	Ala	Ser 140	Thr	Lys	Gly	Pro
	Ser 145	Val	Phe	Pro	Leu	Ala 150	Pro	Ser	Ser	Lys	Ser 155	Thr	Ser	Gly	Gly	Thr 160
	Ala	Ala	Leu	Gly	Cys 165	Leu	Val	Lys	As p	Tyr 170	Phe	Pro	Glu	Pro	Val 175	Thr
	Val	Ser	Trp	Asn 180	Ser	Gly	Ala	Leu	Thr 185	Ser	Gly	Val	His	Thr 190	Phe	Pro
	Ala	Val	Leu 195	Gln	Ser	Ser	Gly	Leu 200	Tyr	Ser	Leu	Ser	Ser 205	Val	Val	Thr
	Val	Pro 210	Ser	Ser	Ser	Leu	Gly 215	Thr	Gln	Thr	Tyr	I1e 220	Cys	Asn	Val	Aşn
	His 225	Lys	Pro	Ser	Asn	Thr 230	Lys	Val	Asp	Lys	Lys 235	Val	Glu	Pro	Lys	Ser 240
	Cys	Asp	Lys	Thr	His 245	Thr	Cys	Ala	Ala							
<210> <211> <212> <213>	747 ADN	ial														

<223> Cadena pesada de Fab' de 1519gH20 con secuencia señal (expresión en E. coli)

5

10

<220>

<400> 40

atgaagaaga	ctgctatagc	aattgcagtg	gcgctagctg	gtttcgccac	cgtggcgcaa	60
gctgaggttc	cgctggtcga	gtctggaggc	gggcttgtcc	agcctggagg	gagcctgcgt	120
ctctcttgtg	cagtatctgg	cttcacgttc	tccaactacg	gtatggtgtg	ggttcgtcag	180
gctccaggta	aaggtctgga	atgggtg gcg	tatattgact	ccgacggcga	caacacctac	240
tategegaet	ctgtgaaagg	tegetteace	atttcccgcg	ataacgccaa	atccagcctg	300
tacctgcaga	tgaacagcct	gcgtgctgaa	gatactgcgg	tgtactattg	caccactggc	360
atcgtgcgtc	cgtttctgta	ttggggtcag	ggtaccctcg	ttactgtctc	gagcgettet	420
acaaagggcc	catcggtctt	cccctggca	ccctcctcca	agagcacctc	tgggggcaca	480
gcggccctgg	gctgcctggt	caaggactac	ttccccgaac	cggtgacggt	gtcgtggaac	540
tcaggcgccc	tgaccagcgg	cgtgcacacc	ttcccggctg	tcctacagtc	ctcaggactc	600
tactccctca	gcagcgtggt	gaccgtgccc	tccagcagct	tgggcaccca	gacctacatc	660
tgcaacgtga	atcacaagcc	cagcaacacc	aaggtcgaca	aga aagttga	gcccaaatct	720
tgtgacaaaa	ctcacacatg	cgccgcg				747

<210> 41 <211> 247 <212> PRT

<213> Artificial

<223> Cadena pesada de Fab' de 1519gH20 con secuencia señal (expresión en mamíferos)

10

5

<400> 41

Met 1	Glu	Trp	Ser	Trp 5	Val	Phe	Leu	Phe	Phe 10	Leu	Ser	Val	Thr	Thr 15	G17
Val	His	Ser	Glu 20	Val	Pro	Leu	Val	G1u 25	Ser	Gly	Gly	Gly	Le u 30	Val	Glr
Pro	Gly	Gly 35	Ser	Leu	Arg	Leu	Ser 40	Cys	Ala	Val	Ser	Gly 45	Phe	Thr	Phe
Ser	Asn 50	Tyr	Gly	Met	Val	Trp 55	Val	Arg	Gln	Ala	Pro 60	Gly	Lys	Gly	Leu
Glu 65	Trp	Val	Ala	Tyr	11e 70	Asp	Ser	Asp	Gly	Asp 75	Aşn	Thr	Tyr	Tyr	Arq 80
Asp	Ser	Val	Lys	Gly 85	Arg	Phe	Thr	Ile	Ser 90	Arg	Asp	Asn	Ala	Lys 95	Ser
Ser	Leu	Tyr	Leu 100	Gln	Met	Asn	Ser	Leu 105	Arg	Ala	Glu	Asp	Thr 110	Ala	Val
Tyr	Tyr	Cys 115	Thr	Thr	Gly	Ile	Val 120	Arg	Pro	Phe	Leu	Tyr 125	Trp	Gly	Glr
	130				Val	135					140				
145					Ser 150		-			155	Ī	Ī			160
		_		165	Lys	_	_		170					175	
			180		Leu			185					190		
		195			Leu 	-	200					205			
	210				Thr	215					220				
Pro 225	Ser	Asn	Thr	Lys	Val 230	Asp	Lys	Lys	Val	G1u 235	Pro	Lys	Ser	Cys	Asp 240

<210> 42 <211> 741 <212> ADN <213> Artificial

5

Lys Thr His Thr Cys Ala Ala 245

<223> Cadena pesada de Fab' de 1519gH20 con secuencia señal (expresión en mamíferos)

5	<400>	· 42						
		atggaatgga	gctgggtctt	tctcttc	ctgtcagtaa	ctacaggagt	ccattctgag	60
		gtaccacttg	tggaaagcgg	aggaggtett	gtgcagcctg	gaggaagttt	acgtctctct	120
		tgtgctgtgt	ctggcttcac	cttctccaat	tacggaatgg	tctgggtcag	acaagcacct	180
		ggaaagg g tc	ttgaatgggt	ggcctatatt	gactctgacg	gggacaacac	ctactatcgg	240
		gattccgtga	aaggacgctt	cacaatctcc	cgagataacg	ccaagagctc	actgtacctg	300
		cagatgaata	gcctgagagc	cgaggatact	gccgtgtact	attgcacaac	gggaatcgtt	360
		aggccttttc	tgtactgggg	acagggcacc	ttggttactg	tctcgagcgc	ttctacaaag	420
		ggcccatcgg	tetteccet	ggcaccctcc	tccaagagca	cctctggggg	cacageggee	480
		ctgggct gcc	tggtcaagga	ctacttcccc	gaaccggtga	cggtgtcgtg	gaactcagg c	540
		gccctgacca	gcggcgtgca	caccttcccg	gctgtcctac	agtcctcagg	actctactcc	600
		ctcagcagcg	tggtgaccgt	gccctccagc	agcttgggca	cccagaccta	catctgcaac	660

gtgaatcaca agcccagcaa caccaaggtc gacaagaaag ttgagcccaa atcttgtgac

720

741

<210> 43 10 <211> 444 <212> PRT

<213> Artificial

aaaactcaca catgcgccgc g

<220>

<220>

15 <223> Cadena pesada de IgG4 de 1519gH20 (V + constante de gamma 4P humana)

<400> 43

Glu 1	Val	Pro	Leu	Val 5	Glu	Ser	Gly	Gly	Gly 10	Leu	Val	Gln	Pro	Gly 15	Gly
Ser	Leu	Arg	Leu 20	Ser	Cys	Ala	Val	Ser 25	G1y	Phe	Thr	Phe	Ser 30	Asn	Tyr
Gly	Met	Val 35	Trp	Val	Arg	Gln	Ala 40	Pro	Gly	Lys	Gly	Leu 45	Glu	Trp	Val
Ala	Tyr 50	Ile	Asp	Ser	Asp	Gly 55	Asp	Asn	Thr	Tyr	Tyr 60	Arg	Asp	Ser	Val
Lys 65	Gly	Arg	Phe	Thr	11e 70	Ser	Arg	As p	Asn	Ala 75	Lys	Ser	Ser	Leu	Tyr 80
Leu	Gln	Met	Asn	Ser 85	Leu	Arg	Ala	Glu	Aa p 90	Thr	Ala	Val	Tyr	Tyr 95	Cya
Thr	Thr	Gly	Ile 100	Val	Arg	Pro	Phe	Leu 105	Tyr	Trp	Gly	Gln	Gly 110	Thr	Leu
Val	Thr	Val 115	Ser	Ser	Ala	Ser	Thr 120	Lya	Gly	Pro	Ser	Val 125	Phe	Pro	Leu
Ala	Pro 130	Cys	Ser	Arg	Ser	Thr 135	Ser	Glu	Ser	Thr	Ala 140	Ala	Leu	Gly	Cys
Leu 145	Val	Lys	Asp	Tyr	Phe 150	Pro	Glu	Pro	Val	Thr 155	Val	Ser	Trp	Asn	Ser 160
Gly	Ala	Leu	Thr	Ser 165	Gly	Val	His	Thr	Phe 170	Pro	Ala	Val	Leu	Gln 175	Ser
Ser	Gly	Leu	Tyr 180	Ser	Leu	Ser	Ser	Val 185	Val	Thr	Val	Pro	Ser 190	Ser	Ser
Leu	Gly	Thr 195	Lys	Thr	Tyr	Thr	Cys 200	Asn	Val	Asp	His	Lys 205	Pro	Ser	Asn

Thr	Lys 210	Val	Asp	Lys	Arg	Val 215	Glu	Ser	Lys	Tyr	Gly 220	Pro	Pro	Сув	Pro
Pro 225	Сув	Pro	Ala	Pro	Glu 230	Phe	Leu	Gly	Gly	Pro 235	Ser	Val	Phe	Leu	Phe 240
Pro	Pro	Lys	Pro	Lys 245	Asp	Thr	Leu	Met	11e 250	Ser	Arg	Thr	Pro	Glu 255	Val
Thr	Сув	Val	Val 260	Val	Asp	Val	Ser	Gln 265	Glu	Asp	Pro	Glu	V al 270	Gln	Phę
Asn	Trp	Tyr 275	Val	Asp	Gly	Val	Glu 280	Val	His	Asn	Ala	Lys 285	Thr	Lys	Pro
Arg	Glu 290	Glu	Gln	Phe	Asn	Ser 295	Thr	Tyr	Arg	Val	Val 300	Ser	Val	Leu	Thr
Val 305	Leu	His	Gln	Asp	Trp 310	Leu	Asn	G1y	Lys	Glu 315	Tyr	Lys	Cys	Lys	Val 320
Ser	Asn	Lys	Gly	Leu 325	Pro	Ser	Ser	Ile	Glu 330	Lys	Thr	Ile	Ser	Lys 335	Ala
Lys	Gly	Gln	Pro 340	Arg	Glu	Pro	Gln	Val 345	Tyr	Thr	Leu	Pro	Pro 350	Ser	Gln
Glu	Glu	Met 355	Thr	Lys	Asn	Gln	Val 360	Ser	Leu	Thr	Cys	Leu 365	Val	Lys	Gly
Phe	Tyr 370	Pro	Ser	Asp	Ile	Ala 375	Val	Glu	Trp	Glu	Ser 380	Asn	Gly	Gln	Pro
Glu 385	Asn	Asn	Tyr	Lys	Thr 390	Thr	Pro	Pro	Val	Leu 395	Asp	Ser	Asp	Gly	Ser 400
Phe	Phe	Leu	Tyr	Ser 405	Arg	Leu	Thr	Val	Asp 410	Lys	Ser	Arg	Trp	Gln 415	Glu
Gly	Asn	Val	Phe 420	Ser	Cys	Ser	Val	Met 425	His	Glu	Ala	Leu	His 430	Asn	His
Tyr	Thr	Gln 435	Lys	Ser	Leu	Ser	Leu 440	Ser	Leu	Gly	Lys				

<210> 44

<211> 1939

<212> ADN

<213> Artificial

<220>

5

<223> Cadena pesada de IgG4 de 1519gH20 (V + constante de gamma 4P humana con exones)

<400> 44

60	tttacgtctc	ctggaggaag	cttgtgcagc	cggaggaggt	ttgtggaaag	gaggtaccac
120	cagacaagca	tggtctgggt	aattacggaa	caccttctcc	tgtctggctt	tcttgtgctg
180	cacctactat	acggggacaa	attgactctg	ggtggcctat	gtcttgaatg	cctggaaagg
240	ctcactgtac	acgccaagag	tcccgagata	cttcacaatc	tgaaaggacg	cgggattccg
300	aacgggaatc	actattgcac	actgccgtgt	agccgaggat	atagcctgag	ctgcagatga
360	cgcttctaca	ctgtctcgag	accttggtta	gggacagggc	ttctgtactg	gttaggcctt
420	gagcacagcc	gcacctccga	tgctccagga	cctggcgccc	ccgtcttccc	aagggcccat
480	gtggaactca	tgacggtgtc	cccgaaccgg	ggactacttc	gcctggtcaa	gccctgggct
540	aggactctac	tacagtcctc	ccggctgtcc	gcacaccttc	ccagcggcgt	ggcgccctga
600	ctacacctgc	gcacgaagac	agcagcttgg	cgtgccctcc	gcgtggtgac	tccctcagca
660	gaggccagca	gagttggtga	gtggacaaga	caacaccaag	acaagcccag	aacgtagatc
720	cgcaccccgg	cctgcctgga	gctcagccct	tggaagccag	gggtgtctgc	cagggaggga
780	cccggaggcc	tgtctcctca	atgccccatc	gcagcaaggc	ccagcccagg	ctgtgcagcc
840	caggctccgg	atttttccac	ggtcttctgg	ccagggagag	ccactcatgc	tctgaccacc
900	ggtgctgcgc	tacaggggca	gccctgcgca	cctaccccag	gctggatgcc	gcagccacag
960	ccaccccaaa	tgacctaagc	accetgeece	atccgggagg	caagagccat	tcagacctgc
1020	tgagtaactc	ctcccagatc	accttctctc	cagctcagac	tccactccct	ggccaaactc
1080	ccaggtaagc	cccaccatgc	gtcccccatg	tccaaatatg	ctctgcagag	ccaatcttct
1140	gcctgcatcc	ccctagagta	gggacaggtg	agctcaaggc	ctcgccctcc	caacccaggc
1200	agcacctgag	tetetteete	tccacctcca	tgctgacgca	cccagccggg	agggacaggc
1260	tctcatgatc	ccaaggacac	ccccaaaac	cttcctgttc	gaccatcagt	ttcctggggg
1320	ccccgaggtc	gccaggaaga	gtggacgtga	gtgcgtggtg	ctgaggtcac	tcccggaccc
1380	gccgcgggag	ccaagacaaa	gtgcataatg	tggcgtggag	ggtacgtgga	cagttcaact
1440	ccaggactgg	ccgtcctgca	agcgtcctca	ccgtgtggtc	acagcacgta	gagcagttca
1500	ctccatcgag	gcctcccgtc	tccaacaaag	gtgcaaggtc	aggagtacaa	ctgaacggca
1560	tggacagagg	gagggccaca	cacggggtgc	aggtgggacc	ccaaagccaa	aaaaccatct
1620	tccctacagg	ccaacctctg	gaccgctgtg	ccctgggagt	ccaccctctg	tcagctcggc
1680	tgaccaagaa	caggaggaga	gcccccatcc	tgtacaccct	gagccacagg	gcagccccga
1740	ccatagaata	agegaeateg	cttctacccc	taatcaaaaa	ctgacctgcc	ccaggtcagc

ggagagcaat gggcagccgg agaacaacta caagaccacg cctcccgtgc tggactccga 1800
cggctccttc ttcctctaca gcaggctaac cgtggacaag agcaggtggc aggaggggaa 1860
tgtcttctca tgctccgtga tgcatgaggc tctgcacaac cactacacac agaagagcct 1920
ctccctgtct ctgggtaaa 1939

<210> 45 <211> 1996 5 <212> ADN

<213> Artificial

<220>

<223> Cadena pesada de IgG4 de 1519gH20 (V + constante de gamma 4P humana) con secuencia señal

<400> 45

10

atggaatgga getgggtett tetettette etgteagtaa etacaggagt ceattetgag 60 gtaccacttg tggaaagegg aggaggtett gtgeagectg gaggaagttt aegtetetet 120 tgtgctgtgt ctggcttcac cttctccaat tacggaatgg tctgggtcag acaagcacct 180 ggaaagggtc ttgaatgggt ggcctatatt gactctgacg gggacaacac ctactatcgg 240 gattccgtga aaggacgctt cacaatctcc cgagataacg ccaagagctc actgtacctg 300 cagatgaata gcctgagagc cgaggatact gccgtgtact attgcacaac gggaatcgtt 360 420 aggeetttte tgtactgggg acagggeace ttggttactg tetegagege ttetacaaag ggcccatecg tettececet ggcgccctgc tecaggagca cetecgagag cacageegec 480 ctgggctgcc tggtcaagga ctacttcccc gaaccggtga cggtgtcgtg gaactcaggc 540 600 geoctgacca geggegtgca cacetteeeg getgteetae agteeteagg actetactee ctcagcagcg tggtgaccgt gccctccagc agcttgggca cgaagaccta cacctgcaac 660 gtagatcaca agcccagcaa caccaaggtg gacaagagag ttggtgagag gccagcacag 720 ggagggaggg tgtctgctgg aagccaggct cagccctcct gcctggacgc accccggctg 780 840 tgcagcccca gcccagggca gcaaggcatg ccccatctgt ctcctcaccc ggaggcctct gaccacccca ctcatgccca gggagagggt cttctggatt tttccaccag gctccgggca 900 960 gecacagget ggatgeeeet acceeaggee etgegeatae aggggeaggt getgegetea 1020 gacctgocaa gagccatato ogggaggaco otgoccotga cotaagocca occcaaaggo 1080 caaactotec actoccteag ctcagacacc ttctctcctc ccagatetga gtaactccca atottototo tgoagagtoo aaatatggto coccatgooc accatgooca ggtaagooaa 1140 cccaggecte geoetecage teaaggeggg acaggtgeee tagagtagee tgeatecagg 1200 gacaggeece ageogggtge tgacgeatee acetecatet ettecteage acetgagtte 1260 ctggggggac catcagtott cotqttocco ccaaaaccca aggacactot catgatotoc 1320

cggacccctg	aggtcacgtg	cgtggtggtg	gacgtgagcc	aggaagaccc	cgaggtccag	1380
ttcaactggt	acgtggatgg	cgtggaggtg	cataatgcca	agacaaagcc	gcgggaggag	1440
cagttcaaca	gcacgtaccg	tgtggtcagc	gtcctcaccg	tcctgcacca	ggactggctg	1500
aacggcaagg	agtacaagtg	caaggtctcc	aacaaaggcc	tecegtecte	catcgagaaa	1560
accatctcca	aagccaaagg	tgggacccac	ggggtgcgag	ggccacatgg	acagaggtca	1620
gctcggccca	ccctctgccc	tgggagtgac	cgctgtgcca	acctctgtcc	ctacagggca	1680
gccccgagag	ccacaggtgt	acaccctgcc	cccatcccag	gaggagatga	ccaagaacca	1740
ggtcagcctg	acctgcctgg	tcaaaggctt	ctaccccagc	gacatcgccg	tggagtggga	1800
gagcaatggg	cagccggaga	acaactacaa	gaccacgcct	cccgtgctgg	actecgaegg	1860
ctccttcttc	ctctacagca	ggctaaccgt	ggacaagagc	aggtggcagg	aggggaatgt	1920
cttctcatgc	tccgtgatgc	atgaggetet	gcacaaccac	tacacacaga	agageetete	1980
cctgtctctg	ggtaaa					1996

5

<210> 46 <211> 347

<212> PRT

<213> Artificial

<220

<223> Cadena ligera de FabFv de 1519gL20

10

<400> 46

Asp Ile Gln Met Thr Gln Ser Pro Ser Ser Leu Ser Ala Ser Val Gly
1 10 15

Asp Arg Val Thr Ile Thr Cys Lys Ser Ser Gln Ser Leu Val Gly Ala 20 25 30

Ser Gly Lys Thr Tyr Leu Tyr Trp Leu Phe Gln Lys Pro Gly Lys Ala 35 40 45

Pro Lys Arg Leu Ile Tyr Leu Val Ser Thr Leu Asp Ser Gly Ile Pro 50 55 60

Ser Arg Phe Ser Gly Ser Gly Ser Gly Thr Glu Phe Thr Leu Thr Ile 65 70 75 80

Ser Ser Leu Gln Pro Glu Asp Phe Ala Thr Tyr Tyr Cys Leu Gln Gly 85 90 95

Thr His Phe Pro His Thr Phe Gly Gln Gly Thr Lys Leu Glu Ile Lys 100 105 110

Arg	Thr	Val 115	Ala	Ala	Pro	Ser	Val 120	Phe	Ile	Phe	Pro	Pro 125	Ser	Asp	Glu
Gln	Leu 130	Lys	Ser	Gly	Thr	Ala 135	Ser	Val	Val	Cys	Leu 140	Leu	Asn	Asn	Phe
Tyr 145	Pro	Arg	Glu	Ala	Lys 150	Val	Gln	Trp	Lys	Val 15 5	Asp	Asn	Ala	Leu	Gln 160
Ser	Gly	Asn	Ser	Gln 165	Glu	Ser	Val	Thr	Glu 170	Gln	Asp	Ser	Lys	Asp 175	Ser
Thr	Tyr	Ser	Leu 180	Ser	Ser	Thr	Leu	Thr 185	Leu	Ser	Lys	Ala	Asp 190	Tyr	Glu
Lys	His	Lys 195	Val	Tyr	Ala	Cys	Glu 200	Val	Thr	His	Gln	Gly 205	Leu	Ser	Ser
Pro	Val 210	Thr	Lys	Ser	Phe	As n 215	Arg	Gly	Glu	Cys	Ser 220	Gly	Gly	Gly	Gly
Ser 225	Gly	Gly	Gly	Gly	Ser 230	Gly	Gly	Gly	Gly	Ser 235	Asp	Ile	Gln	Met	Thr 240
Gln	Ser	Pro	Ser	Ser 245	Val	Ser	Ala	Ser	Val 250	Gly	Asp	Arg	Val	Thr 255	Ile
Thr	Cys	Gln	Ser 260	Ser	Pro	Ser	Val	Trp 265	Ser	Asn	Phe	Leu	Ser 270	Trp	Tyr
Gln	Gln	Lys 275	Pro	Gly	Lys	Ala	Pro 280	Lys	Leu	Leu	Ile	Tyr 285	Glu	Ala	Ser
Lys	Leu 290	Thr	Ser	Gly	Val	Pro 295	Ser	Arg	Phe	Ser	Gly 300	Ser	Gly	Ser	Gly
Thr 305	Asp	Phe	Thr	Leu	Thr 310	Ile	Ser	Ser	Leu	Gln 315	Pro	Glu	Asp	Phe	Ala 320
Thr	Tyr	Tyr	Cys	Gly 325	Gly	Gly	Tyr	Ser	Ser 330	Ile	Ser	Asp	Thr	Thr 335	Phe
Gly	Cys	Gly	Thr 340	Lys	Val	Glu	Ile	Lys 345	Arg	Thr					

<210> 47 <211> 1041

<212> ADN <213> Artificial

<220>

<223> Cadena ligera de FabFv de 1519gL20

<400> 47

gatatecaga tgacceagag eccatetage ttateegett eegttggtga tegegtgaca	60
attacgtgta agagetecea atetetegtg ggtgcaagtg gcaagaceta tetgtactgg	120
ctctttcaga agcctggcaa ggcaccaaaa cggctgatct atctggtgtc tacccttgac	180
totgggatac cgtcacgatt ttccggatct gggagcggaa ctgagttcac actcacgatt	240
tcatcgctgc aacccgagga ctttgctacc tactactgcc tgcaaggcac tcatttccct	300
cacactttcg gccaggggac aaaactcgaa atcaaacgta cggtagcggc cccatctgtc	360
tteatettee egecatetga tgageagttg aaatetggaa etgeetetgt tgtgtgeetg	420
ctgaataact totatoocag agaggocaaa gtacagtgga aggtggataa cgccctccaa	480
tegggtaaet eecaggagag tgteacagag caggacagca aggacagcac etacageetg	540
agcagcaccc tgacgctgtc taaagcagac tacgagaaac acaaagtgta cgcctgcgaa	600
gtcacccatc agggcctgag ctcaccagta acaaaaagtt ttaatagagg ggagtgtagc	660
ggtggcggtg gcagtggtgg gggaggctcc ggaggtggcg gttcagacat acaaatgacc	720
cagagtectt categgtate egegteegtt ggegataggg tgactattac atgtcaaage	780
tctcctagcg tctggagcaa ttttctatcc tggtatcaac agaaaccggg gaaggctcca	840
aaacttctga tttatgaagc ctcgaaactc accagtggag ttccgtcaag attcagtggc	900
tctggatcag ggacagactt cacgttgaca atcagttcgc tgcaaccaga ggactttgcg	960
acctactatt gtggtggagg ttacagtagc ataagtgata cgacatttgg gtgcggtact	1020
aaggtggaaa tcaaacgtac c	1041

5

10

<210> 48

<211> 367 <212> PRT

<213> Artificial

<223> Cadena ligera de FabFv de 1519gL20 con secuencia señal

15 <400> 48

> Met Ser Val Pro Thr Gln Val Leu Gly Leu Leu Leu Trp Leu Thr 10 5 15

> Asp Ala Arg Cys Asp Ile Gln Met Thr Gln Ser Pro Ser Ser Leu Ser

Ala Ser Val Gly Asp Arg Val Thr Ile Thr Cys Lys Ser Ser Gln Ser

		35					40					45			
Leu	V al 50	Gly	Ala	Ser	Gly	Lys 55	Thr	Tyr	Leu	Tyr	Trp 60	Leu	Phe	Gln	Lys
Pro 65	G1 y	Lys	Ala	Pro	Lys 70	Arg	Leu	Ile	Tyr	Leu 75	Val	Ser	Thr	Leu	Asp 80
Ser	G1 y	Ile	Pro	Ser 85	Arg	Phe	Ser	Gly	Ser 90	Gly	Ser	G1 y	Thr	Glu 95	Phe
Thr	Leu	Thr	Ile 100	Ser	Ser	Leu	G1n	Pro 105	Glu	Asp	Phe	Ala	Thr 110	Tyr	Tyr
Cys	Leu	Gln 115	Gly	Thr	His	Phe	Pro 120	His	Thr	Phe	Gly	Gln 125	Gly	Thr	Lys
Leu	Glu 130	Ile	Lys	Arg	Thr	Val 135	Ala	Ala	Pro	Ser	Val 140	Phe	Ile	Phe	Pro
Pro 145	Ser	Asp	Glu	Gln	Leu 150	Lys	Ser	Gly	Thr	Ala 155	Ser	Val	Val	Cys	Leu 160
Leu	Asn	Asn	Phe	Tyr 165	Pro	Arg	Glu	Ala	Lys 170	Val	Gln	Trp	Lys	Val 175	Asp
Asn	Ala	Leu	Gln 180	Ser	Gly	Asn	Ser	Gln 185	Glu	Ser	Val	Thr	Glu 190	G1n	Asp
Ser	Lys	Asp 195	Ser	Thr	Tyr	Ser	Leu 200	Ser	Ser	Thr	Leu	Thr 205	Leu	Ser	Lys
Ala	Asp 210	Tyr	Glu	Lys	His	Lys 215	Val	Tyr	Ala	Cys	Glu 220	Val	Thr	His	Gln
Gly 225	Leu	Ser	Ser	Pro	Val 230	Thr	Lys	Ser	Phe	Asn 235	Arg	Gly	Glu	Cys	Ser 240
Gly	Gly	Gly	Gly	Ser 245	Gly	Gly	Gly	Gly	Ser 250	Gly	Gly	Gly	Gly	Ser 255	Asp
Ile	Gln	Met	Thr 260	Gln	Ser	Pro	Ser	Ser 265	Val	Ser	Ala	Ser	Val 270	Gly	Asp
Arg	Val	Thr 275	Ile	Thr	Сув	Gln	Ser 280	Ser	Pro	Ser	Val	Trp 285	Ser	Asn	Phe

	Leu	Ser 290	Trp	Tyr	Gln	Gln	Lys 2 9 5	Pro	Gly	Lys	Ala	Pro 300	Lys	Leu	Leu	Ile
	Tyr 305	Glu	Ala	Ser	Lys	Leu 310	Thr	Ser	Gly	Val	Pro 315	Ser	Arg	Phe	Ser	Gly 320
Ser Gly Ser Gly Thr Asp Phe Thr Leu Thr Ile Ser Ser Leu G 325 330 3 Glu Asp Phe Ala Thr Tyr Tyr Cys Gly Gly Gly Tyr Ser Ser I 340 345 350													Gln 335	Pro		
	Glu	Asp	Phe		Thr	Tyr	Tyr	С у в	_	Gly	Gly	Tyr	Ser		Ile	Ser
<210> 49 <211> 110 <212> ADN <213> Artif	1															
<220> <223> Cad	lena li	igera (de Fal	bFv d	e 151	9gL20) con :	secue	ncia s	señal						

5

10

<400> 49

60	tgccagatgc	ggcttacaga	ctgctactct	cctcggactc	ccacccaagt	atgtctgtcc
120	tegegtgaca	ccgttggtga	ttatccgctt	cccatctagc	tgacccagag	gatatccaga
180	tctgtact g g	gcaagaccta	ggtgcaagtg	atctctcgtg	agagetecca	attacgtgta
240	tacccttgac	atctggtgtc	cggctgatct	ggcaccaaaa	agcctggcaa	ctctttcaga
300	actcacgatt	ctgagttcac	gggagcggaa	ttcc ggatet	cgtcacgatt	tctgggatac
360	tcatttccct	tgcaaggcac	tactactgcc	ctttgctacc	aacccgagga	tcatcgctgc
420	cccatctgtc	cggtagcggc	atcaaacgta	aaaactcgaa	gccaggggac	cacactttcg
480	tgtgtgcctg	ctgcctctgt	aaatctggaa	tgagcagttg	cgccatctga	ttcatcttcc
540	cgccctccaa	aggtggataa	gtacagtgga	agaggccaaa	tctatcccag	ctgaat aact
600	ctacagcctg	aggacagcac	caggacagca	tgtcacagag	cccaggagag	tcgggtaact
660	cgcctgcgaa	acaaagtgta	tacgagaaac	taaagcagac	tgacgctgtc	agcagcaccc
720	ggagtgtagc	ttaatagagg	acaaaaagtt	ctcaccagta	agggcctgag	gtcacccatc
780	acaaatgacc	gttca gacat	ggaggtggcg	gggaggctcc	gcagtggtgg	ggtggcggtg
840	atgtcaaagc	tgactattac	ggcgataggg	cgcgtccgtt	catcggtatc	cagagtcctt
900	gaaggctcca	agaaaccggg	tggtatcaac	ttttctatcc	tctggagcaa	tctcctagcg
960	attcagtggc	ttccgtcaag	accagtggag	ctcgaaactc	tttatgaagc	aaacttctga
1020	ggactttgcg	tgcaaccaga	atcagttcgc	cacgttgaca	ggacagactt	tctggatcag
1080	gtgcggtact	cgacatttgg	ataagtgata	ttacagtagc	gtggtggagg	acctactatt
1101				c	tcaaacgtac	aaggtggaaa

<210> 50 <211> 357 <212> PRT <213> Artificial

<223> Cadena pesada de FabFv de 1519gH20

10 <400> 50

Glu 1	Val	Pro	Leu	Val 5	Glu	Ser	Gly	Gly	Gly 10	Leu	Val	Gln	Pro	Gly 15	Gly
Ser	Leu	Arg	Leu 20	Ser	Cys	Ala	Val	Ser 25	Gly	Phe	Thr	Phe	Ser 30	Asn	Tyr
Gly	Met	Val 35	Trp	Val	Arg	Gln	Ala 40	Pro	Gly	Lys	Gly	Leu 45	Glu	Trp	Val
Ala	Tyr 50	Ile	Asp	Ser	Asp	Gly 55	Asp	Asn	Thr	Tyr	T yr 60	Arg	Asp	Ser	Val
Lys 65	Gly	Arg	Phe	Thr	Ile 70	Ser	Arg	Asp	Asn	Ala 75	Lys	Ser	Ser	Leu	Tyr 80
Leu	Gln	Met	Asn	Ser 85	Leu	Arg	Ala	Glu	Asp 90	Thr	Ala	Val	Tyr	Tyr 95	Cys
Thr	Thr	Gly	Ile 100	Val	Arg	Pro	Phe	Leu 105	Tyr	Trp	Gly	Gln	Gly 110	Thr	Leu
Val	Thr	Val 115	Ser	Ser	Ala	Ser	Thr 120	Lys	Gl y	Pro	Ser	Val 125	Phe	Pro	Leu
Ala	Pro 130	Ser	Ser	Lys	Ser	Thr 135	Ser	Gly	Gly	Thr	Ala 140	Ala	Leu	Gly	Cys
Leu 145	Val	Lys	Asp	Tyr	Phe 150	Pro	Glu	Pro	Val	Thr 155	Val	Ser	Trp	Asn	Ser 160
Gly	Ala	Leu	Thr	Ser 165	Gl y	Val	His	Thr	Phe 170	Pro	Ala	Val	Leu	Gln 175	Ser
Ser	Gly	Leu	Tyr 180	Ser	Leu	Ser	Ser	Val 185	Va1	Thr	Val	Pro	Ser 190	Ser	Ser

Leu	Gly	Thr 195	Gln	Thr	Tyr	Ile	Cys 200	Asn	Val	Asn	His	Lys 205	Pro	Ser	Asn
Thr	Lys 210	Val	Asp	Lys	Lys	Val 215	Glu	Pro	Lys	Ser	Cys 220	Ser	Gly	Gly	Gly
Gly 225	Ser	Gly	Gly	Gly	Gly 230	Thr	Gly	Gly	Gly	Gly 235	Ser	Glu	Val	Gln	Leu 240
Leu	Glu	Ser	Gly	Gly 245	Gly	Leu	Val	Gln	Pro 250	Gly	Gly	Ser	Leu	Arg 255	Leu
Ser	Cys	Ala	Val 260	Ser	Gly	Ile	Asp	Leu 265	Ser	Asn	Tyr	Ala	Ile 270	Asn	Trp
Val	Arg	Gln 275	Ala	Pro	Gly	Lys	Cys 280	Leu	Glu	Trp	Ile	Gly 285	Ile	Ile	Trp
Ala	Ser 290	Gly	Thr	Thr	Phe	Tyr 295	Ala	Thr	Trp	Ala	Lys 300	Gly	Arg	Phe	Thr
Ile 305	Ser	Arg	Asp	Asn	Ser 310	Lys	Asn	Thr	Val	Tyr 315	Leu	Gln	Met	Asn	Ser 320
Leu	Arg	Ala	Glu	Asp 325	Thr	Ala	Val	Tyr	Tyr 330	Cys	Ala	Arg	Thr	Val 335	Pro
Gly	Tyr	Ser	Thr 340	Ala	Pro	Tyr	Phe	Asp 345	Leu	Trp	Gly	Gln	Gly 350	Thr	Leu
Val	Thr	Val 355	Ser	Ser											
1 071 DN															

<210> 51 <211> 1071 5 <212> ADN <213> Artificial

> <220> <223> Cadena pesada de FabFv de 1519gH20

10 <400> 51

gaggtaccac	ttgtggaaag	cggagga <mark>ggt</mark>	cttgtgca gc	ctggagga ag	tttacgtctc	60
tettgtgetg	tgtctggctt	caccttctcc	aattacggaa	tggtctgggt	cagacaagca	120
cctggaaagg	gtcttgaatg	ggtggcctat	attgactctg	acggggacaa	cacctactat	180
cgggattccg	tgaaaggacg	cttcacaatc	tcccgagata	acgccaagag	ctcactgtac	240
ctgcagatga	atageetgag	agccgaggat	actgccgtgt	actattgcac	aacgggaatc	300
gttaggcctt	ttctgtactg	gggacagggc	accttggtta	ctgtctcgag	cgcgtccaca	360
aagggcccat	cggtcttccc	cctggcaccc	tectecaaga	gcacetetgg	gggcacagcg	420
gccctgggct	gcctggtcaa	ggactacttc	cccgaaccag	tgacggtgtc	gtggaactca	480
ggtgccctga	ccagcggcgt	tcacaccttc	ccggctgtcc	tacagtcttc	aggactctac	540
tccctgagca	gcgtggtgac	cgtgccctcc	agcagcttgg	gcacccagac	ctacatctgc	600
aacgtgaatc	acaagcccag	caacaccaag	gtcgataaga	aagttgagcc	caaatcttgt	660
agtggaggtg	ggggctcagg	tggaggcggg	accggtggag	gtggcagcga	ggttcaactg	720
cttgagtctg	gaggaggcct	agtccagcct	ggagggagcc	tgcgtctctc	ttgtgcagta	780
ageggeateg	acctgagcaa	ttacgccatc	aactgggtga	gacaagetee	ggggaagtgt	840
ttagaatgga	tcggtataat	atgggccagt	gggacgacct	tttatgctac	atgggcgaaa	900
ggaaggttta	caattagccg	ggacaatagc	aaaaacaccg	tgtatctcca	aatgaactcc	960
ttgcgagcag	aggacacggc	ggtgtactat	tgtgctcgca	ctgtcccagg	ttatagcact	1020
gcaccctact	tcgatctgtg	gggacaaggg	accctggtga	ctgtttcaag	t	1071

<210> 52 <211> 376

<212> PRT <213> Artificial

<220>

<223> Cadena pesada de FabFv de 1519gH20 con secuencia señal

10 <400> 52

Met	Glu	Trp	Ser	Trp	Val	Phe	Leu	Phe	Phe	Leu	Ser	Val	Thr	Thr	Gl
1				5					10					15	

Val His Ser Glu Val Pro Leu Val Glu Ser Gly Gly Gly Leu Val Gln 20 25 30

Pro Gly Gly Ser Leu Arg Leu Ser Cys Ala Val Ser Gly Phe Thr Phe 35 40 45

Ser Asn Tyr Gly Met Val Trp Val Arg Gln Ala Pro Gly Lys Gly Leu 50 55 60

Glu Trp Val Ala Tyr Ile Asp Ser Asp Gly Asp Asn Thr Tyr Tyr Arg 65 70 75 80

Asp Ser Val Lys Gly Arg Phe Thr Ile Ser Arg Asp Asn Ala Lys Ser 85 90 95

Ser Leu Tyr Leu Gln Met Asn Ser Leu Arg Ala Glu Asp Thr Ala Val

Tyr	туr	Сув 115	Thr	Thr	Gly	Ile	Val 120	Arg	Pro	Phe	Leu	Tyr 125	Trp	Gly	Gln
Gly	Thr 130	Leu	Val	Thr	Val	Ser 135	Ser	Ala	Ser	Thr	Lys 140	Gl y	Pro	Ser	Val
Phe 145	Pro	Leu	Ala	Pro	Ser 150	Ser	Lys	Ser	Thr	Ser 155	Gly	G1 y	Thr	Ala	Ala 160
Leu	Gly	Cys	Leu	Val 165	Lys	Asp	Tyr	Phe	Pro 170	Glu	Pro	Val	Thr	Val 175	Ser
Trp	Asn	Ser	Gly 180	Ala	Leu	Thr	Ser	Gly 185	Val	His	Thr	Phe	Pro 190	Ala	Val
Leu	Gln	Ser 195	Ser	Gly	Leu	Tyr	Ser 200	Leu	Ser	Ser	Val	Val 205	Thr	Val	Pro
Ser	Ser 210	Ser	Leu	Gly		Gln 215	Thr	Tyr	Ile	Cys	Asn 220	Val	As n	His	Lys
Pro 225	Ser	Asn	Thr	Lys	Val 230	Asp	Lys	Lys	Val	G1u 235	Pro	Lys	Ser	Cys	Ser 240
Gly	Gly	Gly	Gly	Ser 245	Gly	Gly	Gly	Gly	Thr 250	Gly	Gly	Gly	Gly	Ser 255	Glu
Val	Gln	Leu	Leu 260	Glu	Ser	Gly	Gly	Gly 265	Leu	Val	Gln	Pro	Gly 270	Gly	Ser
Leu	Arg	L e u 275	Ser	Cys	Ala	Val	Ser 280	Gly	Ile	Asp	Leu	Ser 285	Asn	Tyr	Ala
Ile	As n 290	Trp	Val	Arg	Gln	Ala 295	Pro	Gly	Lys	Сув	Leu 300	Glu	Trp	Ile	Gly
Ile 305	Ile	Trp	Ala	Ser	Gly 310	Thr	Thr	Phe	Tyr	Ala 315	Thr	Тгр	Ala	Lys	Gly 320
Arg	Phe	Thr	Ile	Ser 325	Arg	Asp	Asn	Ser	Lys 330	Asn	Thr	Val	Tyr	Leu 335	Gln
Met	Asn	Ser	Leu 340	Arg	Ala	Glu	Asp	Thr 345	Ala	Val	Tyr	Tyr	Cys 350	Ala	Arg
Thr	Val	Pro	Gly	Tyr	Ser	Thr	Ala	Pro	Tyr	Phe	Asp	Leu	Trp	Gly	Gln

355 360 365

Gly Thr Leu Val Thr Val Ser Ser 370 375

<210> 53 <211> 1128 5 <212> ADN

<213> Artificial

<220>

<223> Cadena pesada de FabFv de 1519gH20 con secuencia señal

10 <400> 53

60 atggaatgga gctgggtott totottotto otgtoagtaa otacaggagt coattotgag gtaccacttg tggaaagcgg aggaggtctt gtgcagcctg gaggaagttt acgtctctct 120 tgtgctgtgt ctggcttcac cttctccaat tacggaatgg tctgggtcag acaagcacct 180 ggaaagggtc ttgaatgggt ggcctatatt gactctgacg gggacaacac ctactatcgg 240 300 gattoogtga aaggacgott cacaatetee ogagataaeg ccaagagete actgtacetg cagatgaata geetgagage egaggataet geegtgtaet attgeacaac gggaategtt 360 aggostttte tgtactgggg acagggcace ttggttactg tetegagege gtecacaaag 420 ggcccatcgg tettocccet ggcaccetce tecaagagca cetetggggg cacageggee 480 ctgggctgcc tggtcaagga ctacttcccc qaaccagtga cggtgtcgtg gaactcaggt 540 goodtgacca goggogttca caccttocog gotgtoctac agtottcagg actotactco 600 660 ctgagcagcg tggtgaccgt gccctccagc agcttgggca cccagaccta catctgcaac 720 gtgaatcaca agcccagcaa caccaaggtc gataagaaag ttgagcccaa atcttgtagt 780 ggaggtgggg geteaggtgg aggegggaee ggtggaggtg geagegaggt teaactgett gagtotggag gaggootagt coagcotgga gggagootgo gtototottg tgoagtaago 840 900 ggcatcgacc tgagcaatta cgccatcaac tgggtgagac aagctccggg gaagtgttta gaatggatcg gtataatatg ggccagtggg acgacctttt atgctacatg ggcgaaagga 960 1020 aggtttacaa ttagooggga caatagcaaa aacaccgtgt atotocaaat gaactcottg 1080 egageagagg acaeggeggt gtactattgt getegeactg teseaggtta tageactgea coctacttcg atctgtgggg acaagggacc ctggtgactg tttcaagt 1128

15 <210> 54

<211> 107

<212> PRT

<213> Artificial

20 <220>

<223> Marco aceptor de VK1 2-1-(1) A30 JK2 humano

Asp Ile Gln Met Thr Gln Ser Pro Ser Ser Leu Ser Ala Ser Val Gly
1 10 15

<400> 54

		Asp	Arg	Val	Thr 20	Ile	Thr	Cys	Arg	Ala 25	Ser	Gln	Gly	Ile	Arg 30	Asn	Asp
		Leu	Gly	Trp 35	Tyr	Gln	Gln	Lys	Pro 40	Gly	Lys	Ala	Pro	Lys 45	Arg	Leu	Ile
		Tyr	Ala 50	Ala	Ser	Ser	Leu	Gln 55	Ser	Gly	Val	Pro	Ser 60	Arg	Phe	Ser	Gly
		Ser 65	Gly	Ser	Gly	Thr	Glu 70	Phe	Thr	Leu	Thr	Ile 75	Ser	Ser	Leu	Gln	Pro 80
		Glu	Asp	Phe	Ala	Thr 85	Tyr	Tyr	Cys	Leu	Gln 90	His	Asn	Ser	Tyr	Pro 95	Tyr
		Thr	Phe	Gly	Gln 100	Gly	Thr	Lys	Leu	Glu 105	Ile	Lys					
5	<210> 5 <211> 3 <212> A <213> A	321 ADN	al														
10	<220> <223> N	Marco	acepto	or de \	/K1 2-	1-(1) /	430 Jk	(2 hun	nano								
15	<400> 5	55															
		gac	atcca	ga tg	accca	gtc t	ccato	ctcc	ctgto	etgcat	: ctgt	aggaç	ga caq	gagto	acc		60
		atc	acttg	cc gg	gcaag	tca q	ggcat	taga	aatga	tttaç	getç	gtato	a go	agaaa	cca	1	20
		ggg	aaagc	cc ct	aagcg	cct g	atcta	tgct	gcato	cagtt	tgca	aagto	gg gg(tccca	tca	1	80
		agg	ttcag	cg gc	agtgg	atc t	gggad	agaa	ttcac	tctca	caat	cagca	ig cci	tgcag	cct		40
		gaa	gattt	tg ca	actta	tta c	tgtct	acag	cataa	tagtt	acc	ettaca	ic tti	ttggc	cag	_	00
		33 3	accaa	gc tg	gagat	caa a	1									3	21
20	<210> 5 <211> 1 <212> F <213> A	112 PRT	al														
25	<220> <223> M <400> 5		acepto	or VH3	1-33-	.07JH₄	4 hum	ano									

Glu Val Gln Leu Val Glu Ser Gly Gly Gly Leu Val Gln Pro Gly Gly

		1				5					10					15	
		Ser	Leu	Arg	Leu 20	Ser	Cys	Ala	Ala	Ser 25	Gly	Phe	Thr	Phe	Ser 30	Ser	Tyr
		Trp	Met	Ser 35	Trp	Val	Arg	Gln	Ala 40	Pro	Gly	Lys	Gly	Leu 45	Glu	Trp	Val
		Ala	Asn 50	Ile	Lys	Gln	Asp	Gly 55	Ser	Glu	Lys	Tyr	Tyr 60	Val	Asp	Ser	Val
		Lys 65	Gly	Arg	Phe	Thr	Ile 70	Ser	Arg	Asp	Asn	Ala 75	Lys	Asn	Ser	Leu	Tyr 80
		Leu	Gln	Met	Asn	Ser 85	Leu	Arg	Ala	Glu	Asp 90	Thr	Ala	Val	Tyr	Tyr 95	Cys
		Ala	Arg	Tyr	Phe 100	Asp	Tyr	Trp	Gly	Gln 105	Gly	Thr	Leu	Val	Thr 110	Val	Ser
5	<210> 57 <211> 33 <212> AD <213> Art	6)N															
	<220> <223> Ma	arco a	ceptor	· VH3	1-33-0)7JH4	huma	ano									
10	<400> 57																
	gaç	ggtgo	agc	tggto	ggagt	c tg	gggga	iggc	ttgg	tccag	jc ct	gggg	ggtc	cctg	agact	c	60
	to	ctgtg	cag	cctct	ggat	t ca	ccttt	agt	agct	attgg	ga tg	agct	gggt	ccgc	caggo	t	120
	CC	aggga	agg	ggct	gagt	g gg	tggcd	caac	ataa	agcaa	ng at	ggaaq	gtga	gaaa	tacta	it	180
	gt	ggact	ctg	tgaaq	gggcc	g at	tcaco	catc	tcca	gagac	a ac	gccaa	agaa	ctca	ctgta	it	240
	cto	gcaaa	itga	acago	ectga	g ag	ccgag	gac	acgg	ctgtg	jt at	tacto	gtgc	gaga	tactt	t	300
	gad	ctact	ggg	gccag	gggaa	c cc	tggto	cacc	gtct	cc							336
15	<210> 58 <211> 11: <212> PR <213> Art	2 RT															
20	<220> <223> Re	gión \	/L del	Ac 15	548 de	rata											
	<400> 58																

	Asp 1	Val	Val	Met	Thr 5	Gln	Thr	Pro	Leu	Ser 10	Leu	Ser	Val	Ala	Leu 15	Gly
	Gln	Pro	Ala	Ser 20	Ile	Ser	Сув	Lys	Ser 25	Ser	Gln	Ser	Leu	Val 30	Gly	Ala
	Ser	Gly	Lys 35	Thr	Tyr	Leu	Tyr	Trp 40	Leu	Phe	Gln	Arg	Ser 45	Gly	Gln	Ser
	Pro	Lys 50	Arg	Leu	Ile	Tyr	Leu 55	Val	Ser	Thr	Leu	Asp 60	Ser	Gly	Ile	Pro
	Asp 65	Arg	Phe	Ser	G1y	Ser 70	Gly	Ala	Glu	Thr	As p 75	Phe	Thr	Leu	Lys	11 e 80
	Arg	Arg	Val	Glu	Ala 85	Asp	Asp	Leu	Gly	Val 90	Tyr	Tyr	Cys	Leu	Gln 95	Gly
	Thr	His	Phe	Pro 100	His	Thr	Phe	Gly	Ala 105	Gly	Thr	Lys	Leu	Glu 110	Ile	Lys
<210> 59 <211> 33 5 <212> AI <213> AI	86 ON															
<220> <223> Ro	egión √	/L del	Ac 15	48 de	rata											
<400> 59)															
	gatgt	tgtga	tga	ccag	ac to	cact	gtet	ttgto	ggtt	gccc	ttgga	aca a	ccago	ctcc		60
	atctc	ttgca	agto	caagt	ca ga	geet	egta	ggtgo	tagt	g gaa	agaca	ta t	ttgta	ttgg		120
	ttatt	tcaga	ggt	ccggc	ca gt	ctec	aaag	cgact	aatc	t ato	tggt	gtc c	acact	ggac		180
	tctgg	aatto	ctga	atagg	tt ca	ıgtgg	cagt	ggago	cagag	a cag	attti	ac t	cttaa	aatc		240
	cgcag	agtgg	aag	ccgat	ga tt	tggg	agtt	tatta	actgc	t tgo	aaggt	ac a	cattt	tect		300
	cacac	gtttg	gage	ctggg	ac ca	aget	j gaa	ataaa	ıa							336
15 <210> 60 <211> 11 <212> PI <213> AI	6 RT															
20 <220> <223> Ro	egión V	/H del	Ac 15	548 de	rata											
<400> 60)															

Glu Val Pro Leu Val Glu Ser Gly Gly Gly Ser Val Gln Pro Gly Arg 1 5 10 15

		Ser	Met	Lys	Leu 20	Ser	Сув	Val	Val	Ser 25	Gly	Phe	Thr	Phe	Ser 30	Asn	Tyr
		Gly	Met	Val 35	Trp	Val	Arg	Gln	Ala 40	Pro	Lys	Lys	Gly	Leu 45	Glu	Trp	Val
		Ala	Tyr 50	Ile	Asp	Ser	Asp	Gly 55	Asp	Asn	Thr	Tyr	Tyr 60	Arg	Asp	Ser	Val
		Lys 65	Gly	Arg	Phe	Thr	Ile 70	Ser	Arg	Asn	Asn	Ala 75	Lys	Ser	Thr	Leu	Tyr 80
		Leu	Gln	Met	Asp	Ser 85	Leu	Arg	Ser	Glu	Asp 90	Thr	Ala	Thr	Tyr	Tyr 95	Cys
		Thr	Thr	Gly	Ile 100	Val	Arg	Pro	Phe	Leu 105	Tyr	Trp	Gly	Gln	Gly 110	Val	Met
		Val	Thr	Val 115	Ser												
5	<210> 61 <211> 34 <212> AE <213> Ar	8 DN															
0	<220> <223> Re	egión \	/H del	Ac 1	548 d	e rata											
Ü	<400> 61																
		gaggt	gccg	tgg	tggaq	gtc t	gggg	ge gge	tcag	gtgca	gc ct	ggga	ggtc	catg	aaact	c	60
		teetg	tgtag	, tct	cagga	att c	actt	cagt	aatt	tatgg	ca to	ggtct	gggt	ccgc	caggo	:t	120
		ccaaa	gaago	gto	tggaq	g t g g	gtcg	catat	atto	gattc	tg at	eggtg	ataa	tact	tacta	ıc	180
		cgaga	ttcc	, tga	agggo	ccg a	ttca	ctato	teca	agaaa	ta at	gcaa	aaag	cacc	ctata	it	240
		ttgca	aatg	aca	gtctq	gag g	tetga	aggac	acgg	gccac	tt at	tact	gtac	aaca	gggat	t	300
		gtccg	gccct	ttc	tctat	ttg g	ggcc	aagga	gtca	atggt	ca ca	gtct	cg				348
5	<210> 62 <211> 11 <212> PF <213> Ar	2 RT															
0	<220> <223> Re	egión \	/L del	Ac 16	644 de	e rata											
	<400> 62																

		Asp 1	Val	Val	Met	Thr 5	Gln	Thr	Pro	Leu	Ser 10	Leu	Ser	Val	Ala	Ile 15	Gly
		Gln	Pro	Ala	Ser 20	Ile	Ser	Сув	Lys	Ser 25	Ser	Gln	Ser	Leu	Val 30	Gly	Ala
		Ser	Gly	Lys 35	Thr	Tyr	Leu	Tyr	Trp 40	Leu	Phe	Gln	Arg	Ser 45	Gly	Gln	Ser
		Pro	Lys 50	Arg	Leu	Ile	Tyr	Leu 55	Val	Ser	Thr	Leu	Asp 60	Ser	Gly	Ile	Pro
		Asp 65	Arg	Phe	Ser	Gly	Ser 70	Gly	Ala	Glu	Thr	Asp 75	Phe	Thr	Leu	Lys	Ile 80
		Arg	Arg	Val	Glu	Ala 85	Asp	Asp	Leu	Gly	Val 90	Tyr	Tyr	Cys	Leu	Gln 9 5	Gly
		Thr	His	Phe	Pro 100	His	Thr	Phe	Gly	Ala 105	Gly	Thr	Lys	Leu	Glu 110	Leu	Lys
5	<210> 6 <211> 3 <212> 7 <213> 7	336 ADN	al														
10	<220> <223> I <400> 6		ı VL de	el Ac ´	1644 d	e rata											
		itgtt	ntaa	taac	ccada	c to	cacto	rt ct	ttati	caatt	.a. cc	atto	taca	acca	aceto	·c	60
		ctcti		- CO				-					************				120
		attt															180
		tggaa															240
		caga															300
	ca	cacgi	tttg	gagc	tggga	с са	agct	ggaa	ctga	aa			********				336
15	<210> 6 <211> 7 <212> 1 <213> 7	116 PRT	al														
20	<220> <223> I	Región	ı VH d	el Ac	1644 c	le rata	l										
	<400> 6	64															

	Glu 1	Val	Pro	Leu	Val 5	Glu	Ser	Gly	Gly	Gly 10	Ser	Val	Gln	Pro	GLy 15	Arg
	Ser	Thr	Lys	Leu 20	Ser	Сув	Val	Val	Ser 25	Gly	Phe	Thr	Phe	Ser 30	Asn	Tyr
	Gly	Met	Val	Trp	Val	Arg	Gln	Ala	Pro	Lys	Lys	Gly	Leu	Glu	Trp	Val
			35					40					45			
	Ala	Tyr 50	Ile	Gly	Ser	Asp	G1y 55	Asp	Asn	Ile	Tyr	Tyr 60	Arg	Asp	Ser	Val
	Lys 65	Gly	Arg	Phe	Thr	Ile 70	Ser	Arg	Asn	Asn	Ala 75	Lys	Ser	Thr	Leu	Tyr 80
	Leu	Gln	Met	Asp	Ser 85	Leu	Arg	Ser	Glu	Asp 90	Thr	Ala	Thr	Tyr	Tyr 95	Сув
	Thr	Thr	Gly	Ile 100	Val	Arg	Pro	Phe	Leu 105	Tyr	Trp	Gly	Gln	Gly 110	Thr	Thr
	Val	Thr	Val 115	Ser												
<210> <211> <212> <213>	348															
<220> <223>	Región	VH de	l Ac 1	644 de	e rata											
<400>	65															
	gaggt	geege	tggt	.ggagt	ic tg	ggggc	ggc t	cagt	gcagc	ctgç	gagg	tc ca	cgaaa	ctc		60
	teetg	tgtag	toto	aggat	tt ca	ctttc	agt a	acta	tggca	tggt	ctgg	gt co	gccag	gct		120
	ccaaa	gaagg	gtct	ggagt	tg gg	tcgca	tat a	attggi	ttctg	atgo	jtgat:	aa ta	tttac	tac		180
	cgaga	ttccg	tgaa	igggto	cg at	tcact	atc t	ccag	aaata	atgo	aaaa	ag ca	cccta	tat		240
	ttgca	aatgg	acag	rtctga	ag gt	ctgag	gac a	acggc	cactt	atta	ctgt	ac aa	caggg	att		300
	gtccg	gccct	ttct	ctact	tg gg	gccaa	gga a	CCAC	ggtca	ccgt	ctcg					348
<210><211><211><212><213>	112															

<223> Región VK del Ac 1496 de rata

	<400> 66																
		Asp 1	Val	Val	Met	Thr 5	Gln	Thr	Pro	Leu	Ser 10	Leu	Ser	Val	Ala	Leu 15	Gly
		Gln	Pro	Ala	Ser 20	Ile	Ser	Cys	Lys	Ser 25	Ser	Gln	Ser	Leu	Va1 30	Gly	Ala
		Ser	Gly	Lys 35	Thr	Tyr	Leu	Tyr	Trp 40	Leu	Phe	Gln	Arg	Ser 45	Gly	Gln	Ser
		Pro	Lys 50	Arg	Leu	Ile	Tyr	Leu 55	Val	Ser	Thr	Leu	Asp 60	Ser	Gly	Ile	Pro
		Asp 65	Arg	Phe	Ser	Gly	Ser 70	Gly	Ala	Glu	Thr	Asp 75	Phe	Thr	Leu	Lys	Ile 80
		Arg	Arg	Val	Glu	Ala 85	Asp	Asp	Leu	Gly	Val 90	Tyr	Tyr	Сув	Leu	Gln 95	Gly
5		Thr	His	Phe	Pro 100	His	Thr	Phe	Gly	Ala 105	Gly	Thr	Lys	Leu	Glu 110	Leu	Lys
10	<210> 67 <211> 336 <212> AD <213> Arti	N															
	<220> <223> Reg	gión Vł	〈 del /	Ac 149	96 de	rata											
15	<400> 67																
	g	atgttq	rtga	tgaco	caga	c tc	cactg	tct	ttgto	ggtt	g cc	cttgç	jaca	acca	gooto	С	60
	a	tctctt	gca	agtca	agtc	a gaq	gcctc	gta	ggtgd	ctagt	g ga	aagad	ata	tttgl	tattg	g	120
	t	tatttc	aga	ggtco	ggcc	a gto	ctcca	aag	cgact	aatc	t at	ctggt	gtc	caca	ctgga	c	180
	te	ctggaa	ttc	ctgat	aggt	t ca	gtggc	agt	ggago	cagag	a ca	gattt	tac	tetta	aaaat	c	240
	C	gcagag	rtgg	aagco	gatg	a tti	tggga	gtt	tatta	etge	t tg	caagç	rtac	acati	ttcc	t	300
	C	acacgt	ttg	gagct	.ggga	c caa	agctg	gaa	ctgaa	ıa.							336
20	<210> 68 <211> 116 <212> PR <213> Arti	Т															
25	<220> <223> Reg	gión VI	del /	Ac 149	96 de	rata											
	<400> 68																

		Glu 1	Val	Leu	Leu	Val 5	Glu	Ser	Gly	Gly	Gly 10	Ser	Val	Gln	Pro	Gly 15	Arg
		Ser	Met	Lys	Leu 20	Ser	Cys	Val	Val	Ser 25	Gly	Phe	Thr	Phe	Ser 30	Asn	Tyr
		Gly	Met	Val 35	Trp	Val	Arg	Gln	Ala 40	Pro	Lys	Lys	Gly	Leu 45	Glu	Trp	Val
		Ala	Tyr 50	Ile	Asp	Ser	Asp	Gly 55	Asp	Asn	Thr	Tyr	Tyr 60	Arg	Asp	Ser	Val
		Lys 65	Gly	Arg	Phe	Thr	Ile 70	Ser	Arg	Asn	Asn	Ala 75	Lys	Ser	Thr	Leu	Tyr 80
		Leu	Gln	Met	Asp	Ser 85	Leu	Arg	Ser	Glu	Asp 90	Thr	Ala	Thr	Tyr	Tyr 95	Cys
		Thr	Thr	Gly	Ile 100	Val	Arg	Pro	Phe	Leu 105	Tyr	Trp	Gly	Gln	Gly 110	Thr	Met
		Val	Thr	Val 115	Ser												
5	<210> 69 <211> 34 <212> AE <213> Ar	8)N															
10	<220> <223> Re		/H de	I Ac 1	496 d	e rata											
	<400> 69																
	g	aggto	getge	tgg	tggag	gtc t	gggg	gegge	tca	gtgca	igc c	tggga	iggtc	cate	gaaac	tc	60
	t	cctgl	tgtag	tct	cagga	itt c	actti	tcagt	aat	tatgo	jca t	ggtct	gggt	ccg	ccagg	ct	120
	C	caaa	gaagg	gtc	tggag	jtg g	gtcg	catat	att	gatto	etg a	tggtç	jataa	taci	tact	ac	180
	C	gagai	ttccg	tga	agggc	ccg a	ttcad	ctato	toc	agaaa	ita a	tgcaa	aaag	Cac	cctat	at	240
	t	tgca	aatgg	aca	gtctç	gag g	tctga	aggac	acg	gccac	tt a	ttact	gtac	aaca	aggga	t t	300
	9	teeg	jecet	ttc	tctat	tg g	ggcc	aagga	acc	atggt	ca c	cgtct	.cg				348
15	<210> 70 <211> 14 <212> PF <213> Ar	RT															
20	<220> <223> ma																
	<400> 70																

Tyr Phe Asp Tyr Trp Gly Gln Gly Thr Leu Val Thr Val Ser 1 5 10

<210> 71 <211> 12 5 <212> PRT <213> Artificial <220> <223> marco 10 <400> 71 Tyr Thr Phe Gly Gln Gly Thr Lys Leu Glu Ile Lys 15 <210> 72 <211> 447 <212> PRT <213> Artificial 20 <220> <223> Cadena pesada de IgG1 de 1519gH20 (V + constante de gamma -1 humana) <400> 72

	Glu 1	Val	Pro	Leu	Val 5	Glu	Ser	Gly	Gly	Gly 10	Leu	Val	Gln	Pro	Gly 15	Gly
1	Ser	Leu	Arg	Leu 20	Ser	Cys	Ala	Val	Ser 25	Gly	Phe	Thr	Phe	Ser 30	Asn	Tyr
•	Gly	Met	Val 35	Trp	Val	Arg	Gln	Ala 40	Pro	Gly	Lys	Gly	Leu 45	Glu	Trp	Val
1	Ala	Tyr 50	Ile	Asp	Ser	Asp	Gly 55	Asp	Asn	Thr	Tyr	Tyr 60	Arg	Asp	Ser	Val
	Lys 65	Gly	Arg	Phe	Thr	Ile 70	Ser	Arg	Asp	Asn	Ala 75	Lys	Ser	Ser	Leu	Туг 80
					85	Leu	·			90				-	95	-
				100		Arg			105	-				110		
			115			Ala		120	•	•			125			
		130			_	Ser	135					140				
•	145		-	-	-	Phe 150					155			-		160
					16 5	Gly -				170					175	
	ser	GTA	тел	TYE	ser	Leu	ser	ser	val	val	Thr	vat	Pro	ser	ser	ser

			180					185					190		
Leu	Gly	Thr 195	Gln	Thr	Tyr	Ile	Cys 200	Asn	Val	Asn	His	Lys 205	Pro	Ser	Aşn
Thr	Lys 210	Val.	Asp	Lys	Lys	Val 215	Glu	Pro	Lys	Ser	Cys 220	Asp	Lys	Thr	His
Thr 225	Cys	Pro	Pro	Cys	Pro 230	Ala	Pro	Glu	Leu	Leu 235	Gly	Gly	Pro	Ser	Val 240
Phe	Leu	Phe	Pro	Pro 245	Lys	Pro	Lys	Asp	Thr 250	Leu	Met	Ile	Ser	Arg 255	Thr
Pro	Glu	Val	Thr 260	Суз	Val	Val	Val	Asp 265	Val	Ser	His	Glu	Asp 270	Pro	Glu
Val	Lys	Phe 275	Asn	Trp	Tyr	Val	Asp 280	Gly	Val	Glu	Val	His 285	Asn	Ala	Lys
Thr	Lys 290	Pro	Arg	Glu	Glu	Gln 2 95	Tyr	Asn	Ser	Thr	Tyr 300	Arg	Val	Val	Ser
Val 305	Leu	Thr	Val	Leu	His 310	Gln	Asp	Trp	Leu	Asn 315	Gly	Lys	Glu	Tyr	Lys 320
Cys	Lys	Val	Ser	Asn 325	Lys	Ala	Leu	Pro	Ala 330	Pro	Ile	Glu	Lys	Thr 335	lle
Ser	Lys	Ala	Lys 3 4 0	Gly	Gln	Pro	Arg	Glu 345	Pro	Gln	Val	Tyr	Thr 350	Leu	Pro
Pro	Ser	Arg 355	Asp	Glu	Leu	Thr	Lys 360	Asn	Gln	Val	Ser	Leu 365	Thr	Cys	Leu
Val	Lys 370	Gly	Phe	Tyr	Pro	Ser 375	Asp	Ile	Ala	Val	Glu 380	Trp	Glu	Ser	Asn
Gly 385	Gln	Pro	Glu	Asn	Asn 390	Tyr	Lys	Thr	Thr	Pro 395	Pro	Val	Leu	Asp	Ser 400
Asp	Gly	Ser	Phe	Phe 405	Leu	Tyr	Ser	Lys	Le u 4 10	Thr	Val	Asp	Lys	Ser 415	Arg
Trp	Gln	Gln	Gly 420	Asn	Val	Phe	Ser	Cys 425	Ser	Val	Met	His	Glu 430	Ala	Leu
His	Asn	His		Thr	Gli	n Ly	s Se		u Se	er L	eu S		Pro (Gly :	Lys

<211> 1947 <212> ADN <213> Artificial

5 <220>

<223> Cadena pesada de IgG1 de 1519gH20 (V + constante de gamma -1 humana con exones)

<400> 73

60 gaggtaccac ttgtggaaag cggaggaggt cttgtgcagc ctggaggaag tttacgtctc 120 tcttgtgctg tgtctggctt caccttctcc aattacggaa tggtctgggt cagacaagca cctggaaagg gtcttgaatg ggtggcctat attgactctg acggggacaa cacctactat 180 240 cgggattccg tgaaaggacg cttcacaatc tcccgagata acgccaagag ctcactgtac ctgcagatga atagcctgag agccgaggat actgccgtgt actattgcac aacgggaatc 300 360 gttaggcctt ttctgtactg gggacagggc accttggtta ctgtctcgag cgcttctaca 420 aagggcccat cggtcttccc cctggcaccc tcctccaaga gcacctctgg gggcacagcg 480 gccctgggct gcctggtcaa ggactacttc cccgaaccgg tgacggtgtc gtggaactca ggcgccctga ccagcggcgt gcacaccttc ccggctgtcc tacagtcctc aggactctac 540 600 teceteagea gegtggtgae egtgeeetee ageagettgg geacceagae etacatetge 660 aacgtgaatc acaagcccag caacaccaag gtcgacaaga aagttggtga gaggccagca 720 cagggaggga gggtgtctgc tggaagccag gctcagcgct cctgcctgga cgcatcccgg ctatgcagcc ccagtccagg gcagcaaggc aggcccgtc tgcctcttca cccggaggcc 780 840 tctgcccgcc ccactcatgc tcagggagag ggtcttctgg ctttttcccc aggctctggg caggcacagg ctaggtgccc ctaacccagg ccctgcacac aaaggggcag gtgctgggct 900 960 cagacctgcc aagagccata tccgggagga ccctgcccct gacctaagcc caccccaaag gccaaactct ccactccctc agctcggaca ccttctctcc tcccagatct gagtaactcc 1020 caatcttctc tctgcagagc ccaaatcttg tgacaaaact cacacatgcc caccgtgccc 1080 aggtaagcca gcccaggcct cgcctccag ctcaaggcgg gacaggtgcc ctagagtagc 1140 ctgcatccag ggacaggccc cagccgggtg ctgacacgtc cacctccatc tcttcctcag 1200 cacctgaact cctggggga ccgtcagtct tcctcttccc cccaaaaccc aaggacaccc 1260 tcatgatctc ccggacccct gaggtcacat gcgtggtggt ggacgtgagc cacgaagacc 1320 ctgaggtcaa gttcaactgg tacgtggacg gcgtggaggt gcataatgcc aagacaaagc 1380 cgcgggagga gcagtacaac agcacgtacc gtgtggtcag cgtcctcacc gtcctgcacc 1440 aggactggct gaatggcaag gagtacaagt gcaaggtctc caacaaagcc ctcccagccc 1500

ccatcgagaa	aaccatctcc	aaagccaaag	gtgggacccg	tggggtgcga	gggccacatg	1560
gacagaggcc	ggeteggeee	accetetgee	ctgagagtga	ccgctgtacc	aacctctgtc	1620
cctacagggc	agececgaga	accacaggtg	tacaccetge	ccccatcccg	ggatgagetg	1680
accaagaacc	aggtcagcct	gacctgcctg	gtcaaaggct	tctatcccag	cgacatcgcc	1740
gtggagtggg	agagcaatgg	gcagccggag	aacaactaca	agaccacgcc	tecegtgetg	1800
gactccgacg	gctccttctt	cctctacagc	aagctcaccg	tggacaagag	caggtggcag	1860
caggggaacg	tcttctcatg	ctccgtgatg	catgaggete	tgcacaacca	ctacacgcag	1920
aagagcctct	ccctgtctcc	gggtaaa				1947

<210> 74

<211> 2004 <212> ADN

<213> Artificial

<220>

<223> Cadena pesada de IgG1 de 1519gH20 (V + constante de gamma -1 humana) con secuencia señal

<400> 74

5

60	ccattctgag	ctacaggagt	ctgtcagtaa	tetettette	gctgggtctt	atggaatgga
120	acgtetetet	gaggaagttt	gtgcagcctg	aggaggtett	tggaaagcgg	gtaccacttg
180	acaagcacct	tctgggtcag	tacggaatgg	cttctccaat	ctggcttcac	tgtgctgtgt
240	ctactatcgg	gggacaacac	gactctgacg	ggcctatatt	ttgaatgggt	ggaaagggtc
300	actgtacctg	ccaagagctc	cgagataacg	cacaatctcc	aaggacgctt	gattccgtga
360	gggaatcgtt	attgcacaac	gccgtgtact	cgaggatact	gcctgagagc	cagatgaata
420	ttctacaaag	tetegagege	ttggttactg	acagggcacc	tgtactgggg	aggeetttte
480	cacagoggco	cctctggggg	tccaagagca	ggcaccetee	tcttccccct	ggcccatcgg
540	gaactcaggc	cggtgtcgtg	gaaccggtga	ctacttcccc	tggtcaagga	ctgggctgcc
600	actctactcc	agtoctcagg	gctgtcctac	caccttcccg	gcggcgtgca	gccctgacca
660	catctgcaac	cccagaccta	agcttgggca	gccctccagc	tggtgaccgt	ctcagcagcg
720	gccagcacag	ttggtgagag	gacaagaaag	caccaaggtc	ageceageaa	gtgaatcaca
780	atcccggcta	gcctggacgc	cagcgctcct	aagccaggct	tgtctgctgg	adadadadad
840	ggaggcetet	ctcttcaccc	ccccgtctgc	gcaaggcagg	gtccagggca	tgcagcccca
900	ctctgggcag	tttccccagg	cttctggctt	gggagagggt	ctcatgctca	gcccgcccca
960	ctgggctcag	ggggcaggtg	tgcacacaaa	acccaggccc	ggtgccccta	gcacaggcta
1020	cccaaaggcc	ctaagcccac	tgcccctgac	gggaggaccc	agccatatcc	acctgccaag
1080	taactcccaa	cagatetgag	teteteetee	teggacacet	eteceteage	aaacteteca

tettetetet	gcagagccca	aatcttgtga	caaaactcac	acatgcccac	cgtgcccagg	1140
taagccagcc	caggcctcgc	cctccagctc	aaggcgggac	aggtgcccta	gagtageetg	1200
catccaggga	caggccccag	ccgggtgctg	acacgtccac	ctccatctct	tectcageac	1260
ctgaactcct	gggggaccg	tcagtcttcc	tettecccc	aaaacccaag	gacaccctca	1320
tgatctcccg	gacccctgag	gtcacatgcg	tggtggtgga	cgtgagccac	gaagaccctg	1380
aggtcaagtt	caactggtac	gtggacggcg	tggaggtgca	taatgccaag	acaaagccgc	1440
gggaggagca	gtacaacagc	acgtaccgtg	tggtcagcgt	cctcaccgtc	ctgcaccagg	1500
actggctgaa	tggcaaggag	tacaagtgca	aggtctccaa	caaagccctc	ccagccccca	1560
togagaaaac	catctccaaa	gccaaaggtg	ggacccgtgg	ggtgcgaggg	ccacatggac	1620
agaggccggc	teggeceace	ctctgccctg	agagtgaccg	ctgtaccaac	ctctgtccct	1680
acagggcagc	cccgagaacc	acaggtgtac	accetgeece	cateceggga	tgagctgacc	1740
aagaaccagg	tcagcctgac	ctgcctggtc	aaaggcttct	ateceagega	categeegtg	1800
gagtgggaga	gcaatgggca	gccggagaac	aactacaaga	ccacgcctcc	cgtgctggac	1860
tccgacg gct	ccttcttcct	ctacagcaag	ctcaccgtgg	acaagagcag	gtggcagcag	1920
gggaacgtct	tctcatgctc	cgtgatgcat	gaggctctgc	acaaccacta	cacgcagaag	1980
agcetetece	tgtctccggg	taaa				2004

<210> 75 <211> 657

<212> ADN

<213> Artificial

<220>

<223> Cadena ligera de 1519gL20 (V + constante, expresión alternativa en mamíferos)

10 <400> 75

gatatecaga	tgacccagag	cccatctage	ttatccgctt	ccgttggtga	tegegtgaea	60
attacgtgta	agagetecea	atctctcgtg	ggtgcaagtg	gcaagaccta	totgtactgg	120
ctctttcaga	agcctggcaa	ggcaccaaaa	cggctgatct	atctggtgtc	tacccttgac	180
tctgggatac	cgtcacgatt	ttccggatct	gggagcggaa	ctgagttcac	actcacgatt	240
tcatcgctgc	aacccgagga	ctttgctacc	tactactgcc	tgcaaggcac	tcatttccct	300
cacactttcg	gccaggggac	aaaactcgaa	atcaaacgta	cggtagcggc	cccatctgtc	360
ttcatcttcc	cgccatctga	tgagcagttg	aaatctggaa	ctgcctctgt	tgtgtgcctg	420
ctgaataact	tctatcccag	agaggccaaa	gtacagtgga	aggtggataa	cgccctccaa	480
tcgggtaact	cccaggagag	tgtcacagag	caggacagca	aggacagcac	ctacagcete	540
agcagcaccc	tgacgctgag	caaagcagac	tacgagaaac	acaaagtcta	cgcctgcgaa	600
gtcacccatc	agggcctgag	ctcgcccgtc	acaaagagct	tcaacagggg	agagtgt	657

<210> 76

5

10

<211> 684

<212> ADN

<213> Artificial

<220>

<223> Cadena pesada de Fab' de 1519gH20 (V + CH1 de gamma 1 humana + bisagra, expresión en mamíferos una base cambiada de SEQ ID NO: 38)

<400> 76

gaggtaccac ttgtggaaag cggaggaggt cttgtgcagc ctggaggaag tttacgtctc 60 tcttgtgctg tgtctggctt caccttctcc aattacggaa tggtctgggt cagacaagca 120 180 cctggaaagg gtcttgaatg ggtggcctat attgactctg acggggacaa cacctactat egggatteeg tgaaaggaeg etteacaate teeegagata aegecaagag eteaetgtae 240 ctgcagatga atagectgag agecgaggat actgeegtgt actattgcac aaegggaate 300 gttaggeett ttetgtactg gggaeaggge acettggtta etgtetegag egettetaea 360 420 aagggeeeat eggtetteee eetggeacee teeteeaaga geacetetgg gggeacageg gccctgggct gcctggtcaa ggactacttc cccgaaccgg tgacggtgtc gtggaactca 480 ggcgccctga ccagcggcgt gcacaccttc ccggctgtcc tacagtcctc aggactctac 540 600 teceteagea gegtggtgae egtgeeetee ageagettgg geacceagae etacatetge 660 aacgtgaatc acaagcccag caacaccaag gtggacaaga aagttgagcc caaatcttgt 684 gacaaaactc acacatgcgc cgcg

15

<210> 77

<211> 741

<212> ADN

<213> Artificial

<220>

5

<223> Cadena pesada de Fab' de 1519gH20 con secuencia señal (expresión en mamíferos una base cambiada de SEQ ID NO: 42)

<400> 77

atggaatgga getgggtett	tctcttcttc	ctgtcagtaa	ctacaggagt	ccattctgag	60
gtaccacttg tggaaagcgg	aggaggtett	gtgcagcctg	gaggaagttt	acgtctctct	120
tgtgctgtgt ctggcttcac	cttctccaat	tacggaatgg	tctgggtcag	acaagcacct	180
ggaaagggtc ttgaatgggt	ggcctatatt	gactctgacg	gggacaacac	ctactatcgg	240
gattccgtga aaggacgctt	cacaatctcc	cgagataacg	ccaagagctc	actgtacctg	300
cagatgaata gcctgagagc	cgaggatact	gccgtgtact	attgcacaac	gggaatcgtt	360
aggeetttte tgtactgggg	acagggcacc	ttggttactg	tctcgagcgc	ttctacaaag	420
ggcccatcgg tetteccect	ggcaccctcc	tccaagagca	cctctggggg	cacageggee	480
ctgggctgcc tggtcaagga	ctacttcccc	gaaccggtga	cggtgtcgtg	gaactcaggc	540
gecetgacea geggegtgea	caccttcccg	gctgtcctac	agtectcagg	actctactcc	600
ctcagcagcg tggtgaccgt	gccctccagc	agcttgggca	cccagaccta	catctgcaac	660
gtgaatcaca agcccagcaa	caccaaggtg	gacaagaaag	ttgagcccaa	atcttgtgac	720
aaaactcaca catgcgccgc	g				741

10

<210> 78

<211> 346

<212> PRT

<213> Artificial

15

<220>

<223> Cadena ligera de FabFv de 1519gL20 (secuencia alternativa a SEQ ID NO: 46)

<400> 78

Asp 1	Ile	Gln	Met	Thr 5	Gln	Ser	Pro	Ser	Ser 10	Leu	Ser	Ala	Ser	Val 15	Gly
Asp	Arg	Val	Thr 20	Ile	Thr	Cys	Lys	Ser 25	Ser	Gln	Ser	Leu	Val 30	Gly	Ala
Ser	Gly	Lys 35	Thr	Tyr	Leu	Tyr	Trp 40	Leu	Phe	Gln	Lys	Pro 45	Gly	Lys	Ala
Pro	Lys 50	Arg	Leu	Ile	Tyr	Leu 55	Val	Ser	Thr	Leu	Asp 60	Ser	Gly	Ile	Pro
\$er 65	Arg	Phe	Ser	Gly	Ser 70	Gly	Ser	Gly	Thr	Glu 75	Phe	Thr	Leu	Thr	Ile 80
Ser	Ser	Leu	Gln	Pro 85	G1u	Asp	Phe	Ala	Thr 90	Tyr	Tyr	Cys	Leu	Gln 95	Gly
Thr	His	Phe	Pro 100	His	Thr	Phe	Gly	Gln 105	Gly	Thr	Lys	Leu	Glu 110	Ile	Lys
Arg	Thr	Val 115	Ala	Ala	Pro	Ser	Val 120	Phe	Ile	Phe	Pro	Pro 125	Ser	Asp	Glu
Gln	Leu 130	Lys	Ser	G1 y	Thr	Ala 135	Ser	Val	Val	Cys	Leu 140	Leu	Asn	Asn	Phe

Tyr Pro Arg Glu Ala Lys Val Gln Trp Lys Val Asp Asn Ala Leu Gln 145 150 155 160

	Ser	Gly	Asn	Ser	Gln 165	Glu	Ser	Val	Thr	Glu 170	Gln	Asp	Ser	Lys	Asp 175	Ser
	Thr	Tyr	Ser	Leu 180	Ser	Ser	Thr	Leu	Thr 185	Leu	Ser	Lys	Ala	Asp 190	Tyr	Glu
	Lys	His	Lys 195	Val	Tyr	Ala	Cys	Glu 200	Val	Thr	His	Gln	Gly 205	Leu	Ser	Ser
	Pro	Val 210	Thr	Lys	Ser	Phe	Asn 215	Arg	Gly	Glu	Сув	Gly 220	Gly	Gly	Gly	Ser
	Gly 225	Gly	Gly	Gly	Ser	Gly 230	Gly	Gly	Gly	Ser	Asp 235	Ile	Gln	Met	Thr	Gln 240
	Ser	Pro	Ser	Ser	Val 245	Ser	Ala	Ser	Val	Gly 250	Asp	Arg	Val	Thr	I1e 255	Thr
	Cys	Gln	Ser	Ser 260	Pro	Ser	Val	Trp	Ser 265	Asn	Phe	Leu	Ser	Trp 270	Tyr	Gln
	Gln	Lys	Pro 275	Gly	Lys	Ala	Pro	Lys 280	Leu	Leu	Ile	Tyr	Glu 285	Ala	Ser	Lys
	Leu	Thr 290	Ser	Gly	Val	Pro	Ser 295	Arg	Phe	Ser	Gly	Ser 300	Gly	Ser	Gly	Thr
	Asp 305	Phe	Thr	Leu	Thr	Ile 310	Ser	Ser	Leu	Gln	Pro 315	Glu	Asp	Phe	Ala	Thr 320
	Tyr	Tyr	Суѕ	Gly	Gly 325	Gly	Tyr	Ser	Ser	Ile 330	Ser	Asp	Thr	Thr	Phe 335	Gly
	Cys	Gly	Thr	Lys 340	Val	Glu	Ile	Lys	Arg 345	Thr						
<210> 79 <211> 10 <212> AD <213> Art	38 N															
<220> <223> Ca	dena	ligera	de Fa	hEv d	151 ما	0al 20) (sec	uencia	a alter	nativa	a SE	י חו	NO: 4	7)		
<400> 79		ngora	ao i a	.DI V U	101	ogrz	, (300	GO11016	a GILGI	iialiva	. u OL	. 	10. 4	• ,		

gacatccaga	tgacccagtc	ccctccagc	ctgtccgcct	ccgtgggcga	cagagtgacc	60
atcacatgca	agtcctccca	gtccctggtc	ggagcctccg	gcaagaccta	cctgtactgg	120
ctgttccaga	agcccggcaa	ggcccccaag	cggctgatct	acctggtgtc	taccctggac	180
teeggeatee	cctcccggtt	ctccggctct	ggetetggea	ccgagttcac	cctgaccatc	240
tecageetge	agecegagga	cttcgccacc	tactactgtc	tgcaaggcac	ccacttcccc	300
cacacetteg	gccagggcac	caagctggaa	atcaagcgga	ccgtagcggc	cccatctgtc	360
ttcatcttcc	cgccatctga	tgagcagttg	aaatctggaa	ctgcctctgt	tgtgtgcctg	420
ctgaataact	tctatcccag	agaggccaaa	gtacagtgga	aggtggataa	cgccctccaa	480
tcgggtaact	cccaggagag	tgtcacagag	caggacagca	aggacagcac	ctacagcctc	540
agcagcaccc	tgacgctgag	caaagcagac	tacgagaaac	acaaagtcta	cgcctgcgaa	600
gtcacccatc	agggcctgag	ctcgcccgtc	acaaagagct	tcaacagggg	agagtgtggt	660
ggaggtggct	ctggcggtgg	tggctccgga	ggcggaggaa	gcgacatcca	gatgacccag	720
agcccttcct	ctgtaagcgc	cagtgtcgga	gacagagtga	ctattacctg	ccaaagctcc	780
ccttcagtct	ggtccaattt	tctatcctgg	tatcagcaaa	agcccggaaa	ggctcctaaa	840
ttgctgatct	acgaagcaag	caaactcacc	agcggcgtgc	ccagcaggtt	cagcggcagt	900
gggtctggaa	ctgactttac	cctgacaatc	tcctcactcc	agcccgagga	cttcgccacc	960
tattactgcg	gtggaggtta	cagtagcata	agtgatacga	catttggatg	cggcactaaa	1020
gtggaaatca	agegtace					1038

<210> 80 <211> 1071 <212> ADN

<213> Artificial

-220

<223> Cadena pesada de FabFv de 1519gH20 (secuencia alternativa a SEQ ID NO: 51)

<400> 80

5

gaggtgcccc	tggtggaatc	tggcggcgga	ctggtgcagc	ctggcggctc	cctgagactg	60
tettgegeeg	tgtccggctt	caccttctcc	aactacggca	tggtctgggt	ccgacaggct	120
cctggcaagg	gactggaatg	ggtggcctac	atcgactccg	acggcgacaa	cacctactac	180
cgggactccg	tgaagggccg	gttcaccatc	tecegggaca	acgccaagtc	ctccctgtac	240
ctgcagatga	actccctgcg	ggccgaggac	accgccgtgt	actactgcac	caccggcatc	300
gtgcggccct	ttctgtactg	gggccagggc	accctggtca	ccgtgtcctc	tgcttctaca	360
aagggcccat	cggtcttccc	cctggcaccc	tcctccaaga	gcacctctgg	gggcacagcg	420
gccctgggct	gcctggtcaa	ggactacttc	cccgaaccgg	tgacggtgtc	gtggaactca	480
ggcgccctga	ccagcggcgt	gcacaccttc	ceggetgtee	tacagtcctc	tggactctac	540
teceteagea	gcg tggtgac	cgtgccctcc	agcagcttgg	gcacccagac	ctacatctgc	600
aacgtgaatc	acaagcccag	caacaccaag	gtggacaaga	aagttgagcc	caaatcttgt	660
teeggaggtg	acaatteeaa	aggtggcggt	acaggtggcg	ataaateeaa	agtocagotg	720
		cgtgcagccc				780
cccyaacccg	gaggeggaee	cycycayccc	ggaggcagcc	ccogocogoc	ccycyccyca	,,,,
tctggaatcg	acctgagcaa	ttacgccatc	aactgggtga	gacaggcacc	tgggaaatgc	840
ctcgaatgga	toggcattat	atgggctagt	gggacgacct	tttatgctac	atgggcgaag	900
ggtagattca	caatctcacg	ggataatagt	aagaacacag	tgtacctgca	gatgaactcc	960
ctgcgagcag	aggataccgc	cgtttactat	tgtgctcgca	ctgtcccagg	ttatagcact	1020
gcaccctact	ttgatctgtg	ggggcagggc	actctggtca	ccgtctcgtc	c	1071

<210> 81

<211> 112 <212> PRT

<213> Artificial

<223> Región VL del Ac 1548 de rata (secuencia alternativa a SEQ ID NO: 58)

10

5

<400> 81

		Asp 1	Val	Val	Met	Thr 5	Gln	Thr	Pro	Leu	Ser 10	Leu	Ser	Val	Ala	Ile 15	Gly
		Gln	Pro	Ala	Ser 20	Ile	Ser	Ser	Lys	Ser 25	Ser	Gln	Ser	Leu	Val 30	Gly	Ala
		Gly	Gly	Lys 35	Thr	Tyr	Leu	Tyr	Trp 40	Leu	Leu	Gln	Arg	Ser 45	Gly	Gln	Ser
		Pro	Lys 50	Arg	Leu	Ile	Tyr	Leu 55	Val	Ser	Thr	Leu	Asp 60	Ser	Gly	Ile	Pro
		Asp 65	Arg	Phe	Ser	Gly	Ser 70	Gly	Ala	Glu	Thr	Asp 75	Phe	Thr	Leu	Lys	Ile 80
		Arg	Arg	Val	Glu	Ala 85	Asp	Asp	Leu	Gly	Val 90	Tyr	Tyr	Cys	Leu	Gln 95	Gly
		Thr	His	Phe	Pro 100	His	Thr	Phe	Gly	Ala 105	Gly	Thr	Asn	Leu	Glu 110	Ile	Lys
5	<210><211><211><212><213>	336															
10	<220> <223>	Región	VL de	I Ac 1	548 d	e rata	(secu	encia	altern	ativa a	a SEC) ID N	O: 59)				
. •	<400>	82															
	ı	gatgtt	gtga	tgac	ccag	ac to	ccact	gtct	ttgt	cggt	tg c	cattg	gaca	acca	gcct	cc	60
		atctct	tcta	agto	aagt	ca ga	agect	cgta	ggtg	ıctgg	tg ga	aaaga	cata	tttç	rtatt.	gg	120
		ttatta	caga	ggto	cggc	ca gt	tetee	aaag	cgac	taat	ct at	tetgg	tgtc	caca	ctgg	ac	180
		tctgga	attc	ctga	tagg	tt ca	agtgg	cagt	ggag	caga	ga ca	agatt	ttac	tctt	aaaa	tc	240
		cgcaga	gtgg	aago	cgat	ga ti	ttggg	agtt	tatt	actg	ct to	gcaag	gtac	acat	tttc	ct	300
		cacacg	tttg	gago	tggg	ac ca	acct	ggaa	ataa	aa							336
15	<210><211><211><212><213>	116															
20	<220> <223>	Región	VH de	el Ac 1	548 d	e rata	(secu	ıencia	altern	ativa	a SEC	Q ID N	O: 60)			
	<400>	83															

	Glu 1	Val	Pro	Leu	Val 5	Glu	Ser	Gly	Gly	Gly 10	Ser	Val	Gln	Pro	Gly 15	Arg	
	Ser	Met	Lys	Leu 20	Ser	Cys	Val	Val	Ser 25	Gly	Phe	Thr	Phe	Ser 30	Asn	Tyr	
	Gly	Met	Val 35	Trp	Val	Arg	Gln	Ala 40	Pro	Lys	Lys	Gly	Leu 45	Glu	Trp	Val	
	Ala	Tyr 50	Ile	Gly	Ser	Asp	Gly 55	Asp	Asn	Thr	Tyr	Tyr 60	Arg	Aap	Ser	Val	
	Lys 65	Gly	Arg	Phe	Thr	Il e 70	Ser	Arg	Asn	Asn	Ala 75	Lys	Ser	Thr	Leu	Tyr 80	
	Leu	Gln	Met	Asp	Ser 85	Leu	Arg	Ser	Glu	Asp 90	Thr	Ala	Thr	Tyr	Tyr 95	Сув	
	Thr	Thr	Gly	Ile 100	Val	Arg	Pro	Phe	Leu 105	Tyr	Trp	Gly	Gln	Gly 110	Val	Met	
	Val	Thr	Val 115	Ser													
<210> 84 <211> 34 <212> AI <213> Ar	l8 ON																
<220> <223> Re	egión V	H del	Ac 15	548 de	e rata	(secu	iencia	alteri	nativa	a SE	Q ID	NO: 6	1)				
<400> 84	ļ																
ga	ggtgco	cgc t	.ggtg	gagt	c tg	gggg	cggc	tcaç	jtgca	ige e	tggg	aggt	с са	tgaa	actc		60
te	ctgtgt	tag t	.ct.ca	ggat	t ca	cttt	cagt	aact	atgg	rca t	ggtc	tggg	t cc	gcca	ggct		120
cc	aaagaa	agg g	rtctg	gagt	g gg	tege	atat	atto	gtto	tg a	tggt	gata	a ta	ctta	ctac		180
cđ	agatto	ccg t	gaag	ggcc	g at	teact	tatc	tcca	gaaa	ita a	itgca	aaaa	g ca	ccct	atat		240
	gcaaat												c aa	cagge	gatt		300
gt	ccggc	cct t	tete	tact	g gg	gcca	agga	gtca	tggt	ca c	agto	tcg					348
<210> 85 <211> 19 <212> AI <213> Ar	947 ON																
<220> <223> C cambiada					de 1	519g	H20 (V + 0	consta	ante d	le gai	mma	-1 hu	mana	con	exones	s una base
<400> 85	5																

5

10

15

20

25

60	tttacgtctc	ctggaggaag	cttgtgcagc	cggaggaggt	ttgtggaaag	gaggtaccac
120	cagacaagca	tggtctgggt	aattacggaa	caccttctcc	tgtctggctt	tettgtgetg
180	cacctactat	acggggacaa	attgactctg	ggtggcctat	gtcttgaatg	cctggaaagg
240	ctcactgtac	acgccaag ag	tcccgagata	cttcacaatc	tgaaaggacg	cggg attccg
300	aacgggaatc	actattgcac	actgccgtgt	agccgaggat	atagcctgag	ctgcagatga
360	cgcttctaca	ctgtctcgag	accttggtta	gggacagggc	ttctgtactg	gttaggcctt
420	gggcacagcg	gcacctctgg	tcctccaaga	cctggcaccc	cggtcttccc	aagggcccat
480	gtggaactca	tgacggtgtc	cccgaaccgg	ggactacttc	gcctggtcaa	gccctgggct
540	aggactctac	tacagtcctc	ccggctgtcc	gcacaccttc	ccagcggcgt	ggcgccctga
600	ctacatctgc	gcacccagac	agcagcttgg	cgtgccctcc	gcgtggtgac	tocotcagca
660	gaggccagca	aagttggtga	gtggacaaga	caacaccaag	acaagcccag	aacgtgaatc
720	cgcatcccgg	cctgcctgga	gctcagcgct	tggaagccag	gggtgtctgc	cagggaggga
780	cccggaggcc	tgcctcttca	aggccccgtc	gcagcaaggc	ccagtccagg	ctatgcagcc
840	aggetetggg	cttttcccc	ggtcttctgg	tcagggagag	ccactcatgc	tetgeeegee
900	gtgctgggct	aaaggggcag	ccctgcacac	ctaacccagg	ctaggtgccc	caggcacagg
960	caccccaaag	gacctaagcc	acatgcacat	tccgggagga	aagagccata	cagacctgcc
1020	gagtaactcc	toccagatot	ccttctctcc	agctcggaca	ccactccctc	gccaaactct
1080	caccgtgccc	cacacatgcc	tgacaaaact	ccaaatcttg	tctgcagagc	caatcttctc
1140	ctagagtagc	gacaggtgcc	ctcaaggcgg	cgccctccag	gcccaggcct	aggtaagcca
1200	tetteeteae	cacctccatc	ctgacacgtc	cancegnata	ggacaggccc	ctocatocao

cacctgaact	cctgggggga	ccgtcagtct	toctcttccc	cccaaaaccc	aaggacaccc	1260
tcatgatete	coggacccct	gaggtcacat	gcgtggtggt	ggacgtgagc	cacgaagacc	1320
ctgaggtcaa	gttcaactgg	tacgtggacg	gcgtggaggt	gcataatgcc	aagacaaagc	1380
cgcgggagga	gcagtacaac	agcacgtacc	gtgtggtcag	cgtcctcacc	gtcctgcacc	1440
aggactg gct	gaatggcaag	gagtacaagt	gcaaggtctc	caacaaagcc	ctcccagccc	1500
ccatcgagaa	aaccatctcc	aaagccaaag	gtgggacccg	tggggtgcga	gggccacatg	1560
gacagaggcc	ggeteggeee	accetetgee	ctgagagtga	ccgctgtacc	aacctctgtc	1620
cctacagggc	ageceegaga	accacaggtg	tacaccetge	ccccatcccg	ggatgagetg	1680
accaagaacc	aggtcagcct	gacctgcctg	gtcaaaggct	tctatcccag	cgacatcgcc	1740
gtggagtggg	agagcaatgg	gcagccggag	aacaactaca	agaccacgcc	tecegtgetg	1800
gactccgacg	gctccttctt	cctctacagc	aagctcaccg	tggacaagag	caggtggcag	1860
caggggaacg	tcttctcatg	ctccgtgatg	catgaggctc	tgcacaacca	ctacacgcag	1920
aagagcctct	ccctgtctcc	gggtaaa				1947

<210> 86

<211> 2004

<212> ADN

<213> Artificial

<220>

5

10

<223> Cadena pesada de IgG1 de 1519gH20 (V + constante de gamma -1 humana) con secuencia señal (una base cambiada de SEQ ID NO: 72)

<400> 86

atggaatgga	gctgggtctt	tetettette	ctgtcagtaa	ctacaggagt	ccattctgag	60
gtaccacttg	tg gaaagcgg	aggaggtett	gtgcagcctg	gaggaagttt	acgtetetet	120
tgtgctgtgt	ctggcttcac	cttctccaat	tacggaatgg	tctgggtcag	acaagcacct	180
ggaaagggtc	ttgaatgggt	ggcctatatt	gactctgacg	gggacaacac	ctactatcgg	240
gattccgtga	aaggacgctt	cacaatctcc	cgagataacg	ccaagagctc	actgtacctg	300
cagatgaata	gcctgagagc	cgaggatact	gccgtgtact	attgcacaac	gggaatcgtt	360
aggeetttte	tgtactgggg	acagggcacc	ttggttactg	tctcgagcgc	ttctacaaag	420
ggcccatcgg	tcttcccct	ggcaccctcc	tccaagagca	cctctggggg	cacagoggeo	480
ctgggctgcc	tggtcaagga	ctacttcccc	gaaccggtga	cggtgtcgtg	gaactcaggc	540
gccctgacca	gcggcgtgca	caccttcccg	gctgtcctac	agtoctcagg	actctactcc	600
ctcagcagcg	tggtgaccgt	gccctccagc	agcttgggca	cccagaccta	catctgcaac	660
gtgaatcaca	ageceageaa	caccaaggtg	gacaagaaag	ttggtgagag	gccagcacag	720
дааддаадда	tatetaetaa	aagecagget.	cagogotoct	geetggaege	ateceggeta	780

tgcagcccca	gtccagggca	gcaaggcagg	ccccgtctgc	ctcttcaccc	ggaggcctct	840
gcccgcccca	ctcatgctca	gggagagggt	cttctggctt	tttccccagg	ctctgggcag	900
gcacaggcta	ggtgccccta	acccaggccc	tgcacacaaa	ggggcaggtg	ctgggctcag	960
acctgccaag	agccatatcc	gggaggaccc	tgcccctgac	ctaagcccac	cccaaaggcc	1020
aaactctcca	ctccctcagc	tcggacacct	tctctcctcc	cagatctgag	taactcccaa	1080
tcttctctct	gcagagccca	aatcttgtga	caaaactcac	acatgcccac	cgtgcccagg	1140
taagccagcc	caggcctcgc	cctccagctc	aaggcgggac	aggtgcccta	gagtagcctg	1200
catccaggga	caggccccag	ccgggtgctg	acacgtccac	ctccatctct	tcctcagcac	1260
ctgaactcct	ggggggaccg	tcagtcttcc	tcttccccc	aaaacccaag	gacaccctca	1320
tgatctcccg	gacccctgag	gtcacatgcg	tggtggtgga	cgtgagccac	gaagaccctg	1380
aggtcaagtt	caactggtac	gtggacggcg	tggaggtgca	taatgccaag	acaaagccgc	1440
gggaggagca	gtacaacagc	acgtaccgtg	tggtcagcgt	cctcaccgtc	ctgcaccagg	1500
actggctgaa	tggcaaggag	tacaagtgca	aggtctccaa	caaagccctc	ccagccccca	1560
tcgagaaaac	catctccaaa	gccaaaggtg	ggacccgtgg	ggtgcgaggg	ccacatggac	1620
agaggccggc	tcggcccacc	ctctgccctg	agagtgaccg	ctgtaccaac	ctctgtccct	1680
acagggcagc	cccgagaacc	acaggtgtac	accctgcccc	catcccggga	tgagctgacc	1740
aagaaccagg	tcagcctgac	ctgcctggtc	aaaggcttct	atcccagcga	catcgccgtg	1800
gagtgggaga	gcaatgggca	gccggagaac	aactacaaga	ccacgcctcc	cgtgctggac	1860
tccgacggct	ccttcttcct	ctacagcaag	ctcaccgtgg	acaagagcag	gtggcagcag	1920
gggaacgtct	tctcatgctc	cgtgatgcat	gaggctctgc	acaaccacta	cacgcagaag	1980
agcctctccc	tgtctccggg	taaa				2004

<210> 87

<211> 444

<212> PRT

<213> Artificial

<220>

5

10

<223> Cadena pesada de IgG4 de 1519gH20 (V + constante de gamma -4 humana sin mutaciones P)

<400> 87

Glu Val Pro Leu Val Glu Ser Gly Gly Gly Leu Val Gln Pro Gly Gly 1 5 10 15

Ser Leu Arg Leu Ser Cys Ala Val Ser Gly Phe Thr Phe Ser Asn Tyr 20 25 30

Gly	Met	Val 35	Trp	Val	Arg	Gln	Ala 40	Pro	Gly	Lys	Gly	Leu 45	G1u	Trp	Val
Ala	Tyr 50	Ile	Asp	Ser	Asp	Gly 55	Asp	Asn	Thr	Tyr	Tyr 60	Arg	Asp	Ser	Val
Lys 65	Gly	Arg	Phe	Thr	Ile 70	Ser	Arg	Asp	Asn	Ala 75	Lys	Ser	Ser	Leu	Tyr 80
Leu	Gln	Met	Asn	Ser 85	Leu	Arg	Ala	Glu	Asp 90	Thr	Ala	Val	Tyr	Tyr 95	Cys
Thr	Thr	Gly	Ile 100	Val	Arg	Pro	Phe	Leu 105	Tyr	Trp	Gly	Gln	Gly 110	Thr	Leu
Val	Thr	Val 115	Ser	Ser	Ala	Ser	Thr 120	Lys	Gly	Pro	Ser	Val 125	Phe	Pro	Leu
Ala	Pro 130	Cys	Ser	Arg	Ser	Thr 135	Ser	Glu	Ser	Thr	Ala 140	Ala	Leu	Gly	Сув
Leu 145	Val	Lys	Asp	Туг	Phe 150	Pro	Glu	Pro	Val	Thr 155	Val	Ser	Trp	Asn	Ser 160
Gly	Ala	Leu	Thr	Ser 165	Gly	Val	His	Thr	Phe 170	Pro	Ala	Val	Leu	Gln 175	Ser
Ser	Gly	Leu	Tyr 180	Ser	Leu	Ser	Ser	Val 185	Val	Thr	Val	Pro	Ser 190	Ser	Ser
Leu	Gly	Thr 195	Lys	Thr	Tyr	Thr	Сув 200	Asn	Val	Asp	His	Lys 205	Pro	Ser	Asn
Thr	Lys 210	Val	Asp	Lys	Arg	Val 215	Glu	Ser	Lys	Туг	Gly 220	Pro	Pro	Суз	Pro
Ser 225	Сув	Pro	Ala	Pro	Glu 230	Phe	Leu	Gly	Gly	Pro 235	Ser	Val	Phe	Leu	Phe 240
Pro	Pro	Lys	Pro	Lys 245	Asp	Thr	Leu	Met	Ile 250	Ser	Arg	Thr	Pro	Glu 255	Val
Thr	Cys	Val	Val 260	Val	Asp	Val	Ser	G1n 265	Glu	Asp	Pro	Glu	Val 270	Gln	Phe
Asn	Trp	Tyr 275	Val	Asp	Gly	Val	Glu 280	Val	His	As n	Ala	Lys 285	Thr	Lys	Pro

	Arg	2 90	GIU	GIN	Pne	Asn	295	rnr	Tyr	Arg	val	300	ser	vaı	ren	Thr	
	Val 305		His	Gln	Asp	Trp 310	Leu	Asn	Gly	Lys	Glu 315	Tyr	Lys	Cys	Lys	Val 320	
	Ser	Asn	Lys	Gly	Leu 325	Pro	Ser	Ser	Ile	Glu 330	Lys	Thr	Ile	Ser	Lys 335	Ala	
	Lys	Gly	Gln	Pro 340	Arg	Glu	Pro	Gln	Val 345	Tyr	Thr	Leu	Pro	Pro 350	Ser	Gln	
	Glu	Glu	Met 355	Thr	Lys	Asn	Gln	Val 360	Ser	Leu	Thr	Сув	Leu 365	Val	Lys	G1y	
	Phe	Tyr 370	Pro	Ser	Asp	Ile	Ala 375	V al	Glu	Trp	Glu	Ser 380	Asn	Gl y	Gln	Pro	
	Glu 385		Asn	Tyr	Lys	Thr 390	Thr	Pro	Pro	Val	Leu 395	Asp	Ser	Asp	Gly	Ser 400	
	Phe	Phe	Leu	Tyr	Ser 405	Arg	Leu	Thr	Val	Asp 410	Lys	Ser	Arg	Trp	Gln 415	Glu	
	Gly	Asn	Val	Phe 420	Ser	Cys	Ser	Val	Met 425	His	Glu	Ala	Leu	His 430	Asn	His	
	Tyr	Thr	Gln 435	Lys	Ser	Leu	Ser	Leu 440	Ser	Leu	Gly	Lys					
<210> 8 <211> 9 <212> 8 <213> 8	1939																
<220> <223> P)	Cadena p	oesad	a de l	gG4 c	de 151	19gH2	.0 (V +	+ cons	stante	de ga	amma	-4 hu	mana	con e	exone	s sin n	nutaciones
<400> 8	38																
	gaggta	ccac	ttgt	ggaaa	ag co	gagg	aggt	cttg	tgcaq	gc ct	ggag	gaag	ttta	cgtc	tc	6	50
	tettgt	gctg	tgtc	tggcl	tt ca	cctt	ctcc	aatt	scāda	aa to	gtct	gggt	caga	caag	ca	12	: 0
	cctgga	aagg	gtct	tgaat	tg gg	tggc	ctat	attg	actct	tg ac	gggg	acaa	cacc	tact	at	18	30
	cgggat	teeg	tgaa	aggad	cg ct	tcac	aatc	tccc	gagat	ta ac	gcca	agag	ctca	ctgt	ac	24	10
	ctgcag	atga	atag	cctga	ag ag	ccga	ggat	actg	ccgtq	gt ac	tatt	gcac	aacg	ggaat	tc	30	0

5

10

gttaggcctt ttctgtactg gggacagggc accttggtta ctgtctcgag cgcttctaca

360

aagggcccat	ccgtcttccc	cctggcgccc	tgctccagga	gcacctccga	gagcacagcc	420
gccctgggct	gcctggtcaa	ggactacttc	cccgaaccgg	tgacggtgtc	gtggaactca	480
ggcgccctga	ccagcggcgt	gcacaccttc	ccggctgtcc	tacagtcctc	aggactctac	540
teceteagea	gcgtggtgac	cgtgccctcc	agcagcttgg	gcacgaagac	ctacacctgc	600
aacgtagatc	acaagcccag	caacaccaag	gtggacaaga	gagttggtga	gaggccagca	660
cagggaggga	gggtgtctgc	tggaagccag	gctcagccct	cctgcctgga	cgcaccccgg	720
ctgtgcagcc	ccagcccagg	gcagcaaggc	atgccccatc	tgtctcctca	cccggaggcc	780
tctgaccacc	ccactcatgc	ccagggagag	ggtcttctgg	atttttccac	caggeteegg	840
gcagccacag	gctggatgcc	cctaccccag	gccctgcgca	tacaggggca	ggtgctgcgc	900
tcagacctgc	caagagccat	atccgggagg	accetgeece	tgacctaagc	ccaccccaaa	960
ggccaaactc	tccactccct	cagctcagac	accttctctc	ctcccagatc	tgagtaactc	1020
ccaatcttct	ctctgcagag	tccaaatatg	gtcccccatg	cccatcatgc	ccaggtaagc	1080
caacccaggc	ctcgccctcc	agctcaaggc	gggacaggtg	ccctagagta	gcctgcatcc	1140
agggacaggc	cccagccggg	tgctgacgca	tccacctcca	tctcttcctc	agcacctgag	1200
ttcctggggg	gaccatcagt	cttcctgttc	ccccaaaac	ccaaggacac	tctcatgatc	1260
tcccggaccc	ctgaggtcac	gtgcgtggtg	gtggacgtga	gccaggaaga	ccccgaggtc	1320
cagttcaact	ggtacgtgga	tggcgtggag	gtgcataatg	ccaagacaaa	gccgcgggag	1380
gagcagttca	acagcacgta	ccgtgtggtc	agcgtcctca	ccgtcctgca	ccaggactgg	1440
ctgaacggca	aggagtacaa	gtgcaaggtc	tccaacaaag	gcctcccgtc	ctccatcgag	1500
aaaaccatct	ccaaagccaa	aggtgggacc	cacggggtgc	gagggccaca	tggacagagg	1560
tcagctcggc	ccaccctctg	ccctgggagt	gaccgctgtg	ccaacctctg	tccctacagg	1620
gcagccccga	gagccacagg	tgtacaccct	gccccatcc	caggaggaga	tgaccaagaa	1680
ccaggtcagc	ctgacctgcc	tggtcaaagg	cttctacccc	agcgacatcg	ccgtggagtg	1740
ggagagcaat	gggcagccgg	agaacaacta	caagaccacg	cctcccgtgc	tggactccga	1800
cggctccttc	ttcctctaca	gcaggctaac	cgtggacaag	agcaggtggc	aggaggggaa	1860
tgtcttctca	tgctccgtga	tgcatgaggc	tctgcacaac	cactacacac	agaagagcct	1920
ctccctgtct	ctgggtaaa					1939

<210> 89

<211> 1996

<212> ADN

<213> Artificial

<220>

5

10

<223> Cadena pesada de IgG4 de 1519gH20 (V + constante de gamma -4 humana) con secuencia señal - sin mutación P

<400> 89

6	ccattctgag	ctacaggagt	ctgtcagtaa	tetettette	gctgggtctt	atggaatgga
12	acgtctctct	gaggaagttt	gtgcagcctg	aggaggtctt	tggaaagcgg	gtaccacttg
18	acaagcacct	tctgggtcag	tacggaatgg	cttctccaat	ctggcttcac	tgtgctgtgt
24	ctactatcgg	gggacaacac	gactctgacg	ggcctatatt	ttgaatgggt	ggaaagggtc
30	actgtacctg	ccaagagctc	cgagataacg	cacaatctcc	aaggacgctt	gattccgtga
36	gggaatcgtt	attgcacaac	gccgtgtact	cgaggatact	gcctgagagc	cagatgaata
42	ttctacaaag	tctcgagcgc	ttggttactg	acagggcacc	tgtactgggg	aggccttttc
48	cacagoogoo	cctccgagag	tccaggagca	ggcgccctgc	tettecceet	ggcccatccg
54	gaactcaggc	cggtgtcgtg	gaaccggtga	ctacttcccc	tggtcaagga	ctgggctgcc
60	actctactcc	agtcctcagg	gctgtcctac	caccttcccg	gcggcgtgca	gccctgacca
66	cacctgcaac	cgaagaccta	agcttgggca	gccctccagc	tggtgaccgt	ctcagcagcg
72	gccagcacag	ttggtgagag	gacaagagag	caccaaggtg	agcccagcaa	gtagatcaca
78	accccggctg	gcctggacgc	cagccctcct	aagccaggct	tgtctgctgg	ggagggaggg
84	ggaggcctct	ctcctcaccc	ccccatctgt	gcaaggcatg	gcccagggca	tgcagcccca
90	gctccgggca	tttccaccag	cttctggatt	gggagagggt	ctcatgccca	gaccacccca
96	gctgcgctca	aggggcaggt	ctgcgcatac	accccaggcc	ggatgcccct	gccacaggct
102	ccccaaaggc	cctaagccca	ctgcccctga	cgggaggacc	gagccatatc	gacctgccaa
108	gtaactccca	ccagatctga	ttctctcctc	ctcagacacc	actccctcag	caaactctcc
114	ggtaagccaa	atcatgccca	ccccatgccc	aaatatggtc	tgcagagtcc	atcttctctc
120	tgcatccagg	tagagtagcc	acaggtgccc	tcaaggcggg	gccctccagc	cccaggcctc
126	acctgagttc	cttcctcagc	acctccatct	tgacgcatcc	agccgggtgc	gacaggcccc
132	catgatetee	aggacactct	ccaaaaccca	cctgttcccc	catcagtctt	ctggggggac
138	cgaggtccag	aggaagaccc	gacgtgagcc	cgtggtggtg	aggtcacgtg	eggacecetg
144	gcgggaggag	agacaaagcc	cataatgcca	cgtggaggtg	acgtggatgg	ttcaactggt
150	ggactggctg	tcctgcacca	gtcctcaccg	tgtggtcagc	gcacgtaccg	cagttcaaca
156	catcgagaaa	tecegteete	aacaaaggcc	caaggtctcc	agtacaagtg	aacggcaagg
162	acagaggtca	ggccacatgg	ggggtgcgag	tgggacccac	aagccaaagg	accatctcca
168	ctacagggca	acctctgtcc	cgctgtgcca	tgggagtgac	ccctctgccc	gctcggccca
174	ccaagaacca	gaggagatga	cccatcccag	acaccctgcc	ccacaggtgt	gccccgagag
180	tggagtggga	gacatcgccg	ctaccccagc	tcaaaggctt	acctgcctgg	ggtcagcctg
186	actoccacco	cccatactaa	gaccacgcct	acaactacaa	canconnana	rancaatoro

	ctccttcttc ctctacagca ggctaaccgt ggacaagagc aggtggcagg aggggaatgt	1920
	cttctcatgc tccgtgatgc atgaggctct gcacaaccac tacacacaga agagcctctc	1980
	cctgtctctg ggtaaa	1996
5	<210> 90 <211> 336 <212> ADN <213> Artificial	
10	<220> <223> Región V de 1519gL20 (expresión en mamíferos alternativa a la SEQ ID NO: 17)	
10	<400> 90	
	gacatecaga tgacccagte eceetecage etgteegeet eegtgggega eagagtgace	60
	atcacatgca agtoctocca gtocotggto ggagootocg gcaagacota cotgtactgg	120
	ctgttccaga agcccggcaa ggcccccaag cggctgatct acctggtgtc taccctggac	180
	tecggeatee ceteceggtt etecggetet ggetetggea eegagtteae eetgaceate	240
	tecageetge agecegagga ettegecace tactactgte tgcaaggeae ecaetteece	300
	cacaccttcg gccagggcac caagctggaa atcaag	336
15	<210> 91 <211> 657 <212> ADN <213> Artificial	
20	<220> <223> Cadena ligera de 1519gL20 (V + constante, expresión en mamíferos) alternativa a la SEQ	D NO: 24)
	<400> 91	
	gacatecaga tgacecagte ecectecage etgteegeet eegtgggega eagagtgace	60
	atcacatgca agtectecca gtecetggte ggagectecg geaagaceta eetgtactgg	.20
	ctgttccaga agcccggcaa ggcccccaag cggctgatct acctggtgtc taccctggac	.80
	teeggeatee ceteceggtt eteeggetet ggetetggea eegagtteac eetgaceate	240
	tocagoctgc agoccgagga ottogccaco tactactgto tgcaaggcac ccacttoccc	800
	cacaccttcg gccagggcac caagctggaa atcaagcgga ccgtggccgc tccctccgtg	860
	ttcatcttcc caccctccga cgagcagctg aagtccggca ccgcctccgt cgtgtgcctg	120
	ctgaacaact tctacccccg cgaggccaag gtgcagtgga aggtggacaa cgccctgcag	180
	teeggeaact eccaggaate egteacegag caggaeteea aggacageac etacteeetg	340
	tectecacee tgaccetgte caaggeegae tacgagaage acaaggtgta egeetgegaa	500

<210> 92 <211> 348

<212> ADN <213> Artificial 5 <223> Región V de 1519gH20 (expresión en mamíferos alternativa a la SEQ ID NO: 31) <400> 92 60 gaggtgcccc tggtggaatc tggcggcgga ctggtgcagc ctggcggctc cctgagactg tettgegeeg tgteeggett cacettetee aactaeggea tggtetgggt eegacagget 120 180 cctggcaagg gactggaatg ggtggcctac atcgactccg acggcgacaa cacctactac cgggactccg tgaagggccg gttcaccatc tcccgggaca acgccaagtc ctccctgtac 240 300 ctgcagatga actccctgcg ggccgaggac accgccgtgt actactgcac caccggcatc 348 gtgcggccct ttctgtactg gggccagggc accctggtca ccgtgtcc 10 <210> 93 <211> 1332 <212> ADN <213> Artificial 15 <223> Cadena pesada de IgG4 de 1519gH20 (V + constante de gamma 4P humana alternativa a la SEQ ID NO: 44) <400> 93 20 gaggtgeecc tggtggaate tggeggegga etggtgeage etggeggete eetgagaetg 60 tettgegeeg tgteeggett eaecttetee aactaeggea tggtetgggt eegacagget 120 180 cctggcaagg gactggaatg ggtggcctac atcgactccg acggcgacaa cacctactac egggacteeg tgaagggeeg gtteaceate teeegggaca acgeeaagte eteeetgtae 240 300 ctgcagatga actccctgcg ggccgaggac accgccgtgt actactgcac caccggcatc gtgcggccct ttctgtactg gggccagggc accetggtca ccgtgtcctc tgcctccacc 360 aagggeeet eegtgtteee tetggeeeet tgeteeeggt eeaceteega gtetaeegee 420 480 getetggget geetggteaa ggaetaette eeegageeeg tgaeagtgte etggaactet 540 ggegeeetga ceteeggegt geacacette cetgeegtge tgeagteete eggeetgtae 600 tecetgteet eegtegtgae egtgeeetee tecageetgg geaccaagae etacacetgt

aacgtggacc acaagccctc caacaccaag gtggacaagc gggtggaatc taagtacggc

cetecetgee ecceetgee tgeecetgaa tttetgggeg gaeetteegt gtteetgtte

cccccaaagc ccaaggacac cctgatgatc tcccggaccc ccgaagtgac ctgcgtggtg

660

720

780

agcctgggca	ag					1332
tactgatacg	tgatgcacga	ggccctgcac	aaccactaca	cccagaagtc	cctgtccctg	1320
ttcttcctgt	actctcggct	gaccgtggac	aagtcccggt	ggcaggaagg	caacgtcttc	1260
aacggccagc	ccgagaacaa	ctacaagacc	acccccctg	tgctggacag	cgacggctcc	1200
tccctgacct	gtctggtcaa	gggcttctac	ccctccgaca	ttgccgtgga	atgggagtcc	1140
cgcgagcccc	aggtgtacac	cctgccccct	agccaggaag	agatgaccaa	gaaccaggtg	1080
tccaacaagg	gcctgccctc	cagcatcgaa	aagaccatct	ccaaggccaa	gggccagccc	1020
tccgtgctga	ccgtgctgca	ccaggactgg	ctgaacggca	aagagtacaa	gtgcaaggtg	960
gtgcacaatg	ccaagaccaa	gcccagagag	gaacagttca	actccaccta	ccgggtggtg	900
gtggacgtgt	cccaggaaga	tcccgaggtc	cagttcaatt	ggtacgtgga	cggcgtggaa	840

<210> 94

<211> 267

<212> PRT

<213> Artificial

<220>

<223> Secuencia extracelular de la cadena alfa de FcRn

10 <400> 94

Ala Glu Ser His Leu Ser Leu Leu Tyr His Leu Thr Ala Val Ser Ser 1 10 15

Pro Ala Pro Gly Thr Pro Ala Phe Trp Val Ser Gly Trp Leu Gly Pro 20 25 30

Gln Gln Tyr Leu Ser Tyr Asn Ser Leu Arg Gly Glu Ala Glu Pro Cys 35 40 45

Gly Ala Trp Val Trp Glu Asn Gln Val Ser Trp Tyr Trp Glu Lys Glu 50 60

Thr Thr Asp Leu Arg Ile Lys Glu Lys Leu Phe Leu Glu Ala Phe Lys 65 70 75 80

Ala Leu Gly Gly Lys Gly Pro Tyr Thr Leu Gln Gly Leu Leu Gly Cys 85 90 95

Glu Leu Gly Pro Asp Asn Thr Ser Val Pro Thr Ala Lys Phe Ala Leu 100 105 110

Asn Gly Glu Glu Phe Met Asn Phe Asp Leu Lys Gln Gly Thr Trp Gly 115 120 125

	GJ	_	130	Trp	Pro	Glu	АТА	135	Ala	Ile	Ser	GIn	Arg 140	Trp	GIN	GIN	GL	n
		sp : 15	Lys	Ala	Ala	. A sn	Lys 150	Glu	Leu	Thr	Phe	Leu 155	Leu	Phe	Ser	Cys	Pr	
	Hi	is	Arg	Leu	Arg	Glu 165	His	Leu	Glu	Arg	Gl y 170	Arg	Gly	Asn	Leu	Glu 175		P
	L	78 (Glu	Pro	Pro 180		Met	Arg	Leu	Lys 185	Ala	Arg	Pro	Ser	Ser 190	Pro	Gl	y
	Pì	ne i	Ser	Val 195		Thr	Cys	Ser	Ala 200	Phe	Ser	Phe	Tyr	Pro 205	Pro	Glu	Le	u
	G]		Leu 210	Arg	Phe	Leu	Arg	Asn 215	Gly	Leu	Ala	Ala	Gly 220	Thr	Gly	Gln	Gl	У
		sp : 25	Phe	Gly	Pro	Asn	Ser 230	qsA	Gly	Ser	Phe	His 235	Ala	Ser	Ser	Ser	Le ¹	
	Tì	ır '	Val	Lys	Ser	Gly 245	Asp	Glu	His	His	Tyr 250	Cys	Cys	Ile	Val	Gln 255		B
	A)	La	Gly	Leu	Ala 260		Pro	Leu	Arg	Val 265	Glu	Leu	Glu	Ser	Pro 270	Ala	Ly	s
	Se	er	Ser															
		o sa _l	piens	3														
400>	95																	
	Ile 1	Gl	n L	ys '	Thr	Pro 5	Gln	Ile	Gln	Val	Tyr 10	Sei	r Ar	g Hi	s Pi	_	ro 5	Glu
	Asn	Gl	у L	_	Pro 20	Asn	Phe	Leu	Asn	Cys 25	Tyr	· Val	L Se	r Gl	n Pl 30		is	Pro
	Pro	Gl	_	le (5	Glu	Ile	Glu	Leu	Leu 40	Lys	Asn	Gly	/ Ly	s Ly 45		Le P	ro	Asn
	Ile	G1 50		et	Ser	Asp	Leu	Ser 55	Phe	Ser	Lys	Asp	Tr ₁	o Se	r Pl	ne T	yr	Ile

Leu Ala His Thr Glu Phe Thr Pro Thr Glu Thr Asp Val Tyr Ala Cys 65 70 75 80

Arg Asp Met

REIVINDICACIONES

1. Un anticuerpo anti-FcRn o fragmento de unión a FcRn del mismo que tiene una cadena pesada que comprende la secuencia dada en la SEQ ID NO: 29 y una cadena ligera que comprende la secuencia dada en la SEQ ID NO: 15

5

35

- 2. Un anticuerpo anti-FcRn o fragmento de unión a FcRn del mismo de acuerdo con la reivindicación 1, en donde el anticuerpo es un fragmento scFv, Fv, Fab o Fab'.
- 3. Un fragmento Fab' de anticuerpo anti-FcRn de acuerdo con la reivindicación 2, que tiene una cadena pesada que comprende la secuencia dada en la SEQ ID NO: 36 y una cadena ligera que comprende la secuencia dada en la SEQ ID NO: 22.
- Un anticuerpo anti-FcRn o fragmento de unión a FcRn del mismo de acuerdo con una cualquiera de las reivindicaciones 1 a 3, en donde el anticuerpo o fragmento de unión se conjuga a un polímero, por ejemplo,
 seleccionado de almidón, albúmina y polietilenglicol.
 - 5. Un anticuerpo anti-FcRn o fragmento de unión a FcRn del mismo de acuerdo con la reivindicación 4, en donde el polímero es PEG, por ejemplo, con un peso molecular en el intervalo de 5 Da a 50 kDa.
- 20 6. Un anticuerpo anti-FcRn de acuerdo con la reivindicación 1, en donde el anticuerpo es un anticuerpo de longitud completa, opcionalmente, en donde el anticuerpo de longitud completa se selecciona del grupo que consiste en una IgG1, IgG4 e IgG4P.
- 7. Un anticuerpo anti-FcRn de acuerdo con la reivindicación 6, que tiene una cadena pesada que comprende la secuencia dada en la SEQ ID NO: 72 o SEQ ID NO: 87 o SEQ ID NO: 43 y una cadena ligera que comprende la secuencia dada en la SEQ ID NO: 22.
- 8. Un anticuerpo anti-FcRn o fragmento de unión a FcRn del mismo de acuerdo con la reivindicación 1, en donde el anticuerpo o fragmento de unión a FcRn del mismo es un Fab-dsFv que tiene una cadena pesada que comprende la secuencia dada en la SEQ ID NO: 50 y una cadena ligera que comprende la secuencia dada en la SEQ ID NO: 46 o SEQ ID NO: 78.
 - 9. Un anticuerpo anti-FcRn o fragmento de unión a FcRn del mismo de acuerdo con una cualquiera de las reivindicaciones 1 a 8, que inhibe la unión de IgG humana a FcRn humano.
 - 10. Un anticuerpo anti-FcRn o fragmento de unión a FcRn del mismo de acuerdo con una cualquiera de las reivindicaciones 1 a 9, que no se une a β2 microglobulina.
- 11. Una secuencia de ADN aislada que codifica la(s) cadena(s) pesada y ligera de un anticuerpo de acuerdo con una cualquiera de las reivindicaciones 1 a 10.
 - 12. Un vector de clonación o de expresión que comprende una o más secuencias de ADN de acuerdo con la reivindicación 11.
- 45 13. Un vector de acuerdo con la reivindicación 12, en donde el vector comprende (i) la secuencia dada en la SEQ ID NO: 37 y la secuencia dada en la SEQ ID NO: 23 o (ii) la secuencia dada en la SEQ ID NO: 80 y la secuencia dada en la SEQ ID NO: 79 o (iii) la secuencia dada en la SEQ ID NO: 93 y la secuencia dada en la SEQ ID NO: 91.
- 14. Una célula hospedadora para la expresión de un anticuerpo de acuerdo con una cualquiera de las reivindicaciones 1 a 10 que comprende:
 - i) una secuencia de ADN que codifica la cadena pesada de dicho anticuerpo, y
 - ii) una secuencia de ADN que codifica la cadena ligera de dicho anticuerpo
- 55 en donde las secuencias de ADN se proporcionan en uno o más vectores de clonación o de expresión.
 - 15. Una célula hospedadora de acuerdo con la reivindicación 14 que comprende uno o más vectores de clonación o de expresión de acuerdo con la reivindicación 13.
- 16. Una composición farmacéutica que comprende un anticuerpo anti-FcRn o fragmento de unión a FcRn del mismo como se define en una cualquiera de las reivindicaciones 1 a 10 en combinación con uno o más de un excipiente, diluyente o vehículo farmacéuticamente aceptable.
- 17. Una composición farmacéutica de acuerdo con la reivindicación 16, que comprende adicionalmente otros principios activos.

- 18. Un anticuerpo o fragmento de unión a FcRn del mismo como se define en una cualquiera de las reivindicaciones 1 a 10 o una composición como se define en la reivindicación 16 o 17 para su uso en terapia.
- 19. Un anticuerpo o fragmento de unión a FcRn del mismo como se define en una cualquiera de las reivindicaciones 1 a 10 o una composición como se define en la reivindicación 16 o 17, para su uso en el tratamiento de una enfermedad autoinmunitaria, tal como miastenia grave, pénfigo vulgar, neuromielitis óptica, síndrome de Guillain-Barre, lupus y púrpura trombocitopénica trombótica.
- 20. Un anticuerpo o fragmento de unión a FcRn del mismo como se define en una cualquiera de las reivindicaciones 10 1 a 10 o una composición como se define en la reivindicación 16 o 17, para su uso en el tratamiento de CIDP, polineuropatía para-proteinémica, epilepsia refractaria, ITP/TTP, anemia hemolítica, síndrome de Goodpasture, desapareamiento ABO, nefritis por lupus, vasculitis renal, esclerodermia, alveolitis fibrosante, miocardiopatía dilatada, enfermedad de Grave, diabetes de tipo 1, diabetes autoinmunitaria, Pénfigo, vasculitis asociadas con anticuerpos ANCA, dermato-miositis, enfermedad de Sjogren y artritis reumatoide.

15

FIGURA 1

Secuencias del Ac CA170 1519

CDRH1

GFTFSNYGMV SEQ ID NO: 1

CDRH2

YIDSDGDNTYYRDSVKG SEQ ID NO: 2

CDRH3

GIVRPFLY SEQ ID NO: 3

CDRL1

KSSQSLVGASGKTYLY SEQ ID NO: 4

CDRL2

LVSTLDS SEQ ID NO: 5

CDRL3

LOGTHFPHT SEO ID NO: 6

Región VL del Ac 1519 de Rata SEQ ID NO: 7

DVVMTQTPLS LSVALGQPAS ISCKSSQSLV GASGKTYLYW LFQRSGQSPK RLIYLVSTLD SGIPDRFSGS GAETDFTLKI RRVEADDLGV YYCLQGTHFP HTFGAGTKLE LK

Región VL del Ac 1519 de Rata SEQ ID NO: 8

Región VL del Ac 1519 de Rata con secuencia señal subrayada y en cursiva SEQ ID NO: 9

MMSPAQFLFL LMLWIQGTSG DVVMTQTPLS LSVALGQPAS ISCKSSQSLV GASGKTYLYW LFQRSGQSPK RLIYLVSTLD SGIPDRFSGS GAETDFTLKI RRVEADDLGV YYCLOGTHFP HTFGAGTKLE LK

FIGURA 1A

```
Región VL del Ac 1519 de Rata con secuencia señal subrayada y en cursiva
                                                    SEQ ID NO: 10
  atgatgagtc ctgcccagtt cctgtttctg ctgatgctct ggattcaggg
  aaccagtggt gatgttgtga tgacccagac tccactgtct ttgtcggttg
  ggtgctagtg gaaagacata tttgtattgg ttatttcaga ggtccggcca
  gtctccaaag cgactaatct atctggtgtc cacactggac tctggaattc
  ctgataggtt cagtggcagt ggagcagaga cagattttac tcttaaaatc
  cqcaqaqtqq aaqccqatqa tttqqqaqtt tattactqct tqcaaqqtac
  acattttcct cacacgtttg gagctgggac caagctggaa ttgaaa
Región VH del Ac 1519 de Rata SEQ ID NO: 11
  EVPLVESGGG SVQPGRSMKL SCVVSGFTFS NYGMVWVRQA PKKGLEWVAY
  IDSDGDNTYY RDSVKGRFTI SRNNAKSTLY LOMDSLRSED TATYYCTTGI
  VRPFLYWGQG TTVTVS
Región VH del Ac 1519 de Rata SEQ ID NO: 12
  gaggtgccgc tggtggagtc tgggggcggc tcagtgcagc ctgggaggtc
  catqaaactc tcctqtqtaq tctcaqqatt cactttcaqt aattatqqca
  tggtctgggt ccgccaggct ccaaagaagg gtctggagtg ggtcgcatat
  attgattctg atggtgataa tacttactac cgagattccg tgaagggccg
  attcactatc tccagaaata atgcaaaaag caccctatat ttgcaaatgg
  acagtetgag gtetgaggae acggeeactt attactgtae aacagggatt
  gtccggccct ttctctattg gggccaagga accacggtca ccgtctcg
 Región VH del Ac 1519 de Rata con secuencia señal subrayada y en cursiva
                                                   SEQ ID NO: 13
  MDISLSLAFL VLFIKGVRCE VPLVESGGGS VQPGRSMKLS CVVSGFTFSN
  YGMVWVRQAP KKGLEWVAYI DSDGDNTYYR DSVKGRFTIS RNNAKSTLYL
  QMDSLRSEDT ATYYCTTGIV RPFLYWGQGT TVTVS
 Región VH del Ac 1519 de Rata con secuencia señal subrayada y en cursiva SEQ ID NO: 14
  atggacatca gtctcagctt ggctttcctt gtccttttca taaaaggtgt
  ccggtgtgag gtgccgctgg tggagtctgg gggcggctca gtgcagcctg
  ggaggtccat gaaactctcc tgtgtagtct caggattcac tttcagtaat
  tatggcatgg tctgggtccg ccaggctcca aagaagggtc tggagtgggt
  cgcatatatt gattctgatg gtgataatac ttactaccga gattccgtga
  agggccgatt cactatctcc agaaataatg caaaaagcac cctatatttg
  caaatggaca gtctgaggtc tgaggacacg gccacttatt actgtacaac
  agggattgtc cggccctttc tctattgggg ccaaggaacc acggtcaccg
  tctcg
```

FIGURA 1B

Región V de 1519 gL20 SEQ ID NO: 15

DIQMTQSPSS LSASVGDRVT ITCKSSQSLV GASGKTYLYW LFQKPGKAPK RLIYLVSTLD SGIPSRFSGS GSGTEFTLTI SSLQPEDFAT YYCLQGTHFP HTFGQGTKLE IK Región V de 1519 gL20 (expresión en E.coli) SEQ ID NO: 16 gatatccaga tgacccagag tccaagcagt ctctccgcca gcgtaggcga tcgtgtgact attacctgta aaagctccca gtccctggtg ggtgcaagcg gcaaaaccta cctgtactgg ctcttccaga aaccgggcaa agctccgaaa cgcctgatct atctggtgtc taccctggat agcggtattc cgtctcgttt ctccqqtaqc qqtaqcqqta ccqaattcac qctqaccatt aqctccctcc agecggagga etttgetace tattactgee tecagggeae teatttteeg cacactttcg gccagggtac caaactggaa atcaaa Región V de 1519 gL20 (expresión en mamíferos) SEQ ID NO: 17 gatatccaga tgacccagag cccatctagc ttatccgctt ccgttggtga tcgcgtgaca attacgtgta agagctccca atctctcgtg ggtgcaagtg gcaagaccta tctgtactgg ctctttcaga agcctggcaa ggcaccaaaa cggctgatct atctggtgtc tacccttgac tctgggatac cgtcacgatt ttccqqatct qqqaqcqqaa ctqaqttcac actcacqatt tcatcqctqc aacccgagga ctttgctacc tactactgcc tgcaaggcac tcatttccct cacactttcg gccaggggac aaaactcgaa atcaaa Región V de 1519 gL20 con secuencia señal subrayada y en cursiva (expresión en E. coli) SEQ ID NO: 18 MKKTAIAIAV ALAGFATVAQ ADIQMTQSPS SLSASVGDRV TITCKSSQSL VGASGKTYLY WLFQKPGKAP KRLIYLVSTL DSGIPSRFSG SGSGTEFTLT ISSLQPEDFA TYYCLQGTHF PHTFGQGTKL EIK Región V de 1519 gL20 con secuencia señal subrayada y en cursiva (expresión en E. coli) SEQ ID NO: 19 atgaaaaaga cagctatcgc aattgcagtg gccttggctg gtttcgctac cgtagcgcaa gctgatatcc agatgaccca gagtccaagc agtctctccg ccagcgtagg cgatcgtgtg actattacct gtaaaagctc ccagtccctg gtgggtgcaa gcggcaaaac ctacctgtac tggctcttcc agaaaccggg caaagctccg aaacgcctga tctatctggt gtctaccctg gatagcggta ttccgtctcg tttctccggt agcggtagcg gtaccgaatt cacgctgacc attagetece tecageegga ggaetttget acetattaet geeteeaggg cactcatttt ccgcacactt tcggccaggg taccaaactg gaaatcaaa

FIGURA 1C

```
Región V de 1519 gL20 con secuencia señal subrayada y en cursiva (expresión en mamíferos)
SEO ID NO: 20
MSVPTQVLGL LLLWLTDARC DIQMTQSPSS LSASVGDRVT ITCKSSQSLV
GASGKTYLYW LFQKPGKAPK RLIYLVSTLD SGIPSRFSGS GSGTEFTLTI
SSLQPEDFAT YYCLQGTHFP HTFGQGTKLE IK
Región V de 1519 gL20 con secuencia señal subrayada y en cursiva (expresión en mamíferos)
SEO ID NO: 21
atgtctgtcc ccacccaagt cctcggactc ctgctactct ggcttacaga
tgccagatgc gatatccaga tgacccagag cccatctagc ttatccgctt
ccgttggtga tcgcgtgaca attacgtgta agagctccca atctctcgtg
ggtgcaagtg gcaagaccta tctgtactgg ctctttcaga agcctggcaa
ggcaccaaaa cggctgatct atctggtgtc tacccttgac tctgggatac
cqtcacqatt ttccqqatct qqqaqcqqaa ctqaqttcac actcacqatt
tcatcgctgc aacccgagga ctttgctacc tactactgcc tgcaaggcac
tcatttccct cacactttcg gccaggggac aaaactcgaa atcaaa
Cadena ligera de 1519 gL20 (V+ constante) SEQ ID NO: 22
DIOMTOSPSS LSASVGDRVT ITCKSSOSLV GASGKTYLYW LFOKPGKAPK
RLIYLVSTLD SGIPSRFSGS GSGTEFTLTI SSLQPEDFAT YYCLQGTHFP
HTFGQGTKLE IKRTVAAPSV FIFPPSDEQL KSGTASVVCL LNNFYPREAK
VQWKVDNALQ SGNSQESVTE QDSKDSTYSL SSTLTLSKAD YEKHKVYACE
VTHQGLSSPV TKSFNRGEC
Cadena ligera de 1519 gL20 (V+ constante, expresión en E. coli)
                                        SEO ID NO: 23
gatatccaga tgacccagag tccaagcagt ctctccgcca gcgtaggcga
tcgtgtgact attacctgta aaagctccca gtccctggtg ggtgcaagcg
gcaaaaccta cctgtactgg ctcttccaga aaccgggcaa agctccgaaa
cqcctqatct atctqqtqtc taccctqqat aqcqqtattc cqtctcqttt
ctecqqtaqc qqtaqcqqta ccqaattcac qctqaccatt aqctccctcc
agecggagga ctttgctacc tattactgcc tccagggcac tcattttccg
cacactttcq qccaqqqtac caaactqqaa atcaaacqta cqqtaqcqqc
cccatctgtc ttcatcttcc cgccatctga tgagcagttg aaatctggaa
ctgcctctgt tgtgtgcctg ctgaataact tctatcccag agaggccaaa
gtacagtgga aggtggataa cgccctccaa tcgggtaact cccaggagag
tgtcacagag caggacagca aggacagcac ctacagcctc agcagcaccc
tgacqctgag caaaqcagac tacgagaaac acaaagtcta cqcctgcgaa
gtcacccatc agggcctgag ctcaccagta acaaaaagtt ttaatagagg ggagtgt
```

FIGURA 1D

```
Cadena ligera de 1519 gL20 (V+ constante, expresión en mamíferos) SEQ ID NO: 24
gatatccaga tgacccagag tccaagcagt ctctccgcca gcgtaggcga
tcgtgtgact attacctgta aaagctccca gtccctggtg ggtgcaagcg
qcaaaaccta cctqtactqq ctcttccaqa aaccqqqcaa aqctccqaaa
cgcctgatct atctggtgtc taccctggat agcggtattc cgtctcgttt
ctccggtagc ggtagcggta ccgaattcac gctgaccatt agctccctcc
agccggagga ctttgctacc tattactgcc tccagggcac tcattttccg
cacactttcg gccagggtac caaactggaa atcaaacgta cggtagcggc
cccatctqtc ttcatcttcc cqccatctqa tqaqcaqttq aaatctqqaa
ctgcctctgt tgtgtgcctg ctgaataact tctatcccag agaggccaaa
gtacagtgga aggtggataa cgccctccaa tcgggtaact cccaggagag
tgtcacagag caggacagca aggacagcac ctacagcctc agcagcaccc
tgacgctgag caaagcagac tacgagaaac acaaagtcta cgcctgcgaa
gtcacccatc agggcctgag ctcgcccgtc acaaagagct tcaacagggg agagtgt
Cadena ligera de 1519 gL20 con secuencia señal subrayada y en cursiva (expresión en E. coli)
SEQ ID NO: 25
MKKTAIAIAV ALAGFATVAQ ADIOMTOSPS SLSASVGDRV TITCKSSOSL
VGASGKTYLY WLFQKPGKAP KRLIYLVSTL DSGIPSRFSG SGSGTEFTLT
ISSLQPEDFA TYYCLQGTHF PHTFGQGTKL EIKRTVAAPS VFIFPPSDEQ
LKSGTASVVC LLNNFYPREA KVOWKVDNAL OSGNSOESVT EODSKDSTYS
LSSTLTLSKA DYEKHKVYAC EVTHQGLSSP VTKSFNRGEC
```

Cadena ligera de 1519 gL20 con secuencia señal subrayada y en cursiva (expresión en E. coli)

SEQ ID NO: 26

```
atgaaaaga cagctatcgc aattgcagtg gccttggctg gtttcgctac
cgtagcgcaa gctgatatcc agatgaccca gagtccaagc agtctctccg
ccagcgtagg cgatcgtgtg actattacct gtaaaagctc ccagtccctg
gtgggtgcaa gcggcaaaac ctacctgtac tggctcttcc agaaaccggg
caaagctccg aaacgcctga tctatctggt gtctaccctg gatagcggta
ttccgtctcg tttctccggt agcggtagcg gtaccgaatt cacgctgacc
attagctccc tccagccgga ggactttgct acctattact gcctccaggg
cactcatttt ccgcacactt tcggccaggg taccaaactg gaaatcaaac
gtacggtagc ggcccatct gtcttcatct tcccgccatc tgatgagcag
ttgaaatctg gaactgcctc tgttgtgtc ctgctgaata acttctatcc
cagagaggcc aaagtacagt ggaaggtga taacgccctc caatcgggta
actcccagga gagtgtcaca gagcaggaca gcaaggacag cacctacagc
ctcagcagca ccctgacgct gagcaaagca gactaccgaga aacacaaagt
ctacgcctgc gaagtcaccc atcagggcct gagctcacca gtaacaaaa
gttttaatag aggggagtgt
```

FIGURA 1E

Cadena ligera de 1519 gL20 con secuencia señal subrayada y en cursiva (expresión en mamíferos) SEQ ID NO: 27

```
MSVPTQVLGL LLLWLTDARC DIQMTQSPSS LSASVGDRVT ITCKSSQSLV GASGKTYLYW LFQKPGKAPK RLIYLVSTLD SGIPSRFSGS GSGTEFTLTI SSLQPEDFAT YYCLQGTHFP HTFGQGTKLE IKRTVAAPSV FIFPPSDEQL KSGTASVVCL LNNFYPREAK VQWKVDNALQ SGNSQESVTE QDSKDSTYSL SSTLTLSKAD YEKHKVYACE VTHQGLSSPV TKSFNRGEC
```

Cadena ligera de 1519 gL20 con secuencia señal subrayada y en cursiva (expresión en mamíferos) SEQ ID NO: 28

```
atgtctgtccccacccaagtcctcggactcctgctactctggcttacagatgccagatgcgatatccagatgacccagagcccatctagcttatccgcttccgttggtgatcgcgtgacaattacgtgtaagagctcccaatctctcgtgggtgcaagtggcaagacctatctgtactggctctttcagaagcctggcaaggcaccaaaacggctgatctatctggtgtctacccttgactctgggataccgtcacgattttccggatctgggagcggaactgagttcacactcacgatttcatcgctgcaacccgaggactttgctacctactactgcctgcaaggcactcatttccctcacactttcggccaggggacaaaactcgaaatcaaacgtacggtagcggccccatctgtcttcatcttcccgccatctgatgagcagttgaaatctggaactgcctctgttgtgtgcctgctgaataacttctatcccagagaggccaaagtacagtggaaggtggataacgcctccaatcgggtaactcccaggagagtgtcacagagcaggacagcaaaggacagcacctacagcctcagcagcaccctgacgctgagcaaagcagactacgagaaacacaaagtctacgcctgcgaagtcacccatcagggcctgagctcgcccgtcacaaaggcttcaacaggggagagtgt
```

Región V de 1519 gH20 SEQ ID NO: 29

```
EVPLVESGGG LVQPGGSLRL SCAVSGFTFS NYGMVWVRQA PGKGLEWVAY IDSDGDNTYY RDSVKGRFTI SRDNAKSSLY LQMNSLRAED TAVYYCTTGI VRPFLYWGQG TLVTVS
```

Región V de 1519 gH20 (expresión en E. coli) SEQ ID NO: 30

```
gaggttccgc tggtcgagtc tggaggcggg cttgtccagc ctggagggag cctgcgtctc tcttgtgcag tatctggctt cacgttctcc aactacggta tggtgtgggt tcgtcaggct ccaggtaaag gtctggaatg ggtggcgtat attgactccg acggcgacaa cacctactat cgcgactctg tgaaaggtcg cttcaccatt tcccgcgata acgccaaatc cagcctgtac ctgcagatga acagcctgcg tgctgaagat actgcggtgt actattgcac cactggcatc gtgcgtccgt ttctgtattg gggtcagggt accetcgtta ctgtctcg
```

FIGURA 1F (secuencias señal subrayadas y en cursiva)

Región V de 1519 gH20 (expresión en mamíferos) SEQ ID NO: 31

```
qaqqtaccac ttqtqqaaaq cqqaqqaqqt cttqtqcaqc ctqqaqqaaq
tttacgtctc tcttgtgctg tgtctggctt caccttctcc aattacggaa
tggtctgggt cagacaagca cctggaaagg gtcttgaatg ggtggcctat
attgactctg acggggacaa cacctactat cgggattccg tgaaaggacg
cttcacaatc tcccgagata acgccaagag ctcactgtac ctgcagatga
atagcctgag agccgaggat actgccgtgt actattgcac aacgggaatc
gttaggcctt ttctgtactg gggacagggc accttggtta ctgtctcg
Región V de 1519 gH20 (expresión en E. coli) SEQ ID NO: 32
MKKTAIAIAV ALAGFATVAQ AEVPLVESGG GLVQPGGSLR LSCAVSGFTF
SNYGMVWVRQ APGKGLEWVA YIDSDGDNTY YRDSVKGRFT ISRDNAKSSL
YLQMNSLRAE DTAVYYCTTG IVRPFLYWGQ GTLVTVS
Región V de 1519 gH20 (expresión en E. coli)
                             SEQ ID NO: 33
atgaagaaga ctgctatagc aattgcagtg gcgctagctg gtttcgccac
cgtggcgcaa gctgaggttc cgctggtcga gtctggaggc gggcttgtcc
agectggagg gagectgegt etetettgtg eagtatetgg etteaegtte
tccaactacg gtatggtgtg ggttcgtcag gctccaggta aaggtctgga
atgggtggcg tatattgact ccgacggcga caacacctac tatcgcgact
ctgtgaaagg tcgcttcacc atttcccgcg ataacgccaa atccagcctg
tacctgcaga tgaacagcct gcgtgctgaa gatactgcgg tgtactattg
caccactggc atcgtgcgtc cgtttctgta ttggggtcag ggtaccctcg
ttactgtctc g
Región V de 1519 gH20 (expresión en mamíferos)
                                 SEO ID NO: 34
MEWSWVFLFF LSVTTGVHSE VPLVESGGGL VQPGGSLRLS CAVSGFTFSN
YGMVWVRQAP GKGLEWVAYI DSDGDNTYYR DSVKGRFTIS RDNAKSSLYL
QMNSLRAEDT AVYYCTTGIV RPFLYWGQGT LVTVS
Región V de 1519 gH20 con secuencia señal subrayada y en cursiva (expresión en mamíferos)
SEO ID NO: 35
atggaatgga gctgggtctt tctcttcttc ctgtcagtaa ctacaggagt
ccattctgag gtaccacttg tggaaagcgg aggaggtctt gtgcagcctg
gaggaagttt acgtctctct tgtgctgtgt ctggcttcac cttctccaat
tacggaatgg tctgggtcag acaagcacct ggaaagggtc ttgaatgggt
ggcctatatt gactctgacg gggacaacac ctactatcgg gattccgtga
aaggacgctt cacaatctcc cgagataacg ccaagagctc actgtacctg
cagatgaata gcctgagagc cgaggatact gccgtgtact attgcacaac
gggaatcgtt aggccttttc tgtactgggg acagggcacc ttggttactg tctcg
```

FIGURA 1G

```
Cadena pesada de Fab' de 1519gH20 (V+ CH1 de gamma 1 humana + bisagra)
                                               SEO ID NO: 36
EVPLVESGGG LVQPGGSLRL SCAVSGFTFS NYGMVWVRQA PGKGLEWVAY
IDSDGDNTYY RDSVKGRFTI SRDNAKSSLY LQMNSLRAED TAVYYCTTGI
VRPFLYWGOG TLVTVSSAST KGPSVFPLAP SSKSTSGGTA ALGCLVKDYF
PEPVTVSWNS GALTSGVHTF PAVLQSSGLY SLSSVVTVPS SSLGTQTYIC
NVNHKPSNTK VDKKVEPKSC DKTHTCAA
Cadena pesada de Fab' de 1519gH20 (V+ CH1 de gamma 1 humana + bisagra, expresión en E. coli)
                                                            SEO ID
NO: 37
gaggttccgc tggtcgagtc tggaggcggg cttgtccagc ctggagggag
cctgcgtctc tcttgtgcag tatctggctt cacgttctcc aactacggta
tggtgtgggt tcgtcaggct ccaggtaaag gtctggaatg ggtggcgtat
attgactccg acggcgacaa cacctactat cgcgactctg tgaaaggtcg
cttcaccatt tcccgcgata acgccaaatc cagcctgtac ctgcagatga
acagectgeg tgctgaagat actgeggtgt actattgeac cactggeate
gtgcgtccgt ttctgtattg gggtcagggt accctcgtta ctgtctcgag
cgcttctaca aagggcccat cggtcttccc cctggcaccc tcctccaaga
gcacctctgg gggcacagcg gccctgggct gcctggtcaa ggactacttc
cccgaaccgg tgacggtgtc gtggaactca ggcgccctga ccagcggcgt
gcacaccttc ccggctgtcc tacagtcctc aggactctac tccctcagca
gcgtggtgac cgtgccctcc agcagcttgg gcacccagac ctacatctgc
aacgtgaatc acaagcccag caacaccaag gtcgacaaga aagttgagcc
caaatcttgt gacaaaactc acacatgcgc cgcg
Cadena pesada de Fab' de 1519gH20 (V+ CH1 de gamma 1 humana + bisagra, expresión en mamíferos) SEO
ID NO: 38
gaggtaccac ttgtggaaag cggaggaggt cttgtgcagc ctggaggaag
tttacgtctc tcttgtgctg tgtctggctt caccttctcc aattacggaa
tggtctgggt cagacaagca cctggaaagg gtcttgaatg ggtggcctat
attgactctg acggggacaa cacctactat cgggattccg tgaaaggacg
cttcacaatc tcccgagata acgccaagag ctcactgtac ctgcagatga
ataqcctqaq aqccqaqqat actqccqtqt actattqcac aacqqqaatc
gttaggcctt ttctgtactg gggacagggc accttggtta ctgtctcgag
cgcttctaca aagggcccat cggtcttccc cctggcaccc tcctccaaga
gcacctctqq qqqcacaqcq qcctqqqct qcctqqtcaa qqactacttc
cccgaaccgg tgacggtgtc gtggaactca ggcgccctga ccagcggcgt
gcacaccttc ccggctgtcc tacagtcctc aggactctac tccctcagca
gcgtggtgac cgtgccctcc agcagcttgg gcacccagac ctacatctgc
aacgtgaatc acaagcccag caacaccaag gtcgacaaga aagttgagcc
caaatcttgt gacaaaactc acacatgcgc cgcg
```

FIGURA 1H

Cadena pesada de Fab' de 1519 gH20 con secuencia señal subrayada y en cursiva (expresión en *E. coli*) SEQ ID NO: 39

```
MKKTAIAIAV ALAGFATVAQ AEVPLVESGG GLVQPGGSLR LSCAVSGFTF SNYGMVWVRQ APGKGLEWVA YIDSDGDNTY YRDSVKGRFT ISRDNAKSSL YLQMNSLRAE DTAVYYCTTG IVRPFLYWGQ GTLVTVSSAS TKGPSVFPLA PSSKSTSGGT AALGCLVKDY FPEPVTVSWN SGALTSGVHT FPAVLQSSGL YSLSSVVTVP SSSLGTQTYI CNVNHKPSNT KVDKKVEPKS CDKTHTCAA
```

Cadena pesada de Fab' de 1519 gH20 con secuencia señal subrayada y en cursiva (expresión en *E. coli*) SEQ ID NO: 40

```
atgaagaaga ctgctatagc aattgcagtg gcgctagctg gtttcgcacc cgtggcgaa gctgaggttc cgctggtcga gtctggaggc gggcttgtcc agcctggagg gagcctgcgt ctctcttgtg cagtatctgg cttcacgttc tccaactacg gtatggtgtg ggttcgtcag gctccaggta aaggtctgga atgggtggcg tatattgact ccgacggcga caacacctac tatcgcgact ctgtgaaagg tcgcttcacc atttcccgcg ataacgccaa atccagcctg tacctgcaga tgaacagcct gcgtgctgaa gatactgcgg tgtactattg caccactggc atcgtgcgtc cgtttctgta ttggggtcag ggtaccctcg tactgtctc gagcgcttct acaaagggcc catcggtctt cccctggca ccctcctca agagcacctc tgggggcaca gcggccctgg gctgcctggt caaggactac ttccccgaac cggtgacggt gtcgtggaac tcagggccc tgaccagcgg cgtgcacacc ttcccggctg tcctacagtc ctcaggactc tactcctca gcagcgtggt gaccgtgcc tccagcagct tgggcacca agacatac tgcaacgtg atcacaagcc cagcaacacc aaggtcgaca agaaagttga gcccaaatct tgtgacaaaa ctcacacat cgccgcg
```

Cadena pesada de Fab' de 1519 gH20 con secuencia señal subrayada y en cursiva (expresión en mamíferos) SEQ ID NO: 41

```
MEWSWVFLFF LSVTTGVHSE VPLVESGGGL VQPGGSLRLS CAVSGFTFSN YGMVWVRQAP GKGLEWVAYI DSDGDNTYYR DSVKGRFTIS RDNAKSSLYL QMNSLRAEDT AVYYCTTGIV RPFLYWGQGT LVTVSSASTK GPSVFPLAPS SKSTSGGTAA LGCLVKDYFP EPVTVSWNSG ALTSGVHTFP AVLQSSGLYS LSSVVTVPSS SLGTOTYICN VNHKPSNTKV DKKVEPKSCD KTHTCAA
```

FIGURA 1I

Cadena pesada de Fab' de 1519 gH20 con secuencia señal subrayada y en cursiva (expresión en mamíferos) SEQ ID NO: 42

```
atggaatgga gctgggtctt tctcttct ctgtcagtaa ctacaggagt ccattct
gaggaagttt acgtctctct tgtgctgtgt ctggcttcac cttctccaat tacggaatgg tctgggtcag acaagcacct ggaaagggtc ttgaatgggt ggcctatatt gactctgacg gggacaacac ctactatcgg gattccgtga aaggacgctt cacaatctcc cgagataacg ccaagagctc actgtacctg cagatgaata gcctgagagc cgaggatact gccgtgtact attgcacaac gggaatcgtt aggcctttc tgtactgggg acagggcacc ttggttactg tctcgagcgc ttctacaaag ggcccatcgg tcttcccct ggcacctcc tccaagagca cctctggggg cacagcggc ctgggctgcc tggtcaagga ctacttccc gaaccggtga cggtgtcgtg gaactcaggc gccctgacca gcggcgtgca caccttcccg gctgtcctac agtcctcagg actctactcc ctcagcagcg tggtgaccgt gccctccagc agcttgggca cccagaccta catctgcaac gtgaatcaca agcccagcaa caccaaggtc gacaagaaag ttgagcccaa atcttgtgac aaaactcaca catgggccgc g
```

Cadena pesada de IgG4 de 1519gH20 (V+ constante de gamma 4P humana) SEQ ID NO: 43

```
EVPLVESGGG LVQPGGSLRL SCAVSGFTFS NYGMVWVRQA PGKGLEWVAY IDSDGDNTYY RDSVKGRFTI SRDNAKSSLY LQMNSLRAED TAVYYCTTGI VRPFLYWGQG TLVTVSSAST KGPSVFPLAP CSRSTSESTA ALGCLVKDYF PEPVTVSWNS GALTSGVHTF PAVLQSSGLY SLSSVVTVPS SSLGTKTYTC NVDHKPSNTK VDKRVESKYG PPCPPCPAPE FLGGPSVFLF PPKPKDTLMI SRTPEVTCVV VDVSQEDPEV QFNWYVDGVE VHNAKTKPRE EQFNSTYRVV SVLTVLHQDW LNGKEYKCKV SNKGLPSSIE KTISKAKGQP REPQVYTLPP SQEEMTKNQV SLTCLVKGFY PSDIAVEWES NGQPENNYKT TPPVLDSDGS FFLYSRLTVD KSRWQEGNVF SCSVMHEALH NHYTQKSLSL SLGK
```

FIGURA 1J

Cadena pesada de IgG4 de 1519gH20 (V + constante de gamma 4P humana, exones subrayados)

SEO ID

NO: 44

gaggtaccac ttgtggaaag cggaggaggt cttgtgcagc ctggaggaag tttacgtctc tcttgtgctg tgtctggctt caccttctcc aattacggaa tggtctgggt cagacaagca cctggaaagg gtcttgaatg ggtggcctat attgactctg acggggacaa cacctactat cgggattccg tgaaaggacg cttcacaatc tcccgagata acgccaagag ctcactgtac ctgcagatga atagcctgag agccgaggat actgccgtgt actattgcac aacgggaatc gttaggcctt ttctgtactg gggacagggc accttggtta ctgtctcgag cgcttctaca aagggcccat ccgtcttccc cctggcgccc tgctccagga gcacctccga gagcacagcc gccctgggct gcctggtcaa ggactacttc cccqaaccqq tqacqqtqtc qtqqaactca qqcqccctqa ccaqcqqcqt gcacaccttc ccggctgtcc tacagtcctc aggactctac tccctcagca gcgtggtgac cgtgccctcc agcagcttgg gcacgaagac ctacacctgc aacgtagatc acaagcccag caacaccaag gtggacaaga gagttggtga qaqqccaqca caqqqaqqqa qqqtqtctqc tqqaaqccaq qctcaqccct cctgcctgga cgcaccccgg ctgtgcagcc ccagcccagg gcagcaaggc atgccccatc tgtctcctca cccggaggcc tctgaccacc ccactcatgc ccagggagag ggtcttctgg atttttccac caggctccgg gcagccacag gctggatgcc cctaccccag gccctgcgca tacaggggca ggtgctgcgc tcagacctgc caagagccat atccgggagg accctgcccc tgacctaagc ccaccccaaa ggccaaactc tccactccct cagctcagac accttctctc ctcccagatc tgagtaactc ccaatcttct ctctgcagag tccaaatatg qtcccccatq cccaccatqc ccaqqtaaqc caacccaqqc ctcqccctcc agctcaaggc gggacaggtg ccctagagta gcctgcatcc agggacaggc cccaqccqqq tqctqacqca tccacctcca tctcttcctc agcacctqaq ttcctqqqqq qaccatcaqt cttcctqttc ccccaaaac ccaaqqacac tctcatgatc tcccggaccc ctgaggtcac gtgcgtggtg gtggacgtga gccaggaaga ccccgaggtc cagttcaact ggtacgtgga tggcgtggag gtgcataatg ccaagacaaa gccgcgggag gagcagttca acagcacgta ccgtgtggtc agcgtcctca ccgtcctgca ccaggactgg ctgaacggca aggagtacaa gtgcaaggtc tccaacaaag gcctcccgtc ctccatcgag aaaaccatct ccaaagccaa aggtgggacc cacggggtgc gagggccaca tggacagagg tcagctcggc ccaccctctg ccctgggagt gaccgctgtg ccaacctctg tccctacagg gcagccccga gagccacagg tgtacaccct gcccccatcc caggaggaga tgaccaagaa ccaggtcagc ctgacctgcc tggtcaaagg cttctacccc agcgacatcg ccgtggagtg ggagagcaat gggcagccgg agaacaacta caagaccacg cctcccgtgc tggactccga cggctccttc ttcctctaca gcaggctaac cgtggacaag agcaggtggc aggaggggaa tgtcttctca tgctccgtga tgcatgaggc tctgcacaac cactacacac agaagagcct ctccctgtct ctgggtaaa

FIGURA 1K

Cadena pesada de IgG4 de 1519gH20 (V+ constante de gamma 4P humana) con secuencia señal subrayada y en cursiva SEQ ID NO: 45

atggaatgga gctgggtctt tctcttcttc ctgtcagtaa ctacaggagt ccattctgag gtaccacttg tggaaagcgg aggaggtctt gtgcagcctg gaggaagttt acgtctctct tgtgctgtgt ctggcttcac cttctccaat tacqqaatqq tctqqqtcaq acaaqcacct qqaaaqqqtc ttqaatqqqt ggcctatatt gactctgacg gggacaacac ctactatcgg gattccgtga aaggacgett cacaatetee egagataacg ceaagagete actgtacetg cagatgaata gcctgagagc cgaggatact gccgtgtact attgcacaac gggaatcgtt aggccttttc tgtactgggg acagggcacc ttggttactg totogagogo ttotacaaag ggoccatoog tottococot ggogocotgo tccaggagca cctccgagag cacagccgcc ctgggctgcc tggtcaagga ctacttcccc gaaccggtga cggtgtcgtg gaactcaggc gccctgacca geggegtgea cacctteeeg getgteetae agteeteagg actetaetee ctcagcagcg tggtgaccgt gccctccagc agcttgggca cgaagaccta cacctgcaac gtagatcaca agcccagcaa caccaaggtg gacaagagag ttggtgagag gccagcacag ggagggaggg tgtctgctgg aagccaggct cagecetect geetggaege acceeggetg tgeageecea geecagggea gcaaggcatg ccccatctgt ctcctcaccc ggaggcctct gaccacccca ctcatgccca gggagagggt cttctggatt tttccaccag gctccgggca gccacagget ggatgcccct accccaggec ctgcgcatac aggggcaggt gctgcgctca gacctgccaa gagccatatc cgggaggacc ctgcccctga cctaagccca ccccaaaggc caaactctcc actccctcag ctcagacacc tteteteete ceagatetga gtaaeteeea atettetete tgeagagtee aaatatggtc ccccatgccc accatgccca ggtaagccaa cccaggcctc gccctccagc tcaaggcggg acaggtgccc tagagtagcc tgcatccagg gacaggcccc agccgggtgc tgacgcatcc acctccatct cttcctcagc acctgagttc ctggggggac catcagtctt cctgttcccc ccaaaaccca aggacactet catgatetee eggacecetg aggteaegtg egtggtggtg gacgtgagcc aggaagaccc cgaggtccag ttcaactggt acgtggatgg cgtggaggtg cataatgcca agacaaagcc gcgggaggag cagttcaaca gcacgtaccg tgtggtcagc gtcctcaccg tcctgcacca ggactggctg aacggcaagg agtacaagtg caaggtctcc aacaaaggcc tcccgtcctc catcgagaaa accatctcca aagccaaagg tgggacccac ggggtgcgag ggccacatgg acagaggtca gctcggccca ccctctgccc tgggagtgac cgctgtgcca acctctgtcc ctacagggca gccccgagag ccacaggtgt acaccetgee eccateceag gaggagatga ecaagaacea ggteageetg acctgcctgg tcaaaggctt ctaccccagc gacatcgccg tggagtggga gagcaatggg cagccggaga acaactacaa gaccacgcct cccgtgctgg actccgacgg ctccttcttc ctctacagca ggctaaccgt ggacaagagc aggtggcagg aggggaatgt cttctcatgc tccgtgatgc atgaggctct gcacaaccac tacacacaga agagcctctc cctgtctctg ggtaaa

```
FIGURA 1L
Cadena ligera de FabFv de 1519gL20 SEQ ID NO: 46
  DIOMTOSPSS LSASVGDRVT ITCKSSOSLV GASGKTYLYW LFOKPGKAPK
  RLIYLVSTLD SGIPSRFSGS GSGTEFTLTI SSLQPEDFAT YYCLQGTHFP
  HTFGQGTKLE IKRTVAAPSV FIFPPSDEQL KSGTASVVCL LNNFYPREAK
  VOWKVDNALO SGNSOESVTE QDSKDSTYSL SSTLTLSKAD YEKHKVYACE
  VTHQGLSSPV TKSFNRGECS GGGGSGGGG GGGGSDIQMT QSPSSVSASV
  GDRVTITCQS SPSVWSNFLS WYQQKPGKAP KLLIYEASKL TSGVPSRFSG
  SGSGTDFTLT ISSLQPEDFA TYYCGGGYSS ISDTTFGCGT KVEIKRT
Cadena ligera de FabFv de 1519gL20
                       SEQ ID NO: 47
  gatatccaga tgacccagag cccatctagc ttatccgctt ccgttggtga
  tcgcqtqaca attacqtqta aqaqctccca atctctcqtq qqtqcaaqtq
  gcaaqaccta tctgtactqq ctctttcaqa aqcctqqcaa qqcaccaaaa
  cggctgatct atctggtgtc tacccttgac tctgggatac cgtcacgatt
  ttccqqatct qqqaqcqqaa ctqaqttcac actcacqatt tcatcqctqc
  aacccgagga ctttgctacc tactactgcc tgcaaggcac tcatttccct
  cacactttcq qccaqqqqac aaaactcqaa atcaaacqta cqqtaqcqqc
  cccatctqtc ttcatcttcc cqccatctqa tqaqcaqttq aaatctqqaa
  ctgcctctgt tgtgtgcctg ctgaataact tctatcccag agaggccaaa
  gtacagtgga aggtggataa cgccctccaa tcgggtaact cccaggagag
  tqtcacaqaq caqqacaqca aqqacaqcac ctacaqcctq aqcaqcaccc
  tgacgctgtc taaagcagac tacgagaaac acaaagtgta cgcctgcgaa
  gtcacccatc agggcctgag ctcaccagta acaaaaagtt ttaatagagg
  ggagtgtagc ggtggcggtg gcagtggtgg gggaggctcc ggaggtggcg
  gttcagacat acaaatgacc cagagtcctt catcggtatc cgcgtccgtt
  ggcgataggg tgactattac atgtcaaagc tctcctagcg tctggagcaa
  ttttctatcc tggtatcaac agaaaccggg gaaggctcca aaacttctga
  tttatgaagc ctcgaaactc accagtggag ttccgtcaag attcagtggc
  tctggatcag ggacagactt cacgttgaca atcagttcgc tgcaaccaga
  ggactttgcg acctactatt gtggtggagg ttacagtagc ataagtgata
  cgacatttgg gtgcggtact aaggtggaaa tcaaacgtac c
  Cadena ligera de FabFv de 1519gL20 con secuencia señal subrayada y en cursiva
                                                      SEO ID NO: 48
  MSVPTQVLGL LLLWLTDARC DIQMTQSPSS LSASVGDRVT ITCKSSQSLV
  GASGKTYLYW LFOKPGKAPK RLIYLVSTLD SGIPSRFSGS GSGTEFTLTI
  SSLOPEDFAT YYCLOGTHFP HTFGOGTKLE IKRTVAAPSV FIFPPSDEOL
  KSGTASVVCL LNNFYPREAK VQWKVDNALQ SGNSQESVTE QDSKDSTYSL
  SSTLTLSKAD YEKHKVYACE VTHOGLSSPV TKSFNRGECS GGGGSGGGGS
```

GGGGSDIQMT QSPSSVSASV GDRVTITCQS SPSVWSNFLS WYQQKPGKAP KLLIYEASKL TSGVPSRFSG SGSGTDFTLT ISSLQPEDFA TYYCGGGYSS

ISDTTFGCGT KVEIKRT

FIGURA 1M

Cadena ligera de FabFv de 1519gL20 con secuencia señal subrayada y en cursiva 4 9

SEQ ID NO:

atgtctgtcc ccacccaagt cctcggactc ctgctactct ggcttacaga tgccagatgc gatatccaga tgacccagag cccatctagc ttatccgctt ccqttqqtqa tcqcqtqaca attacqtqta aqaqctccca atctctcqtq ggtgcaagtg gcaagaccta tctgtactgg ctctttcaga agcctggcaa ggcaccaaaa cggctgatct atctggtgtc taccettgac tctgggatac cgtcacgatt ttccggatct gggagcggaa ctgagttcac actcacgatt tcatcgctgc aacccgagga ctttgctacc tactactgcc tgcaaggcac tcatttccct cacactttcq gccaqqqqac aaaactcqaa atcaaacqta cggtagcggc cccatctgtc ttcatcttcc cgccatctga tgagcagttg aaatctqqaa ctqcctctqt tqtqtqcctq ctqaataact tctatcccaq agaggccaaa gtacagtgga aggtggataa cgccctccaa tcgggtaact cccaggagag tgtcacagag caggacagca aggacagcac ctacagcctg agcagcaccc tgacgctgtc taaagcagac tacgagaaac acaaagtgta cqcctqcqaa qtcacccatc aqqqcctqaq ctcaccaqta acaaaaaqtt ttaatagagg ggagtgtagc ggtggcggtg gcagtggtgg gggaggctcc ggaggtggcg gttcagacat acaaatgacc cagagtcctt catcggtatc cgcgtccgtt ggcgataggg tgactattac atgtcaaagc tctcctagcg tctqqaqcaa ttttctatcc tqqtatcaac aqaaaccqqq qaaqqctcca aaacttctga tttatgaagc ctcgaaactc accagtggag ttccgtcaag attcagtggc tctggatcag ggacagactt cacgttgaca atcagttcgc tgcaaccaga ggactttgcg acctactatt gtggtggagg ttacagtagc ataagtgata cgacatttgg gtgcggtact aaggtggaaa tcaaacgtac С

Cadena pesada de FabFv de 1519gH20 SEQ ID NO: 50

```
EVPLVESGGG LVQPGGSLRL SCAVSGFTFS NYGMVWVRQA PGKGLEWVAY
IDSDGDNTYY RDSVKGRFTI SRDNAKSSLY LQMNSLRAED TAVYYCTTGI
VRPFLYWGQG TLVTVSSAST KGPSVFPLAP SSKSTSGGTA ALGCLVKDYF
PEPVTVSWNS GALTSGVHTF PAVLQSSGLY SLSSVVTVPS SSLGTQTYIC
NVNHKPSNTK VDKKVEPKSC SGGGGSGGGG TGGGGSEVQL LESGGGLVQP
GGSLRLSCAV SGIDLSNYAI NWVRQAPGKC LEWIGIIWAS GTTFYATWAK
GRFTISRDNS KNTVYLQMNS LRAEDTAVYY CARTVPGYST APYFDLWGQG TLVTVSS
```

FIGURA 1N

Cadena pesada de FabFv de 1519gH20 SEQ ID NO: 51

```
gaggtaccac ttgtggaaag cggaggaggt cttgtgcagc ctggaggaag
tttacgtctc tcttgtgctg tgtctggctt caccttctcc aattacggaa
tggtctgggt cagacaagca cctggaaagg gtcttgaatg ggtggcctat
attgactctg acggggacaa cacctactat cgggattccg tgaaaggacg
cttcacaatc tcccqaqata acqccaaqaq ctcactqtac ctqcaqatqa
atagcctgag agccgaggat actgccgtgt actattgcac aacgggaatc
gttaggcctt ttctgtactg gggacagggc accttggtta ctgtctcgag
cgcgtccaca aagggcccat cggtcttccc cctggcaccc tcctccaaga
gcacctctgg gggcacagcg gcctgggct gcctggtcaa ggactacttc
cccgaaccag tgacggtgtc gtggaactca ggtgccctga ccagcggcgt
tcacaccttc ccqqctqtcc tacaqtcttc aqqactctac tccctqaqca
gcgtggtgac cgtgccctcc agcagcttgg gcacccagac ctacatctgc
aacgtgaatc acaagcccag caacaccaag gtcgataaga aagttgagcc
caaatcttqt aqtqqaqqtq qqqqctcaqq tqqaqqcqqq accqqtqqaq
gtggcagcga ggttcaactg cttgagtctg gaggaggcct agtccagcct
ggagggagcc tgcgtctctc ttgtgcagta agcggcatcg acctgagcaa
ttacgccatc aactgggtga gacaagctcc ggggaagtgt ttagaatgga
tcggtataat atgggccagt gggacgacct tttatgctac atgggcgaaa
ggaaggttta caattagccg ggacaatagc aaaaacaccg tgtatctcca
aatqaactcc ttqcqaqcaq aqqacacqqc qqtqtactat tqtqctcqca
ctqtcccaqq ttataqcact qcaccctact tcqatctqtq qqqacaaqqq
accctggtga ctgtttcaag t
```

Cadena pesada de FabFv de 1519gH20 con secuencia señal subrayada y en cursiva SEQ ID NO: 52

```
MEWSWVFLFF LSVTTGVHSE VPLVESGGGL VQPGGSLRLS CAVSGFTFSN YGMVWVRQAP GKGLEWVAYI DSDGDNTYYR DSVKGRFTIS RDNAKSSLYL QMNSLRAEDT AVYYCTTGIV RPFLYWGQGT LVTVSSASTK GPSVFPLAPS SKSTSGGTAA LGCLVKDYFP EPVTVSWNSG ALTSGVHTFP AVLQSSGLYS LSSVVTVPSS SLGTQTYICN VNHKPSNTKV DKKVEPKSCS GGGGSGGGGT GGGGSEVQLL ESGGGLVQPG GSLRLSCAVS GIDLSNYAIN WVRQAPGKCL EWIGIIWASG TTFYATWAKG RFTISRDNSK NTVYLQMNSL RAEDTAVYYC ARTVPGYSTA PYFDLWGOGT LVTVSS
```

FIGURA 1P

Cadena pesada de FabFv de 1519gH20 con secuencia señal subrayada y en cursiva SEQ ID NO: 53

```
atggaatgga gctgggtctt tctcttcttc ctgtcagtaa ctacaggagt
ccattctgag gtaccacttg tggaaagcgg aggaggtctt gtgcagcctg
gaggaagttt acgtctctct tgtgctgtgt ctggcttcac cttctccaat
tacggaatgg tctgggtcag acaagcacct ggaaagggtc ttgaatgggt
ggcctatatt gactctgacg gggacaacac ctactatcgg gattccgtga
aaggacgctt cacaatctcc cgagataacg ccaagagctc actgtacctg
cagatgaata gcctgagagc cgaggatact gccgtgtact attgcacaac
gggaatcgtt aggccttttc tgtactgggg acagggcacc ttggttactg
tctcgagcgc gtccacaaag ggcccatcgg tcttccccct ggcaccctcc
tccaaqaqca cctctqqqqq cacaqcqqcc ctqqqctqcc tqqtcaaqqa
ctacttcccc gaaccagtga cggtgtcgtg gaactcaggt gccctgacca
geggegttea cacetteecg getgteetae agtetteagg actetactee
ctgagcagcg tggtgaccgt gccctccagc agcttgggca cccagaccta
catctgcaac gtgaatcaca agcccagcaa caccaaggtc gataagaaag
ttgagcccaa atcttgtagt ggaggtgggg gctcaggtgg aggcgggacc
ggtggaggtg gcagcgaggt tcaactgctt gagtctggag gaggcctagt
ccaqcctqqa qqqaqcctqc qtctctcttq tqcaqtaaqc qqcatcqacc
tgagcaatta cgccatcaac tgggtgagac aagctccggg gaagtgttta
gaatggatcg gtataatatg ggccagtggg acgacctttt atgctacatg
ggcgaaagga aggtttacaa ttagccggga caatagcaaa aacaccgtgt
atctccaaat gaactccttg cgagcagagg acacggcggt gtactattgt
gctcqcactq tcccaqqtta tagcactqca ccctacttcq atctqtqqqq
acaagggacc ctggtgactg tttcaagt
```

Marco aceptor de VK1 2-1-(1) A30 JK2 humana SEQ ID NO: 54

```
DIQMTQSPSS LSASVGDRVT ITCRASQGIR NDLGWYQQKP GKAPKRLIYA
ASSLQSGVPS RFSGSGSGTE FTLTISSLQP EDFATYYCLQ HNSYPYTFGQ GTKLEIK
```

Marco aceptor de VK1 2-1-(1) A30 JK2 humana SEQ ID NO: 55

```
gacatccaga tgacccagtc tccatcctc ctgtctgcat ctgtaggaga cagagtcacc atcacttgcc gggcaagtca gggcattaga aatgatttag gctggtatca gcagaaacca gggaaagccc ctaagcgcct gatctatgct gcatccagtt tgcaaagtgg ggtcccatca aggttcagcg gcagtggatc tgggacagaa ttcactctca caatcagcag cctgcagcct gaagattttg caacttatta ctgtctacag cataatagtt acccttacac ttttggccag gggaccaagc tggagatcaa a
```

FIGURA 1Q

Marco aceptor de VH3 1-3 3-07 JH4 humana SEQ ID NO: 56

EVQLVESGGG LVQPGGSLRL SCAASGFTFS SYWMSWVRQA PGKGLEWVAN IKQDGSEKYY VDSVKGRFTI SRDNAKNSLY LQMNSLRAED TAVYYCARYF DYWGQGTLVT VS

Marco aceptor de VH3 1-3 3-07 JH4 humana SEQ ID NO: 57

gaggtgcagc tggtggagtc tgggggaggc ttggtccagc ctggggggtc cctgagactc tcctgtgcag cctctggatt cacctttagt agctattgga tgagctgggt ccgccaggct ccagggaagg ggctggagtg ggtggccaac ataaagcaag atggaagtga gaaatactat gtggactctg tgaagggccg attcaccatc tccagagaca acgccaagaa ctcactgtat ctgcaaatga acagcctgag agccgaggac acggctgtgt attactgtgc gagatacttt gactactggg gccagggaac cctggtcacc gtctcc

Región VL del Ac 1548 de Rata SEQ ID NO: 58

DVVMTQTPLS LSVALGQPAS ISCKSSQSLV GASGKTYLYW LFQRSGQSPK RLIYLVSTLD SGIPDRFSGS GAETDFTLKI RRVEADDLGV YYCLQGTHFP HTFGAGTKLE IK

Región VL del Ac 1548 de Rata SEQ ID NO: 59

Región VH del Ac 1548 de Rata SEQ ID NO: 60

EVPLVESGGG SVQPGRSMKL SCVVSGFTFS NYGMVWVRQA PKKGLEWVAY IDSDGDNTYY RDSVKGRFTI SRNNAKSTLY LQMDSLRSED TATYYCTTGI VRPFLYWGQG VMVTVS

FIGURA 1R

Región VH del Ac 1548 de Rata SEQ ID NO: 61

```
gaggtgccgc tggtggagtc tgggggcggc tcagtgcagc ctgggaggtc catgaaactc tcctgtgtag tctcaggatt cactttcagt aattatggca tggtctgggt ccgccaggct ccaaagaagg gtctggagtg ggtcgcatat attgattctg atggtgataa tacttactac cgagattccg tgaagggccg attcactatc tccagaaata atgcaaaaag caccctatat ttgcaaatgg acagtctgag gtctgaggac acggccactt attactgtac aacagggatt gtccggccct ttctctattg gggccaagga gtcatggtca cagtctcg
```

Región VL del Ac 1644 de Rata SEQ ID NO: 62

```
DVVMTQTPLS LSVAIGQPAS ISCKSSQSLV GASGKTYLYW LFQRSGQSPK RLIYLVSTLD SGIPDRFSGS GAETDFTLKI RRVEADDLGV YYCLQGTHFP HTFGAGTKLE LK
```

Región VL del Ac 1644 de Rata SEQ ID NO: 63

Región VH del Ac 1644 de Rata SEQ ID NO: 64

```
EVPLVESGGG SVQPGRSTKL SCVVSGFTFS NYGMVWVRQA PKKGLEWVAY
IGSDGDNIYY RDSVKGRFTI SRNNAKSTLY LQMDSLRSED TATYYCTTGI
VRPFLYWGQG TTVTVS
```

Región VH del Ac 1644 de Rata SEQ ID NO: 65

```
gaggtgccgc tggtggagtc tggggggggc tcagtgcagc ctgggaggtc cacgaaactc tcctgtgtag tctcaggatt cactttcagt aactatggca tggtctgggt ccgccaggct ccaaagaagg gtctggagtg ggtcgcatat attggttctg atggtgataa tatttactac cgagattccg tgaagggtcg attcactatc tccagaaata atgcaaaaag caccctatat ttgcaaatgg acagtctgag gtctgaggac acggccactt attactgtac aacagggatt gtccggccct ttctctactg gggccaagga accacggtca ccgtctcg
```

Figura 1S

Región VK del Ac 1496 de Rata SEQ ID NO: 66

DVVMTQTPLS LSVALGQPAS ISCKSSQSLV GASGKTYLYW LFQRSGQSPK RLIYLVSTLD SGIPDRFSGS GAETDFTLKI RRVEADDLGV YYCLQGTHFP HTFGAGTKLE LK

Región VK del Ac 1496 de Rata SEQ ID NO: 67

Región VH del Ac 1496 de Rata SEQ ID NO: 68

EVLLVESGGG SVQPGRSMKL SCVVSGFTFS NYGMVWVRQA PKKGLEWVAY IDSDGDNTYY RDSVKGRFTI SRNNAKSTLY LQMDSLRSED TATYYCTTGI VRPFLYWGQG TMVTVS

Región VH del Ac 1496 de Rata SEQ ID NO: 69

gaggtgctgc tggtggagtc tggggggggc tcagtgcagc ctgggaggtc catgaaactc tcctgtgtag tctcaggatt cactttcagt aattatggca tggtctgggt ccgccaggct ccaaagaagg gtctggagtg ggtcgcatat attgattctg atggtgataa tacttactac cgagattccg tgaagggccg attcactatc tccagaaata atgcaaaaag caccctatat ttgcaaatgg acagtctgag gtctgaggac acggccactt attactgtac aacagggatt gtccggccct ttctctattg gggccaagga accatggtca ccgtctcg

Cadena pesada de IgG1 de 1519gH20 (V + constante de gamma 1 humana) SEQ ID NO: 72

EVPLVESGGG LVQPGGSLRL SCAVSGFTFS NYGMVWVRQA PGKGLEWVAY IDSDGDNTYY RDSVKGRFTI SRDNAKSSLY LQMNSLRAED TAVYYCTTGI VRPFLYWGQG TLVTVSSAST KGPSVFPLAP SSKSTSGGTA ALGCLVKDYF PEPVTVSWNS GALTSGVHTF PAVLQSSGLY SLSSVVTVPS SSLGTQTYIC NVNHKPSNTK VDKKVEPKSC DKTHTCPPCP APELLGGPSV FLFPPKPKDT LMISRTPEVT CVVVDVSHED PEVKFNWYVD GVEVHNAKTK PREEQYNSTY RVVSVLTVLH QDWLNGKEYK CKVSNKALPA PIEKTISKAK GQPREPQVYT LPPSRDELTK NQVSLTCLVK GFYPSDIAVE WESNGQPENN YKTTPPVLDS DGSFFLYSKL TVDKSRWQQG NVFSCSVMHE ALHNHYTQKS LSLSPGK

Figura 1T

Cadena pesada de IgG1 de 1519gH20 (V+ constante de gamma 1 humana, exones subrayados) SEQ ID NO:

gaggtaccac ttgtggaaag cggaggaggt cttgtgcagc ctggaggaag tttacgtctc tettgtgetg tgtetggett cacettetee aattaeggaa tggtetgggt eagaeaagea cctggaaagg gtcttgaatg ggtggcctat attgactctg acggggacaa cacctactat egggatteeg tgaaaggaeg etteacaate teeegagata aegecaagag eteaetgtae ctgcagatga atagcctgag agccgaggat actgccgtgt actattgcac aacgggaatc gttaggcctt ttctgtactg gggacagggc accttggtta ctgtctcgag cgcttctaca aaqqqcccat cqqtcttccc cctqqcaccc tcctccaaqa qcacctctqq qqqcacaqcq gccctgggct gcctggtcaa ggactacttc cccgaaccgg tgacggtgtc gtggaactca ggcgccctga ccagcggcgt gcacaccttc ccggctgtcc tacagtcctc aggactctac teceteagea gegtggtgae egtgeeetee ageagettgg geaeceagae etaeatetge aacgtgaatc acaagcccag caacaccaag gtcgacaaga aagttggtga gaggccagca cagggaggga gggtgtctgc tggaagccag gctcagcgct cctgcctgga cgcatcccgg ctatgcagcc ccagtccagg gcagcaaggc aggccccgtc tgcctcttca cccggaggcc tetgecegee ceacteatge teagggagag ggtettetgg etttteece aggetetggg caggcacagg ctaggtgccc ctaacccagg ccctgcacac aaaggggcag gtgctgggct cagacctgcc aagagccata teegggagga ecetgeeect gacctaagee caceccaaag gccaaactct ccactccctc agctcggaca ccttctctcc tcccagatct gagtaactcc caatcttctc tctgcagagc ccaaatcttg tgacaaaact cacacatgcc caccgtgccc aggtaagcca gcccaggcct cgccctccag ctcaaggcgg gacaggtgcc ctagagtagc ctgcatccag ggacaggccc cagccgggtg ctgacacgtc cacctccatc tcttcctcag cacctgaact cctgggggga ccgtcagtct tcctcttccc cccaaaaccc aaggacaccc tcatgatctc ccggacccct gaggtcacat gcgtggtggt ggacgtgagc cacgaagacc ctgaggtcaa gttcaactgg tacgtggacg gcgtggaggt gcataatgcc aagacaaagc cgcgggagga gcagtacaac agcacgtacc gtgtggtcag cgtcctcacc gtcctgcacc aggactggct gaatggcaag gagtacaagt gcaaggtctc caacaaagcc ctcccagccc ccatcgagaa aaccatctcc aaagccaaag gtgggacccg tggggtgcga gggccacatg gacagaggee ggeteggeee accetetgee etgagagtga eegetgtace aacetetgte cctacagggc agccccgaga accacaggtg tacaccctgc ccccatcccg ggatgagctg accaagaacc aggtcagcct gacctgcctg gtcaaaggct tctatcccag cgacatcgcc gtggagtggg agagcaatgg gcagccggag aacaactaca agaccacgcc tcccgtgctg gacteegaeg geteettett eetetaeage aageteaeeg tggacaagag eaggtggeag caggggaacg tetteteatg etcegtgatg catgaggete tgeacaacea etacaegeag aagagcctct ccctgtctcc gggtaaa

FIGURA 1U

Cadena pesada de IgG1 de 1519gH20 (V+ constante de gamma 1 humana) con secuencia señal subrayada y en cursiva SEQ ID NO: 74

atggaatgga getgggtett tetettette etgteagtaa etacaggagt eeattetgag gtaccacttg tggaaagcgg aggaggtctt gtgcagcctg gaggaagttt acgtctctct tgtgctgtgt ctggcttcac cttctccaat tacggaatgg tctgggtcag acaagcacct ggaaagggtc ttgaatgggt ggcctatatt gactctgacg gggacaacac ctactatcgg gattccgtga aaggacgctt cacaatctcc cgagataacg ccaagagctc actgtacctg cagatgaata gcctgagagc cgaggatact gccgtgtact attgcacaac gggaatcgtt aggeetttte tgtactgggg acagggeace ttggttactg tetegagege ttetacaaag ggcccatcgg tcttccccct ggcaccctcc tccaagagca cctctggggg cacagcggcc ctgggctgcc tggtcaagga ctacttcccc gaaccggtga cggtgtcgtg gaactcaggc gccctgacca gcggcgtgca caccttcccg gctgtcctac agtcctcagg actctactcc ctcagcagcg tggtgaccgt gccctccagc agcttgggca cccagaccta catctgcaac qtqaatcaca aqcccaqcaa caccaaqqtc qacaaqaaag ttqqtqaqaq qccaqcacaq qqaqqqaqqq tqtctqctqq aaqccaqqct caqcqctcct qcctqqacqc atcccqqcta tgcagcccca gtccagggca gcaaggcagg ccccgtctgc ctcttcaccc ggaggcctct gcccgcccca ctcatgctca gggagagggt cttctggctt tttccccagg ctctgggcag gcacaggeta ggtgccccta acccaggece tgcacacaaa ggggcaggtg ctgggctcag acctgccaag agccatatcc gggaggaccc tgcccctgac ctaagcccac cccaaaggcc aaactctcca ctccctcagc tcggacacct tctctcctcc cagatctgag taactcccaa tettetetet geagageeca aatettgtga caaaaeteae acatgeecae egtgeecagg taagccagcc caggcctcgc cctccagctc aaggcgggac aggtgcccta gagtagcctg catccaggga caggccccag ccgggtgctg acacgtccac ctccatctct tcctcagcac ctgaactcct ggggggaccg tcagtcttcc tcttcccccc aaaacccaag gacaccctca tgatctcccg gacccctgag gtcacatgcg tggtggtgga cgtgagccac gaagaccctg aggtcaagtt caactggtac gtggacggcg tggaggtgca taatgccaag acaaagccgc gggaggagca gtacaacagc acgtaccgtg tggtcagcgt cctcaccgtc ctgcaccagg actggctgaa tggcaaggag tacaagtgca aggtctccaa caaagccctc ccagccccca togagaaaac catotocaaa gocaaaggtg ggacoogtgg ggtgcgaggg ccacatggac agaggccggc tcggcccacc ctctgccctg agagtgaccg ctgtaccaac ctctgtccct acagggcage cccgagaace acaggtgtac accctgcccc catcccggga tgagctgacc aagaaccagg tcagcctgac ctgcctggtc aaaggcttct atcccagcga catcgccgtg gagtgggaga gcaatgggca gccggagaac aactacaaga ccacgcctcc cgtgctggac teegaegget cettetteet etacageaag eteacegtgg acaagageag gtggeageag gggaacgtct tctcatgctc cgtgatgcat gaggctctgc acaaccacta cacgcagaag agcctctccc tgtctccgggtaaa

FIGURA 1V

Cadena ligera de 1519gL20 (V+ constante, expresión alternativa en mamíferos) SEQ ID NO: 75

```
gatatccaga tgacccagag cccatctagc ttatccgctt ccgttggtga
tcgcgtgaca attacgtgta agagctccca atctctcgtg ggtgcaagtg
gcaagaccta tctgtactgg ctctttcaga agcctggcaa ggcaccaaaa
cggctgatct atctggtgtc tacccttgac tctgggatac cgtcacgatt
ttccggatct gggagcggaa ctgagttcac actcacgatt tcatcgctgc
aacccgagga ctttgctacc tactactgcc tgcaaggcac tcatttccct
cacactttcg gccaggggac aaaactcgaa atcaaacgta cggtagcggc
cccatctgtc ttcatcttcc cgccatctga tgagcagttg aaatctggaa
ctgcctctgt tgtgtgcctg ctgaataact tctatcccag agaggccaaa
gtacagtgga aggtggataa cgccctccaa tcgggtaact cccaggagg
tgtcacagag caggacagca tacgagaac ctacagctc agcagcacc
tgacgctgag caaagcagac tacgagaac acaaagtcta cgcctgcgaa
gtcacccatc agggcctgag ctcgccgtc acaaagagct tcaacagggg agagtgt
```

Cadena pesada de Fab' de 1519gH20 (V+ CH1 de gamma 1 humana + bisagra, expresión en mamíferos una base cambiada de la SEQ ID NO: 38) SEQ ID NO: 76

```
gaggtaccac ttgtggaaag cggaggaggt cttgtgagc ctggaggaag tttacgtctc tcttgtgctg tgtctggctt caccttctcc aattacggaa tggtctggt cagacaagca cctggaaagg gtcttgaatg ggtggcctat attgactctg acgggacaa cacctactat cgggattccg tgaaaggacg cttcacaatc tcccgagata acgccaagag ctcactgtac ctgcagatga atagcctgag agccgaggat actgccgtgt actattgcac aacgggaatc gttaggcct ttctgtactg gggacagggc accttggta ctgtctcagag cgcttctaca aagggcccat cggtcttccc cctggcaccc tcctcaaga gcacctctgg gggcacagcg gccctgggct gcctggtca ggacacctc ccggaccgt tacagtctc aggactctac ccggaccgt gcacacctc ccggctgtcc tacagtcctc aggactctac tccccagca gcgtggtac cgtgccctca agcagcttgg gcacccagac ctacatctgc aacgtgaatc acaagcccag caacaccaag gtggacaaga aagttgagcc caaatcttgt gacaaaactc acaagcccag cgcg
```

Cadena pesada de Fab' de 1519gH20 con secuencia señal subrayada y en cursiva (expresión en mamíferos una base cambiada de la SEQ ID NO: 42) SEQ ID NO: 77

```
atggaatgga getgggtett tetetette etgteagtaa etacaggagt ecattetgag gtaccaettg tggaaagegg aggaggtett gtgeageetg gaggaagttt aegtetetet tgtgetgtgt etggetteae etteteeaat tacggaatgg tetgggteag acaageacet ggaaagggte ttgaatgggt ggeetatatt gaetetgaeg gggacaacae etactategg gatteegtga aaggaegett eacaatetee egagataaeg ecaagagete aetgtaeetg eagatgaata geetgagage egaggataet geegtgtaet attgeaeaae gggaategtt aggeettte tgtaetgggg acagggeaee ttggttaetg tetegaggee ttetacaaag ggeeeategg tetteeeet ggeaeeetee teeaagagea eetetggggg eacageggee etggteete egggeggege eacetteeeg getgteetae agteetaegg eeetgaeea eetetgeae eacetteeeg getgteetae agteetaegg tegtgaeegt geeeteeage agettggea eecetaeee eteageageg tggtgaeegt geeeteeage agettgggea eecetaeee eteageae gtgaateaea ageeeageaa eaceaaggtg gaeaagaaag ttgageeeaa atettgtgae aaaaeteaea eatgegeege g
```

Figura 1W

Cadena ligera de FabFv de 1519gL20 (secuencia alternativa a SEQ ID NO: 46) SEQ ID NO: 78

```
DIQMTQSPSS LSASVGDRVT ITCKSSQSLV GASGKTYLYW LFQKPGKAPK RLIYLVSTLD SGIPSRFSGS GSGTEFTLTI SSLQPEDFAT YYCLQGTHFP HTFGQGTKLE IKRTVAAPSV FIFPPSDEQL KSGTASVVCL LNNFYPREAK VQWKVDNALQ SGNSQESVTE QDSKDSTYSL SSTLTLSKAD YEKHKVYACE VTHQGLSSPV TKSFNRGECG GGGSGGGGS GGGSDIQMTQ SPSSVSASVG DRVTITCQSS PSVWSNFLSW YQQKPGKAPK LLIYEASKLT SGVPSRFSGS GSGTDFTLTI SSLQPEDFAT YYCGGGYSSI SDTTFGCGTK VEIKRT
```

Cadena ligera de FabFv de 1519gL20 (secuencia alternativa a SEQ ID NO: 47) SEQ ID NO: 79

```
gacatecaga tgacecagte eccetecage etgteegeet eegtgggega
cagagtgace atcacatgca agtectecca gteeetggte ggageeteeg
qcaaqaccta cetqtactqq etqttecaqa aqeeeqqcaa qqeeeccaaq
eggetgatet acetggtgte taccetggae teeggeatee eeteeeggtt
ctccggctct ggctctggca ccgagttcac cctgaccatc tccagcctgc
agcccgagga cttcgccacc tactactgtc tgcaaggcac ccacttcccc
cacaccttcg gccagggcac caagctggaa atcaagcgga ccgtagcggc
cccatctgtc ttcatcttcc cgccatctga tgagcagttg aaatctggaa
ctgcctctgt tgtgtgcctg ctgaataact tctatcccag agaggccaaa
gtacagtgga aggtggataa cgccctccaa tcgggtaact cccaggagag
tgtcacagag caggacagca aggacagcac ctacagcctc agcagcaccc
tgacgctgag caaagcagac tacgagaaac acaaagtcta cgcctgcgaa
gtcacccatc agggcctgag ctcgcccgtc acaaagagct tcaacagggg
agagtgtggt ggaggtggct ctggcggtgg tggctccgga ggcggaggaa
qcqacatcca qatqacccaq aqcccttcct ctqtaaqcqc caqtqtcqqa
gacagagtga ctattacctg ccaaagctcc ccttcagtct ggtccaattt
tctatcctqq tatcaqcaaa aqcccqqaaa qqctcctaaa ttqctqatct
acgaagcaag caaactcacc agcggcgtgc ccagcaggtt cagcggcagt
gggtctggaa ctgactttac cctgacaatc tcctcactcc agcccgagga
cttcgccacc tattactgcg gtggaggtta cagtagcata agtgatacga
catttggatg cggcactaaa gtggaaatca agcgtacc
```

FIGURA 1X

Cadena pesada de FabFv de 1519gH20 (secuencia alternativa a SEQ ID NO: 51) SEQ ID NO: 80

```
gaggtgcccc tggtggaatc tggcggcgga ctggtgcagc ctggcggctc
cctgagactg tcttgcgccg tgtccggctt caccttctcc aactacggca
tggtctgggt ccgacaggct cctggcaagg gactggaatg ggtggcctac
atcgactccg acggcgacaa cacctactac cgggactccg tgaagggccg
gttcaccatc tcccgggaca acgccaagtc ctccctgtac ctgcagatga
actccctgcg ggccgaggac accgccgtgt actactgcac caccggcatc
gtgcggccct ttctgtactg gggccagggc accctggtca ccgtgtcctc
tgcttctaca aagggcccat cggtcttccc cctggcaccc tcctccaaga
gcacctctgg gggcacagcg gccctgggct gcctggtcaa ggactacttc
cccgaaccgg tgacggtgtc gtggaactca ggcgccctga ccagcggcgt
qcacaccttc ccqqctqtcc tacaqtcctc tqqactctac tccctcaqca
gcgtggtgac cgtgccctcc agcagcttgg gcacccagac ctacatctgc
aacgtgaatc acaagcccag caacaccaag gtggacaaga aagttgagcc
caaatcttgt teeggaggtg geggtteegg aggtggeggt acaggtggeg
qtqqqtccqa aqtccaqctq cttqaatccq qaqqcqqact cqtqcaqccc
ggaggcagte ttegettgte etgegetgta tetggaateg acetgageaa
ttacgccatc aactgggtga gacaggcacc tgggaaatgc ctcgaatgga
tcggcattat atgggctagt gggacgacct tttatgctac atgggcgaag
ggtagattca caatctcacg ggataatagt aagaacacag tgtacctgca
gatgaactcc ctgcgagcag aggataccgc cgtttactat tgtgctcgca
ctgtcccagg ttatagcact gcaccctact ttgatctgtg ggggcagggc
actctggtca ccgtctcgtc c
```

Figura 1Y (secuencias señal subrayadas y en cursiva)

Región VL del Ac 1548 de Rata (secuencia alternativa a SEQ ID NO: 58) SEQ ID NO: 81

DVVMTQTPLS LSVAIGQPAS ISSKSSQSLV GAGGKTYLYW LLQRSGQSPK RLIYLVSTLD SGIPDRFSGS GAETDFTLKI RRVEADDLGV YYCLQGTHFP HTFGAGTNLE IK

Región VL del Ac 1548 de Rata (secuencia alternativa a SEQ ID NO: 59) SEQ ID NO: 82

Región VH del Ac 1548 de Rata (secuencia alternativa a SEQ ID NO: 60) SEQ ID NO: 83

EVPLVESGGG SVQPGRSMKL SCVVSGFTFS NYGMVWVRQA PKKGLEWVAY IGSDGDNTYY RDSVKGRFTI SRNNAKSTLY LQMDSLRSED TATYYCTTGI VRPFLYWGOG VMVTVS

Región VH del Ac 1548 de Rata (secuencia alternativa a SEQ ID NO: 61) SEQ ID NO: 84

Figura 1Z

Cadena pesada de IgG1 de 1519gH20 (V + constante de gamma 1 humana, exones subrayados una base cambiada de la SEQ ID NO: 71) SEQ ID NO: 85

gaggtaccac ttgtggaaag cggaggaggt cttgtgcagc ctggaggaag tttacqtctc tcttgtgctg tgtctggctt caccttctcc aattacggaa tggtctgggt cagacaagca cctggaaagg gtcttgaatg ggtggcctat attgactctg acggggacaa cacctactat cgggattccg tgaaaggacg cttcacaatc tcccgagata acgccaagag ctcactgtac ctgcagatga atagcctgag agccgaggat actgccgtgt actattgcac aacgggaatc gttaggcctt ttctgtactg gggacagggc accttggtta ctgtctcgag cgcttctaca aagggcccat cggtcttccc cctggcaccc tcctccaaga gcacctctgg gggcacagcg gccctgggct gcctggtcaa ggactacttc cccgaaccgg tgacggtgtc gtggaactca ggcgccctga ccagcggcgt gcacaccttc ccggctgtcc tacagtcctc aggactctac tccctcagca gcgtggtgac cgtgccctcc agcagcttgg gcacccagac ctacatctgc aacgtgaatc acaagcccag caacaccaag gtggacaaga aagttggtga gaggccagca cagggaggga gggtgtctgc tggaagccag gctcagcgct cctgcctgga cgcatcccgg ctatgcagec ceagtecagg geageaagge aggeeeegte tgeetettea eeeggaggee tetgecegee ceaeteatge teagggagag ggtettetgg ettttteeee aggetetggg caggcacagg ctaggtgccc ctaacccagg ccctgcacac aaaggggcag gtgctgggct cagacctgcc aagagccata tccgggagga ccctgcccct gacctaagcc caccccaaag gccaaactct ccactccctc agctcggaca ccttctctcc tcccagatct gagtaactcc caatettete tetgeagage ceaaatettg tgacaaaaet cacacatgee cacegtgeee aggtaageca geccaggeet egecetecag eteaaggegg gacaggtgee etagagtage ctgcatccag ggacaggccc cagccgggtg ctgacacgtc cacctccatc tettectcag cacctgaact cctgggggga ccgtcagtct tcctcttccc cccaaaaccc aaggacaccc tcatgatete eeggaceeet gaggteacat gegtggtggt ggaegtgage eaegaagaee ctgaggtcaa gttcaactgg tacgtggacg gcgtggaggt gcataatgcc aagacaaagc cgcgggagga gcagtacaac agcacgtacc gtgtggtcag cgtcctcacc gtcctgcacc aggactggct gaatggcaag gagtacaagt gcaaggtctc caacaaagcc ctcccagccc ccatcqaqaa aaccatctcc aaaqccaaaq qtqqqacccq tqqqqtqcqa qqqccacatq gacagaggee ggeteggeee accetetgee etgagagtga cegetgtace aacetetgte cctacagggc agccccgaga accacaggtg tacaccctgc ccccatcccg ggatgagctg accaaqaacc aggtcagcet gacctgcctg gtcaaagget tetateecag egacategee gtggagtggg agagcaatgg gcagccggag aacaactaca agaccacgcc tcccgtgctg gactccgacg gctccttctt cctctacagc aagctcaccg tggacaagag caggtggcag caggggaacg tottotoatg otcogtgatg catgaggoto tgcacaacca otacacgcag aagagcctct ccctgtctcc gggtaaa

Figura 1AA

Cadena pesada de IgG1 de 1519gH20 (V + constante de gamma 1 humana) con secuencia señal subrayada y en cursiva (una base cambiada de la SEQ ID NO: 72) SEQ ID NO: 86

```
atggaatgga gctgggtctt tctcttcttc ctgtcagtaa ctacaggagt ccattctgag
gtaccacttg tggaaagcgg aggaggtctt gtgcagcctg gaggaagttt acgtctctct
tgtgctgtgt ctggcttcac cttctccaat tacggaatgg tctgggtcag acaagcacct
ggaaagggtc ttgaatgggt ggcctatatt gactctgacg gggacaacac ctactatcgg
gatteeqtga aaggaegett cacaatetee egagataaeg ceaagagete actgtaeetg
cagatgaata gcctgagagc cgaggatact gccgtgtact attgcacaac gggaatcgtt
aggeetttte tgtaetgggg acagggeace ttggttaetg tetegagege ttetacaaag
ggcccatcgg tetteceect ggcaccetee tecaagagea cetetggggg cacageggee
ctgggctgcc tggtcaagga ctacttcccc gaaccggtga cggtgtcgtg gaactcaggc
geoctgacea geggegtgea cacetteeeg getgteetae agteeteagg actetaetee
ctcagcageg tggtgacegt gecetecage agettgggea eccagaceta catetgeaac
gtgaatcaca agcccagcaa caccaaggtg gacaagaaag ttggtgagag gccagcacag
ggagggaggg tgtctgctgg aagccagget cagegcteet geetggaege ateceggeta
tgcagcccca gtccagggca gcaaggcagg ccccgtctgc ctcttcaccc ggaggcctct
gcccgcccca ctcatgctca gggagagggt cttctggctt tttccccagg ctctgggcag
qcacaqqcta qqtqccccta acccaqqccc tqcacacaaa qqqqcaqqtq ctqqqctcaq
acctgccaag agccatatcc gggaggaccc tgcccctgac ctaagcccac cccaaaggcc
aaactctcca ctccctcagc tcggacacct tctctcctcc cagatctgag taactcccaa
tettetetet geagageeca aatettgtga caaaaeteae acatgeecae egtgeecagg
taagccagcc caggcctcgc cctccagctc aaggcgggac aggtgcccta gagtagcctg
catocaggga caggococag cogggtgotg acacgtocac ctocatotot tootcagcac
ctgaactect ggggggaceg teagtettee tetteceece aaaaeecaag gacaeeetea
tgatctcccg gacccctgag gtcacatgcg tggtggtgga cgtgagccac gaagaccctg
aggtcaagtt caactggtac gtggacggcg tggaggtgca taatgccaag acaaagccgc
gggaggagca gtacaacagc acgtaccgtg tggtcagcgt cctcaccgtc ctgcaccagg
actggctgaa tggcaaggag tacaagtgca aggtctccaa caaagccctc ccagccccca
tegagaaaac cateteeaaa geeaaaggtg ggaeeegtgg ggtgegaggg ceaeatggae
agaggccggc tcggcccacc ctctgccctg agagtgaccg ctgtaccaac ctctgtccct
acagggcagc cccgagaacc acaggtgtac accctgcccc catcccggga tgagctgacc
aagaaccagg tcagcctgac ctgcctggtc aaaggcttct atcccagcga catcgccgtg
gagtgggaga gcaatgggca gccggagaac aactacaaga ccacgcctcc cgtgctggac
teegaegget cettetteet etacageaag eteacegtgg acaagageag gtggeageag
gggaacgtct tctcatgctc cgtgatgcat gaggctctgc acaaccacta cacgcagaag
agcctctccc tgtctccgggtaaa
```

Cadena pesada de IgG4 de 1519gH20 (V + constante de gamma 4 humana sin mutaciones P) SEQ ID NO: 87

```
EVPLVESGGG LVQPGGSLRL SCAVSGFTFS NYGMVWVRQA PGKGLEWVAY IDSDGDNTYY RDSVKGRFTI SRDNAKSSLY LQMNSLRAED TAVYYCTTGI VRPFLYWGQG TLVTVSSAST KGPSVFPLAP CSRSTSESTA ALGCLVKDYF PEPVTVSWNS GALTSGVHTF PAVLQSSGLY SLSSVVTVPS SSLGTKTYTC NVDHKPSNTK VDKRVESKYG PPCPSCPAPE FLGGPSVFLF PPKPKDTLMI SRTPEVTCVV VDVSQEDPEV QFNWYVDGVE VHNAKTKPRE EQFNSTYRVV SVLTVLHQDW LNGKEYKCKV SNKGLPSSIE KTISKAKGQP REPQVYTLPP SQEEMTKNQV SLTCLVKGFY PSDIAVEWES NGQPENNYKT TPPVLDSDGS FFLYSRLTVD KSRWQEGNVF SCSVMHEALH NHYTQKSLSL SLGK
```

Figura 1BB

Cadena pesada de IgG4 de 1519gH20 (V + constante de gamma 4 humana, exones subrayados sin mutaciones P) SEQ ID NO: 88

gaggtaccac ttgtggaaag cggaggaggt cttgtgcagc ctggaggaag tttacqtctc tcttqtqctq tgtctggctt caccttctcc aattacqqaa cctggaaagg tggtctgggt cagacaagca gtcttgaatg ggtggcctat attgactctg acggggacaa cacctactat cgggattccg tgaaaggacg cttcacaatc tcccgagata acgccaagag ctcactgtac ctgcagatga atagcctgag agccgaggat actgccgtgt actattgcac aacgggaatc gttaggcctt ttctgtactg gggacagggc accttggtta ctgtctcgag ccgtcttccc cgcttctaca aagggcccat cctggcgccc tgctccagga gcacctccga gagcacagcc gccctgggct gcctggtcaa ggactacttc cccgaaccgg tgacggtgtc gtggaactca ggcgccctga ccagcggcgt gcacaccttc ccggctgtcc tacagtcctc aggactctac tccctcaqca gcgtggtgac cgtgccctcc agcagcttgg gcacgaagac ctacacctgc aacgtagatc acaagcccag caacaccaag gtggacaaga gagttggtga gaggccagca cagggaggga gggtgtctgc tggaagccag gctcagccct cctgcctgga cgcaccccgg ctgtgcagcc ccagcccagg gcagcaaggc atgccccate tgtctcctca cccggaggcc tctgaccacc ccactcatgc ccagggagag ggtcttctgg atttttccac caggctccgg gcagccacag gctggatgcc cctaccccag gccctgcgca tacaggggca ggtgctgcgc tcagacctgc caagagccat atccgggagg accctgcccc tgacctaagc ccaccccaaa ggccaaactc tccactccct cagctcagac accttctctc ctcccagatc tgagtaactc ccaatcttct ctctgcagag tccaaatatg gtccccatg cccatcatgc ccaggtaagc caacccaggc ctcgccctcc ageteaagge gggaeaggtg eectagagta geetgeatee agggaeagge cccaqccqqq tqctqacqca tccacctcca tctcttcctc aqcacctqaq ttcctqqqqq qaccatcaqt cttcctqttc cccccaaaac ccaaqqacac tctcatgatc tcccggaccc ctgaggtcac gtgcgtggtg gtggacgtga gccaggaaga ccccgaggtc cagttcaact ggtacgtgga tggcgtggag gtgcataatg ccaagacaaa gccgcgggag gagcagttca acagcacgta ccgtgtggtc agcgtcctca ccgtcctgca ccaggactgg ctgaacggca aggagtacaa gtgcaaggtc tccaacaaag gcctcccgtc ctccatcgag aaaaccatct ccaaagccaa aggtgggacc cacggggtgc gagggccaca tggacagagg tcagctcggc ccaccetetg ccetgggagt gaccgetgtg ccaacctctg tccctacagg gcagccccga gagccacagg tgtacaccct gcccccatcc caggaggaga tgaccaagaa ccaggtcagc ctgacctgcc tggtcaaagg cttctacccc agcgacatcg ccgtggagtg ggagagcaat cctcccgtgc gggcagccgg agaacaacta caagaccacg tggactccga cggctccttc ttcctctaca gcaggctaac cgtggacaag agcaggtggc aggagggaa tgtcttctca tgctccgtga tgcatgaggc tctgcacaac cactacacac agaagagcct ctccctgtct ctgggtaaa

Figura 1CC

Cadena pesada de IgG4 de 1519gH20 (V + constante de gamma 4 humana) con secuencia señal subrayada y en cursiva- sin mutaciones P SEQ ID NO: 89

atggaatgga gctgggtctt tctcttcttc ctgtcagtaa ctacaggagt ccattctgag gtaccacttg tggaaagcgg aggaggtctt gtgcagcctg gaggaagttt acgtctctct tgtgctgtgt ctggcttcac cttctccaat tacggaatgg tctgggtcag acaagcacct ggaaagggtc ttgaatgggt ggcctatatt gactctgacg gggacaacac ctactatcgg gattccgtga aaggacgctt cacaatctcc cgagataacg ccaagagctc actgtacctg cagatgaata gcctgagagc cgaggatact gccgtgtact attgcacaac gggaatcgtt aggccttttc tgtactgggg acagggcacc ttggttactg tctcgagcgc ttctacaaag ggcccatccg tcttccccct ggcgccctgc tccaggagca cctccgagag cacagccgcc ctgggctgcc tggtcaagga ctacttcccc gaaccggtga cggtgtcgtg gaactcaggc gccctgacca gcggcgtgca caccttcccg gctgtcctac agtcctcagg actctactcc ctcagcagcg tggtgaccgt gccctccagc agcttgggca cgaagaccta cacctgcaac gtagatcaca agcccagcaa caccaaggtg gacaagagag ttggtgagag gccagcacag ggagggaggg tgtctgctgg aagccaggct cagocotoot gootggacgo accooggotg tgcagococa goocagggoa gcaaggcatg ccccatctgt ctcctcaccc ggaggcctct gaccacccca ctcatgccca gggagagggt cttctggatt tttccaccag gctccgggca gccacaggct ggatgcccct accccaggcc ctgcgcatac aggggcaggt gctgcgctca gacctgccaa gagccatatc cgggaggacc ctgcccctga cctaagccca ccccaaaggc caaactctcc actccctcag ctcagacacc ttctctcctc ccagatctga gtaactccca atcttctctc tgcagagtcc aaatatggtc ccccatgccc atcatgccca ggtaagccaa cccaggcctc gccctccagc tcaaggcggg acaggtgccc tagagtagcc tgcatccagg gacaggcccc agccgggtgc tgacgcatcc acctccatct cttcctcagc acctgagttc ctggggggac catcagtctt cctgttcccc ccaaaaccca aggacactet catgatetee eggaceeetg aggteaegtg egtggtggtg gacgtgagcc aggaagaccc cgaggtccag ttcaactggt acgtggatgg cgtggaggtg cataatgcca agacaaagcc gcgggaggag cagttcaaca gcacgtaccg tgtggtcagc gtcctcaccg tcctgcacca ggactggctg aacggcaagg agtacaagtg caaggtctcc aacaaaggcc tcccgtcctc catcgagaaa accatctcca aagccaaagg tgggacccac ggggtgcgag ggccacatgg acagaggtca gctcggccca ccctctgccc tgggagtgac cgctgtgcca acctctgtcc ctacagggca gccccgagag ccacaggtgt acaccctgcc cccatcccag gaggagatga ccaagaacca ggtcagcctg acctgcctgg tcaaaggctt ctaccccagc gacatcgccg tggagtggga gagcaatggg cagccggaga acaactacaa gaccacgcct cccgtgctgg actecgaegg etecttette etetaeagea ggetaaeegt ggaeaagage aggtggcagg aggggaatgt cttctcatgc tccgtgatgc atgaggctct gcacaaccac tacacacaga agagcetete eetgtetetg ggtaaa

Figura 1DD

Región V de 1519 gL20 (expresión en mamíferos alternativa a la SEQ ID NO: 17) SEQ ID NO: 90

```
gacatccaga tgacccagtc cccctccagc ctgtccgcct ccgtgggcga cagagtgacc atcacatgca agtcctcca gtccctggtc ggagcctccg gcaagaccta cctgtactgg ctgttccaga agcccggcaa ggcccccaag cggctgatct acctggtc taccctggac tccggcatcc cctccggtt ctccggctct ggctctggca ccgagttcac cctgaccatc tccagcctgc agcccgagga cttcgccacc tactactgtc tgcaaggcac ccacttcccc cacaccttcg gccagggcac caagctggaa atcaag
```

Cadena ligera de 1519 gL20 (V + constante, expresión en mamíferos alternativa a la SEQ ID NO: 24) SEQ ID NO: 91

```
cagagtgace atcacatgca agtectecaa gteectggte ggageeteeg geaagaceta cetgtactgg etgtteeaga ageeeggeaa ggeeeegate eeggetgatet acetggte taeeetggae teeggeatee eeggetgetet ggetetggea eegagtteae eetgaeeate teeageetge ageeegagga ettegeeaee taetaetgte tgeaaggeae eegagteee eaageetgga ettegeeaee taetaetgte tgeaaggeae eegagteege teeeteegg teeatee eaceeteeggae eageetggaa atcaagegga eegageege eaggeege eaggeege eteeteegt etgaeeaee eageeteega eegageaee eageetgeaee eegeeteegt eegageege eaggeege eaggeege eaggeege eaggeege eaggeegee eaggeege eaggeege eaggeegee eaggeegee
```

ES 2 732 081 T3

Figura 1EE

Región V de 1519 gH20 (expresión en mamíferos alternativa a la SEQ ID NO: 31) SEQ ID NO: 92

```
gaggtgcccc tggtggaatc tggcggcgga ctggtgcagc ctggcggctc cctgagactg tcttgcgccg tgtccggctt caccttctcc aactacggca tggtctgggt ccgacaggct cctggcaagg gactggaatg ggtggcctac atcgactccg acggcgacaa cacctactac cgggactccg tgaagggccg gttcaccatc tcccgggaca acgccaagtc ctccctgtac ctgcagatga actccctgcg ggccgaggac accgcgtgt actactgcac caccggcatc gtgcggccct ttctgtactg gggccagggc accctggtca ccgtgtcc
```

Figura 1FF

Cadena pesada de IgG4 de 1519gH20 (V + constante de gamma 4P humana alternativa a la SEQ ID NO: 44) SEQ ID NO: 93

```
qaqqtqcccc tqqtqqaatc tqqcqqcqqa ctqqtqcaqc ctqqcqqctc
cctgagactg tcttgcgccg tgtccggctt caccttctcc aactacggca
tggtctgggt ccgacaggct cctggcaagg gactggaatg ggtggcctac
ateqactecg acqqcqacaa cacetactac cqqqactecq tqaaqqqccq
qttcaccatc tcccqqqaca acqccaaqtc ctccctqtac ctqcaqatqa
actocotgog ggoogaggac accgoogtgt actactgoac caccggoato
gtgcggccct ttctgtactg gggccagggc accctggtca ccgtgtcctc
tgcctccacc aagggcccct ccgtgttccc tctggcccct tgctcccggt
ccacctccga gtctaccgcc gctctgggct gcctggtcaa ggactacttc
cceqaqceeq tqacaqtqtc ctqqaactct qqeqcectqa cctccqqcqt
gcacaccttc cctgccgtgc tgcagtcctc cggcctgtac tccctgtcct
ccqtcqtqac cqtqccctcc tccaqcctqq qcaccaaqac ctacacctqt
aacqtqqacc acaaqccctc caacaccaaq qtqqacaaqc qqqtqqaatc
taagtacggc cctccctgcc cccctgccc tgcccctgaa tttctgggcg
gaccttccgt gttcctgttc ccccaaagc ccaaggacac cctgatgatc
tcccqqaccc ccqaaqtqac ctqcqtqqtq qtqqacqtqt cccaqqaaqa
tcccgaggtc cagttcaatt ggtacgtgga cggcgtggaa gtgcacaatg
ccaagaccaa gcccagagag gaacagttca actccaccta ccgggtggtg
tccgtgctga ccgtgctgca ccaggactgg ctgaacggca aagagtacaa
qtqcaaqqtq tccaacaaqq qcctqcctc caqcatcqaa aaqaccatct
ccaaggccaa gggccagccc cgcgagcccc aggtgtacac cctgccccct
agccaggaag agatgaccaa gaaccaggtg tccctgacct gtctggtcaa
gggcttctac ccctccgaca ttgccgtgga atgggagtcc aacggccagc
ccgagaacaa ctacaagacc acccccctg tgctggacag cgacggctcc
ttetteetgt actetegget gaeegtggae aagteeeggt ggeaggaagg
caacqtcttc tcctgctccg tgatgcacga ggccctgcac aaccactaca
cccagaagtc cctgtccctg agcctgggca ag
```

β2M humana (SEQ ID NO: 95)

IQKTPQIQVYSRHPPENGKPNFLNCYVSQFHPPQIEIELLKNGKKIPNIEMSDLSFSKDWSFYILAHTEFTPTETDVYA CRVKHVTLKEPKTVTWDRDM

FIGURA 2A

CADENA LIGERA Injerto 1519

	1 5 10 15 20	10	15	20	25	25 30 abcde 35 40 45 50 55 60 65 70 75 80 85 90 95 100 105	35	40	45	20	52	09	65	7.0	75	8 0	82	06	92	100	105
Ligera de 1519	DVVMTQ	TPLSLS	VALGO	PASIS	SCKSSQ	OVVMTQTPLSLSVALGQPASISC kssqsivgasgktylx wlfqrsgqspkrliy lvstlds gipdrfsgsgaetdftkirveaddlgvyyc <mark>logthfphtfgagtklelk</mark>	LYWLE	PORSG	SPKRL	IYLVS	TLDSG	IPDRE	SGSGAI	TDFTI	KIRR	VEADD	TGNXX(LOGIE	FPHT	FGAGT	KLELK
	Ξ	= = = = = = = = = = = = = = = = = = = =	=	=	=		_	=	_	Ξ	_ _ _ _	_	_		=	=	Ξ	Ξ	_ _ _ _ _	_	_
VK1 2-1-(1) A30 DIQMTQSPSSLSASVGDRVTITC rasQgirndlg WYQQKPGKAPKRLIY AASSLQS GVPSRFSGSGSGTEFTLTISSLQPEDFATYYC LQHNSYPYT FGQGTKLEIK	DIOMTO	SPSSLS	ASVGD	RVTIT	CRASO	GIRND	<u>rg</u> wyc	QKPGk	KAPKRL	IYAAS	STOS	VPSRF	SGSGS	TEFTI	TISSI	LQPED	FATYY(LOHNS	YPYT	FGQGT	KLEIK
	_							_ 10			2	_10	_	_							
1519 gL20	DIOMTO	SPSSLS	ASVGD	RVTIT	CKSSQ	DIQMTQSPSSLSASVGDRVTITC KSSQSLVGASGKTYLY W LF QKPGK	TXMT	POKPGF	CAPKRL	IYLVS	TLDSG	PSRF	apkrliy lvstids gæpsrfsgsgsgteftlisslopedfatyyc logethfpht fgogtkleik	TEFTI	TISSI	LQPED	FATYY(LOGIE	FPHT	FGQGT	KLEIK

Leyenda

1519 = Secuencia de cadena ligera variable de rata

1519 gL20 = Injerto humanizado de la cadena ligera variable de 1519 utilizando la línea germinal humana VK1 2-1-(1) A30 como el marco aceptor.

Las CDR se muestran en negrita/subrayadas

Los restos de donante se muestran en negrita/cursiva y se resaltan: L36, F37 e I58

FIGURA 2B

CADENA PESADA Injerto 1519

	<u>~</u>	Ŋ	10	15	20	1 5 10 15 20 25 30 35 40 45 50 a 55 60 65 70 75 80 abc 85 90 95 100 105 110	30	35	40 4	12	00	2 22	09	65	70	75	80	apc	82	06	95	100	105	110
Pesada de 1519	EVPL	VESG	GRSSVQ	PGRSM	KLSCV	WSGFT	FSNYG	MVWR.	ZAPKKO	SLEWVZ	VIDS	DGDI	TYYRD	SVKGR	FTISF	NNAKS	TLYL(MDSL	RSED	TATYY	CIIG	VRPFI	ÕÐM <mark>\</mark>	$\textbf{EVPLUESGGGSVQPGRSMKLSCVVS} \textbf{\textit{GFTFSNYGMV}} \textbf{wvrqapkkglewva} \textbf{\textit{YIDSDGDNTYYRDSVKG}} \textbf{RFTISRNNAKSTLYLQMDSLRSEDTATYYCTT} \textbf{\textit{GIVRPFLY}} \textbf{\textit{wcqgrtyvty}} \textbf{\textit{and}} \textbf{\textit{colline}} $
	_		_	_		_	_	_	_		=	_					_	_	_	_		Ξ	_	
VH3 1-3 3-07	EVQL	VESG	GGTNÖ	PGGSL	RLSCA	AASGET	FSSYW	MS WVR)APGK	LEWV	NIK	DGSE	KYYVD	SVKGR	FTISE	DNAK	SLYL	ISNW?	RAED	TAVYY	CAR	YFI	<u>v</u> wgo	EVQLVESGGGLVQPGGSLRLSCAAS GFTFSSYMMS WVRQAPGKGLEWVA NIKQDGSEKYYVDSVKG RFTISRDNAKNSLYLQMNSLRAEDTAVYYCARYFDYWGQGTLVTVS
1519gH20	EV P L	VESG	GGTAG	PGGSL	RLSCA	 - VSGFT	FSNYG	MVWR()APGKO	SLEWVP	XIDS	DGD	TYYRD	SVKGR	FTISF	DNAK	SLYL	MNSL	RAED	TAVYY	LITTE	VRPFI	õ∋M ⊼	

Levenda

1519 = Secuencia de cadena pesada variable de rata

1519 gH20 = Injerto humanizado de la cadena pesada variable de 1519 utilizando la línea germinal humana VH3 1-3 3-07 como el marco aceptor.

Las CDR se muestran en negrita/subrayadas

Los restos de donante se muestran en negrita/cursiva y se resaltan: P3, V24, S76, T93 y T94

FIGURA 3A Fab' de CA170_01519.g57 se une a las células del clon 34 de MDCK II en pH ácido y neutro.

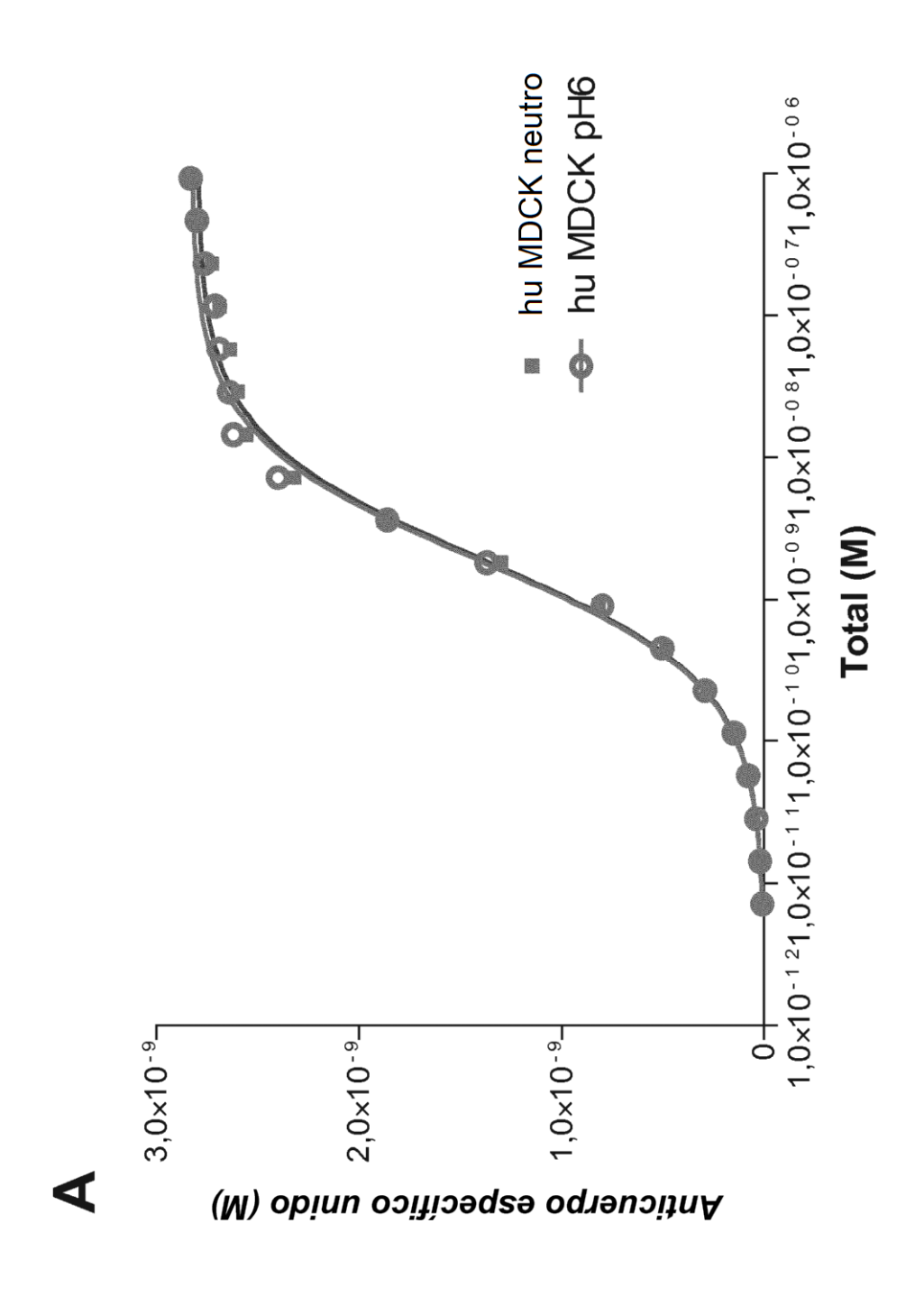


FIGURA 3B Fab'PEG de CA170_01519.g57 se une a las células del clon 34 de MDCK II en pH ácido y neutro.

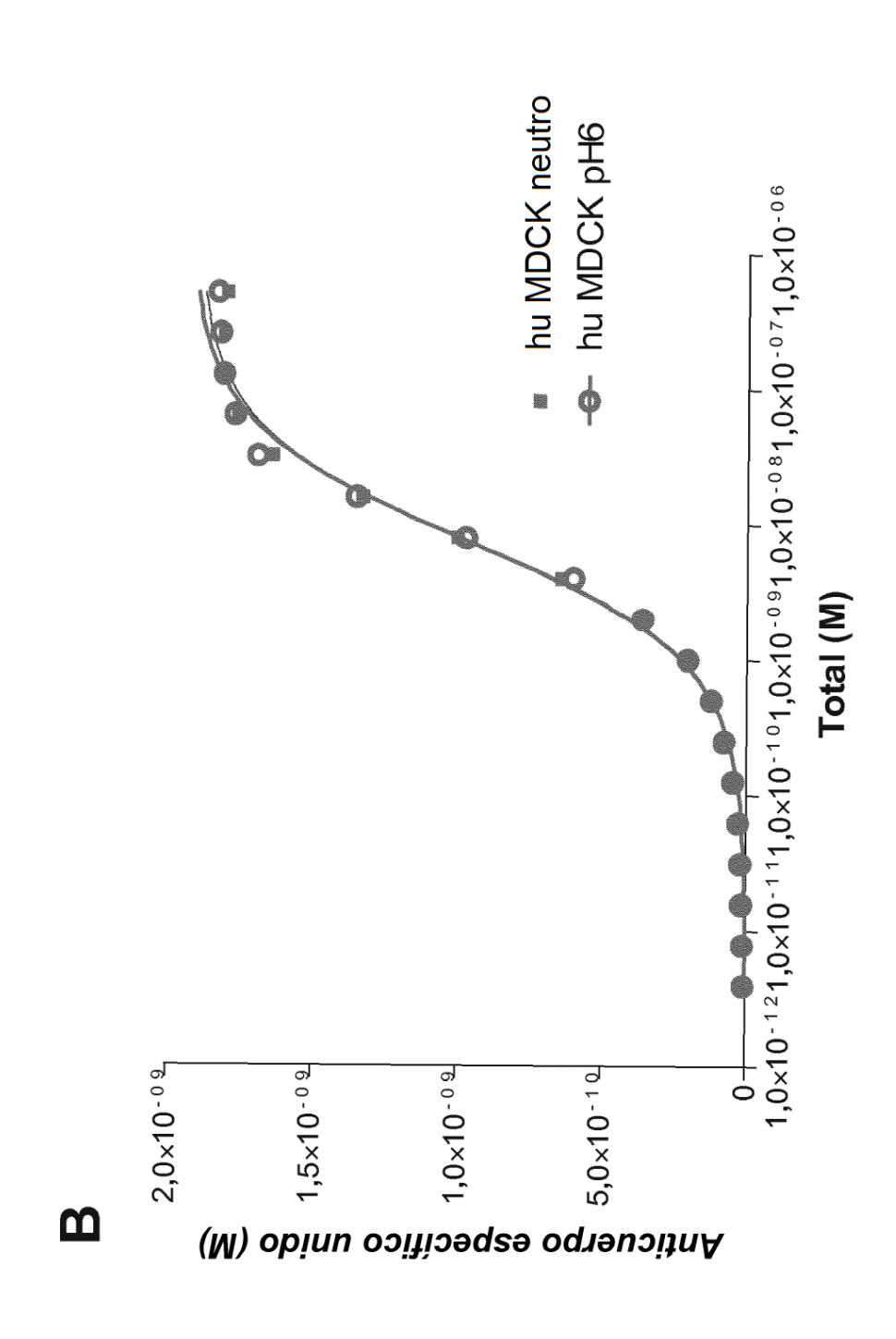
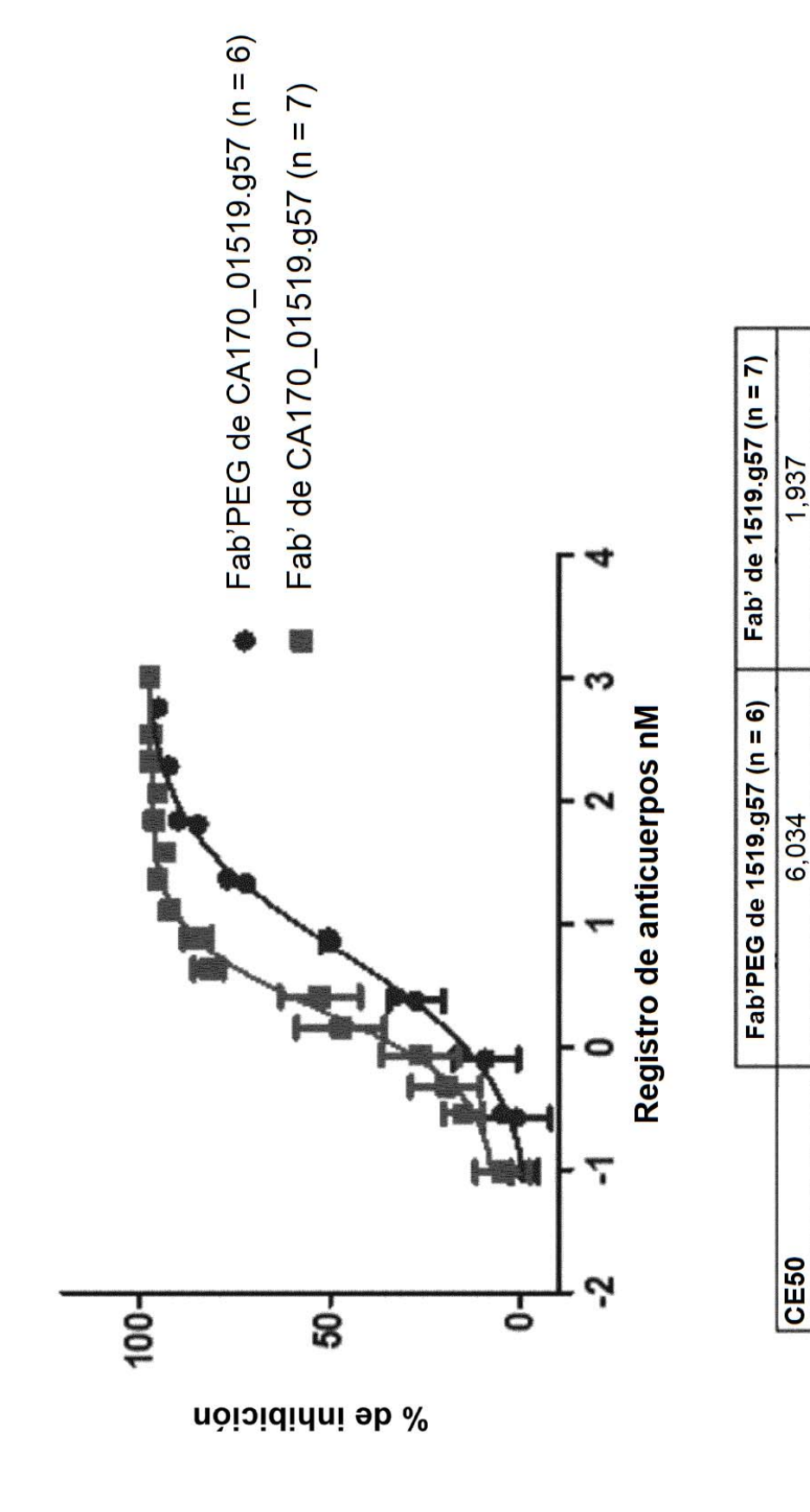


FIGURA 4 CA170_01519.g57 inhibe el reciclado de IgG en células del clon 34 de MDCK II



1,426 a 2,632

4,614 a 7,891

Cl al 95 % (nM)

FIGURA 5 Fab'PEG de CA170_01519.g57 inhibe la transcitosis de IgG de apical a basolateral en células del clon 34 de MDCK II

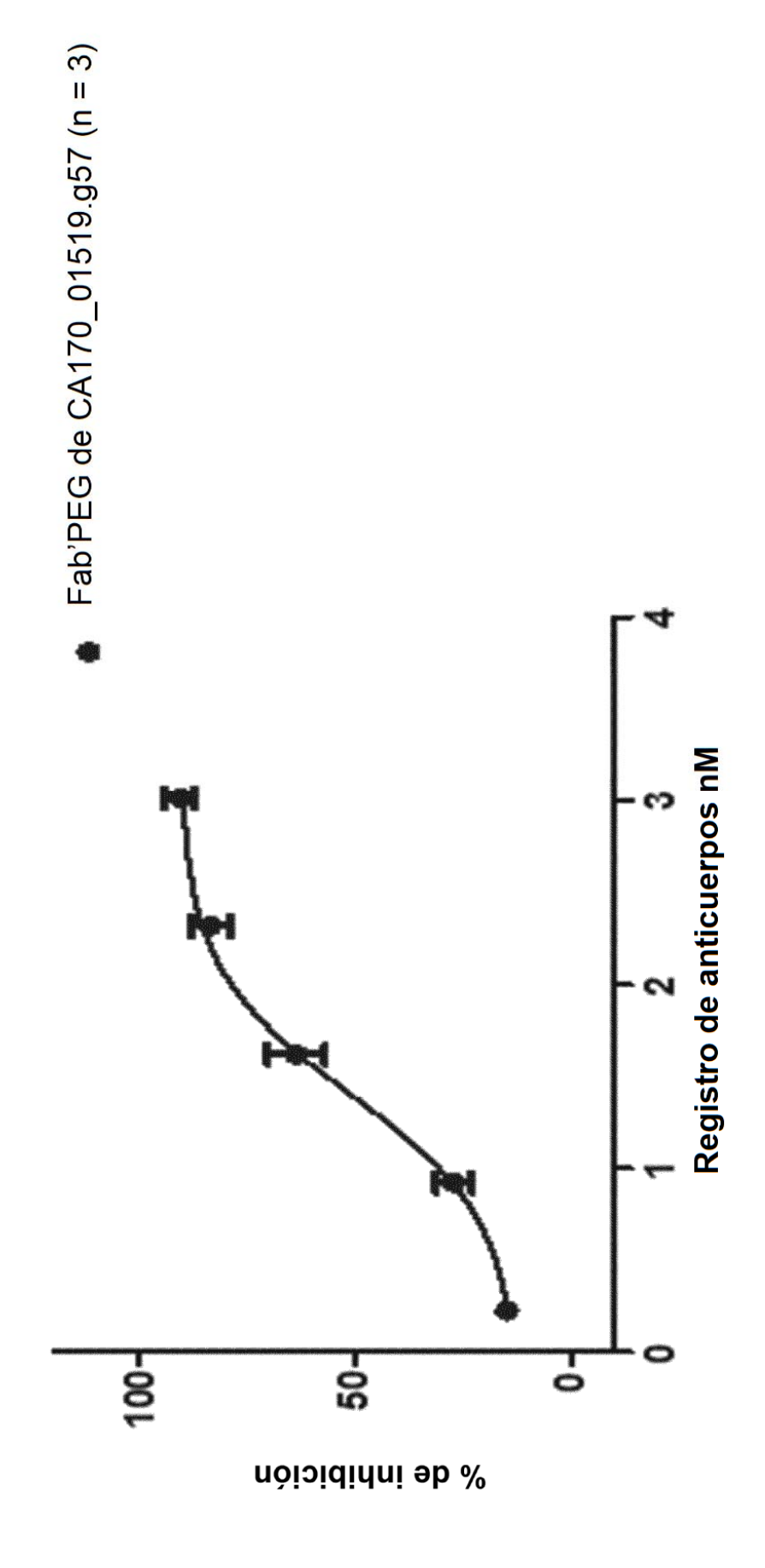


FIGURA 6A Fab' de CA170_01519.g57 se une en células MDCK II (cm) de macaco en pH ácido y neutro

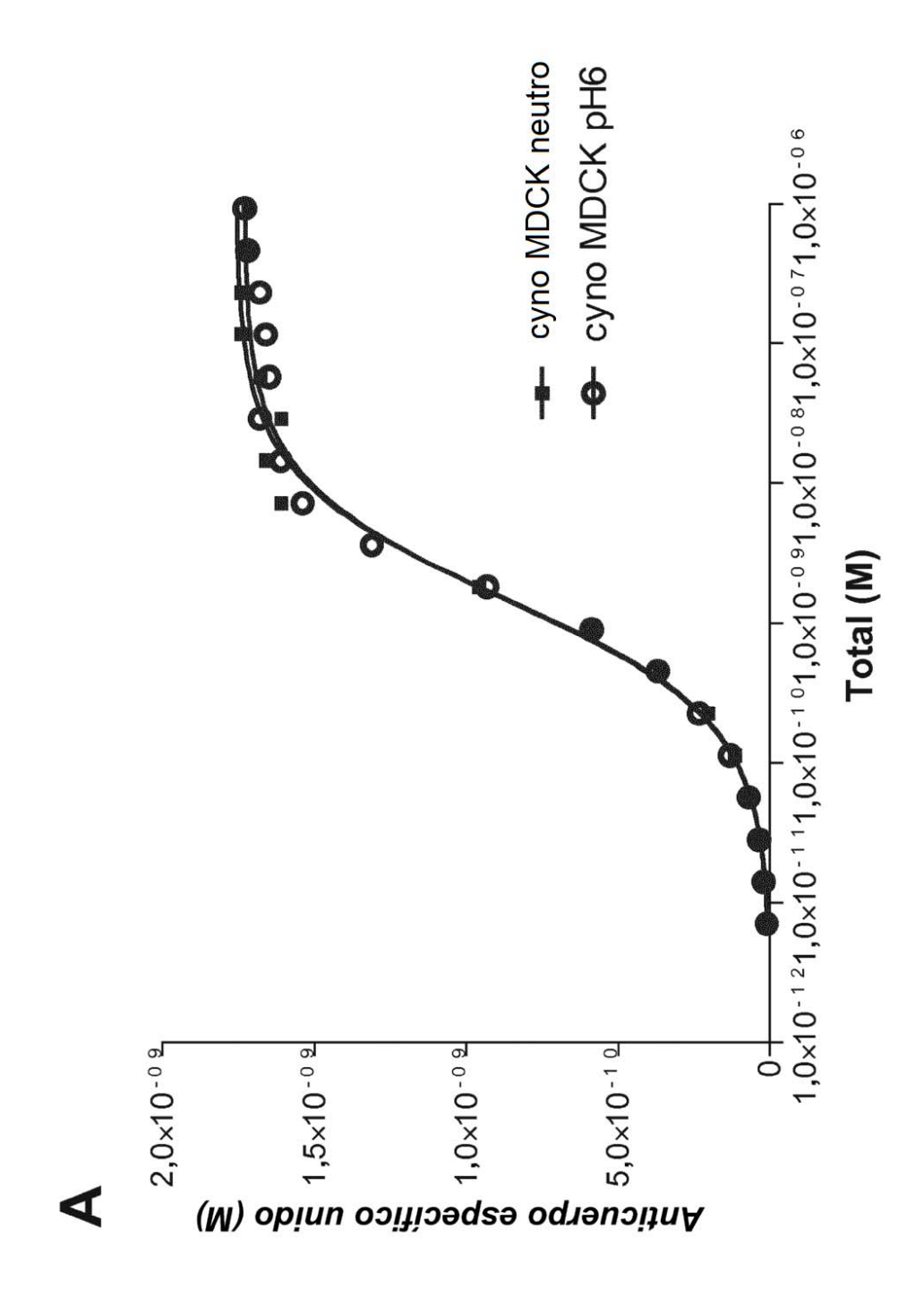


FIGURA 6B Fab'PEG de CA170_01519.g57 se une en células MDCK II (cm) de macaco en pH ácido y neutro

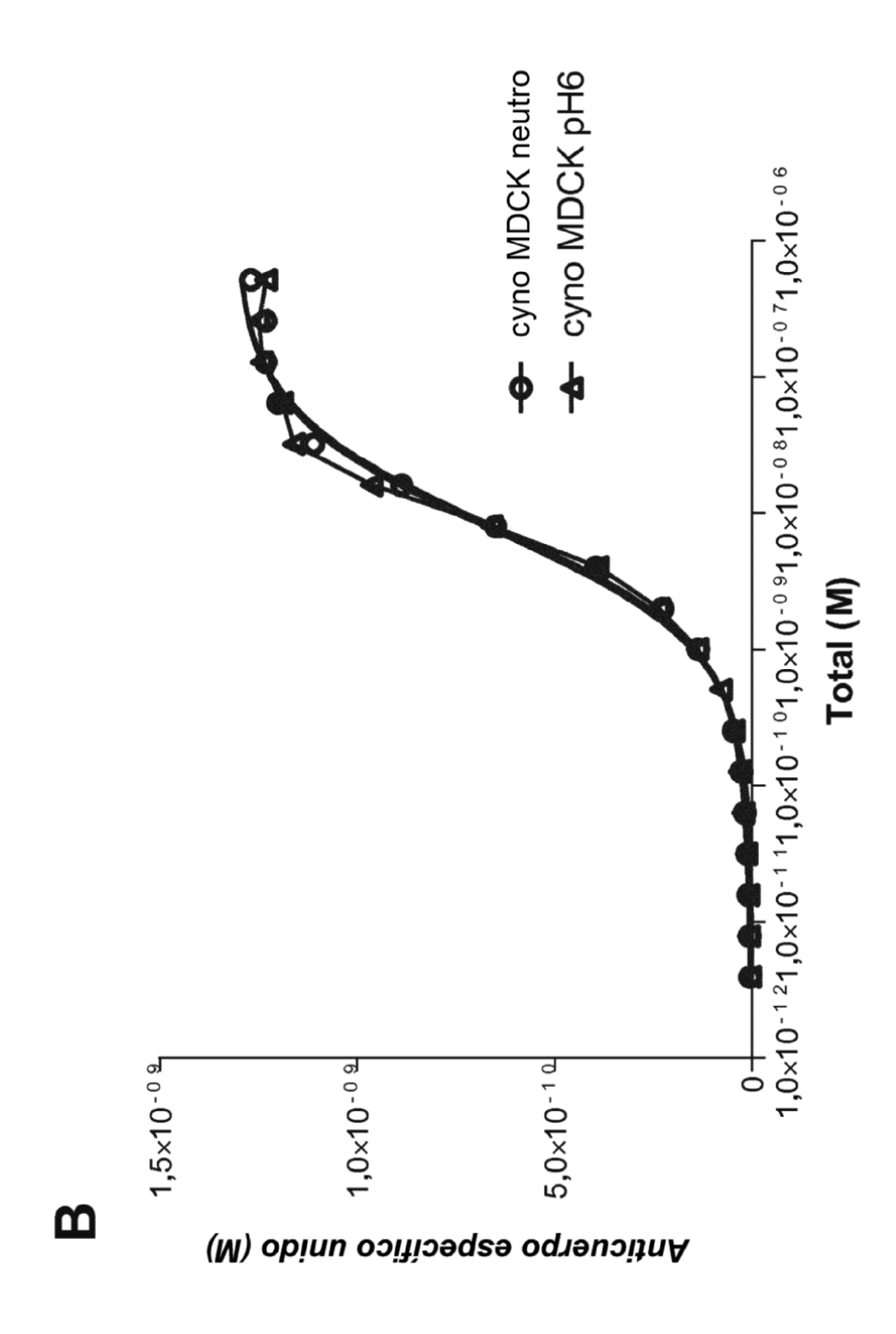
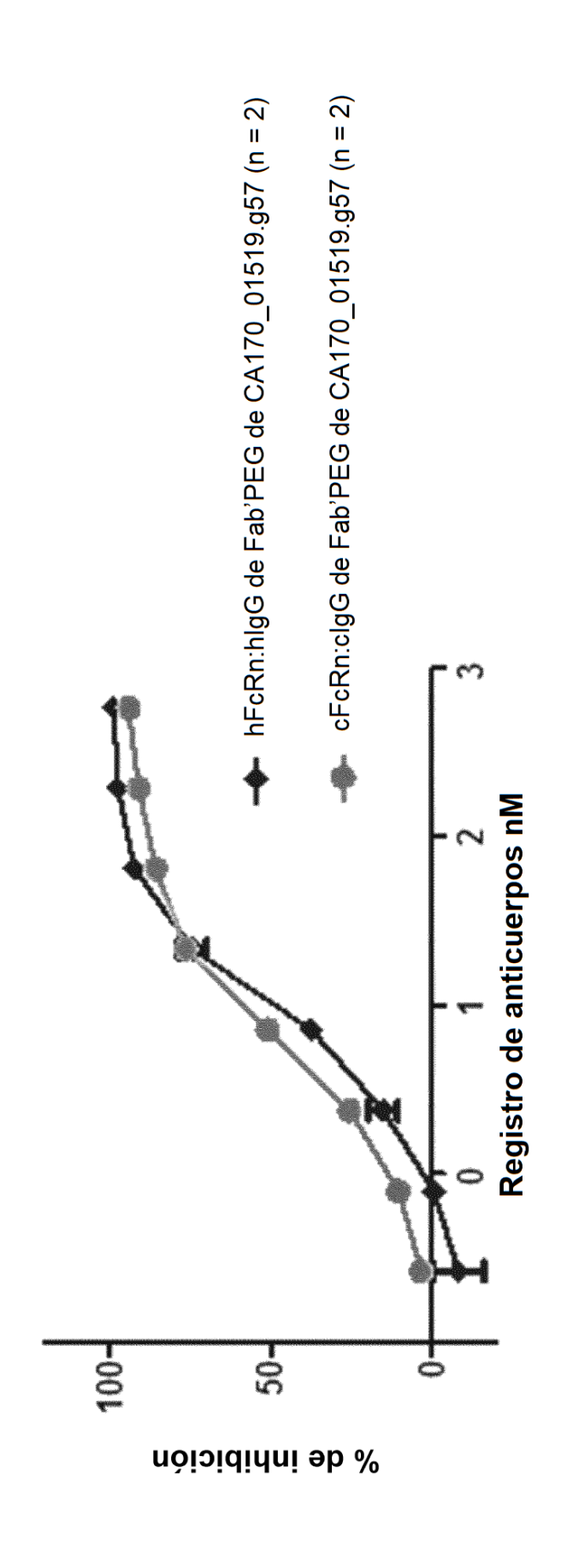


FIGURA 7 CA170_01519.g57 inhibe el reciclado de IgG en células del clon 34 de MDCK II humanas y de macaco y células MDCK II (cm).



8

-#- Fab'PEG 1x100 mg/kg -- Fab'PEG 1x 20 mg/kg 55 20 ★ 1xControl 20 25 30 ~ Tiempo (días) después de la dosis FIGURA 8 Macacos- dosis única de Fab'PEG de 1519 sobre los niveles de IgG en plasma 15 10 S 40+ 20-2007 180-160-140-80--09 129 lgG (% antes de la dosis)

163

- 09 Fab'PEG 4x100 mg/kg Fab'PEG 4x20 mg/kg 20 4xControl Tiempo (días) después de la dosis 13 10 40-20-180-160--09 200-140 (sisob al eb setna %) Del

FIGURA 9 Macacos- 4 dosis semanales de Fab'PEG de 1519 sobre los niveles de IgG en plasma

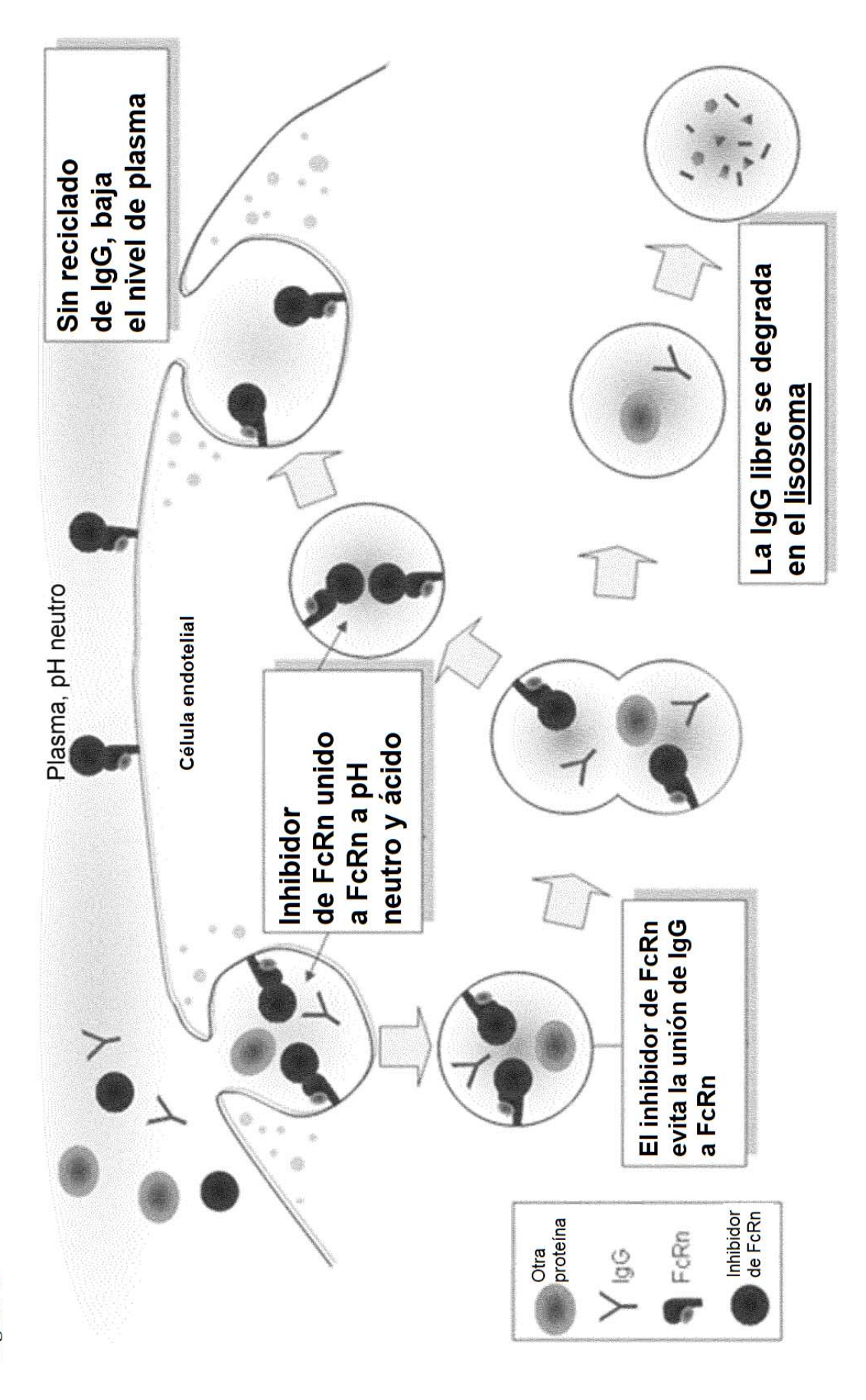
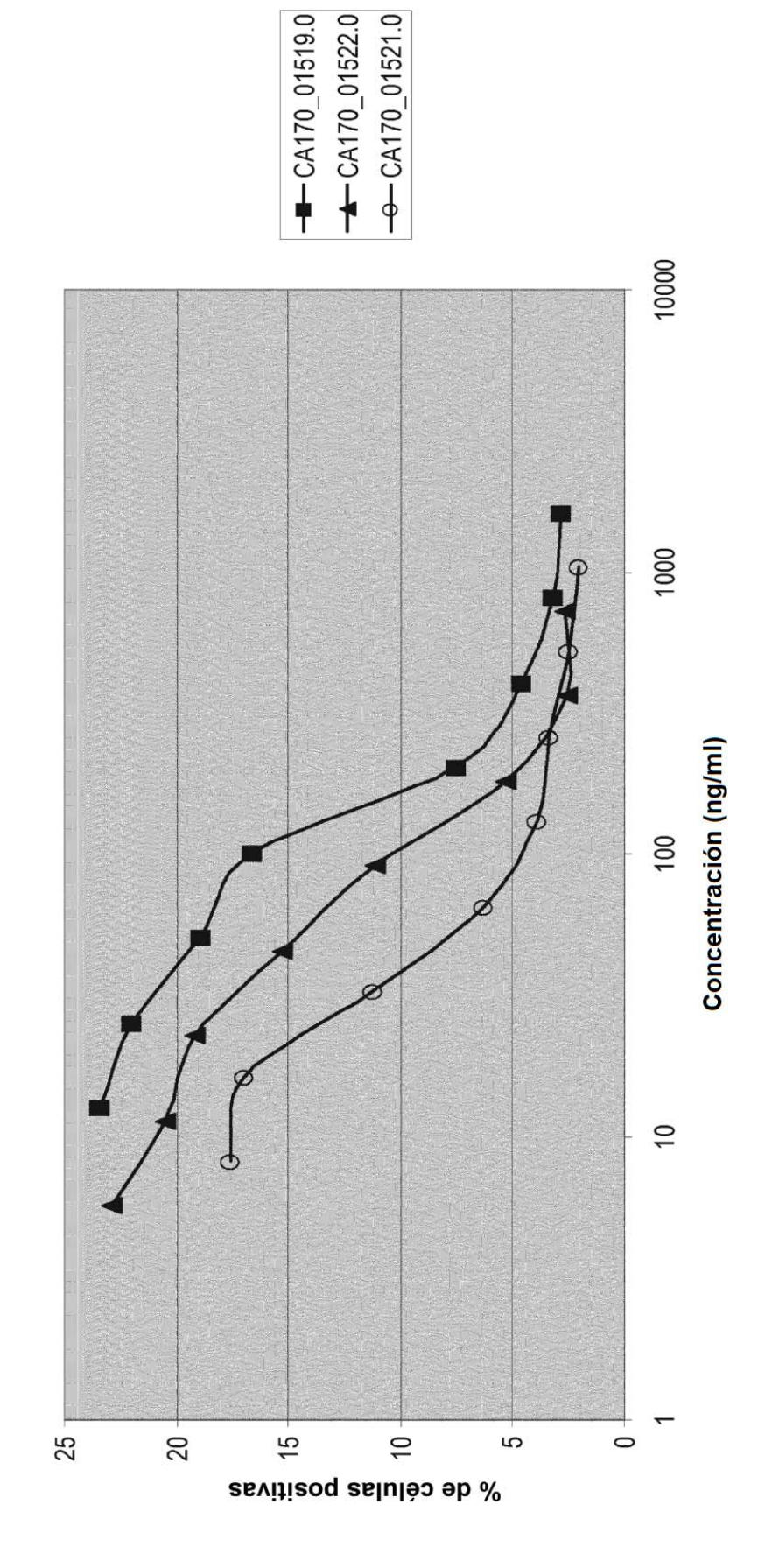
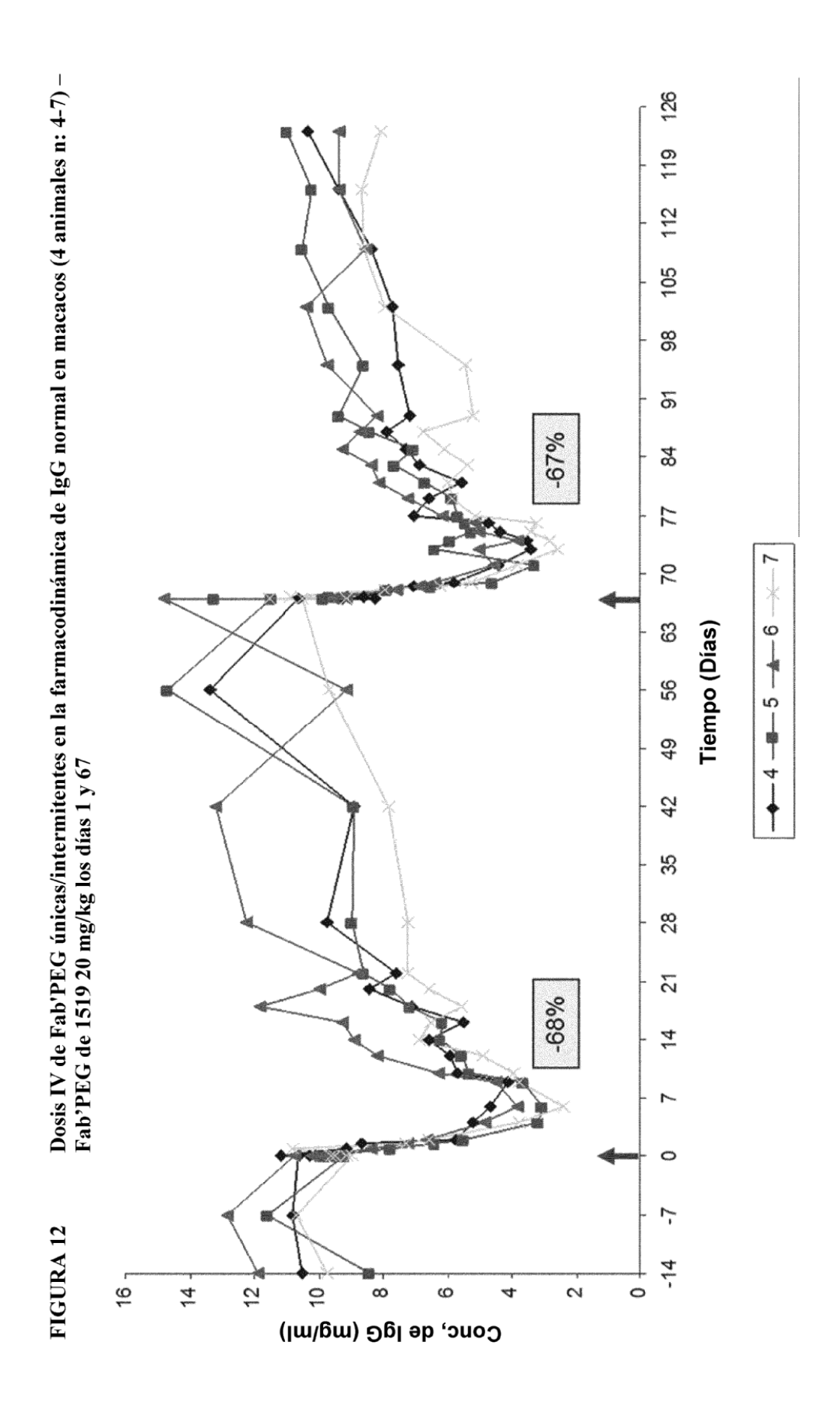


Figura 10

Figura 11 Citometría de flujo basada en ensayos inhibidores de IgG humana utilizando anticuerpos IgG gamma 1 purificados

Ac HuFcRn purificados para humanización – Inhibición de la unión de 488-lgG a HuFcRn (mut) en células HEK293





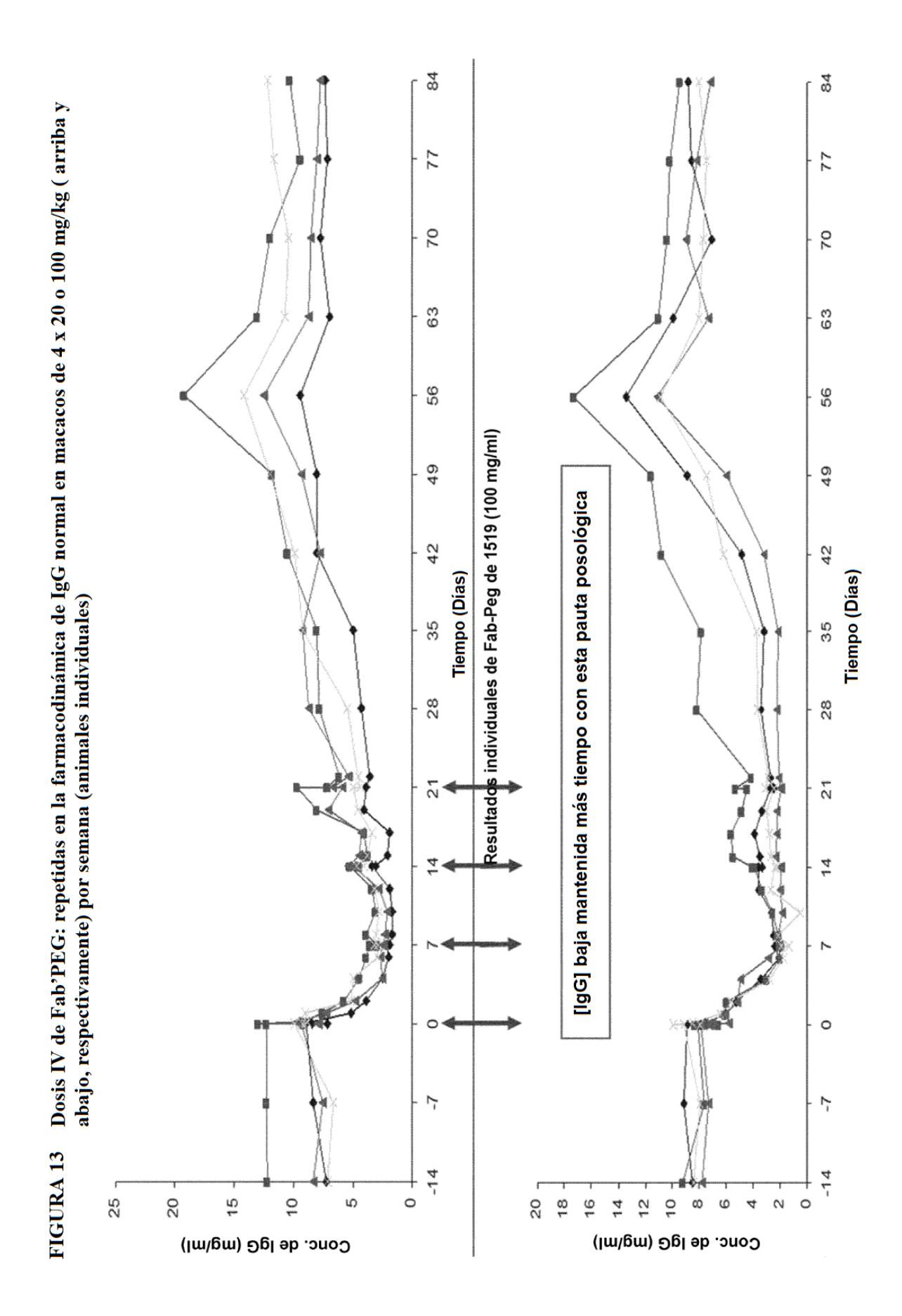
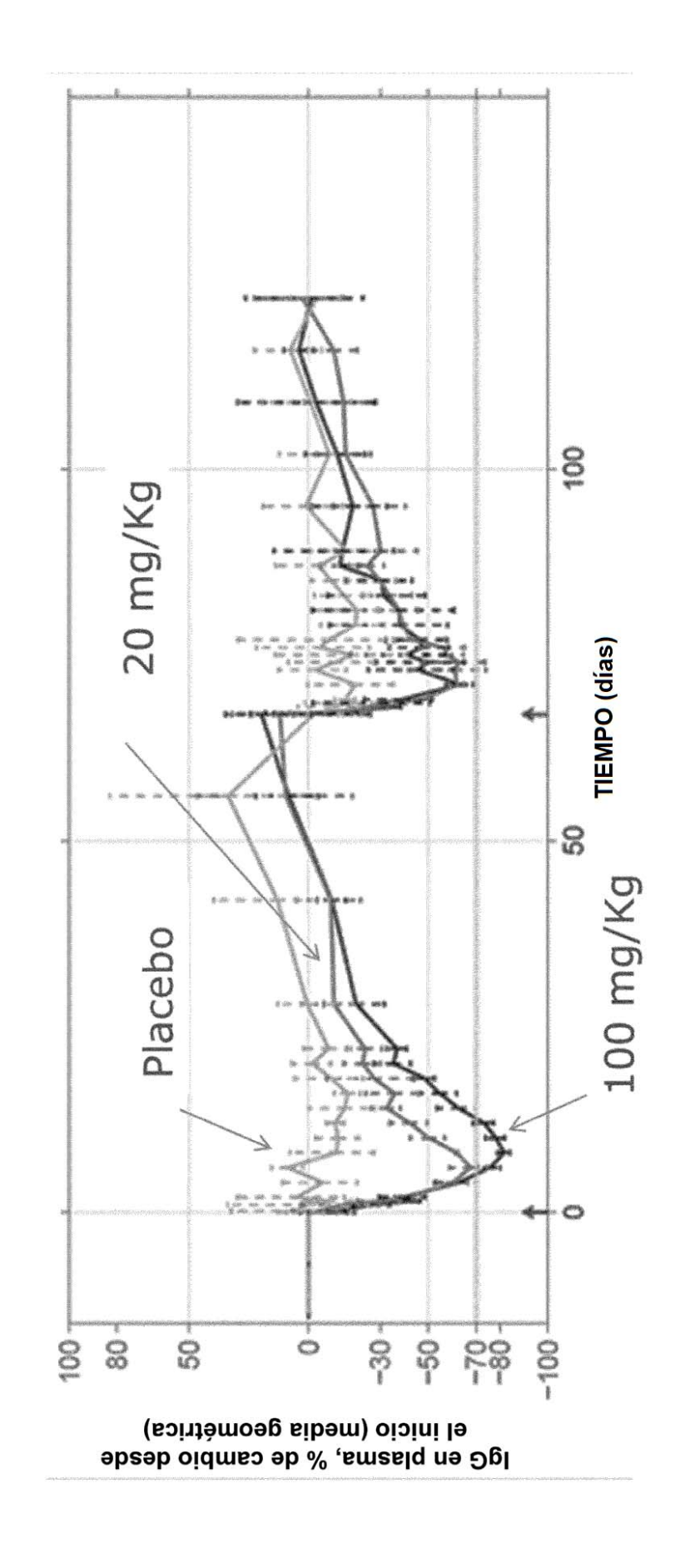


FIGURA 14 Dosis IV de Fab'PEG únicas/intermitentes en la farmacodinámica de IgG normal en macacos a 20 mg/kg y 100 mg/kg los días 1 y 67



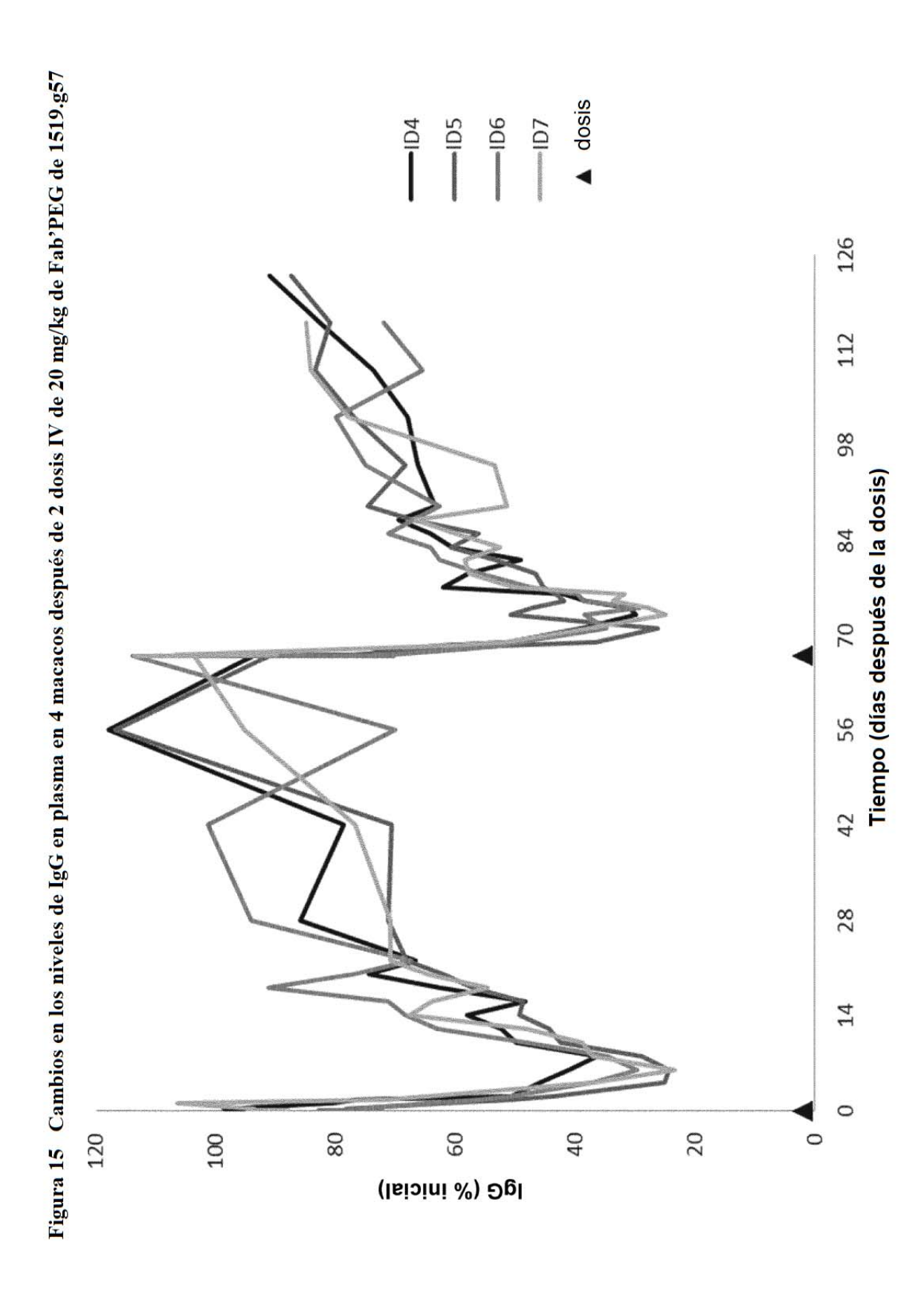
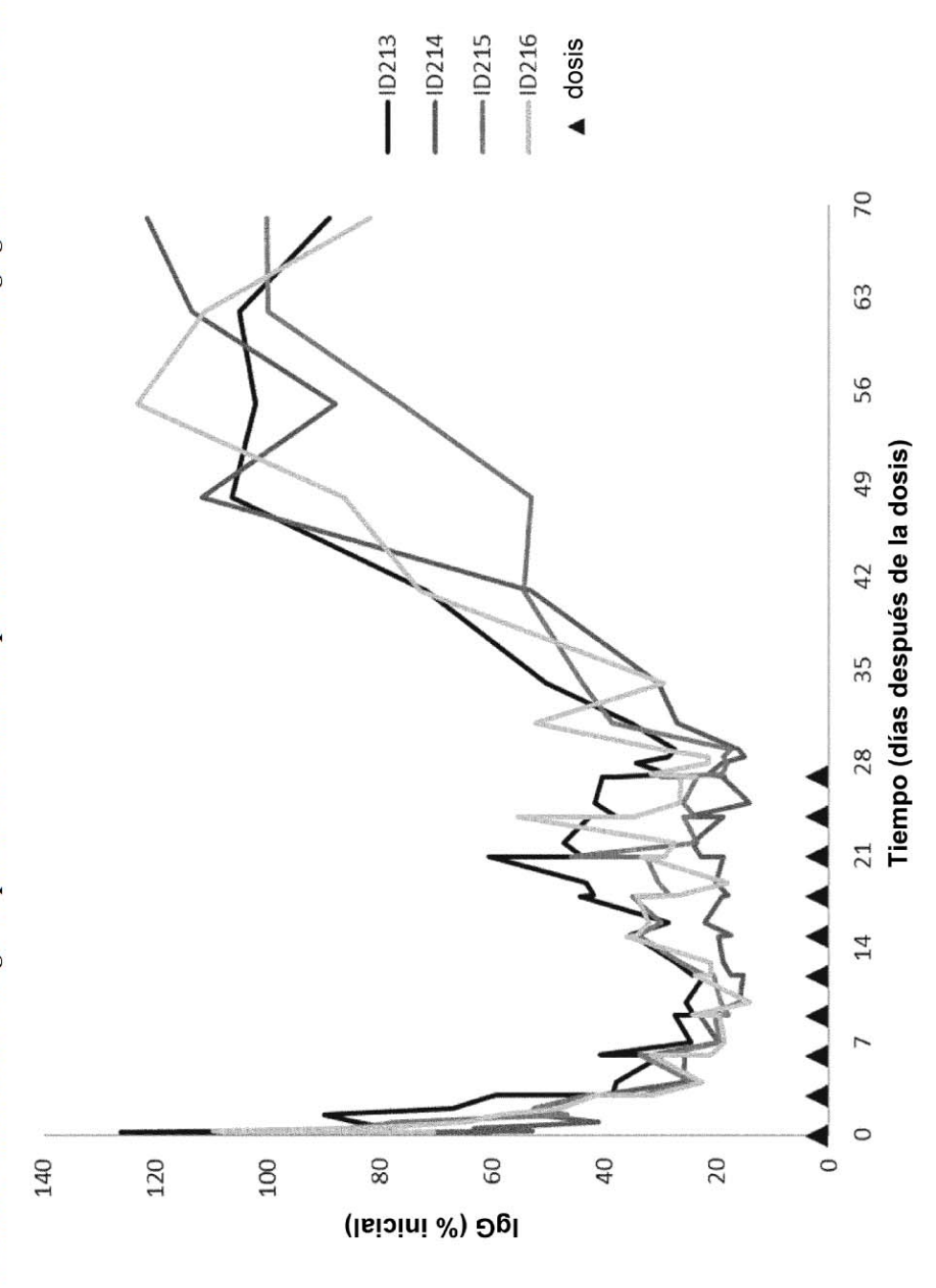


Figura 16 Cambios en los niveles de IgG en plasma en 4 macacos que reciben 10 dosis IV de 20 mg/kg de Fab'PEG de 1519.g57 cada 3 días

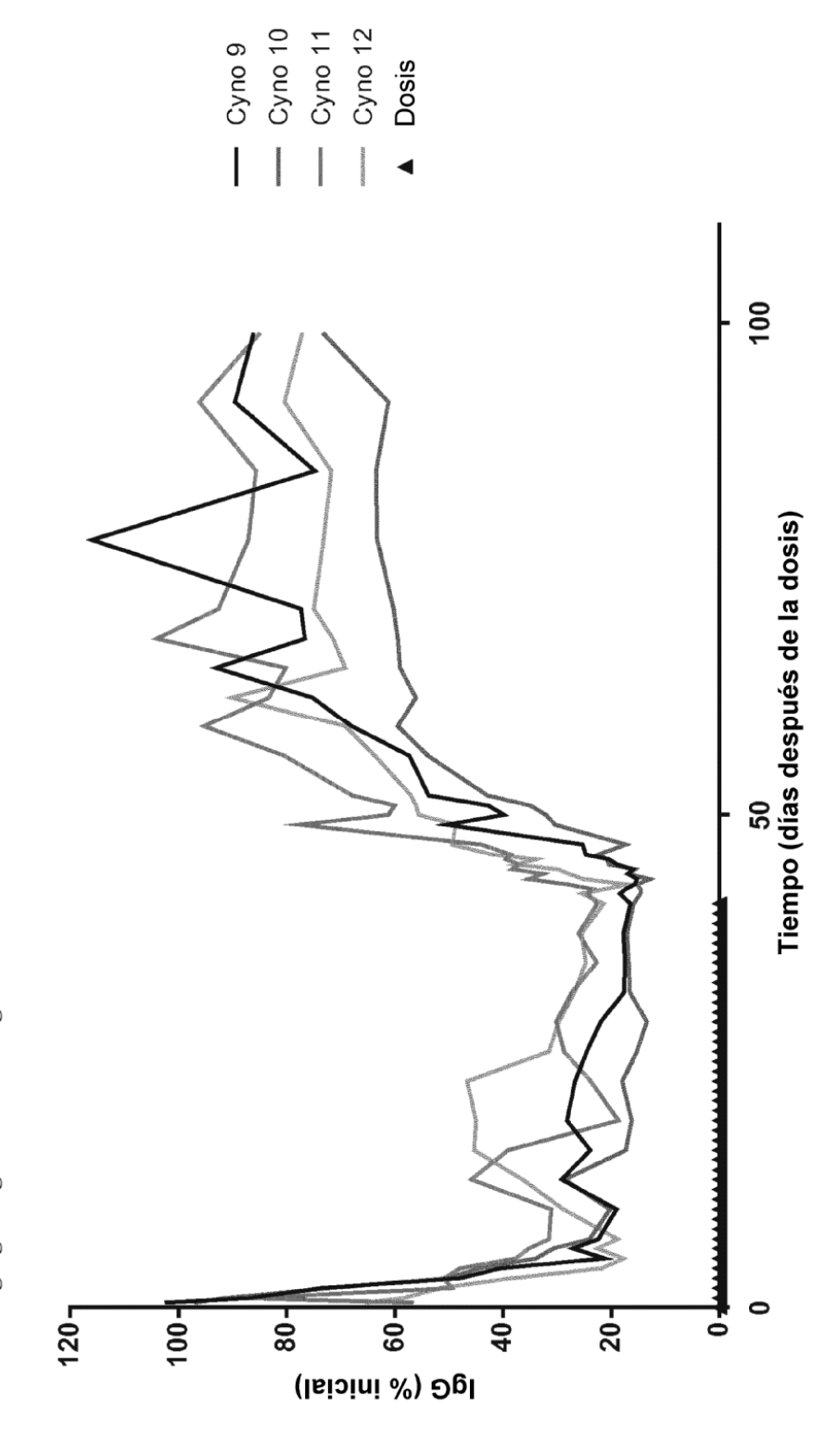


Cyno 1 Cyno 2 Cyno 3 Cyno 4 Dosis Figura 17 Cambios en los niveles de IgG en plasma en 4 macacos después de 2 dosis IV de 30 mg/kg de IgG4P de 1519.g57 i.v 100 50 Tiempo (días después de la dosis) 100-80-40-20-120 9 (% inicial)

172

Cambios en los niveles de IgG en plasma en macacos tratados con 30 mg/kg de IgG4P de 1519.g57 en el día 0 seguido de 5 mg/kg de IgG4P de 1519.g57 diariamente durante 41 días

Figura 18



Cyno 5 Cyno 6 Cyno 7 Cyno 8 Dosis 100 Cambios en los niveles de IgG en plasma en 4 macacos que reciben 42 dosis diarias de vehículo Tiempo (días después de la dosis) 1401 20-40--09 120-100-80-(% inicial) Figura 19

Figura 20 Aclaramiento aumentado de hIgG IV en plasma de ratones transgénicos hFcRn tratados con Fab'PEG de CA170_01519.g57 o PBS IV

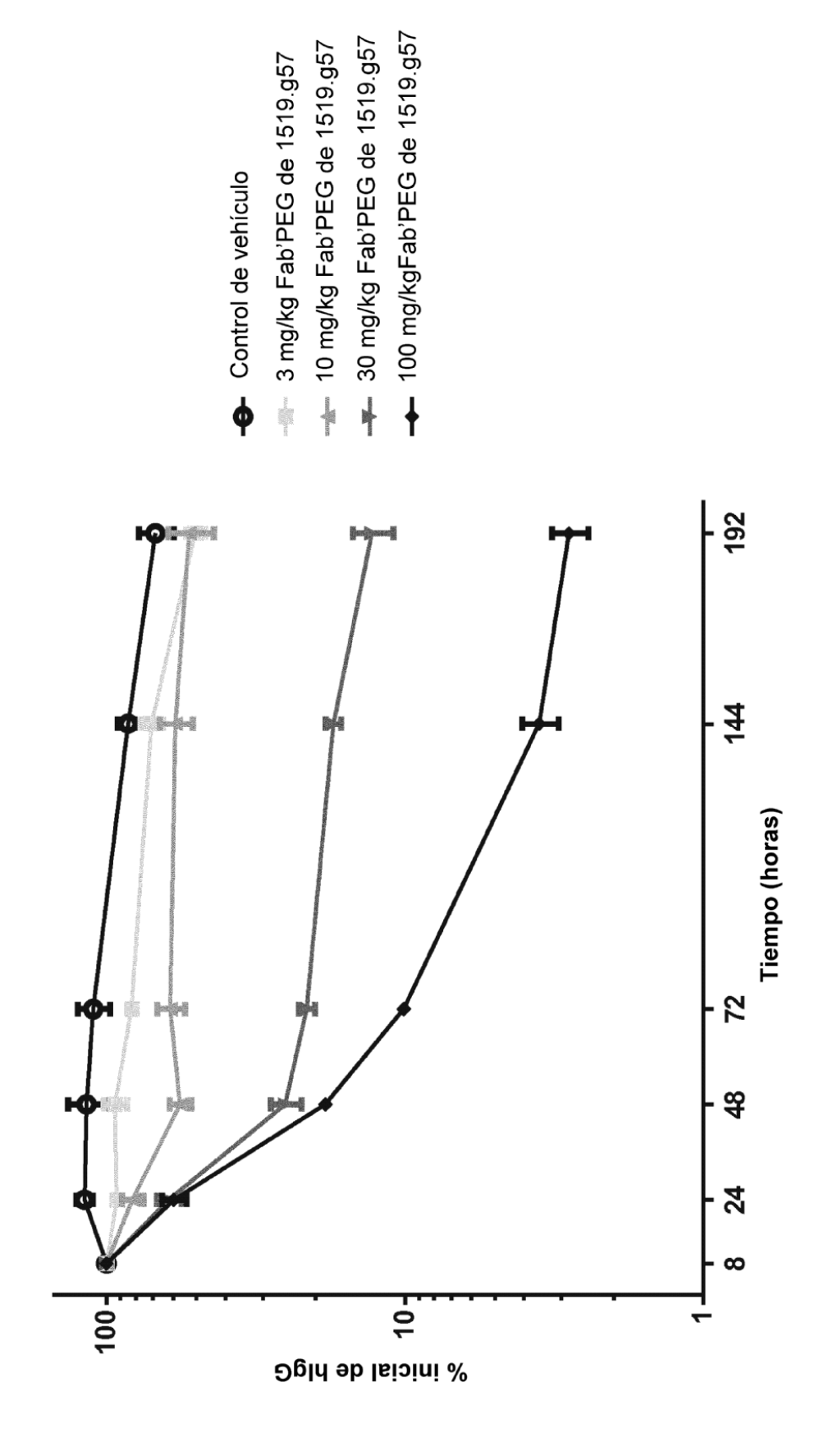
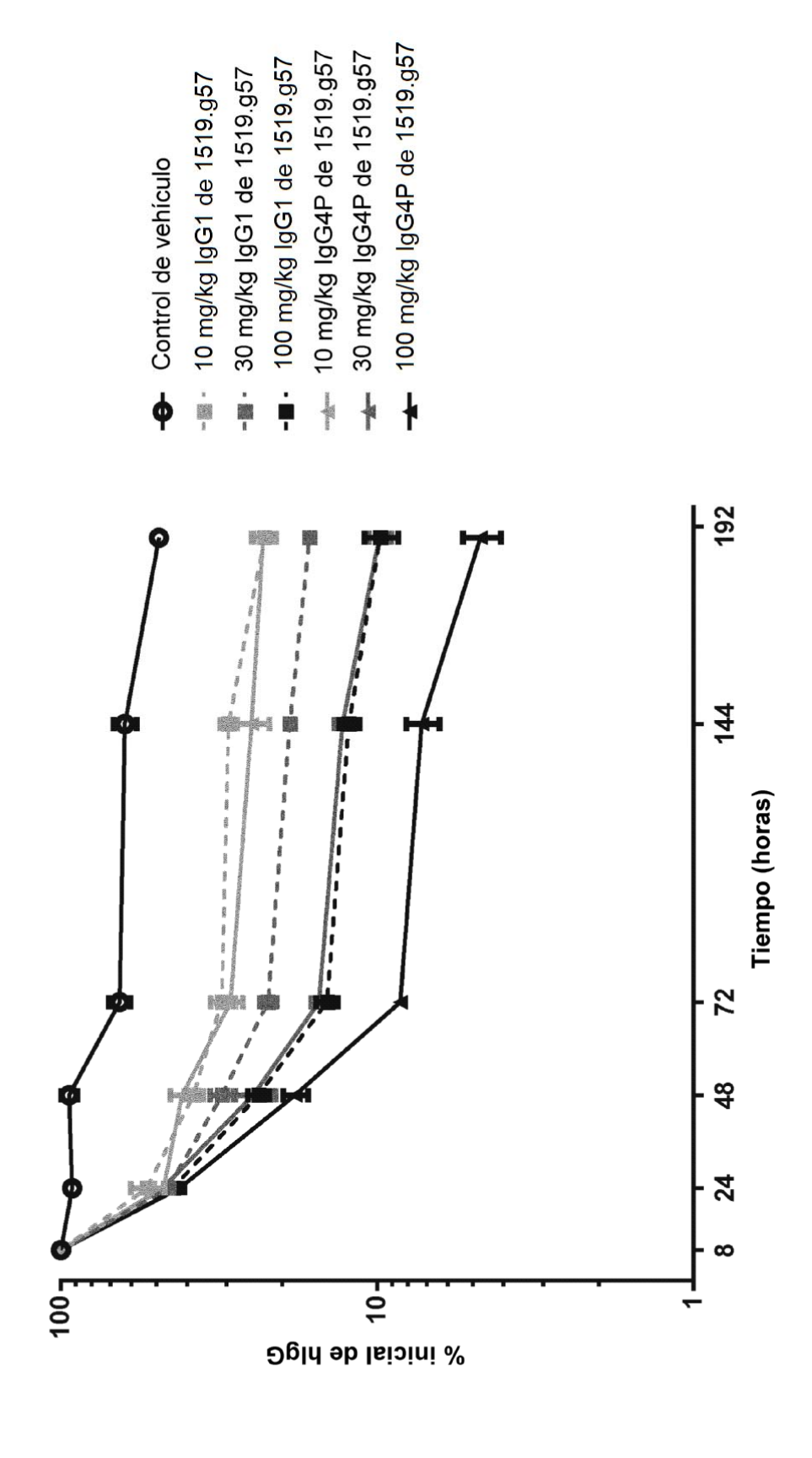
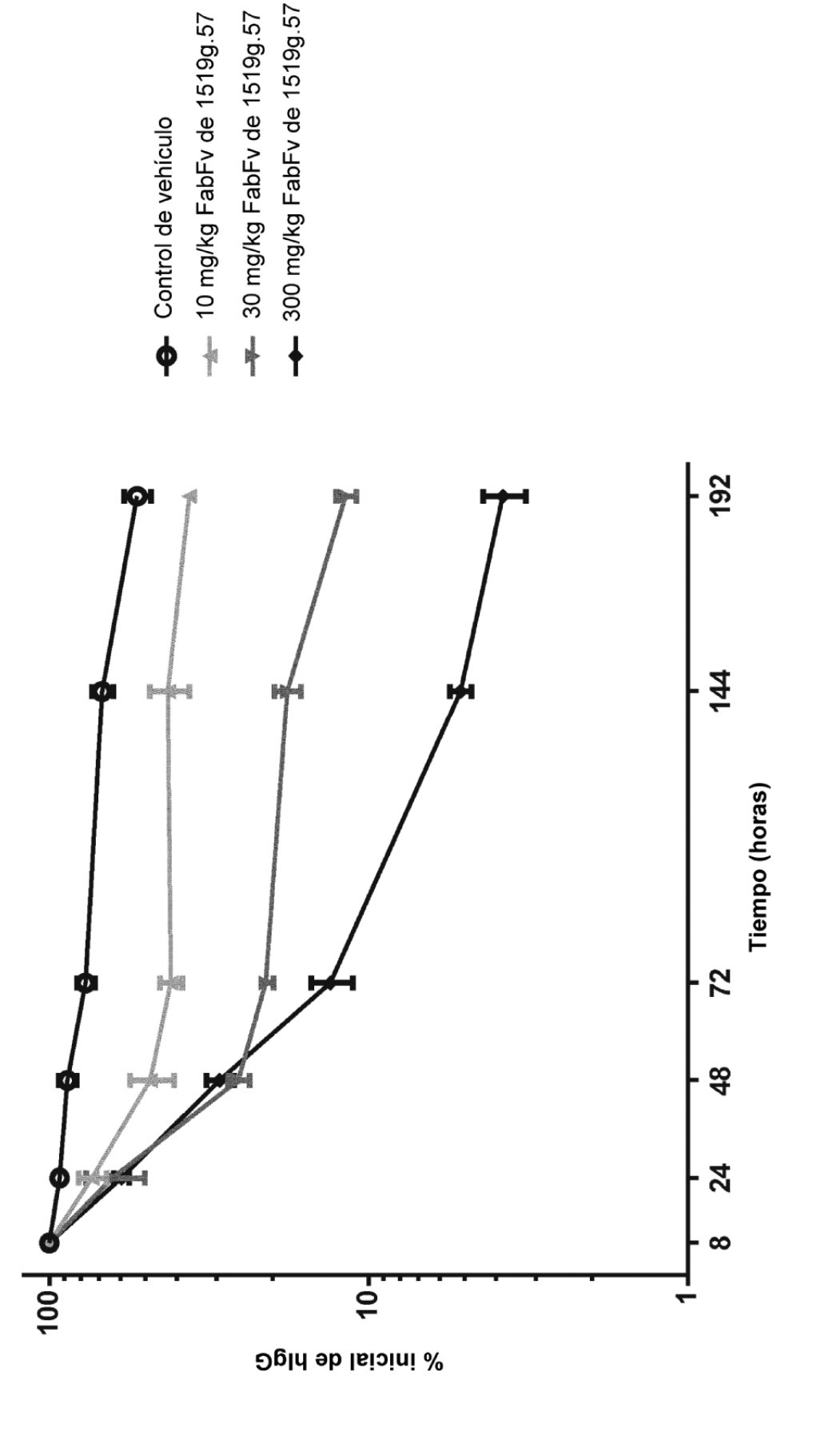


Figura 21 Aclaramiento aumentado de hIgG IV en plasma de ratones transgénicos hFcRn tratados con IgG1 o IgG4 de CA170_01519.g57 o PBS IV



100 mg/kg Fab'HSA de 1519.g57 Aclaramiento aumentado de hIgG IV en plasma de ratones transgénicos hFcRn tratados con Fab'- albúmina de suero humano de CA170_01519.g57 o PBS IV Control de vehículo 192 4 8 24 10 Pgld eb lsicini % Figura 22

Figura 23 Aclaramiento aumentado de hIgG IV en plasma de ratones transgénicos hFcRn tratados con Fab'Fv de CA170_01519,g57 o PBS IV



100 mg/kg Fab'PEG de 1519.g57 100 mg/kg Fab de 1519.g57 Aclaramiento aumentado de hIgG IV en plasma de ratones transgénicos hFcRn tratados con Fab o Fab'PEG de CA170_01519.g57 o PBS IV Control de vehículo 192 144 Tiempo (horas) 48 24 100-Figura 24 Pgld eb lsicini %

Primera región variable de cadena pesada cadena VH1 Segunda región variable de cadena pesada VH2 Segunda región variable de cadena ligera VL2 Primera región variable de cadena ligera VL1

Enlace disulfuro